

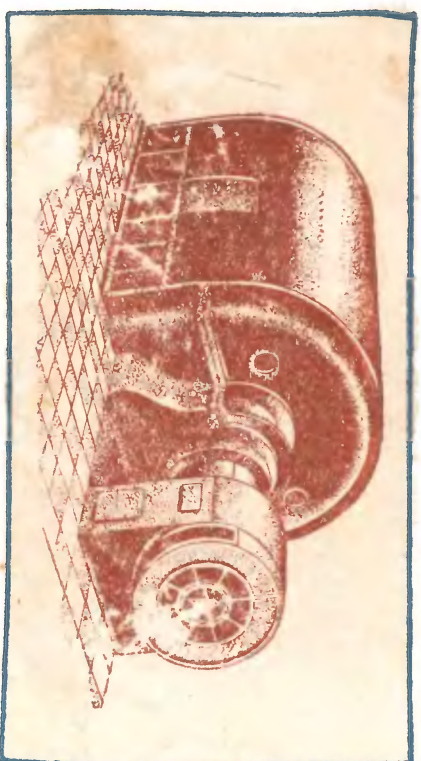
ЭЛЕКТРОТЕХНИКА

В РИСУНКАХ И ЧЕРТЕЖАХ

ЧАСТЬ ВТОРАЯ

Ш.М. АЛУЖЕР, И.А. ВАСИЛЬЕВА, З.И. РАСОВСКИЙ, П.Ф. СКВОРЦОВ

ЭЛЕКТРИЧЕСКИЕ МАШИНЫ, АППАРАТЫ И УСТАНОВКИ



ЦЕНА 45Р. В ПАПКЕ

ГОСУДАРСТВЕННОЕ ЭНЕРГЕТИЧЕСКОЕ ИЗДАТЕЛЬСТВО
ЛЕНИНГРАД
1951
МОСКВА

СОДЕРЖАНИЕ

- ГЛАВА 1. Электрические измерения
ГЛАВА 2. Машины постоянного тока
ГЛАВА 3. Трансформаторы
ГЛАВА 4. Асинхронные машины
ГЛАВА 5. Синхронные машины
ГЛАВА 6. Электронные и ионные приборы
ГЛАВА 7. Производство и распределение
электрической энергии
ГЛАВА 8. Электрическое освещение
-
-

Художник А. Т. МЕНЬШИКОВ

Сдано в производство 15/VI-1951 г.
Подписано к печати 24/VI-1951 г.

М-37669. 40 уч.-изд. л. Бумага 60 x 92
Тираж 10 000 экз. Зак. № 587

Таблицы отпечатаны во 2 типографии
Гослесбумиздата, Ленинград

ПРЕДИСЛОВИЕ

Первая часть учебного пособия „Электротехника в рисунках и чертежах“ — автор Э. И. Расовский — посвящена основам электротехники.

Предлагаемая вниманию читателей вторая часть этого пособия составлена под общей редакцией Э. И. Расовского коллективом кафедры Основ электротехники Московского института механизации и электрификации сельского хозяйства имени В. М. Мологова и посвящена электрическим машинам и трансформаторам, электрическим измерениям, электронным и ионным приборам, электрическому освещению и производству и распределению электрической энергии.

Вторая часть пособия составлена следующими авторами:

Ш. М. Алукер — главы 1, 7 и 8

И. А. Васильева — глава 3

Э. И. Расовский — глава 6

П. Ф. Скворцов — главы 2, 4 и 5

В некоторых таблицах глав 3 и 4 использованы материалы погибшего на фронте члена кафедры М. Д. Каминского.

Сознавая трудность задачи создания наглядного учебного пособия по электротехнике, особенно при отсутствии специального пояснительного текста, авторы считают возможным наличие некоторых недостатков в работе и с благодарностью примут все замечания и пожелания по настоящей серии учебных таблиц.

Отзывы просим направлять по адресу: Москва, Шлюзовая набережная, д. 10, Госэнергоиздат.

ГЛАВА ПЕРВАЯ

ЭЛЕКТРИЧЕСКИЕ ИЗМЕРЕНИЯ

Табл.

1. Условные обозначения
2. Детали электроизмерительных приборов
3. Магнитоэлектрические приборы
4. Электромагнитные приборы
5. Электродинамические приборы
6. Индукционные приборы
7. Тепловые и термоэлектрические приборы
8. Вибрационные и детекторные приборы
- ~~9. Электронные приборы~~
10. Гальванометры
11. Измерительные трансформаторы
12. Измерение тока
13. Измерение напряжения
14. Измерение мощности
15. Счетчики электрической энергии
16. Измерение электрической энергии
17. Мостовые схемы
18. Измерение сопротивлений
19. Самопишущие приборы
20. Осциллографы

ГЛАВА ВТОРАЯ

МАШИНЫ ПОСТОЯННОГО ТОКА

Табл.

1. Машина постоянного тока
2. Магнитная система машины постоянного тока

Табл.

3. Якорь машины постоянного тока
4. Обмотка якоря
5. Коммутационная система
6. Петлевая и волновая обмотки
7. Схемы обмоток якоря
8. Выпрямление тока
9. Электродвижущая сила (э. д. с.) якоря
10. Вращающий момент якоря
11. Реакция якоря
12. Коммутация тока
13. Генератор с независимым возбуждением
14. Генератор с параллельным возбуждением (шунтовой генератор)
15. Генератор с последовательным возбуждением (серийный генератор)
16. Генератор со смешанным возбуждением (компаундный генератор)
17. Совместная работа генераторов
18. Двигатель с параллельным возбуждением (шунтовой двигатель)
19. Двигатель с последовательным возбуждением (серийный двигатель)
20. Двигатель со смешанным возбуждением (компаундный двигатель)
21. Потери в машинах постоянного тока

Табл.

22. Коэффициент полезного действия (к. п. д.)
23. Пусковые и регулировочные реостаты

ГЛАВА ТРЕТЬЯ

ТРАНСФОРМАТОРЫ

Табл.

1. Трансформаторы
2. Трехфазные трансформаторы
3. Магнитопроводы
4. Обмотки трансформаторов
5. Холостой ход трансформатора
6. Нагрузка трансформатора
7. Короткое замыкание трансформатора
8. Потери напряжения в трансформаторе
9. Коэффициент полезного действия
10. Группы соединения обмоток трехфазных трансформаторов
11. Параллельная работа трансформаторов
12. Охлаждение трансформаторов
13. Автотрансформаторы

ГЛАВА ЧЕТВЕРТАЯ

АСИНХРОННЫЕ МАШИНЫ

Табл.

1. Асинхронный трехфазный двигатель с фазным ротором
2. Асинхронный трехфазный двигатель с короткозамкнутым ротором

Табл. 3. Однослойная обмотка асинхронного двигателя

4. Двухслойная обмотка асинхронного двигателя
5. Магнитная система трехфазного синхронного двигателя
6. Принцип действия асинхронного двигателя
7. Электродвижущая сила (э. д. с.) статора и ротора двигателя
8. Схема замещения асинхронного двигателя
9. Энергетическая диаграмма и к. п. д. двигателя
10. Вращающий момент асинхронного двигателя
11. Крутявая диаграмма асинхронного двигателя
12. Пуск в ход двигателей с фазным ротором
13. Пуск в ход двигателей с короткозамкнутым ротором
14. Двигатели с вытеснением тока в роторе
15. Регулирование скорости вращения асинхронного двигателя
16. Однофазный асинхронный двигатели
17. Индукционный регулятор
18. Асинхронный генератор

ГЛАВА ПЯТАЯ

СИНХРОННЫЕ МАШИНЫ

Табл.

1. Синхронная машина
2. Магнитная система синхронной машины
3. Статор-якорь синхронной машины

Табл.

4. Однослойная обмотка статора
5. Двухслойная обмотка статора
6. Электродвижущая сила (э. д. с.) статора-якоря
7. Реакция якоря
8. Синхронный генератор
9. Синхронный генератор с самовозбуждением
10. Параллельная работа синхронных генераторов
11. Синхронный двигатель
12. Синхронный двигатель
13. Потери и к. п. д. синхронной машины

ГЛАВА ШЕСТАЯ

ЭЛЕКТРОННЫЕ И ИОННЫЕ ПРИБОРЫ

Табл.

1. Выпрямление переменного тока
2. Выпрямление трехфазного тока
3. Полупроводниковые выпрямители
4. Селеновые выпрямители
5. Катоды электронных ламп
6. Двухэлектродная лампа (диод)
7. Трехэлектродная лампа (триод)
8. Ламповый усилитель
9. Многокаскадный усилитель
10. Ламповый генератор
11. Генератор высокой частоты
12. Газотрон
13. Тиратрон
14. Однофазный ртутный выпрямитель
15. Трехфазный ртутный выпрямитель
16. Металлический ртутный выпрямитель

Табл. 17. Электронная оптика

18. Фотоэлемент
19. Электронно-лучевая трубка
20. Электронный осциллограф
21. Электронный микроскоп

ГЛАВА СЕДЬМАЯ

ПРОИЗВОДСТВО И РАСПРЕДЕЛЕНИЕ ЭЛЕКТРИЧЕСКОЙ ЭНЕРГИИ

Табл.

1. Схема электроснабжения от районной электростанции
2. Тепловая электростанция
3. Тепловая электростанция (продолжение)
4. Гидроэлектрическая станция
5. Ветроэлектрическая станция
6. Распределительное устройство
7. Распределительный щит
8. Трансформаторный пункт
9. Трансформаторная подстанция
10. Коммутационная аппаратура
11. Защитная аппаратура
12. Воздушные линии
13. Кабельные линии

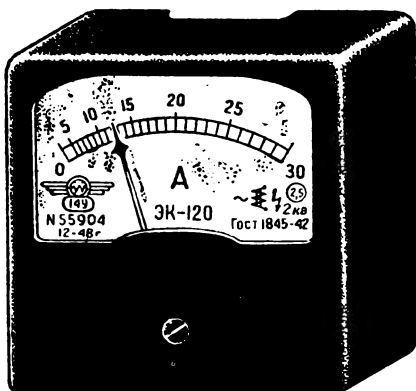
ГЛАВА ВОСЬМАЯ

ЭЛЕКТРИЧЕСКОЕ ОСВЕЩЕНИЕ

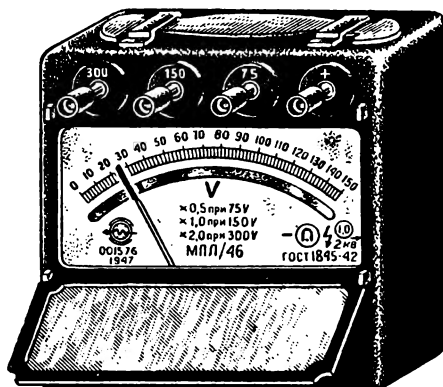
Табл. 1. Светотехнические величины и единицы

2. Электрические источники света
3. Осветительные приборы (светильники)
4. Расчет освещения и размещение светильников
5. Осветительная проводка

УСЛОВНЫЕ ОБОЗНАЧЕНИЯ



Электромагнитный амперметр
(щитовой, класса точности 2,5,
изоляция испытана напряжением 2 кВ)



Магнитоэлектрический вольтметр
(переносный, лабораторный, класса точности 1,0,
на 3 предела измерений, горизонтальная установка)

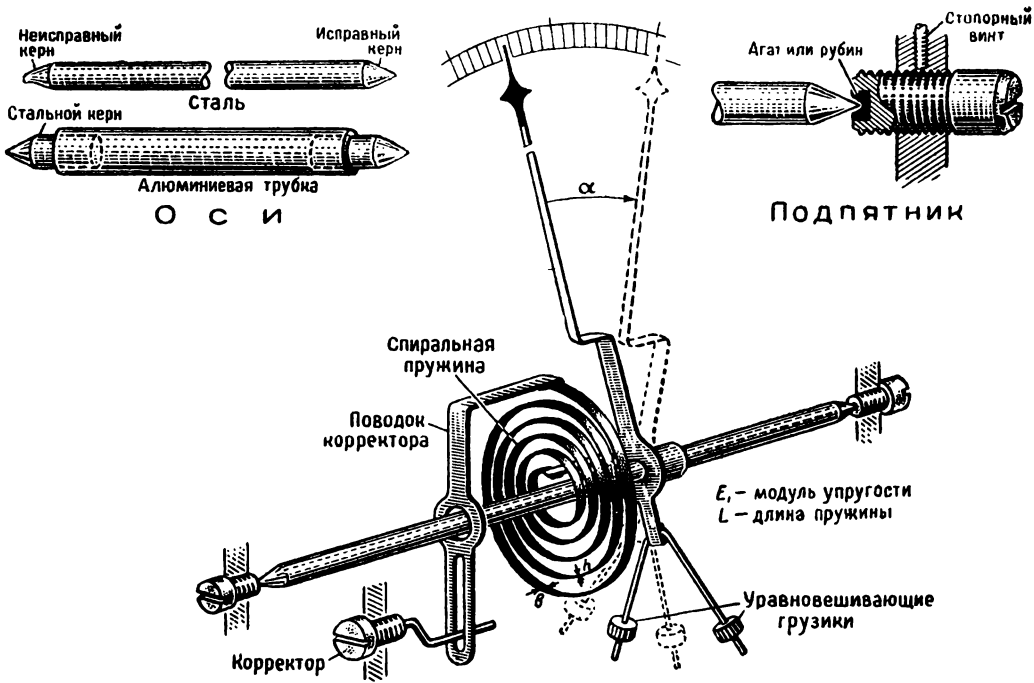
Условные обозначения систем приборов

Система приборов	Условное обозначение
Магнитоэлектрическая :	
с противодействующей силой	
без противодействующей силы (логометр)	
Электромагнитная	
Электродинамическая :	
без стали	
ферродинамическая	
Индукционная	
Тепловая	
Термоэлектрическая	
Вибрационная	
Электростатическая	
Электронная	
Фотоэлектрическая	
Детекторная	

Условные обозначения технических характеристик приборов

Знак	Что означает
0,2	Класс точности 0,2
0,5	Класс точности 0,5
1,0	Класс точности 1,0
1,5	Класс точности 1,5
2,5	Класс точности 2,5
—	Прибор постоянного тока
~	Прибор переменного тока
≈	Прибор постоянного и переменного тока
3~	Прибор трехфазного тока
~ 50	Для частоты 50 герц
⚡ 2 кВ	Испытательное напряжение 2 кВ
60°	Установка под углом в 60°
↑	Вертикальная установка
→	Горизонтальная установка
⚡	Предостерегающий знак высокого напряжения

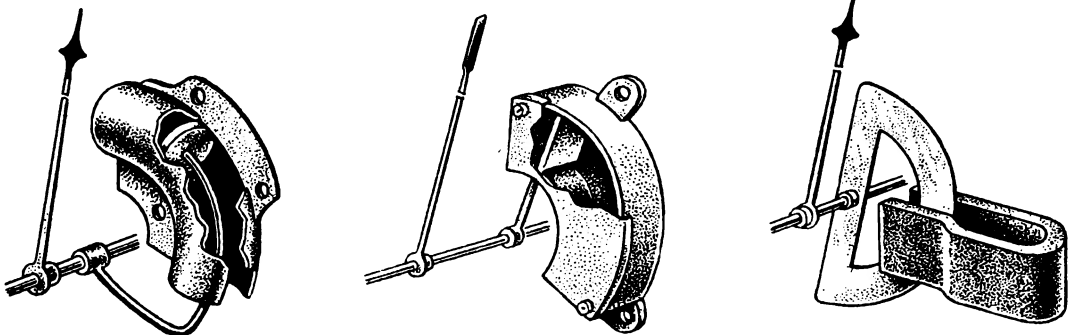
ДЕТАЛИ ЭЛЕКТРОИЗМЕРИТЕЛЬНЫХ ПРИБОРОВ



Противодействующий момент, развиваемый спиральной пружиной $M_{пр} = \alpha W$; $W = \frac{E \theta h^3}{12L}$

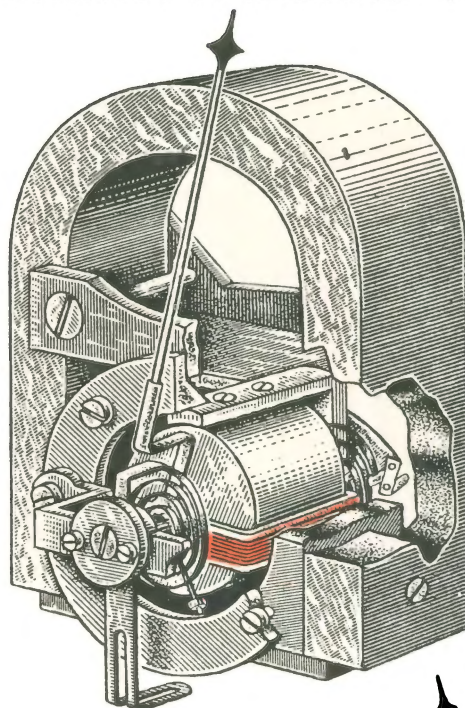


ШКАЛЫ



УСПОКОИТЕЛИ

МАГНИТОЭЛЕКТРИЧЕСКИЕ ПРИБОРЫ

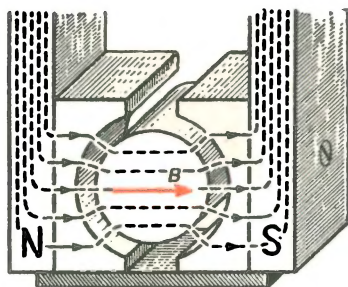


$$M_{\text{вр}} = Bl\omega \alpha \cdot I = CI$$

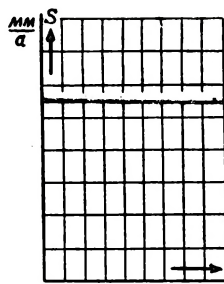
Вращающий момент
прибора

$$S = \frac{\text{Угол отклонения}}{\text{измеряемая величина}} = \frac{Bl\omega \alpha}{W}$$

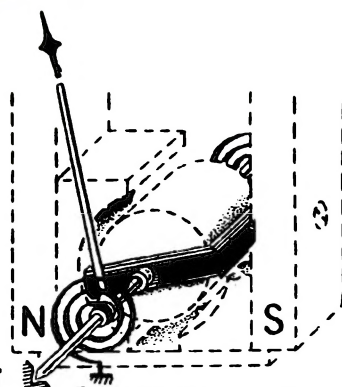
Чувствительность
прибора



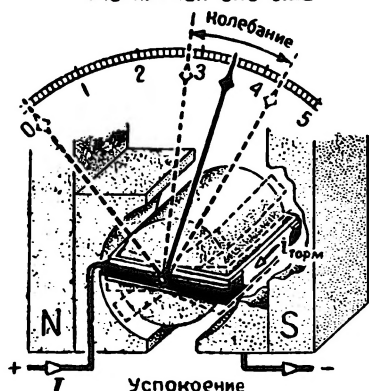
Магнитная система



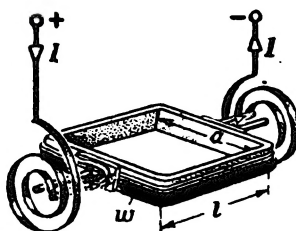
Кривая чувствительности S
магнитоэлектрического прибора



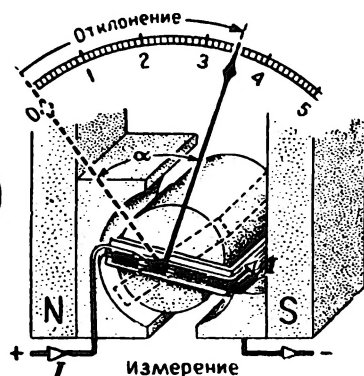
Подвижная система



При колебании подвижной системы
в каркасе рамки наводятся вихревые токи $i_{\text{торм.}}$,
обеспечивающие успокоение



Подвод и отвод тока



При протекании через рамку тока I
подвижная система отклоняется
на угол $\alpha = SI$

Магнитоэлектрические приборы пригодны только для постоянного тока

ЭЛЕКТРОМАГНИТНЫЕ ПРИБОРЫ

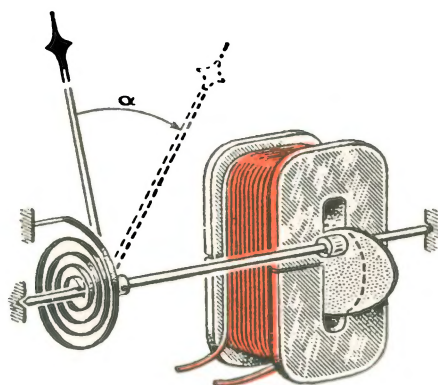
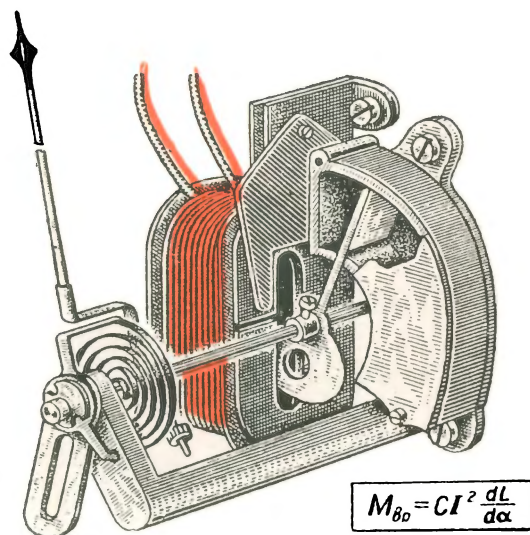


Схема прибора с плоской катушкой

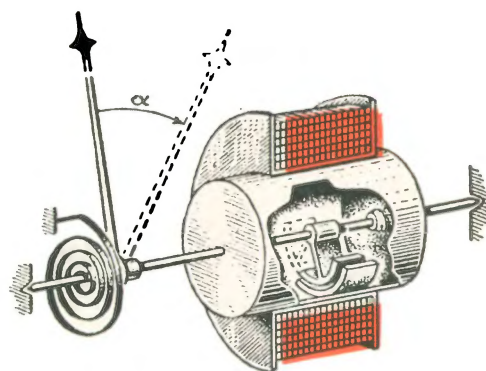
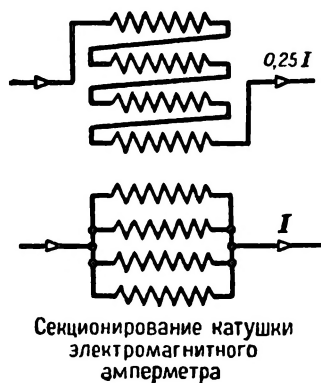
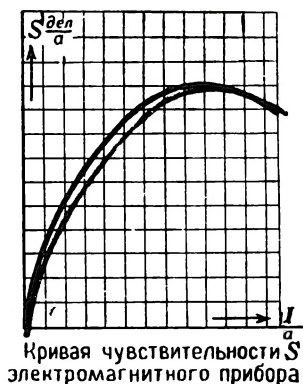


Схема прибора с круглой катушкой



Секционирование катушки
электромагнитного
амперметра



Кривая чувствительности S
электромагнитного прибора

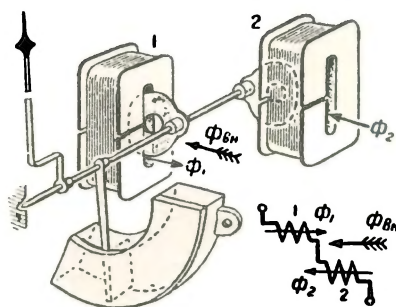
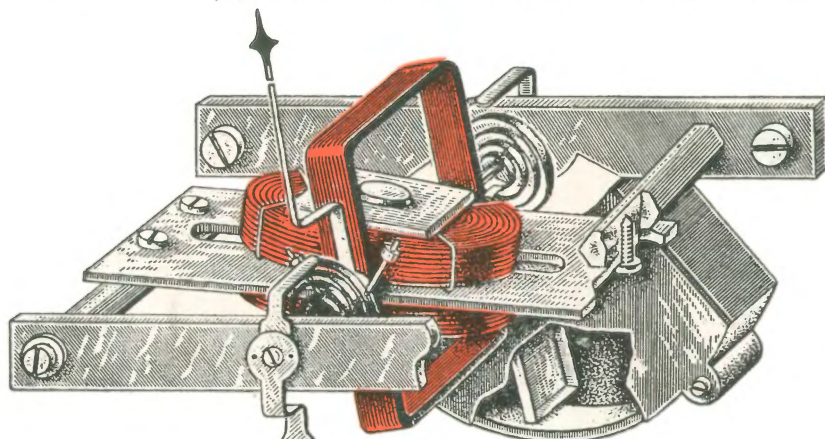


Схема
астатического
электромагнитного прибора

Электромгнитные приборы-самые дешовые и прочные приборы
переменного и постоянного тока

ЭЛЕКТРОДИНАМИЧЕСКИЕ ПРИБОРЫ



корректор

$$M_{\theta p} = C I_n I_n \frac{dM}{d\alpha}$$

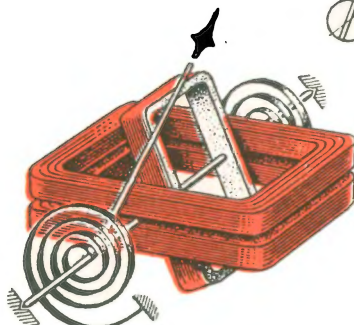
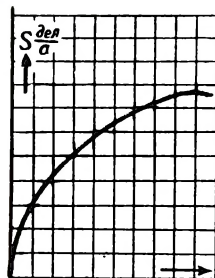


Схема прибора с плоскими катушками



Кривая чувствительности S электродинамического прибора

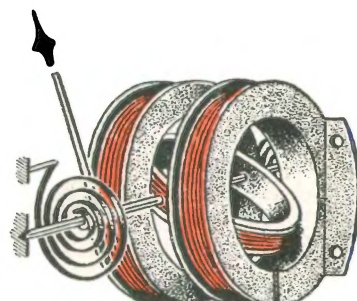
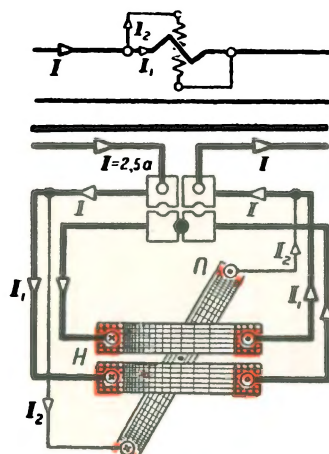
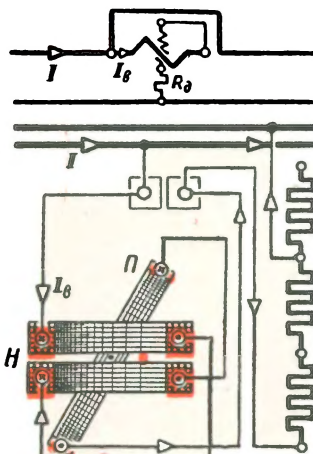


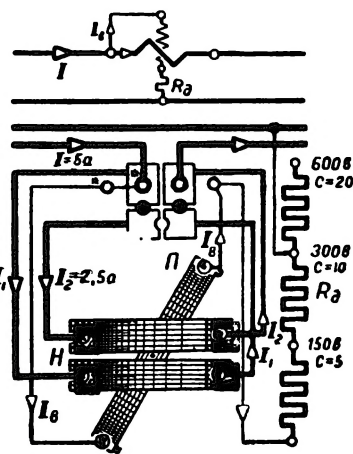
Схема прибора с круглыми катушками



Амперметр



Вольтметр

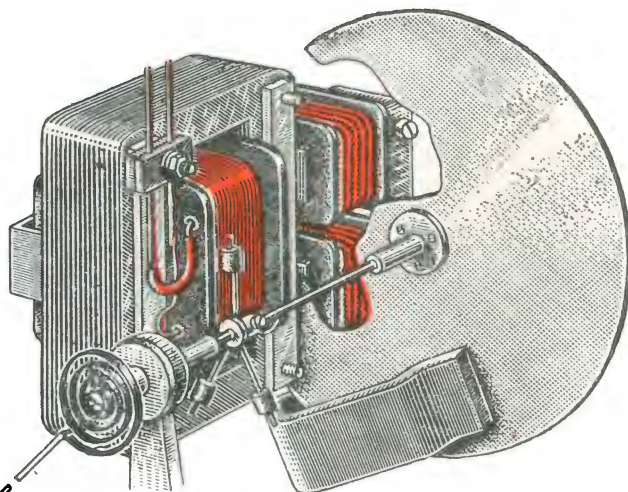


Ваттметр

Схемы включения электродинамических приборов

Электродинамические приборы—самые точные приборы переменного тока

ИНДУКЦИОННЫЕ ПРИБОРЫ



$$M_{\text{вп}} = C f \Phi_1 \Phi_2 \sin \psi$$

Ваттметр типа ВНО для измерения мощности однофазного тока

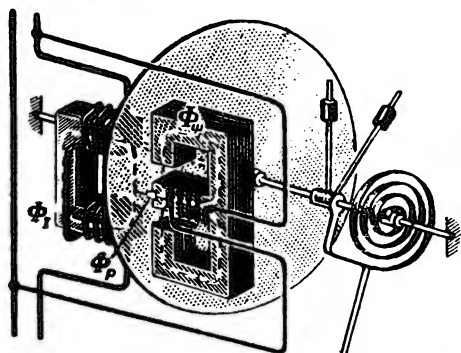
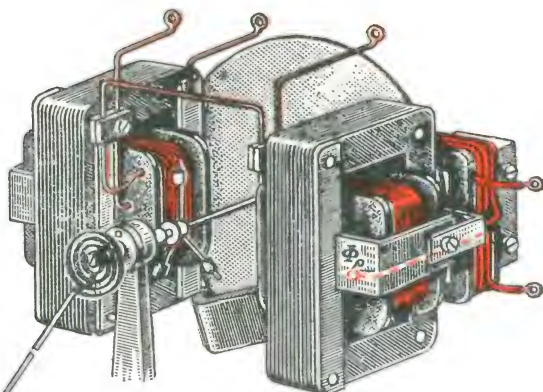
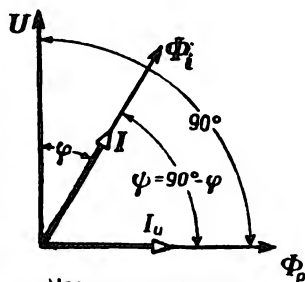


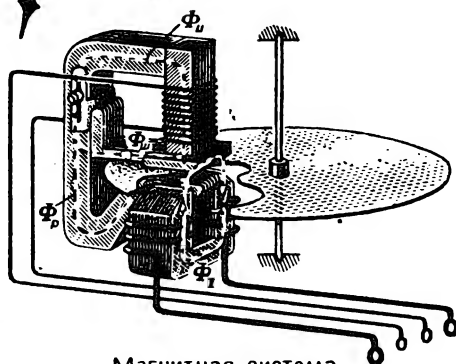
Схема устройства
индукционного ваттметра



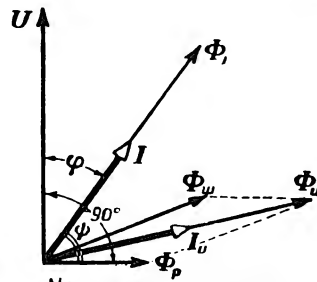
Ваттметр типа ВИТ
для измерения мощности трехфазного тока



Упрощенная векторная
диаграмма
индукционного ваттметра



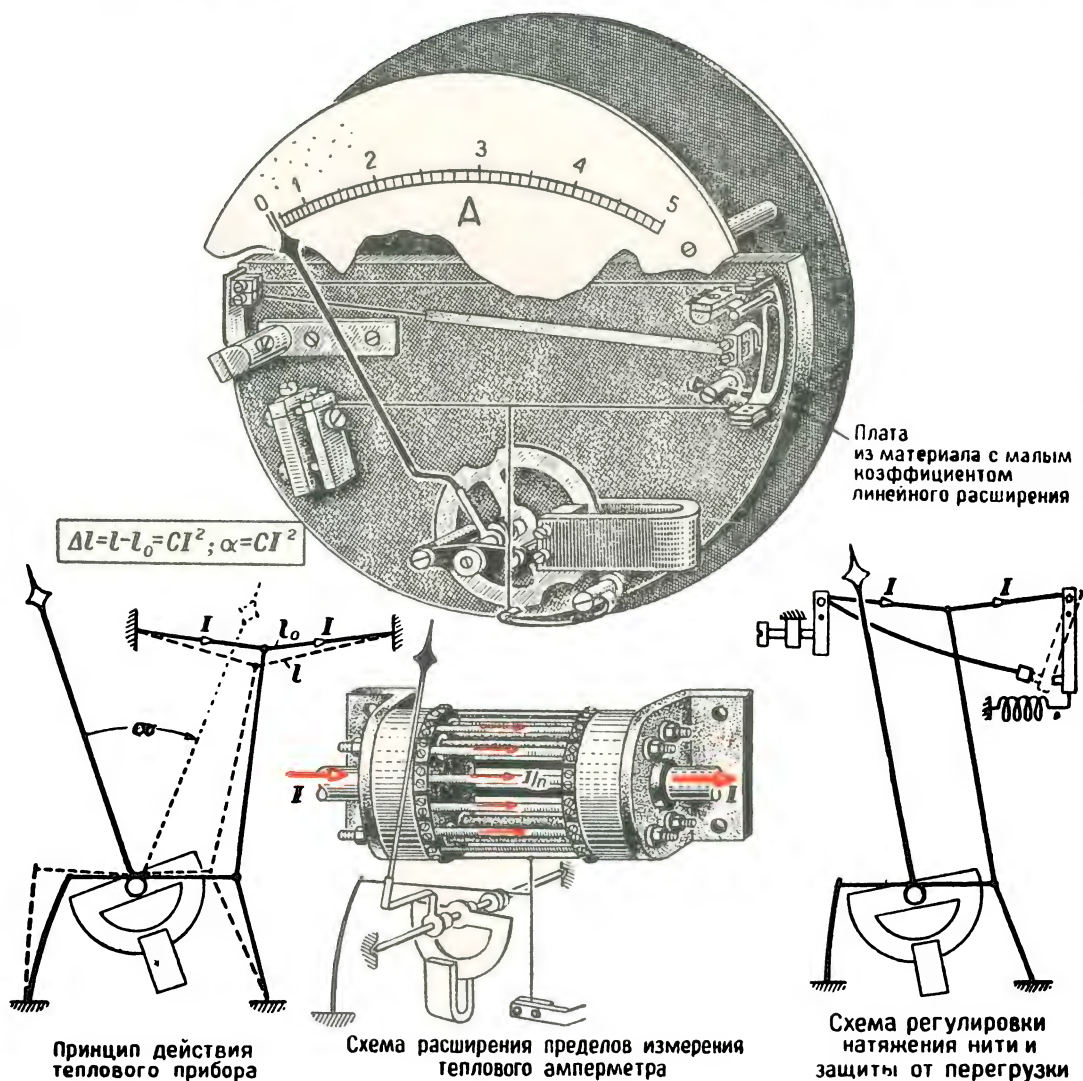
Магнитная система
индукционного счетчика



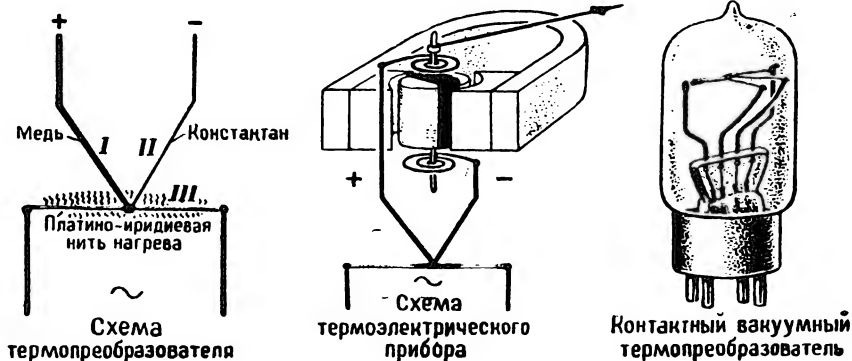
Упрощенная векторная
диаграмма
индукционного счетчика

Индукционные приборы пригодны только для переменного тока

ТЕПЛОВЫЕ И ТЕРМОЭЛЕКТРИЧЕСКИЕ ПРИБОРЫ



Тепловые приборы пригодны для переменного и постоянного тока, нечувствительны к колебаниям частоты

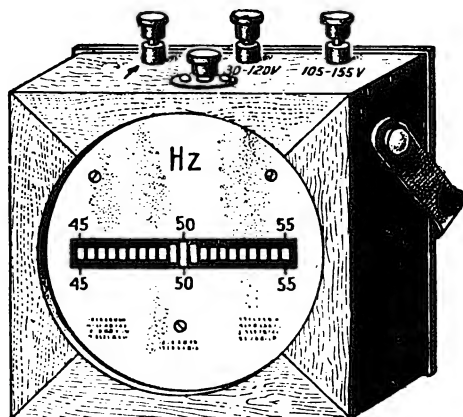


Термоэлектрические приборы применяются для измерения малых переменных токов низкой и высокой частоты

ВИБРАЦИОННЫЕ И ДЕТЕКТОРНЫЕ ПРИБОРЫ



Щитовой герцметр



Переносный герцметр

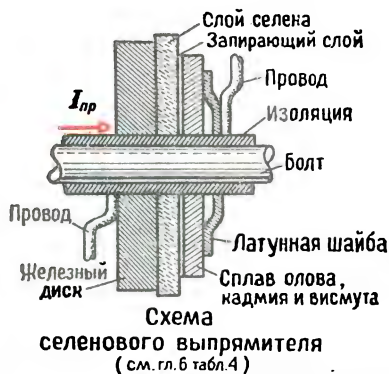
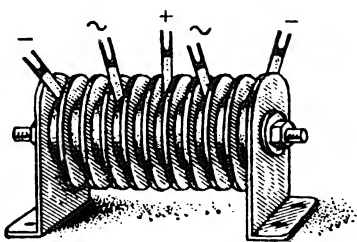
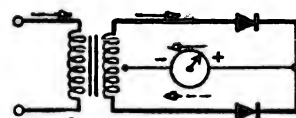


Схема селенового выпрямителя (см. гл. 6 табл. 4)

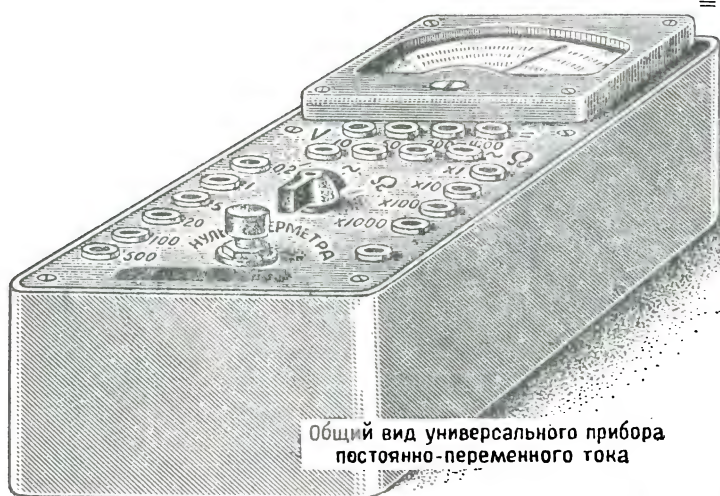


Селеновый столбик (мостовая схема)



Схемы двухполупериодного выпрямления

Выпрямительные приборы измеряют среднее, а не действующее значение



Общий вид универсального прибора постоянно-переменного тока

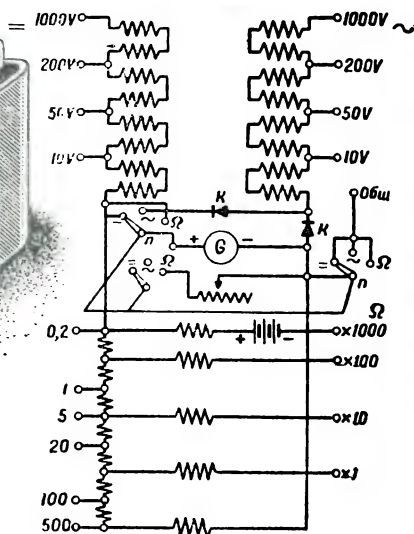
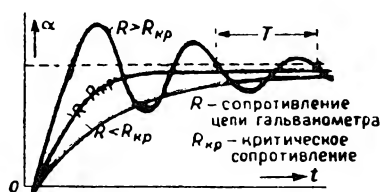
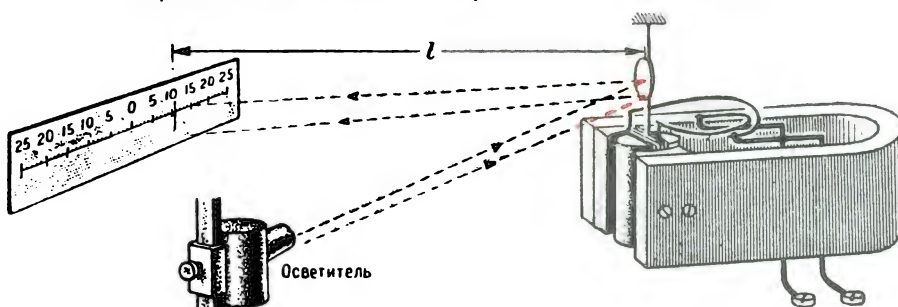
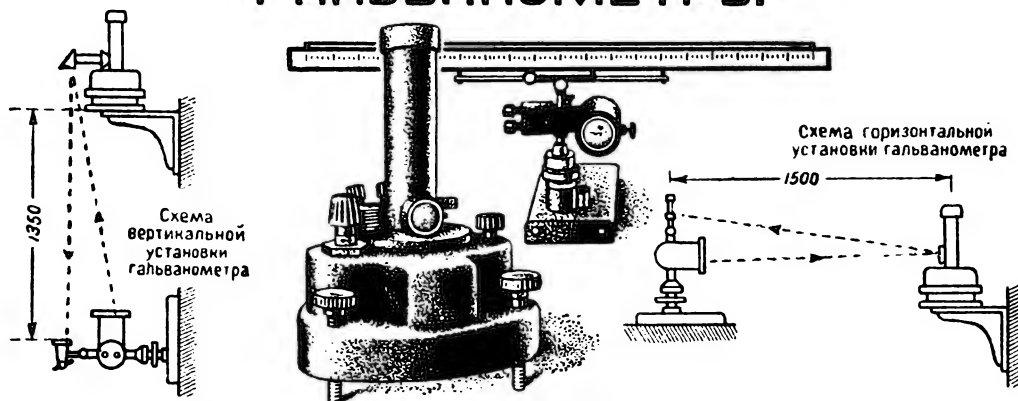


Схема соединения универсального прибора ТТ-1

Выпрямительные приборы применяются для измерения малых переменных токов и напряжении при технической и повышенной частоте

ГАЛЬВАНОМЕТРЫ



Движение рамки гальванометра при включении

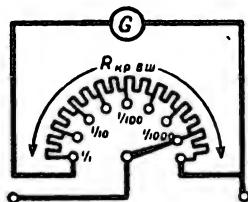
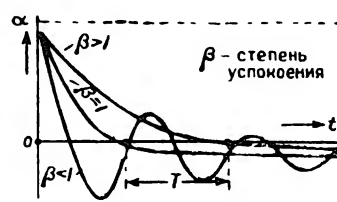
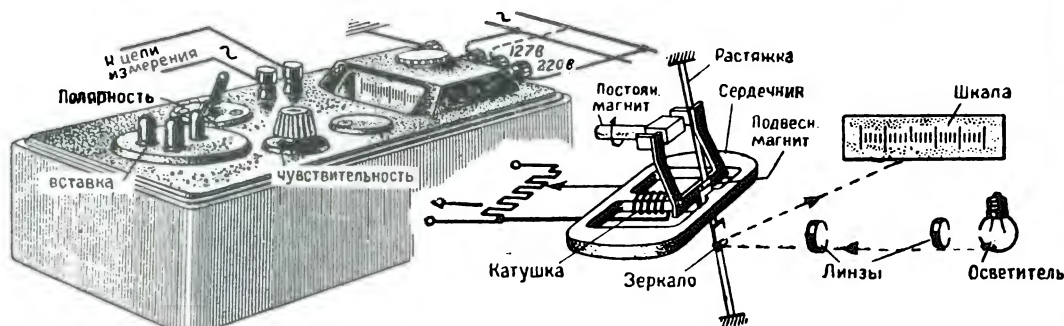


Схема универсального шунта к гальванометру



Движение рамки гальванометра при выключении

Магнитоэлектрические гальванометры пригодны только для постоянного тока



Вибрационный гальванометр ВГ

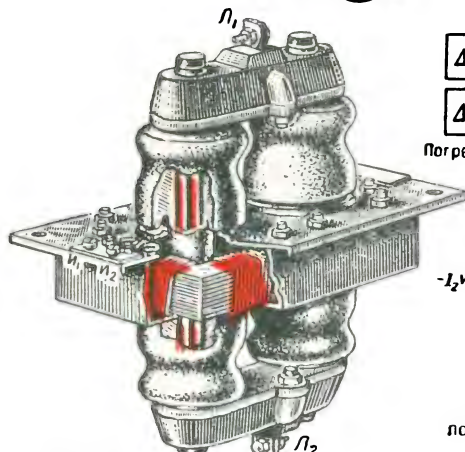
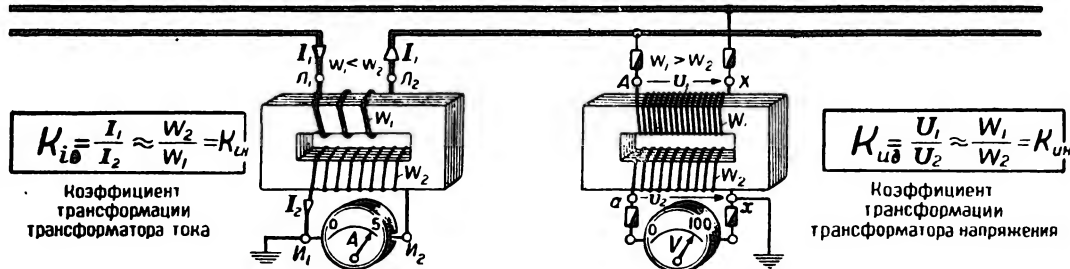
Схема устройства вибрационного гальванометра

Вибрационные гальванометры пригодны только для переменного тока

Гальванометры широко используются в качестве нулевых приборов

Ш. М. Алукер

ИЗМЕРИТЕЛЬНЫЕ ТРАНСФОРМАТОРЫ

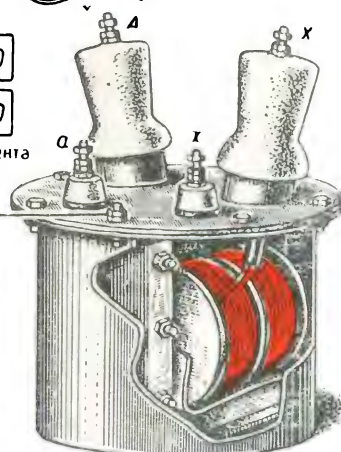
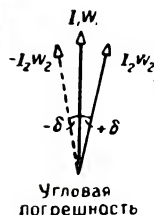


Трансформатор тока типа ТП-10

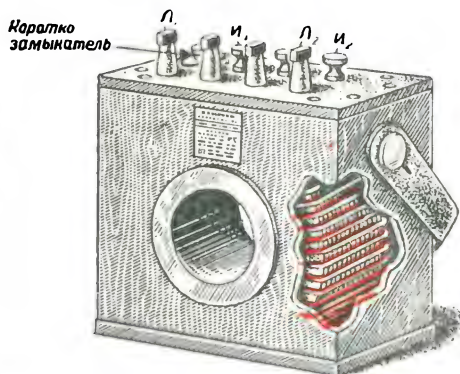
$$\Delta K_i \% = \frac{K_{i\delta} - K_{iH}}{K_{i\delta}} 100$$

$$\Delta K_u \% = \frac{K_{u\delta} - K_{uH}}{K_{u\delta}} 100$$

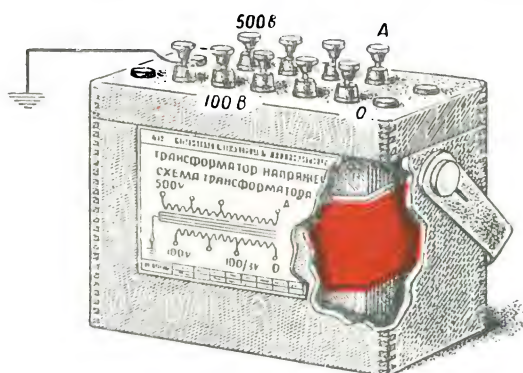
Погрешность коэффициента трансформации



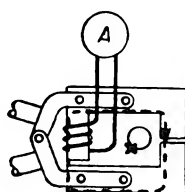
Трансформатор напряжения типа НОМ-10



Лабораторный трансформатор тока



Лабораторный трансформатор напряжения

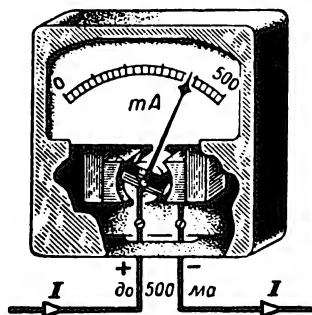


Измерительные клещи

Размыкать вторичную обмотку включенного трансформатора тока недопустимо

Трансформаторы напряжения включаются через ограничительные сопротивления и предохранители

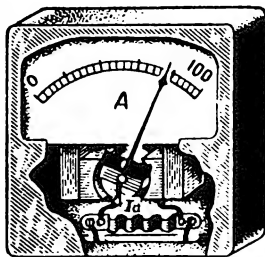
ИЗМЕРЕНИЕ ТОКА



Миллиамперметр

$$C = \frac{I_n}{N} \text{ ампер деление}$$

Цена деления



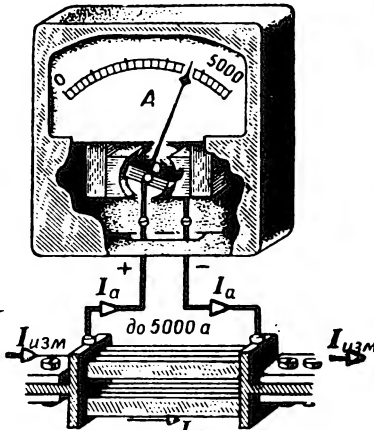
Амперметр со встроенным шунтом

$$r_{ш} = \frac{r_a}{n-1} \text{ Ом}$$

Сопротивление шунта

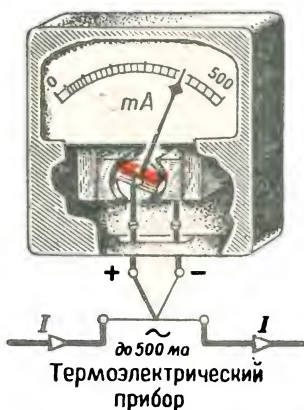
$$n = \frac{I_{изм}}{I_a}$$

Коэффициент шунтирования

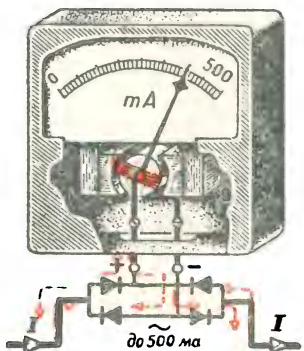


Амперметр с наружным шунтом

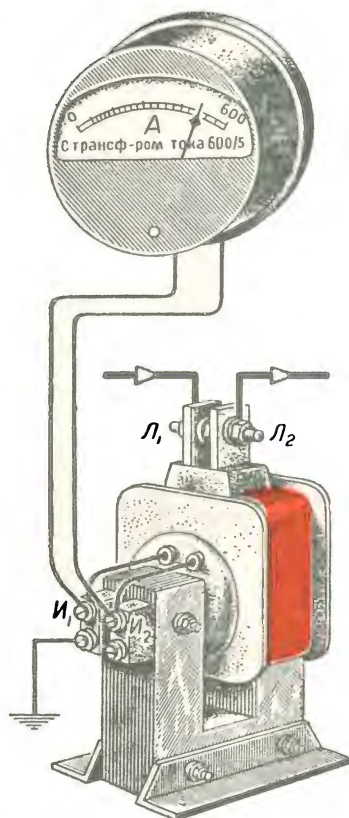
ИЗМЕРЕНИЕ ПОСТОЯННОГО ТОКА



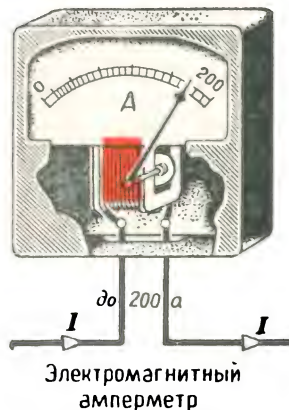
Термоэлектрический прибор



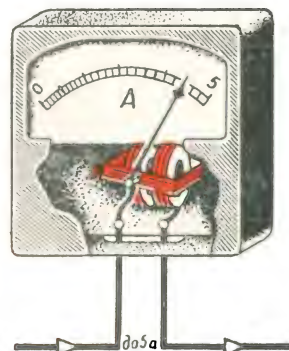
Детекторный прибор



Электромагнитный амперметр с трансформатором тока



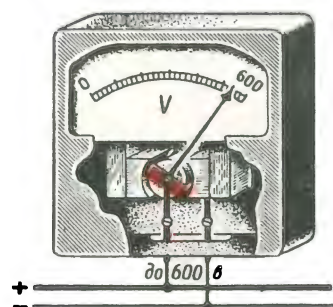
Электромагнитный амперметр



Электродинамический амперметр

ИЗМЕРЕНИЕ ПЕРЕМЕННОГО ТОКА

ИЗМЕРЕНИЕ НАПРЯЖЕНИЯ



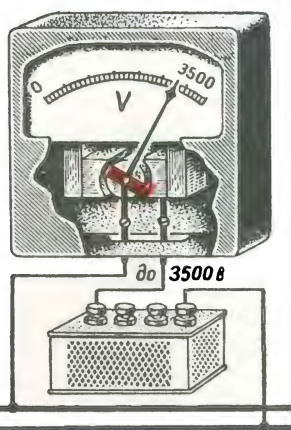
Магнитоэлектрический вольтметр с внутренним добавочн. сопротивлением

$$C = \frac{U_n}{N} \text{ вольт деление}$$

Цена деления

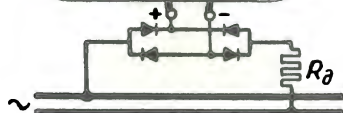
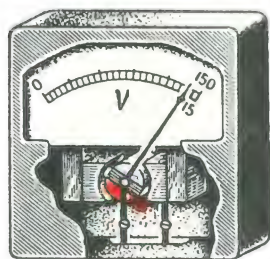
$$R_d = R_v(m-1); m = \frac{U_{изм}}{U_b}$$

Величина добавочного сопротивления

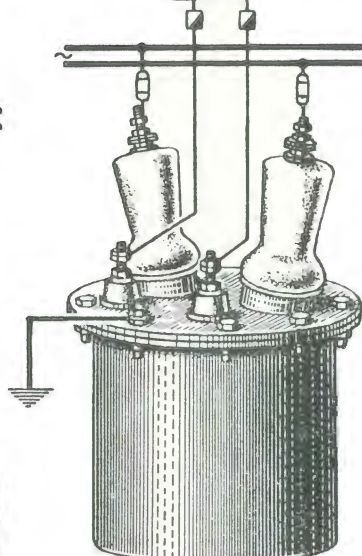
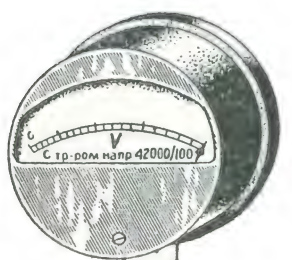


Магнитоэлектрический вольтметр с отдельным добавочным сопротивлением

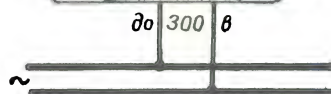
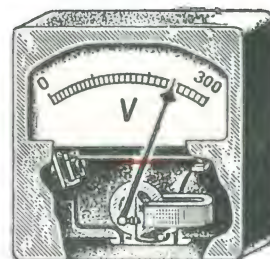
ИЗМЕРЕНИЕ ПОСТОЯННОГО НАПРЯЖЕНИЯ



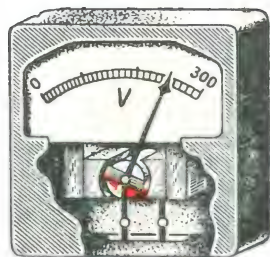
Детекторный вольтметр при малом напряжении



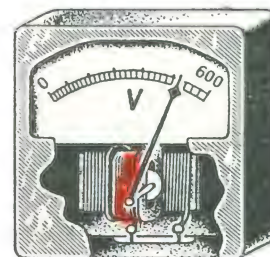
Электромагнитный вольтметр с трансформатором напряжения



Тепловой вольтметр при повышенной и высокой частоте



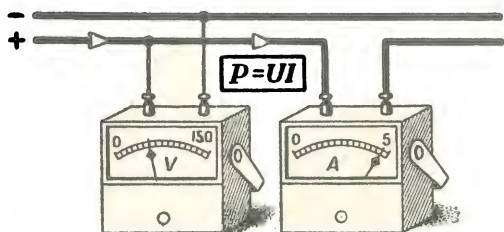
Электронный вольтметр при повышенной и высокой частоте



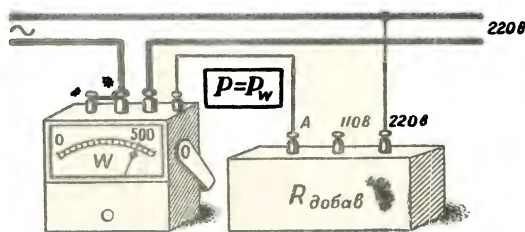
Электромагнитный вольтметр с внутр. добавочным сопротивлением

ИЗМЕРЕНИЕ ПЕРЕМЕННОГО НАПРЯЖЕНИЯ

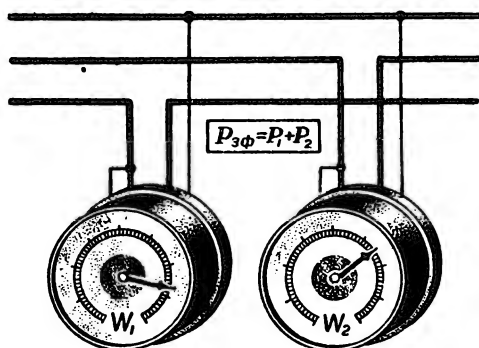
ИЗМЕРЕНИЕ МОЩНОСТИ



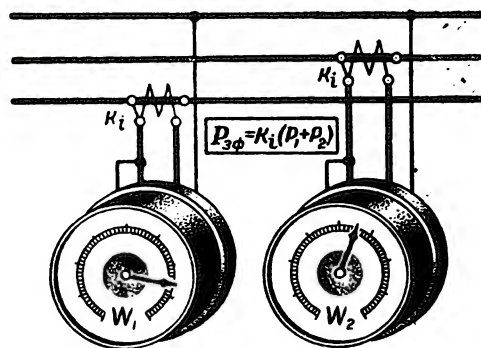
Измерение мощности постоянного тока



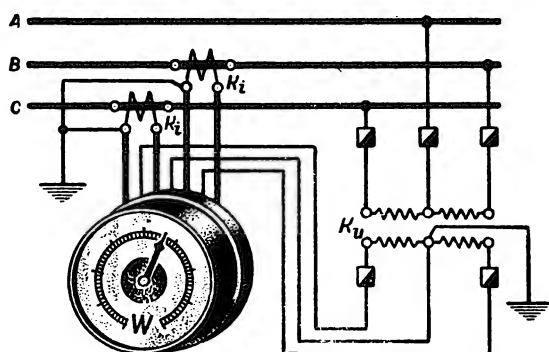
Измерение мощности однофазного тока



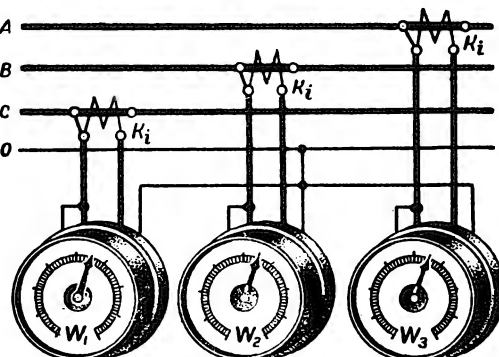
Непосредственное включение ваттметров
в трехпроводной системе
(См. часть I, гл. 5, табл. 10-14)



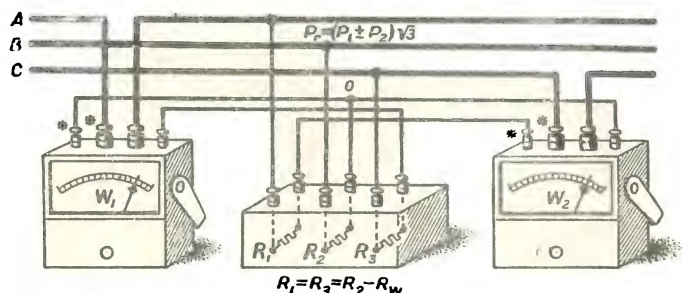
Полукосвенное включение ваттметров
в трехпроводной системе



$P = K_i K_u P_w$
Косвенное включение трехфазного ваттметра
в трехпроводной системе

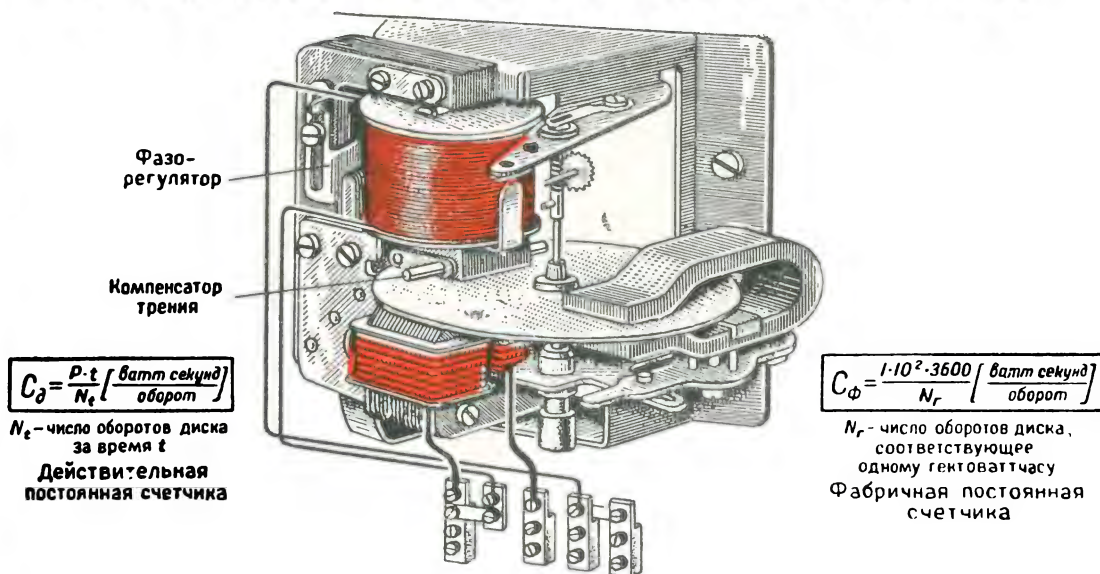


$P = K_i (P_{w1} + P_{w2} + P_{w3})$
Полукосвенное включение ваттметров
в четырехпроводной системе

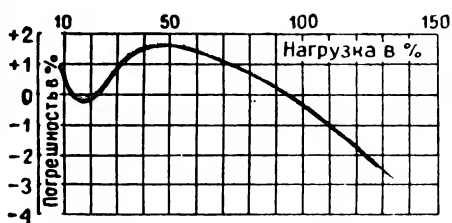


$R_1 = R_3 = R_2 - R_w$
Включение двух ваттметров для измерения реактивной мощности
в трехпроводной системе
(См. часть I, гл. 5, табл. 10-14)

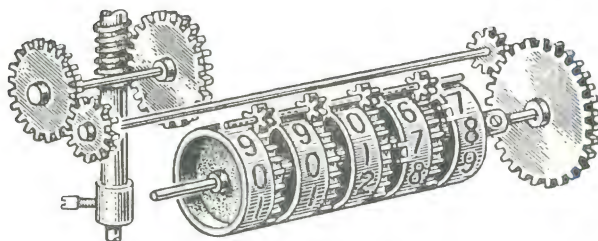
СЧЕТЧИКИ ЭЛЕКТРИЧЕСКОЙ ЭНЕРГИИ



Однофазный индукционный счетчик типа Б



Кривая относительной погрешности индукционного счетчика



Счетный механизм счетчика

$$\Delta C \% = \frac{C_\phi - C_d}{C_d} 100$$

Относительная погрешность счетчика

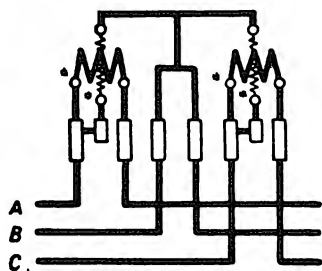
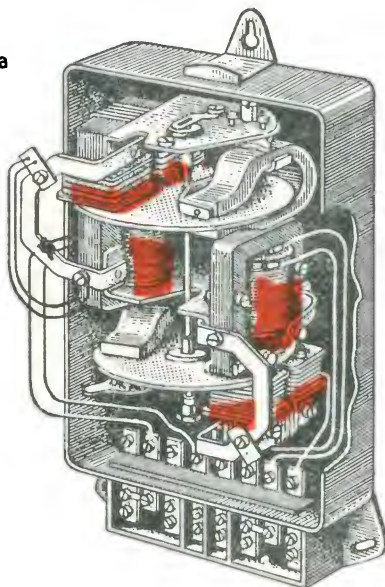


Схема включения трехфазного счетчика типа ИТ



Трехфазный индукционный счетчик типа ИТ

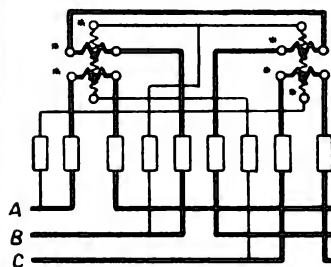
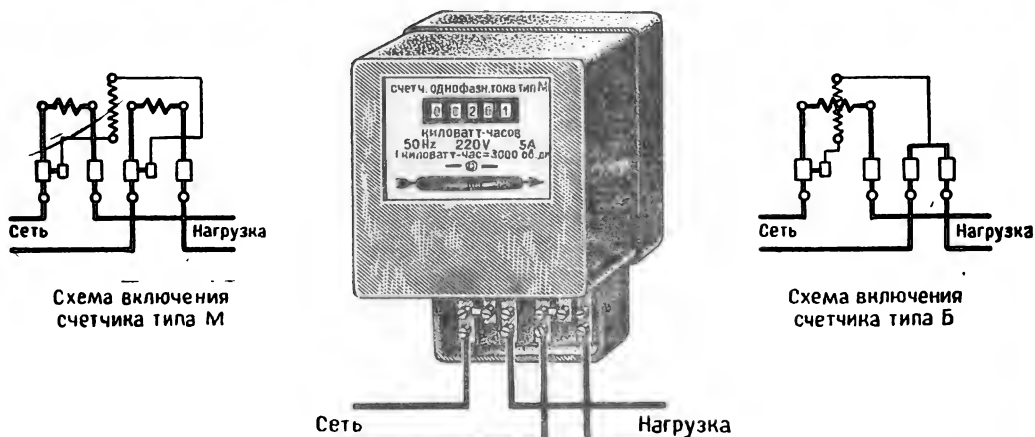
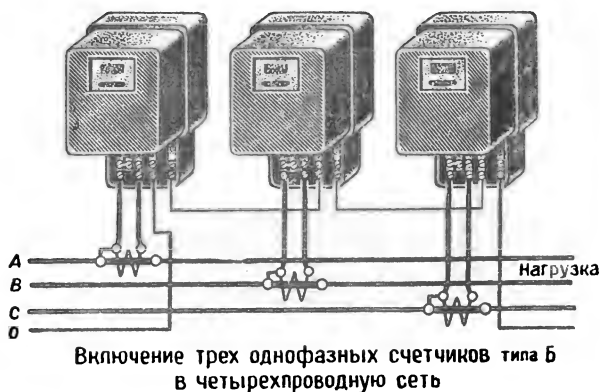
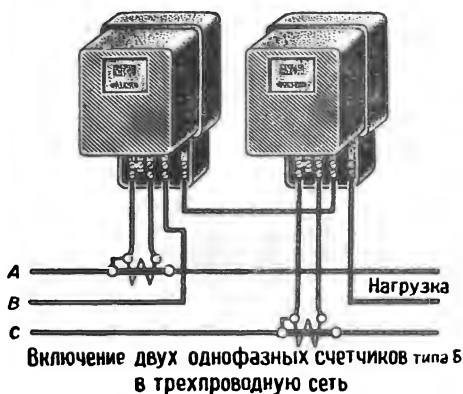
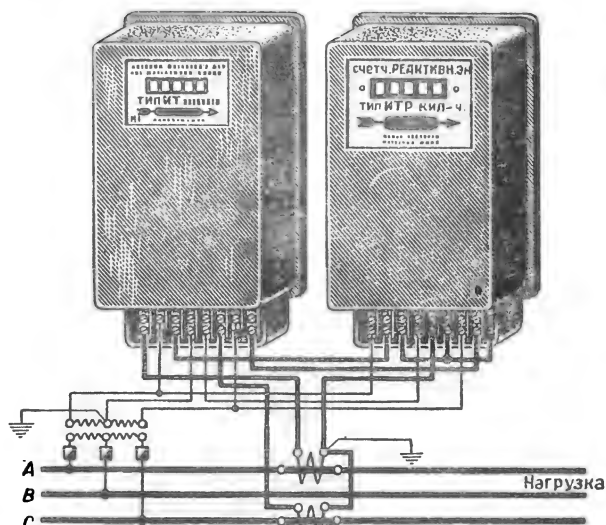
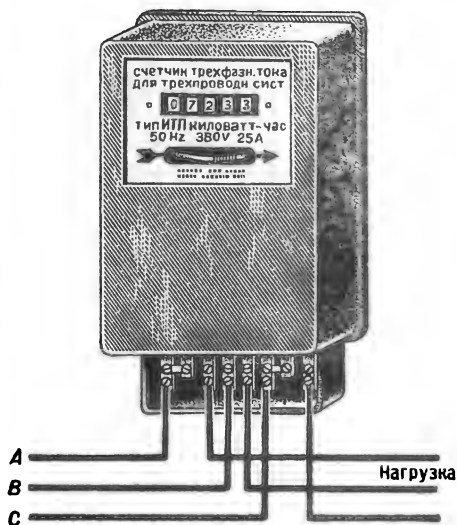


Схема включения трехфазного счетчика реактивной энергии типа ИТР

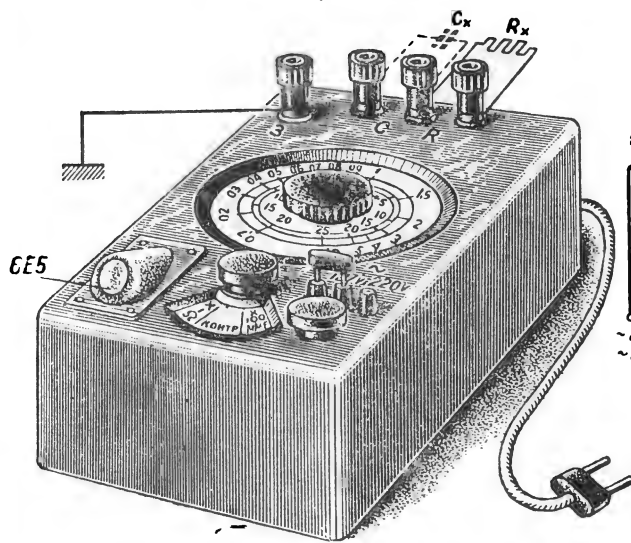
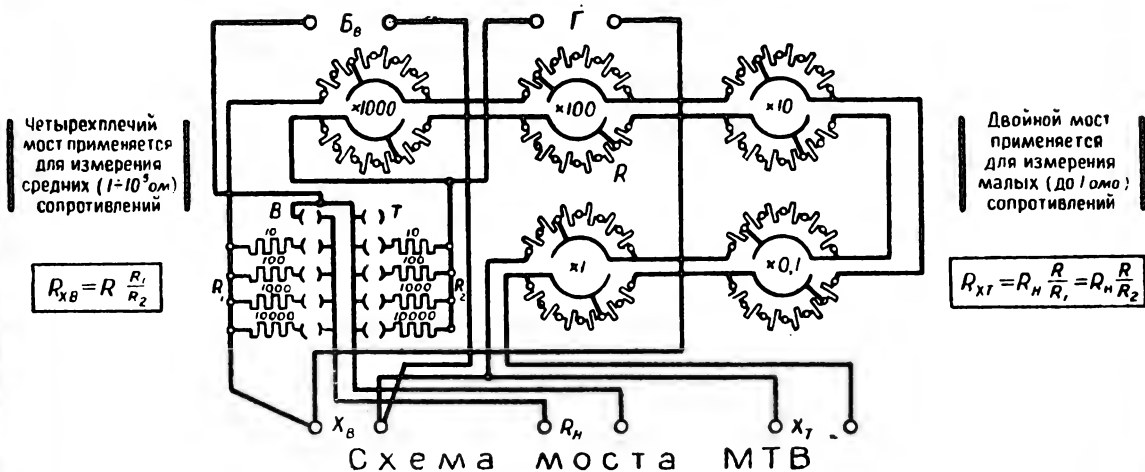
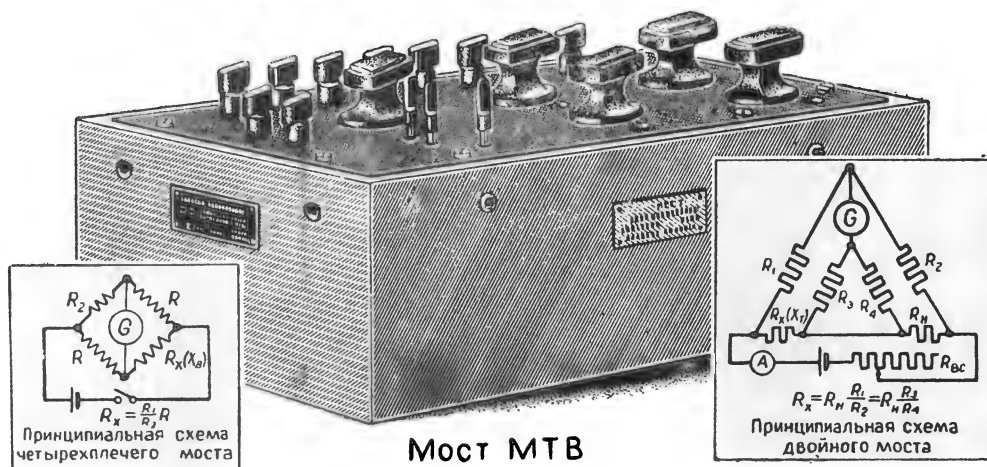
ИЗМЕРЕНИЕ ЭЛЕКТРИЧЕСКОЙ ЭНЕРГИИ



Учет электрической энергии однофазным счетчиком М



МОСТОВЫЕ СХЕМЫ



Универсальный мост RC

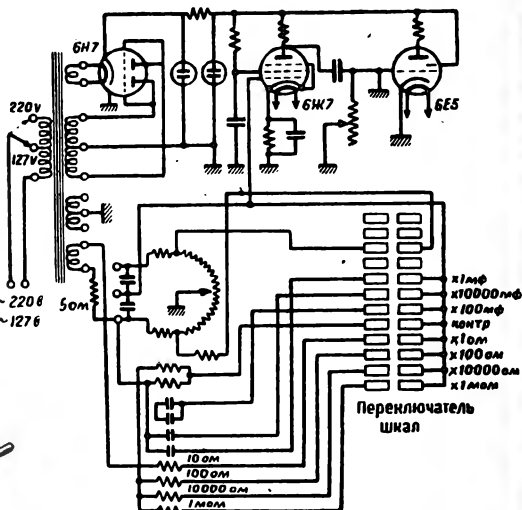
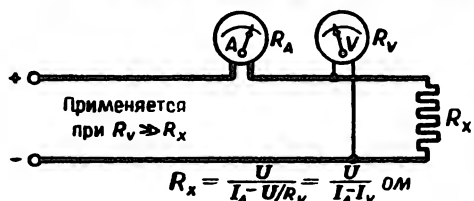
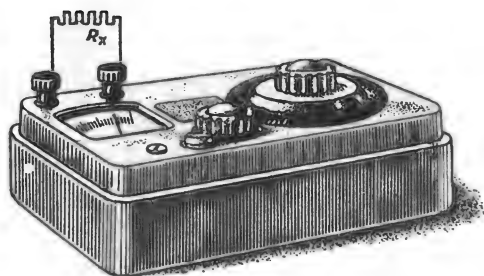
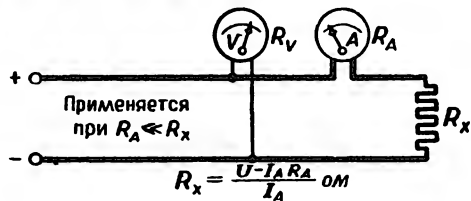


Схема моста RC

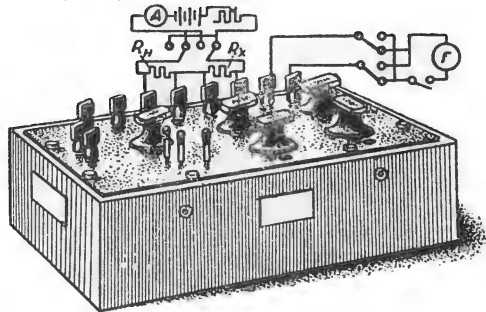
ИЗМЕРЕНИЕ СОПРОТИВЛЕНИЙ



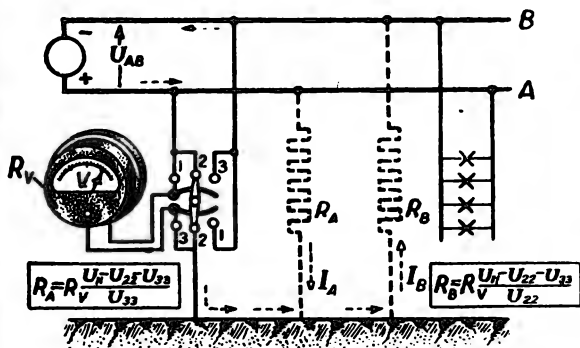
Измерение сопротивлений методом амперметра и вольтметра



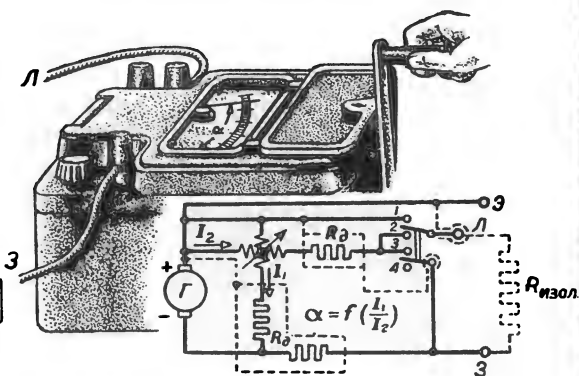
Измерение сопротивлений от 1 до 10^6 омов обыкновенным мостом



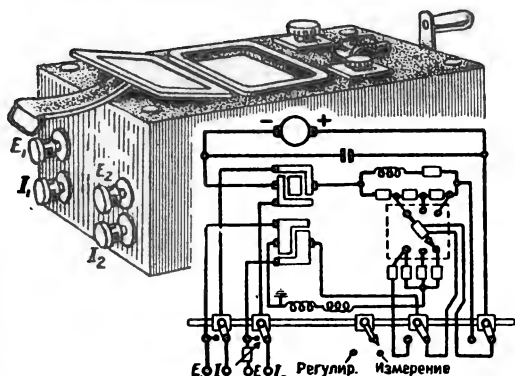
Измерение малых (до 1 ома) сопротивлений универсальным мостом МТВ



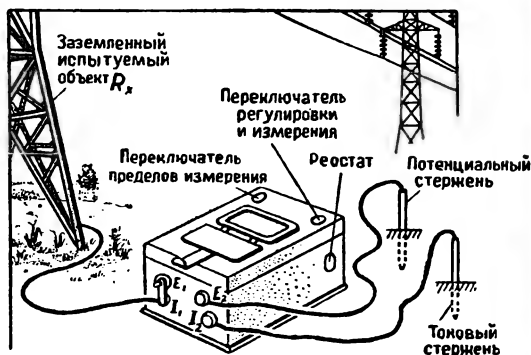
Измерение сопротивления изоляции линии, находящейся под напряжением, методом вольтметра



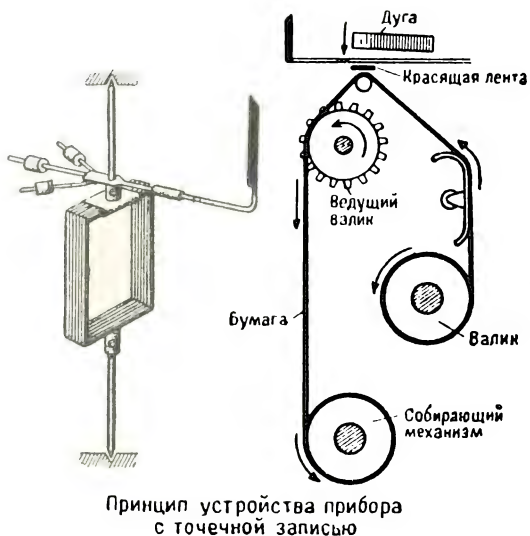
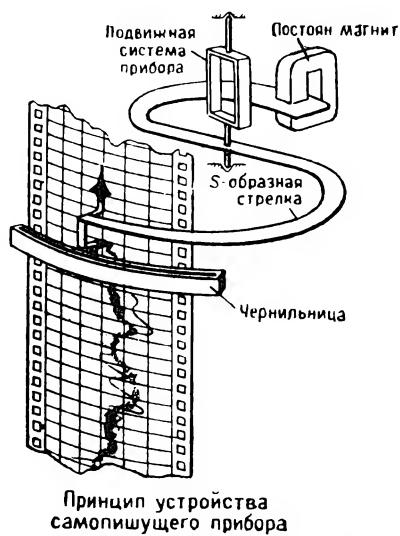
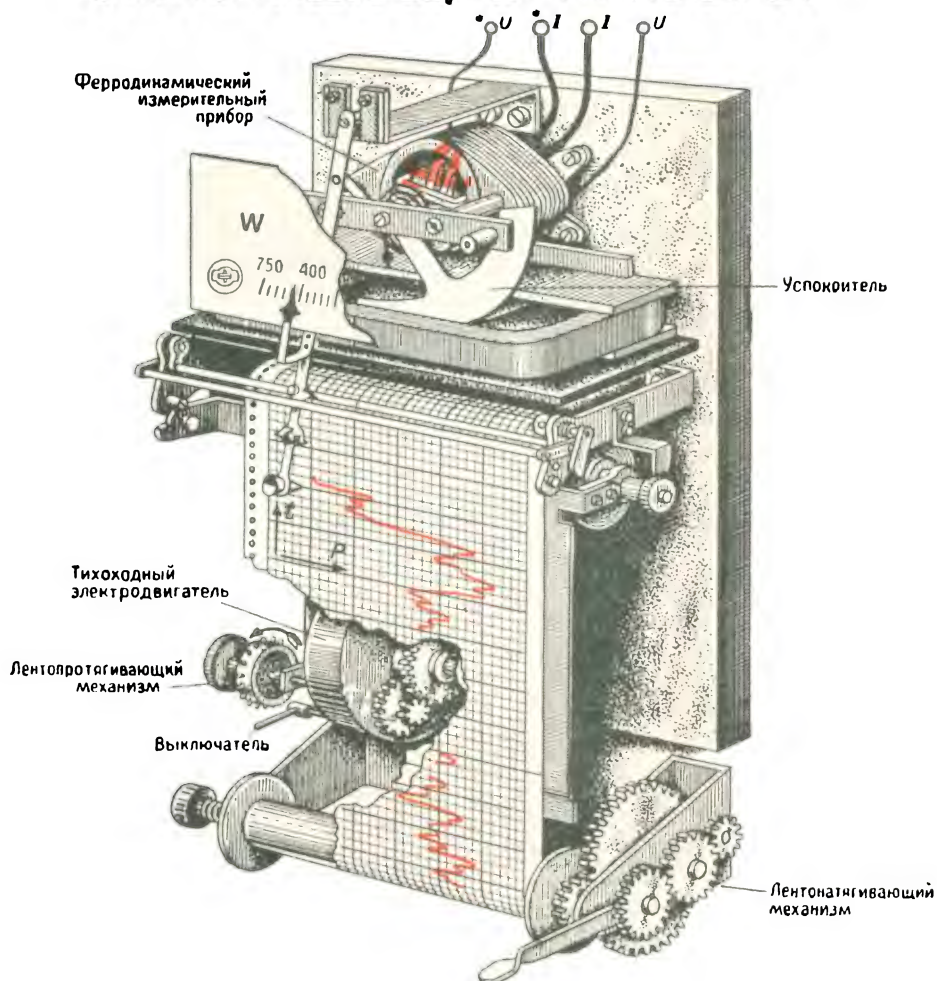
Измерение сопротивления изоляции мегомметром М-1101



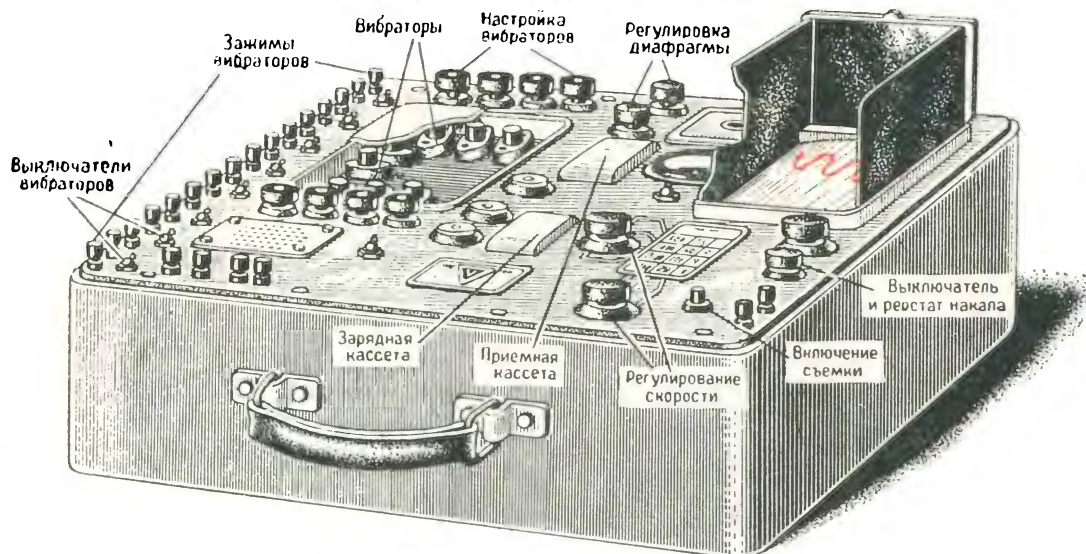
Измерение сопротивления заземления измерителем заземления МС-07



САМОПИШУЩИЕ ПРИБОРЫ

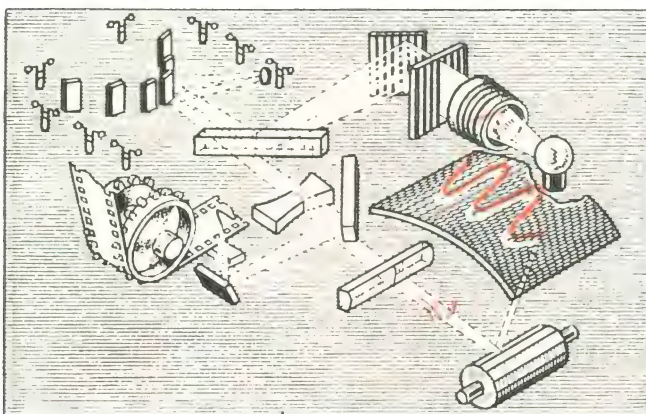


ОСЦИЛЛОГРАФЫ



Магнитоэлектрический переносный осциллограф типа МПО-2

■ Пригоден для исследования процессов с частотой $f \leq 5000$ герц ■



Оптическая система МПО-2

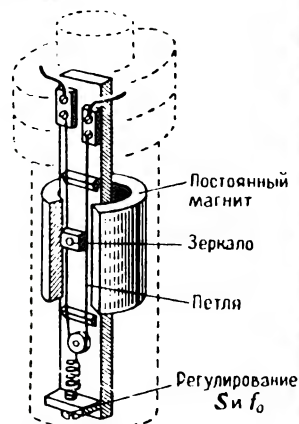
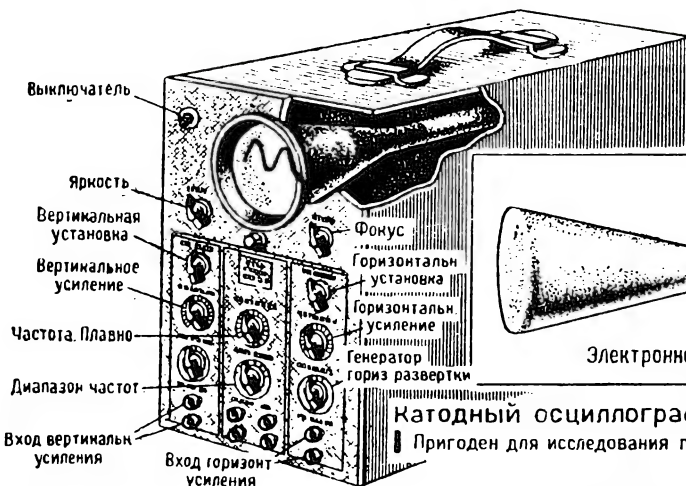


Схема устройства вибратора

Чувствительность — S [мм/ма]
Частота собств. колебаний — f_0 [гц]
Сопротивление петли — R [ом]

Основные параметры вибратора



Катодный осциллограф

■ Пригоден для исследования процессов с частотой $f \leq 10^6$ герц ■



Электронно-лучевая трубка

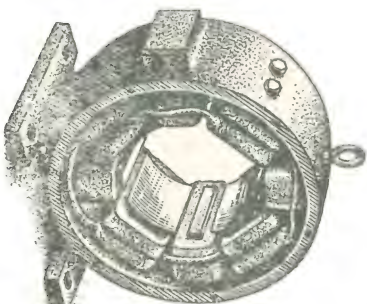
■ Осциллографы применяются для наблюдения и записи быстроизменяющихся процессов ■

Ш.М.Алукер

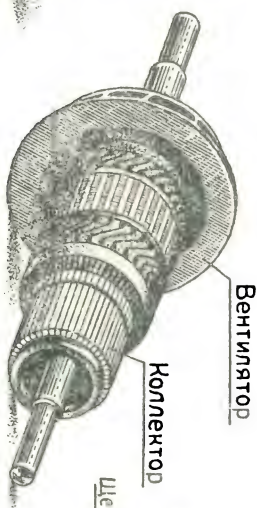
МАШИНА ПОСТОЯННОГО ТОКА



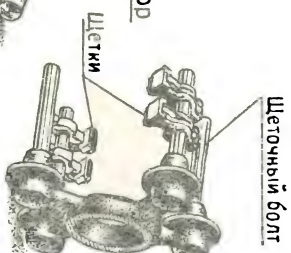
Задний щит



Станина с полюсами



Якорь



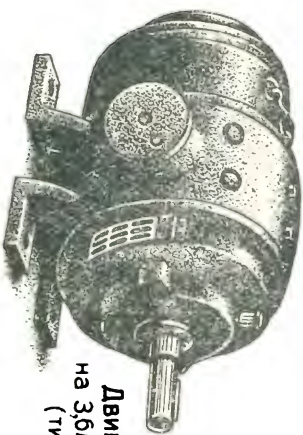
Траверса



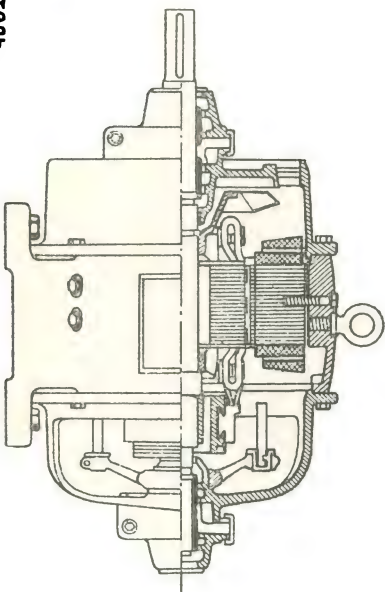
Передний щит



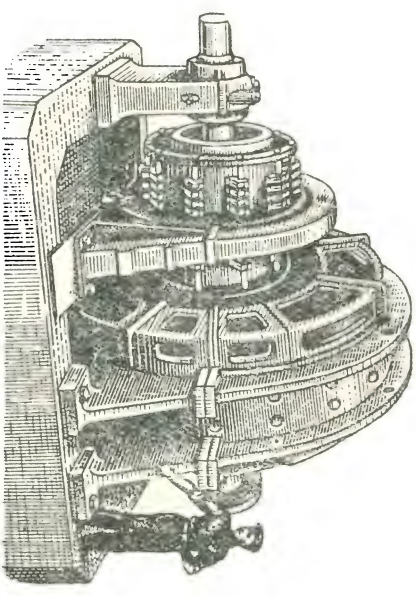
Генератор
на 0,08 кВт, 8 в
(тип ГбФ-4105)



Двигатель
на 3,6 кВт, 220 в
(тип ДН)



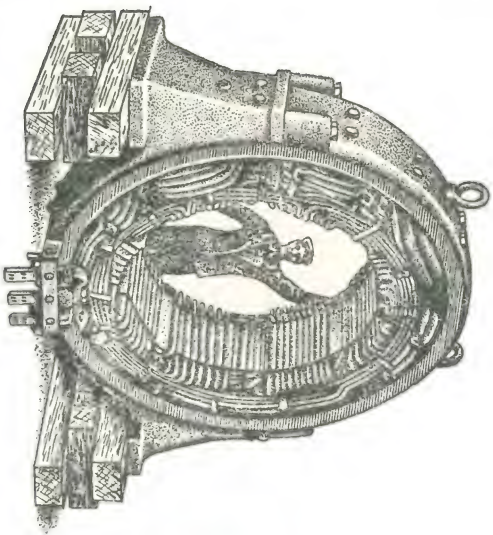
Разрез машины



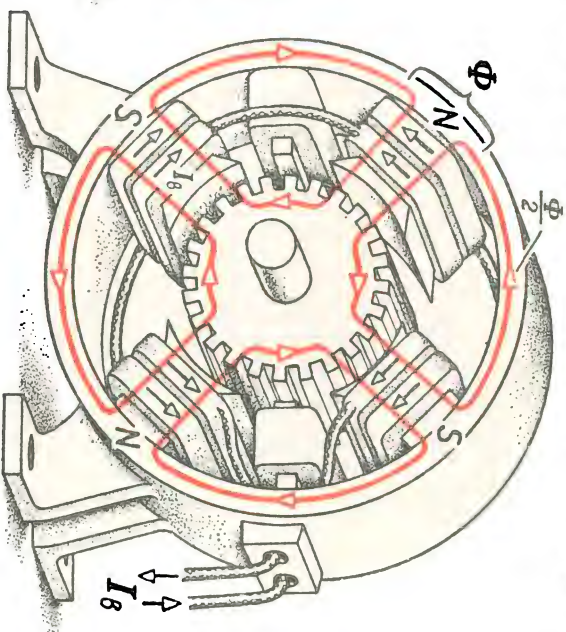
Многополюсная машина
на 800 кВт, 550 в

Маломощные машины

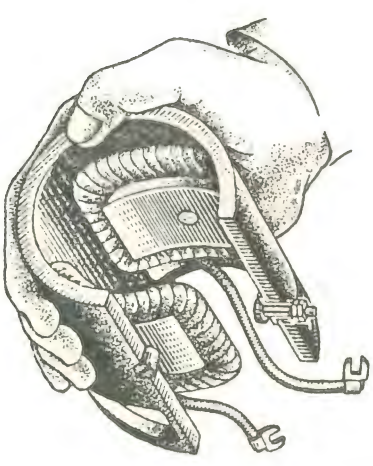
МАГНИТНАЯ СИСТЕМА МАШИНЫ ПОСТОЯННОГО ТОКА



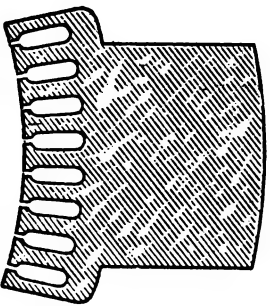
Многополюсная станина генератора на 1500 кВт с компенсационной обмоткой



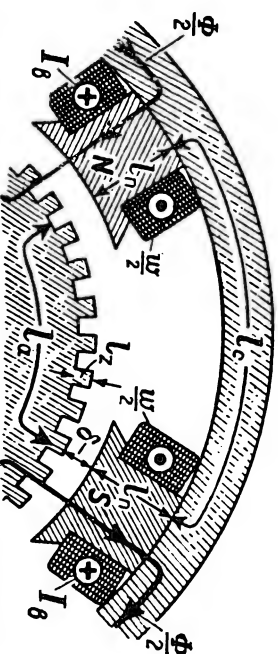
Магнитная цепь четырехполюсной машины



Двухполюсная станина генератора на 0,08 кВт



Полос с пазами для компенсационной обмотки

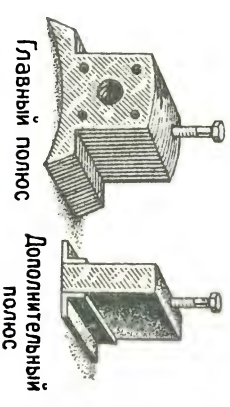


$$I_{\delta} w = H_{\delta} 2\delta + H_z 2l_z + H_a l_a + H_n 2l_n + H_c l_c = \sum H l$$

Ампер-витки пары полюсов

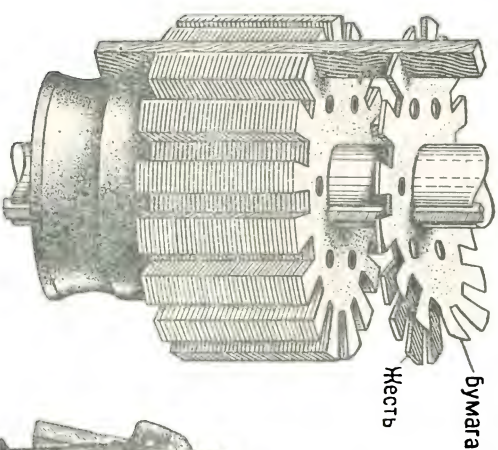


Обмотка главного полюса

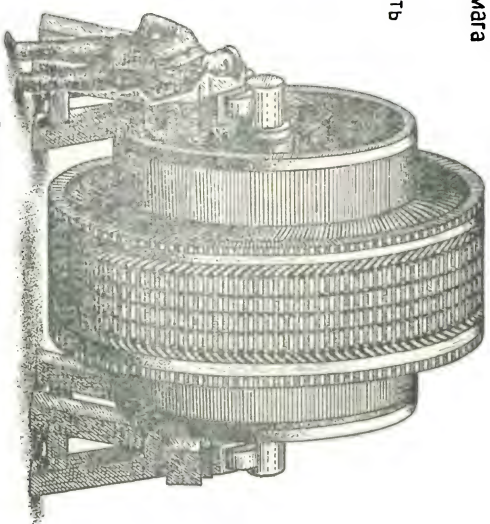


Дополнительный полюс

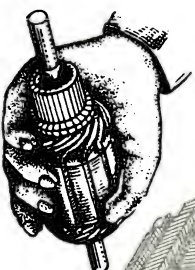
ЯКОРЬ МАШИНЫ ПОСТОЯННОГО ТОКА



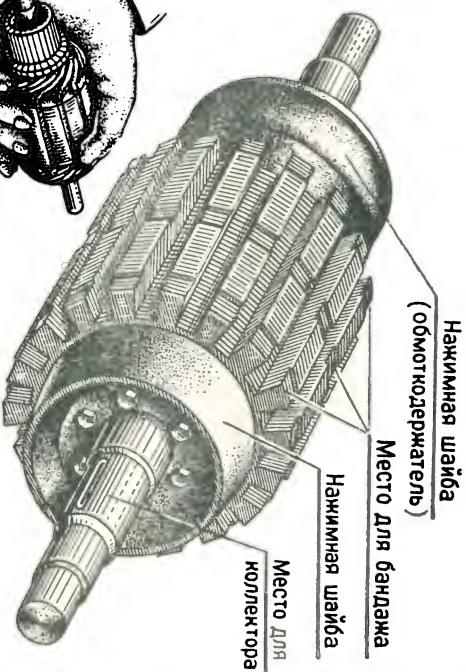
Сборка якоря



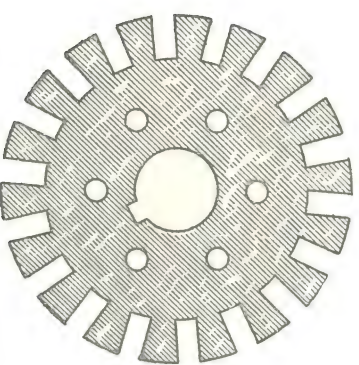
Якорь машины
большой мощности



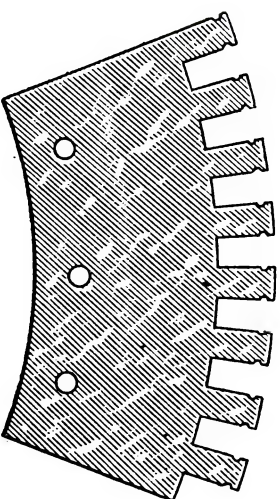
Якорь генератора
на 0,08 кВт



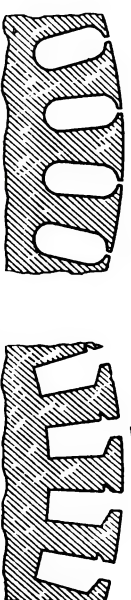
Якорь без обмотки



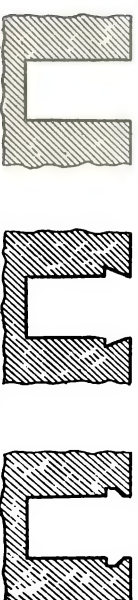
Якорная сталь (жесть)
небольшой машины



Якорная сталь
большой машины (сегмент)



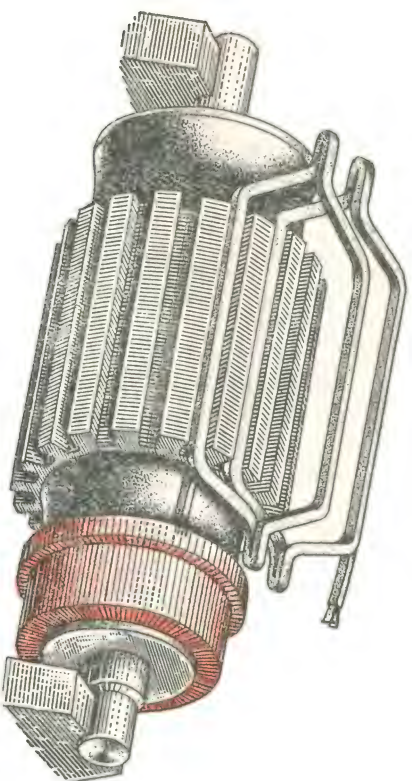
Полузакрывтые пазы



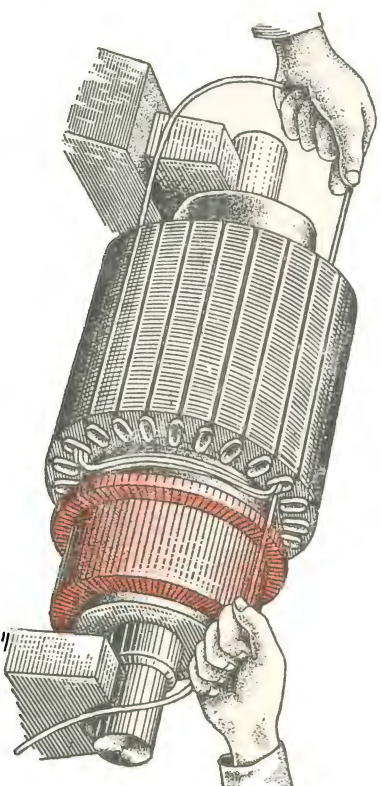
Открытые пазы

Ф О Р М А П А З О В

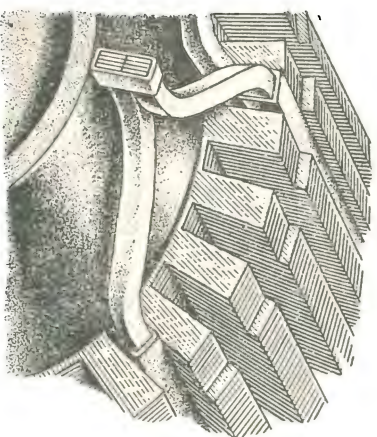
ОБМОТКА ЯКОРА



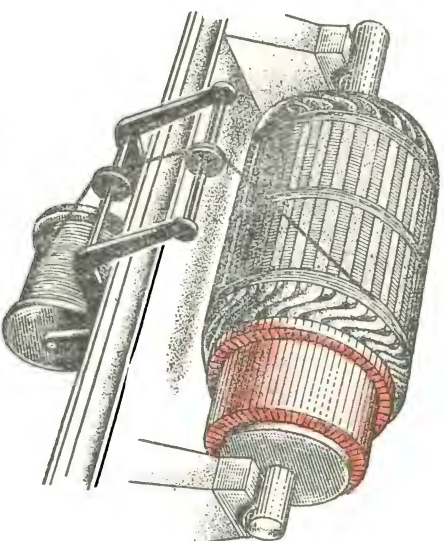
Укладка секций при открытых пазах



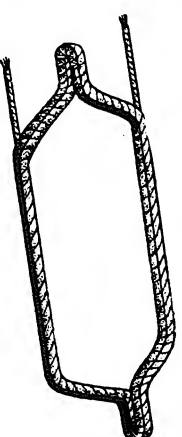
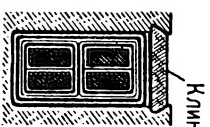
Намотка якоря с полузакрытыми пазами



Двухслойная стержневая обмотка

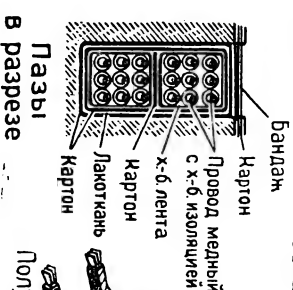


Бандажировка якоря

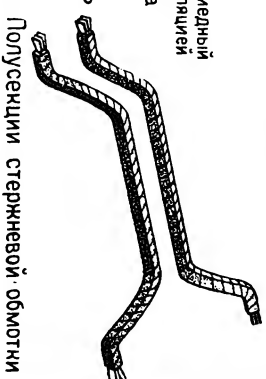


Клин

Секция катушечной обмотки

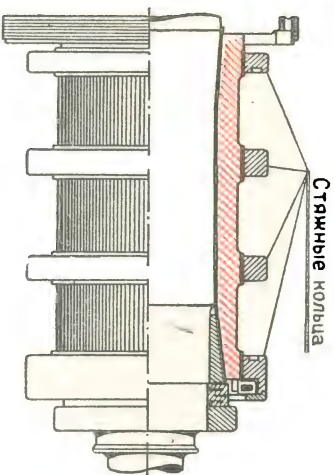


Пазы в разрезе

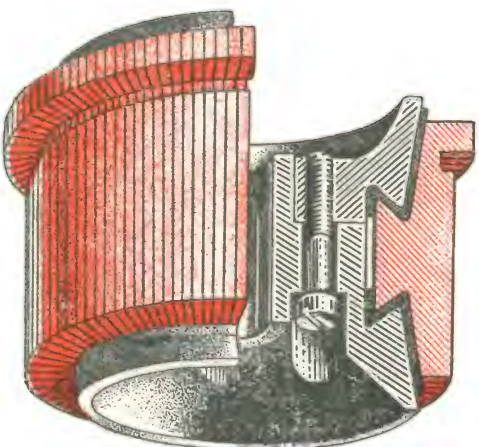


Полусекции стержневой обмотки

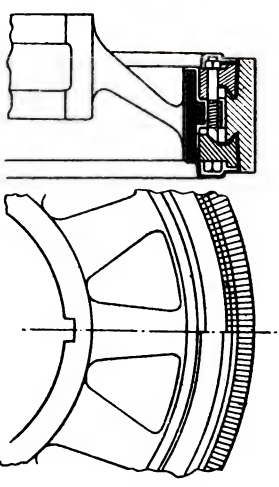
КОММУТАЦИОННАЯ СИСТЕМА



Коллектор быстроходной машины



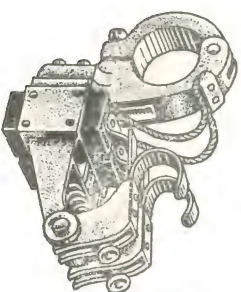
Разрез коллектора



Коллектор тихоходной машины



Лучевая траверса

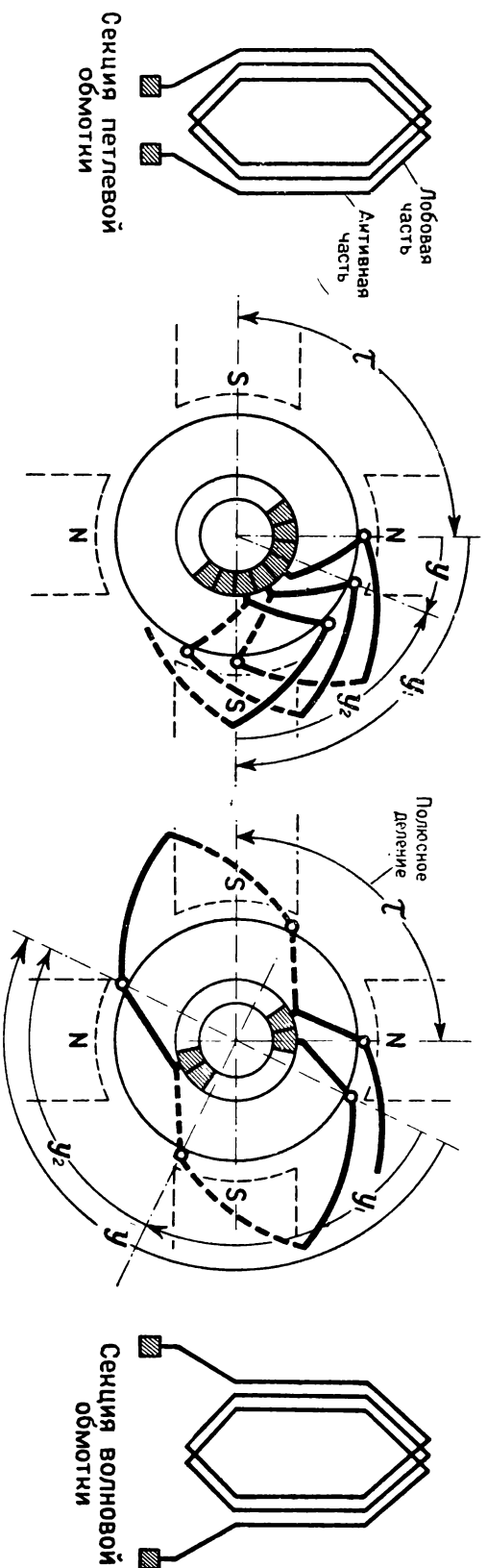


Щеткодержатели со щетками

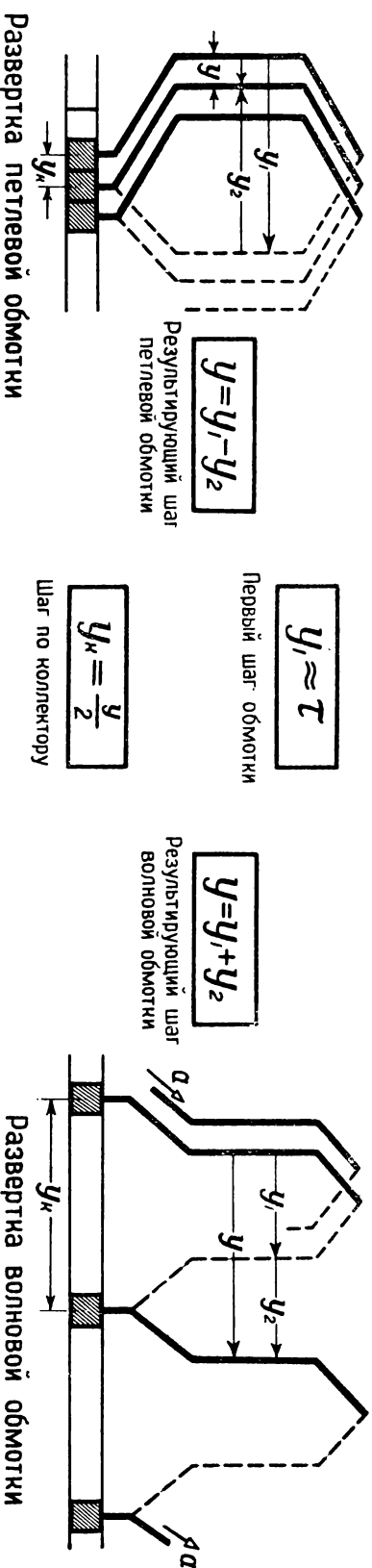


Кольцевая траверса

ПЕТЛЕВАЯ И ВОЛНОВАЯ ОБМОТКИ



Частичные (y_1, y_2) и результирующий (y) шаги обмотки



СХЕМЫ ОБМОТОК ЯКОРА

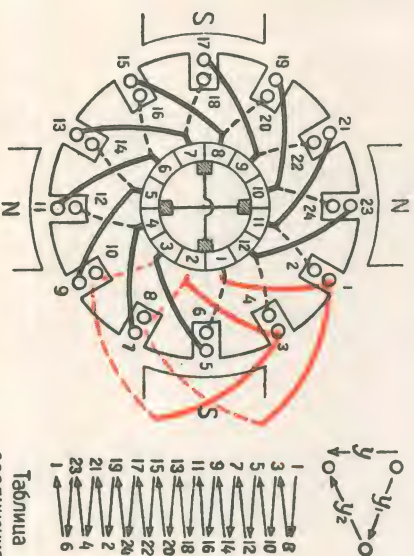
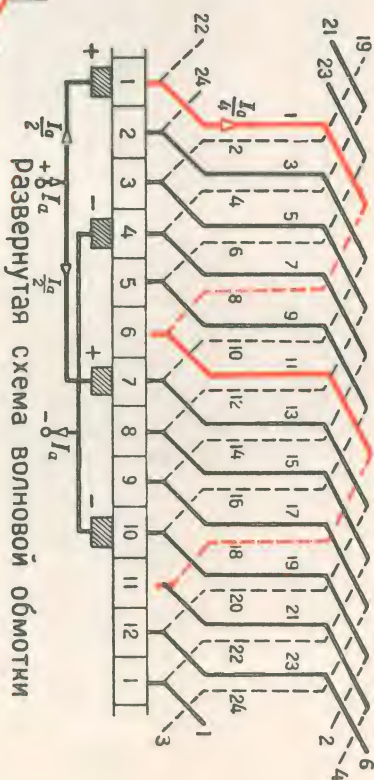
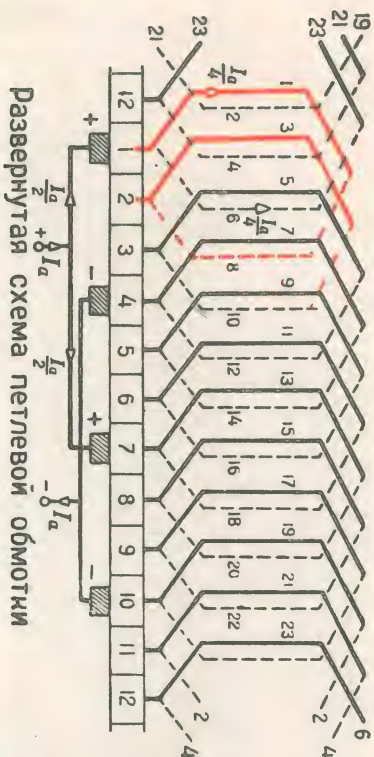
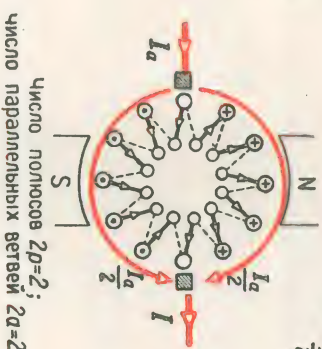


Таблица
соединения
проводников

1	8
3	10
5	12
7	14
9	16
11	18
13	20
15	22
17	24
19	2
21	4
23	6

Круговая схема петлевой обмотки

Простая петлевая обмотка
($2a=2p=4$; $y_1=7$; $y_2=5$; $y_k=2$; $y_k=1$; $y_k=3$)



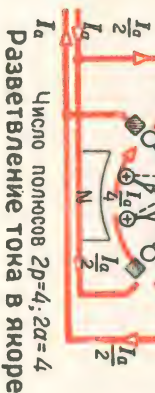
Число полюсов $2p=2$;
число параллельных ветвей $2a=2$

Таблица
соединения
проводников

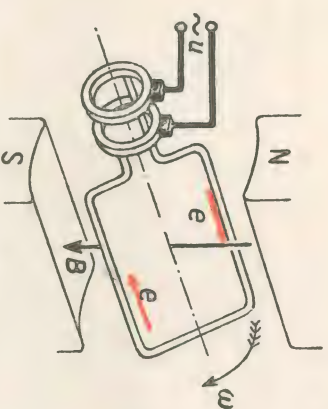
1	8
3	10
5	12
7	14
9	16
11	18
13	20
15	22
17	24
19	2
21	4
23	6

Круговая схема волновой обмотки

Простая волновая обмотка
($2a=2p=4$; $y_1=7$; $y_2=3$; $y_k=10$; $y_k=5$; $y_k=3$)

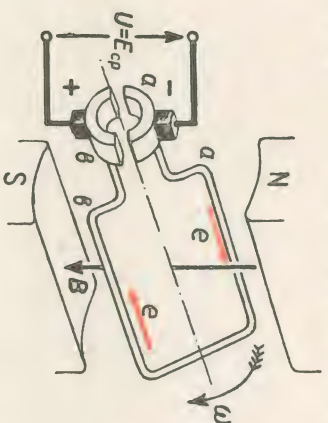


ВЫПРЯМЛЕНИЕ ТОКА

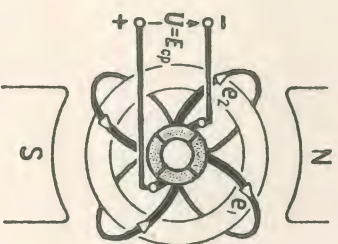
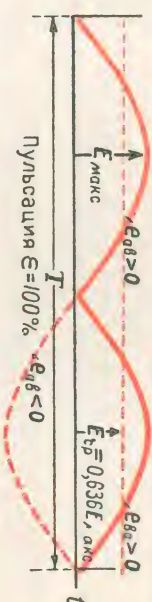
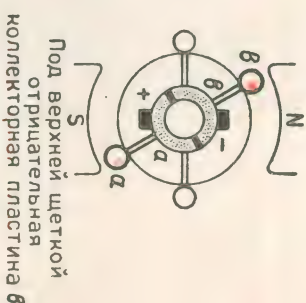
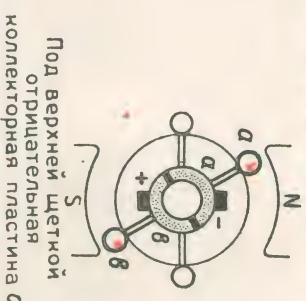


Наведение переменной э.д.с. во вращающемся витке

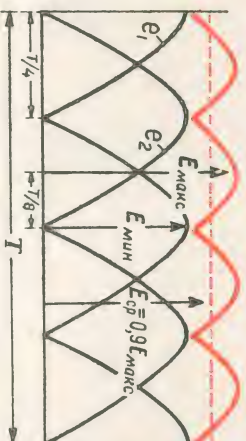
$$e = E_{\text{макс}} \sin \omega t$$



Выпрямление тока простейшим коллектором



Якорь с четырьмя витками кольцевой обмотки

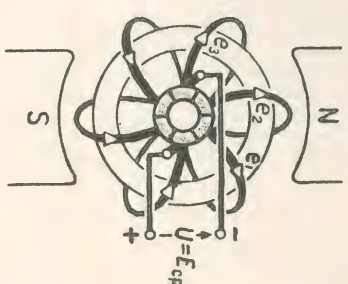
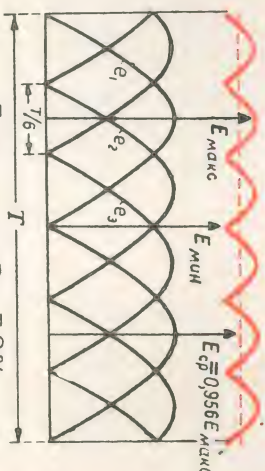


Пульсация $\epsilon = 17,2\%$
напряжение на щетках при четырех ($N_k=4$) и шести ($N_k=6$) коллекторных пластинах

$$\epsilon = \frac{E_{\text{макс}} - E_{\text{мин}}}{E_{\text{макс}} + E_{\text{мин}}} 100\%$$

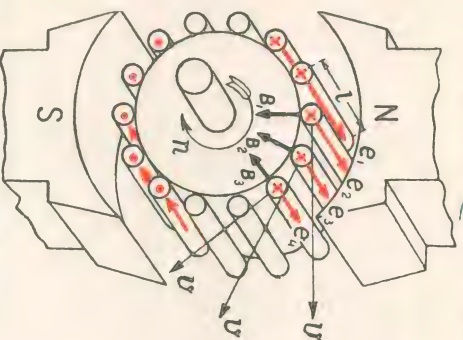
$$\frac{E_{\text{мин}}}{E_{\text{макс}}} = \cos \frac{\pi}{N_k}$$

Пульсация выпрямленного напряжения

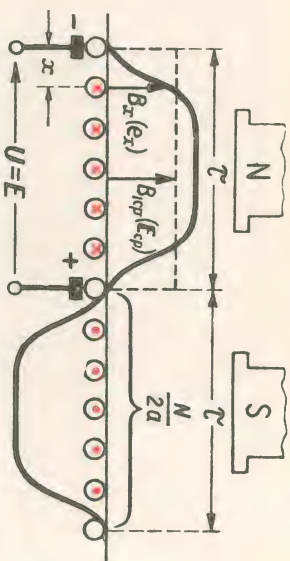


Якорь с шестью витками кольцевой обмотки

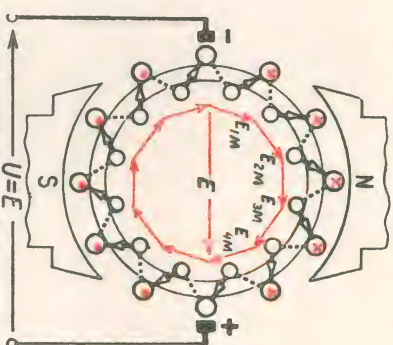
ЭЛЕКТРОДВИЖУЩАЯ СИЛА (Э.Д.С.) ЯКОРА



Наведение переменной э.д.с. в проводниках якоря



Кривая изменения магнитной индукции (B) в воздушном зазоре — кривая изменения э.д.с. (e) в проводнике



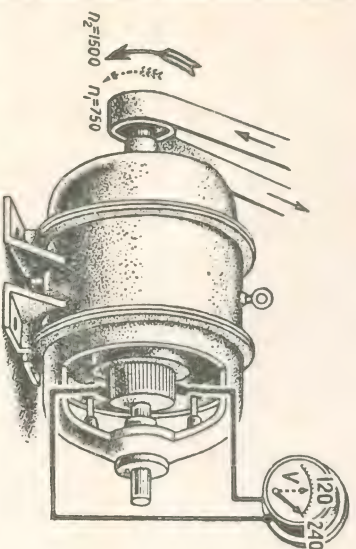
$$e_x = B_x l v$$

$$E_{cp} = B_{cp} l v$$

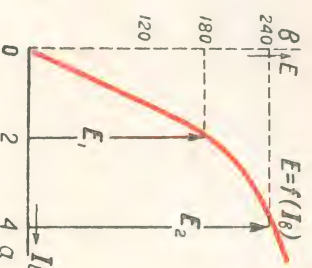
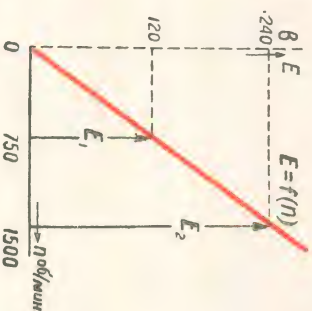
$$E = \frac{N}{2a} E_{cp} = \frac{B \Omega}{60a} N \Phi$$

Мгновенное и среднее значения э.д.с. проводника

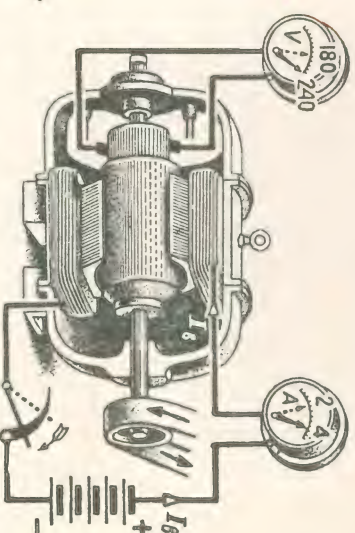
Э.д.с. якоря равна сумме э.д.с. проводников ($\frac{N}{2a}$) одной параллельной ветви



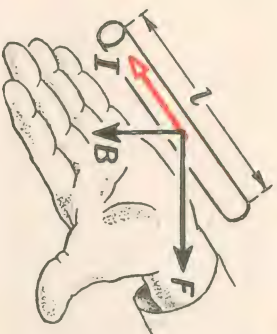
Изменение э.д.с. якоря (E) с изменением его числа оборотов (n)



Изменение э.д.с. якоря (E) с изменением тока возбуждения (I_b)



ВРАЩАЮЩИЙ МОМЕНТ ЯКОРА

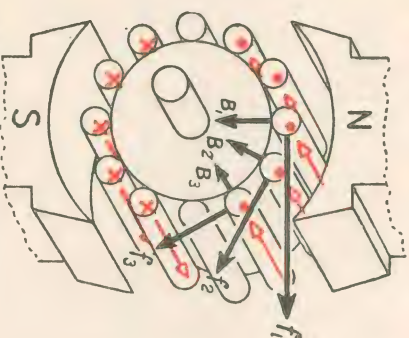


$$F = BIl \quad \frac{\text{дж}}{\text{см}}$$

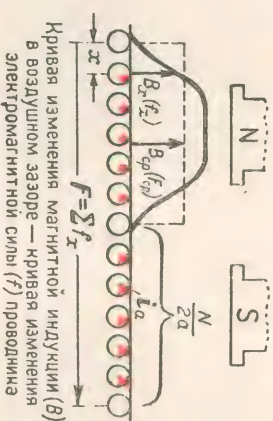
Электромагнитная сила (F)

проводника

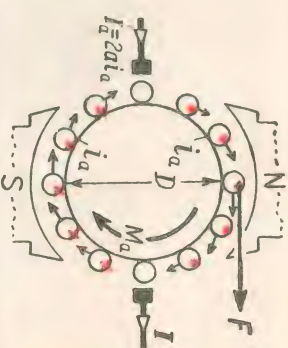
(сила, действующая на проводник с током в магнитном поле)



Электромагнитная сила проводников якоря



Кривая изменения магнитной индукции (B) в воздушном зазоре — кривая изменения электромагнитной силы (f) проводника



$$F = \sum f_x = N i_a f_{cp} \quad \frac{\text{дж}}{\text{см}} \quad M_a = F \frac{D}{2} = \sum f_x \frac{D}{2} \quad \text{дж}$$

Мгновенное и среднее значения электромагнитной силы проводников

Мгновенное и среднее значения электромагнитной силы проводников

Окружное усилие (F) якоря (сумма электромагнитных сил всех N проводников якоря)

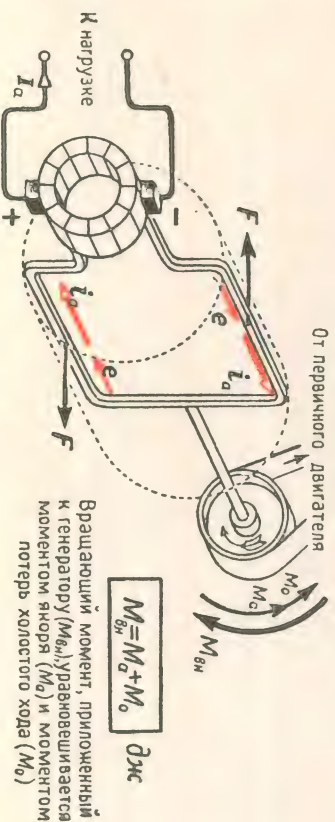
Вращающий момент якоря (сумма электромагнитных моментов всех N проводников якоря)

Вращающий момент якоря (электромагнитный момент якоря)

$$M_a = \frac{DN}{a2\pi} I_a \Phi \quad \text{дж}$$

$$M_a = C I_a \Phi \quad \text{дж}$$

$$M_a = 0,102 \frac{DN}{a2\pi} \cdot I_a \Phi \quad \text{кГм}$$

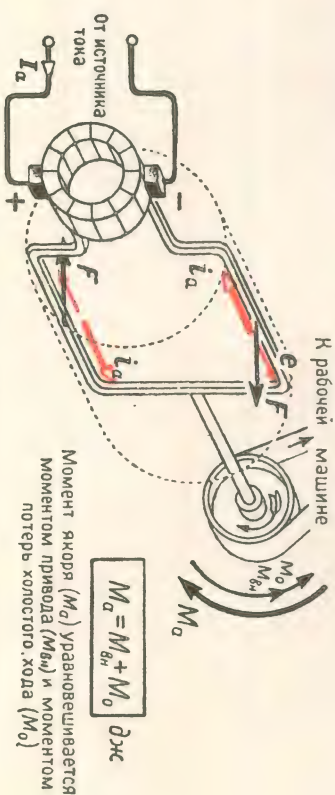


От первичного двигателя

$$M_a = M_g + M_o \quad \text{дж}$$

Вращающий момент, приложенный к генератору (M_g), уравновешивается моментом якоря (M_a) и моментом потерь холостого хода (M_o)

Направление вращающего момента якоря генератора



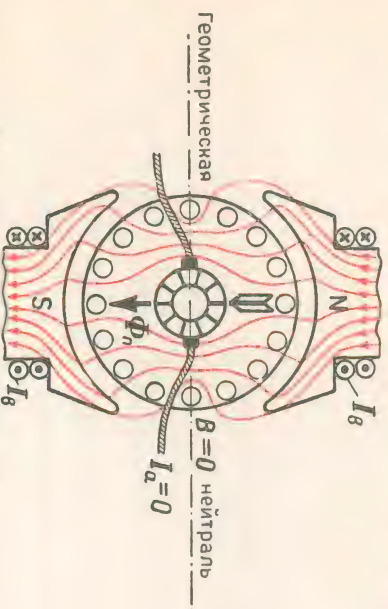
К рабочей машине

$$M_a = M_g + M_o \quad \text{дж}$$

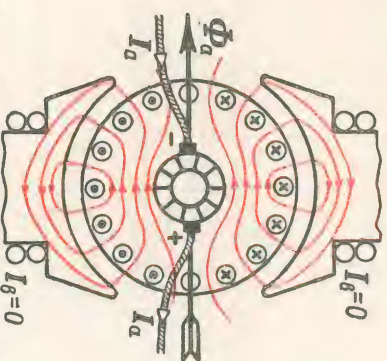
Момент якоря (M_g) уравновешивается моментом привода (M_g) и моментом потерь холостого хода (M_o)

Направление вращающего момента якоря двигателя

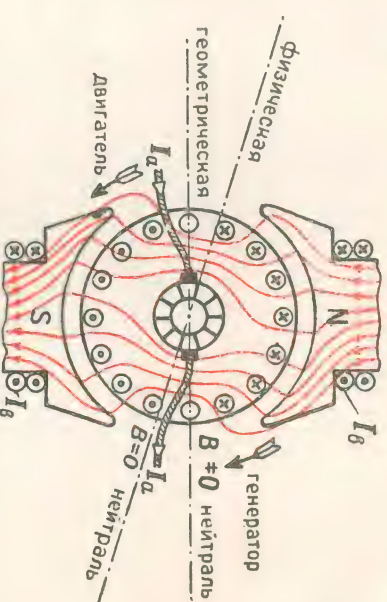
РЕАКЦИЯ ЯКОРА



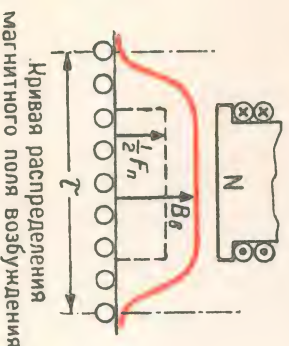
Магнитное поле обмотки возбуждения (Φ_n) полюсов



Магнитное поле якоря (Φ_a), поле реакции якоря



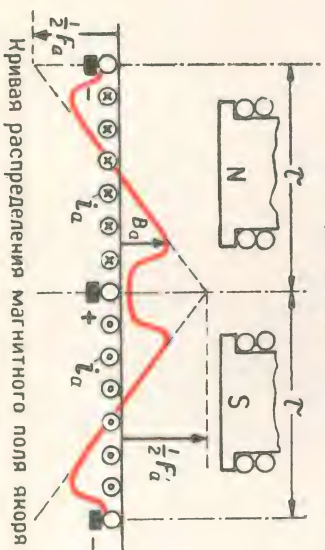
Результирующее магнитное поле



Кривая распределения магнитного поля возбуждения

$$F_n = I_\delta \psi_n \quad \alpha$$

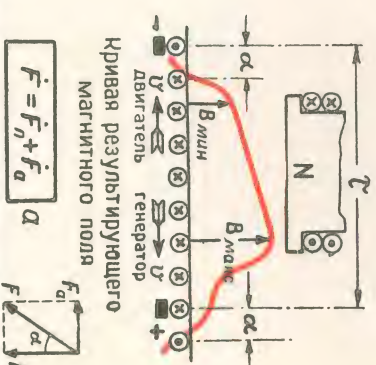
Намагничивающая сила (F_n) полюсов



Кривая распределения магнитного поля якоря

$$F_a = \frac{i_a N}{\pi D} \quad \tau = \gamma AS \quad \alpha$$

Намагничивающая сила (F_a) якоря

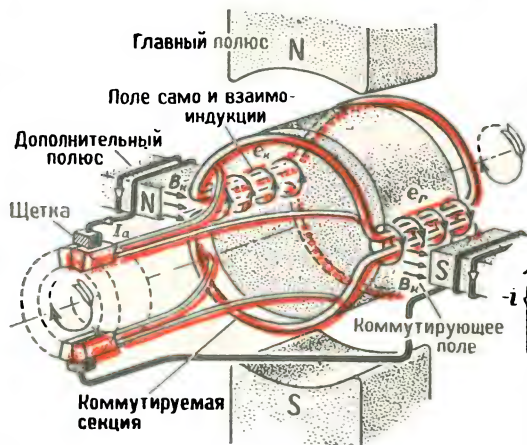


$$\vec{F} = \vec{F}_n + \vec{F}_a \quad \alpha$$

Результирующая намагничивающая сила (F)

Реакция якоря — воздействие поля якоря на поле возбуждения

КОММУТАЦИЯ ТОКА



Коммутация в машине с барабанным якорем

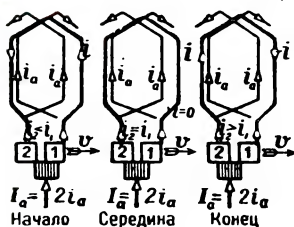
$$e_r = e_l + e_m \quad \beta$$

ЭДС само и взаимноиндукции

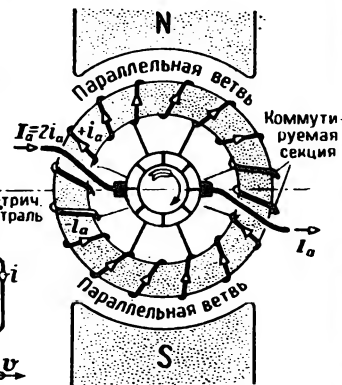
$$e_k = B_k l w_k v \quad \beta$$

Коммутирующая ЭДС

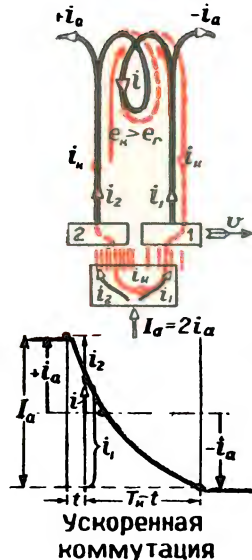
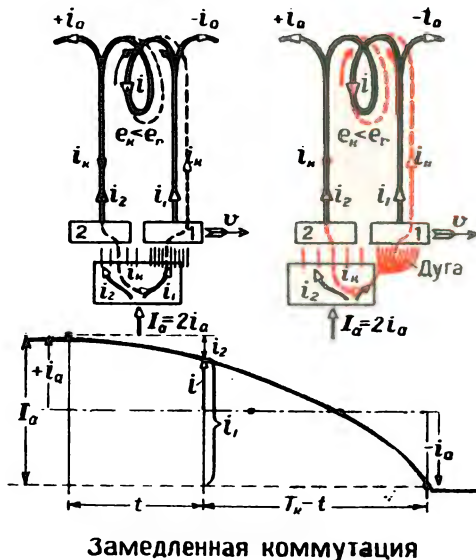
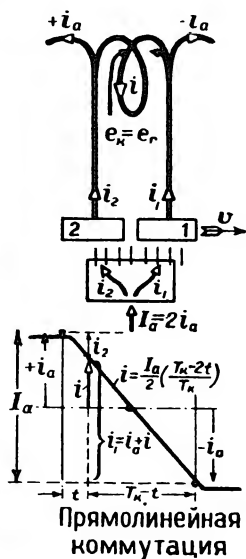
ЭДС в коммутируемой секции



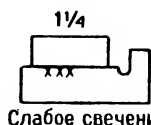
Последовательные моменты коммутации



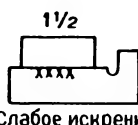
Коммутация в машине с кольцевым якорем



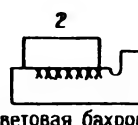
Искрения нет



Слабое свечение



Слабое искрение



Световая бахрома



Значительное искрение

Шкала степеней коммутации

ГЕНЕРАТОР С НЕЗАВИСИМЫМ ВОЗБУЖДЕНИЕМ

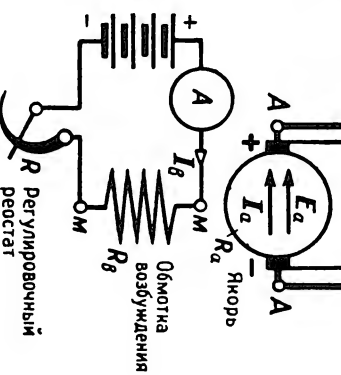
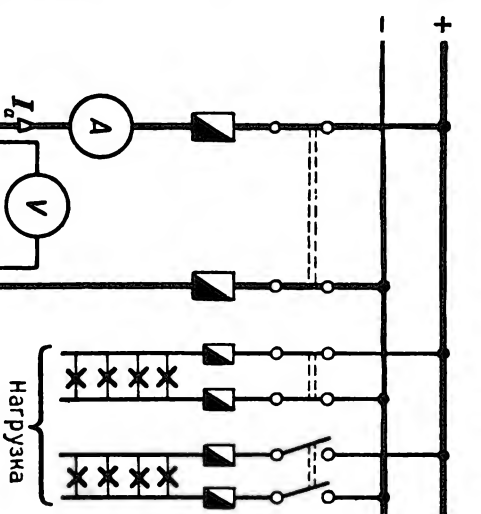
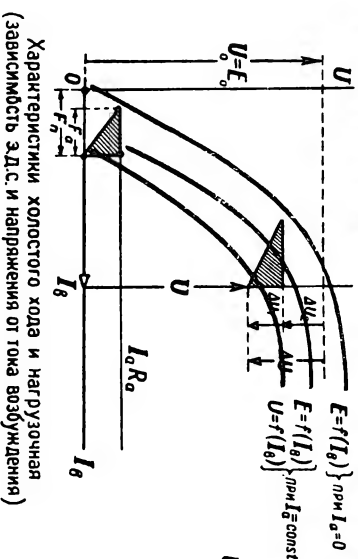


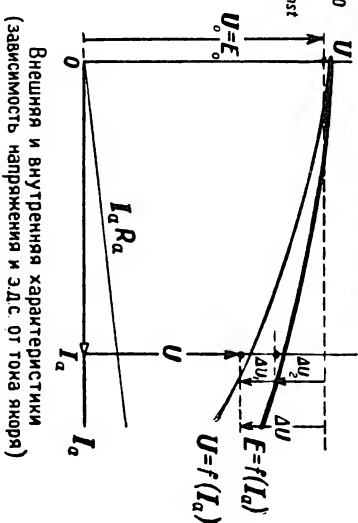
Схема генератора



Напряжение генератора при холостом ходе и при нагрузке

$$U_0 = E_0$$

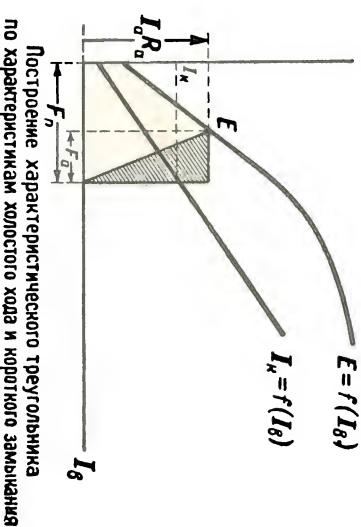
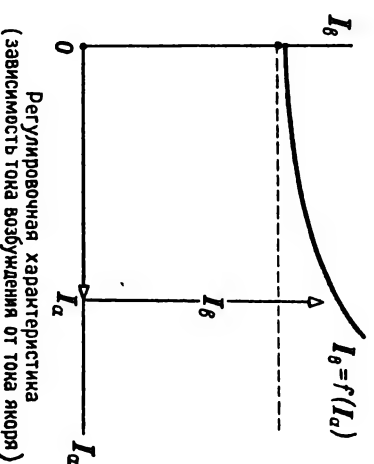
$$U = E - I_a R_a$$



Изменение напряжения генератора, вызываемое падением напряжения в цепи якоря ($\Delta U = I_a R_a$) и реакцией якоря (ΔU_z)

$$\Delta U = \Delta U + \Delta U_z$$

$$\Delta U_{\%} = \frac{U_0 - U}{U_0} \cdot 100 \%$$



ГЕНЕРАТОР С ПАРАЛЛЕЛЬНЫМ ВОЗБУЖДЕНИЕМ (ШУНТОВОЙ ГЕНЕРАТОР)

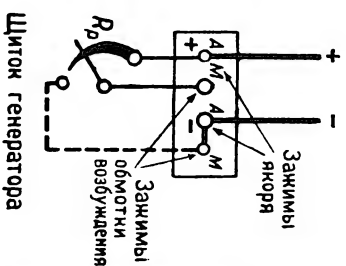
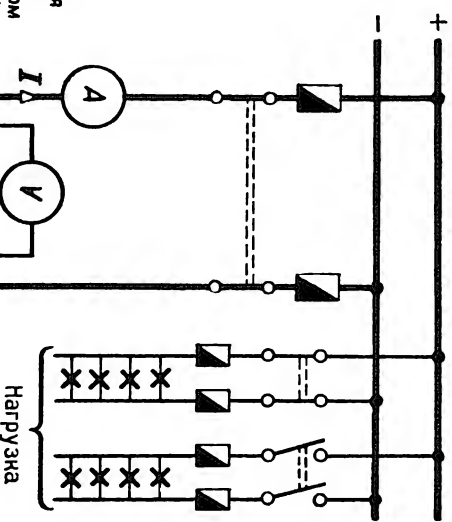
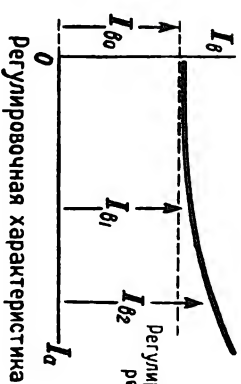
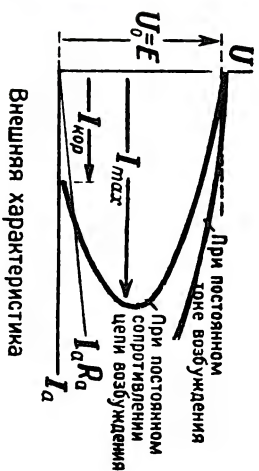
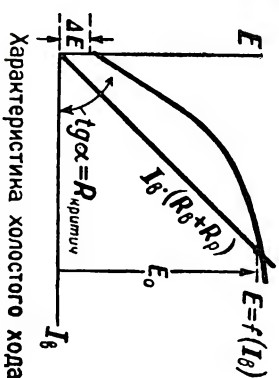
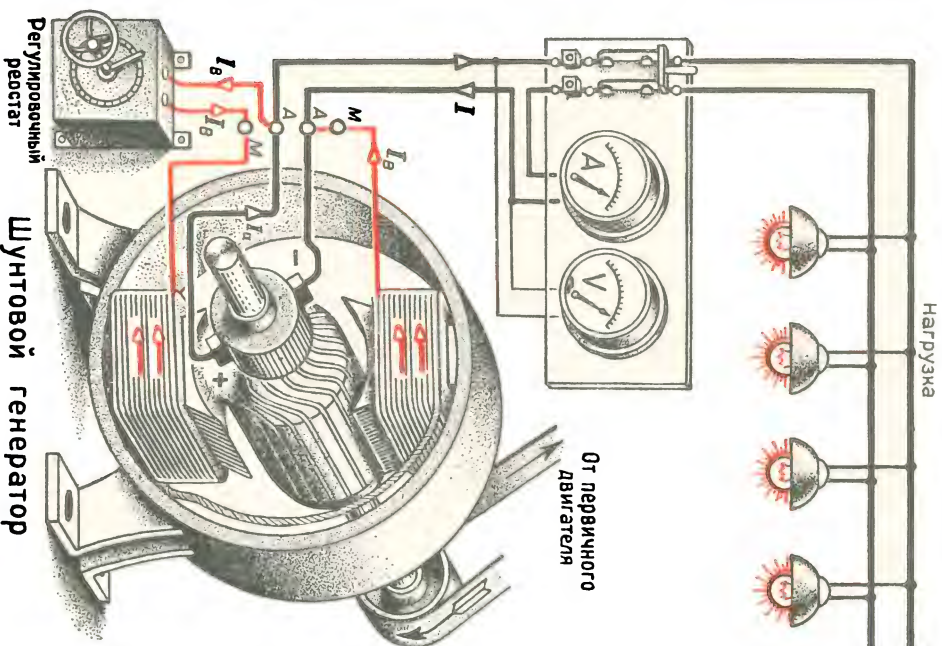
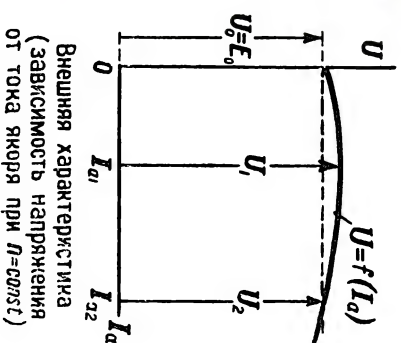
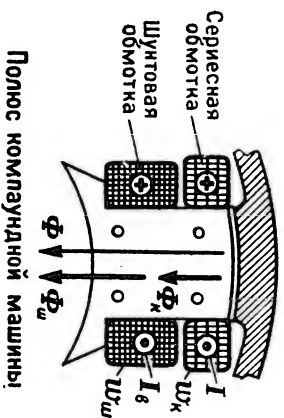
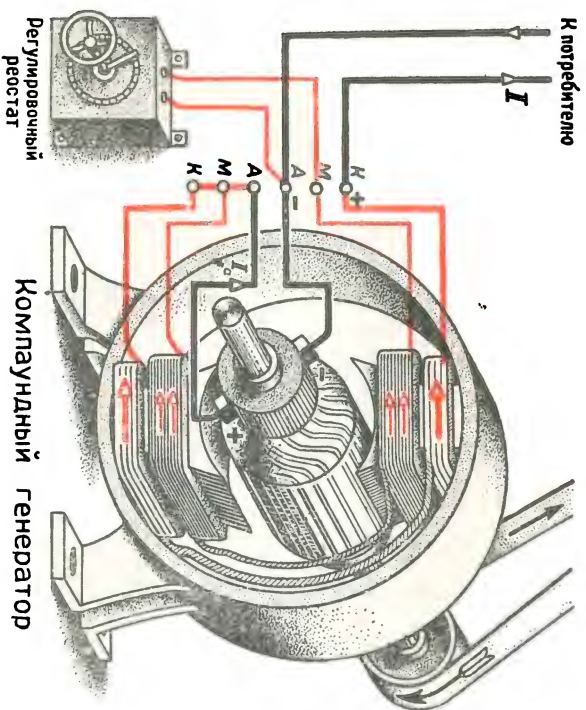


Схема шунтового генератора

ГЕНЕРАТОР СО СМЕШАННЫМ ВОЗБУЖДЕНИЕМ (КОМПАУНДНЫЙ ГЕНЕРАТОР)

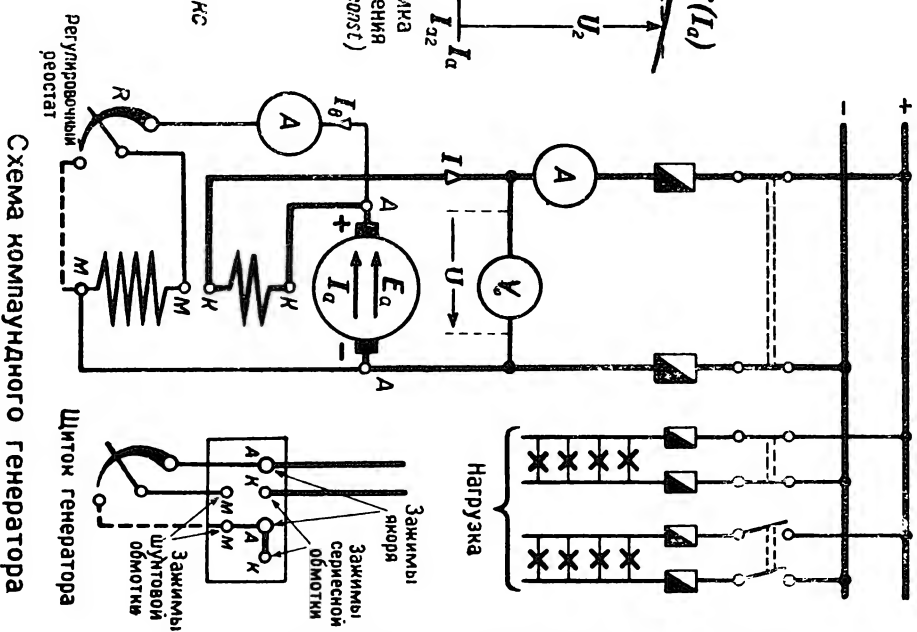


$$F = I_g \omega_w + I \omega_k$$

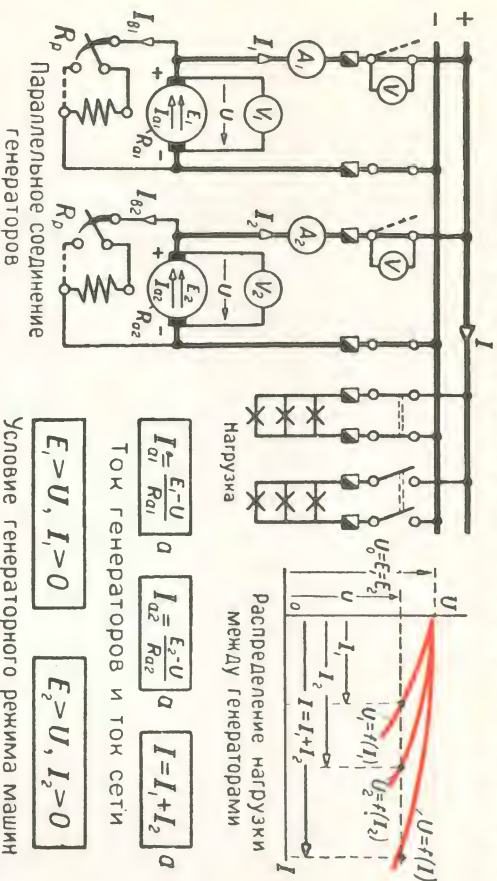
Магнитнивакшая сила и магнитный поток полюсов при согласованном включении обмоток возбуждения

$$\Phi = \Phi_w + \Phi_k$$

МКС

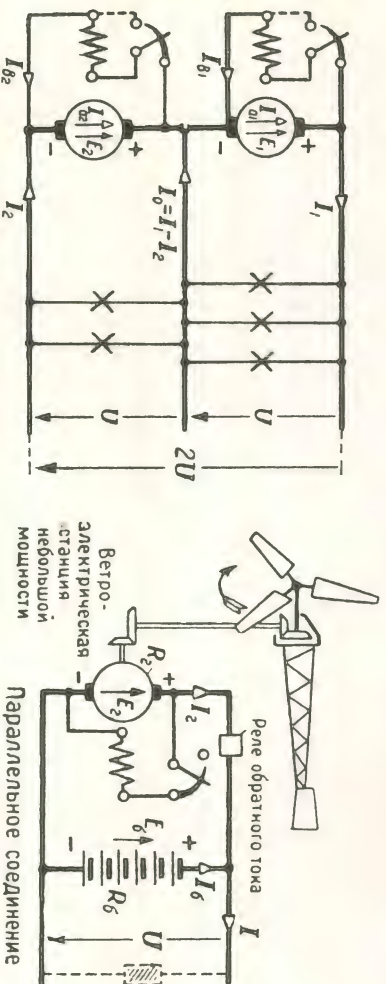


СОВМЕСТНАЯ РАБОТА ГЕНЕРАТОРОВ



Параллельная работа шунтовых генераторов

Параллельная работа компаундных генераторов

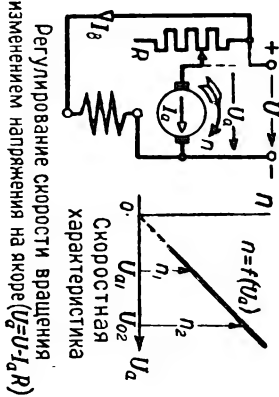
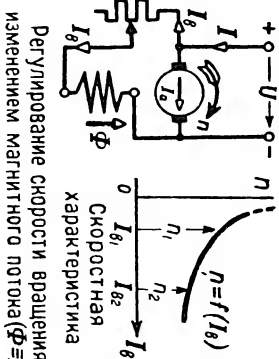
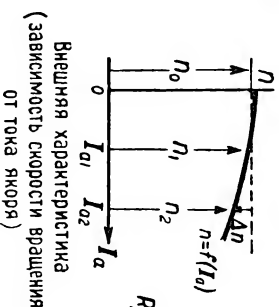
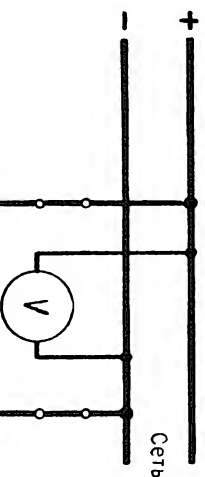


Параллельная работа генератора с батареями

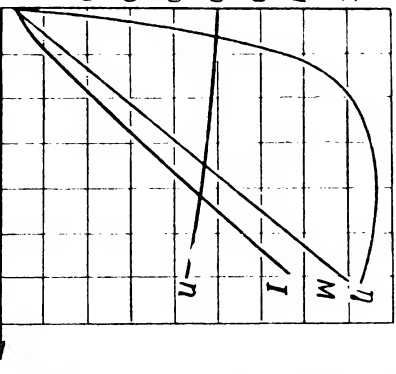
Параллельная работа генератора с аккумуляторной батареей

Работа шунтовых генераторов на трехпроводную сеть

ДВИГАТЕЛЬ С ПАРАЛЛЕЛЬНЫМ ВОЗБУЖДЕНИЕМ (шунтовой двигатель)



n обор/мин	η %	I А	M кгм
1000	50	100	40
800	40	80	30
600	30	60	20
400	20	40	10
200	10	20	5



Рабочие кривые шунтового двигателя

$$n = \frac{U - I_a R_a}{C_1 \Phi} \text{ об/мин}$$

$$M = C_2 I_a \Phi \text{ кгм}$$

Скорость вращения и вращающий момент шунтового двигателя

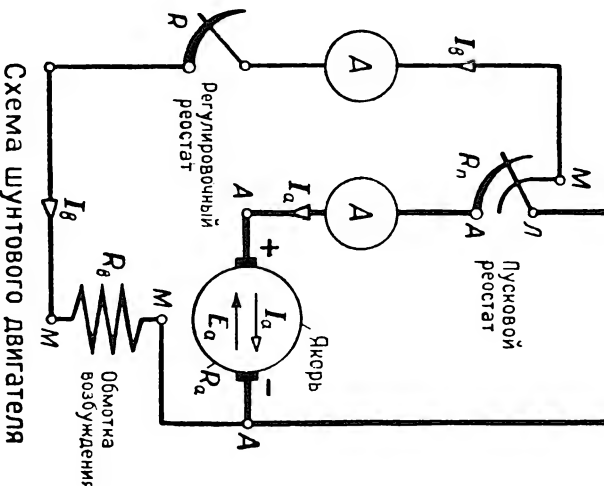
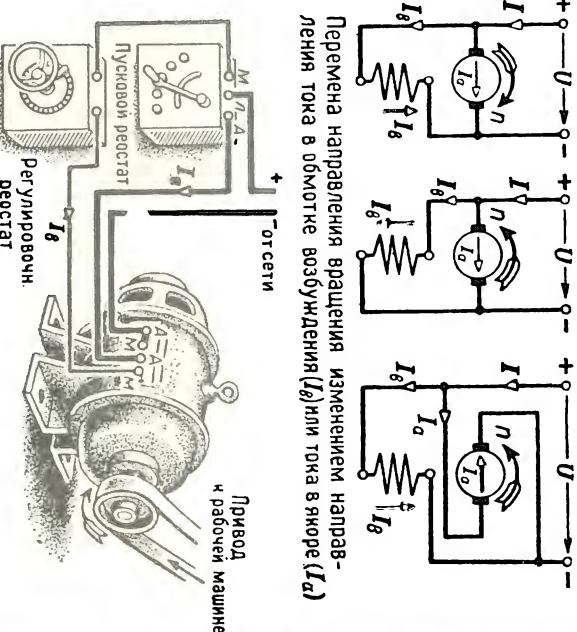


Схема шунтового двигателя



ДВИГАТЕЛЬ С ПОСЛЕДОВАТЕЛЬНЫМ ВОЗБУЖДЕНИЕМ (СЕРИЕСНЫЙ ДВИГАТЕЛЬ)

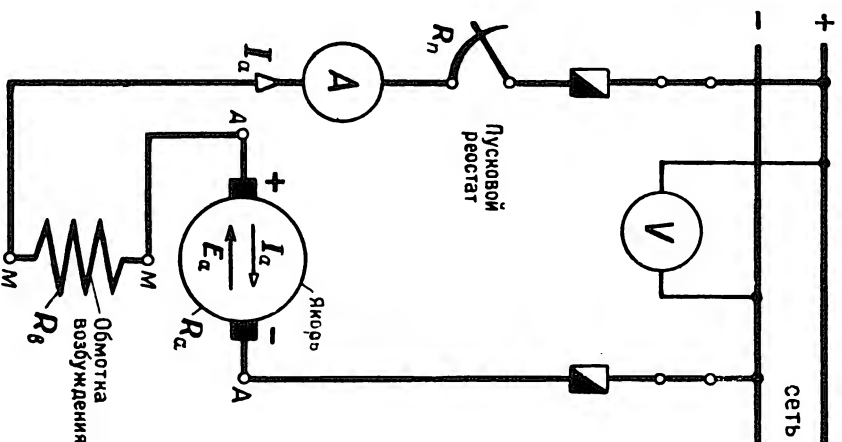
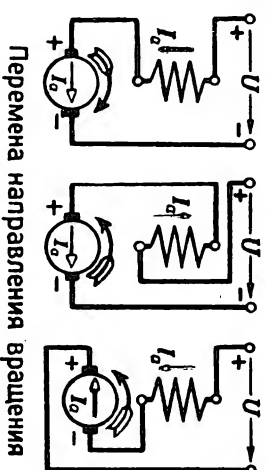
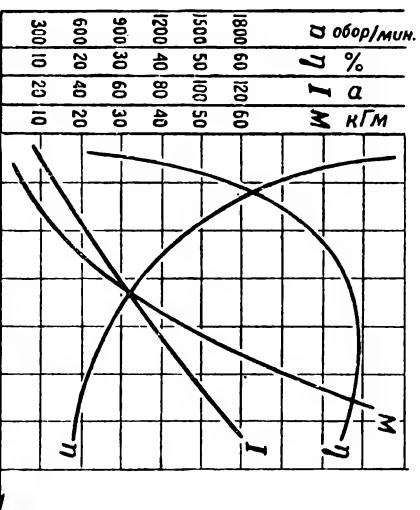


Схема
серийного двигателя



Перемена направления вращения

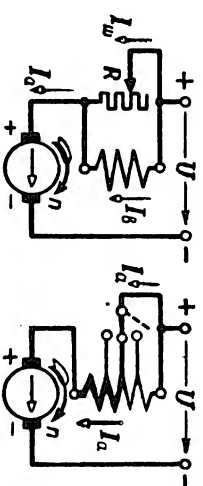


Рабочие кривые серийного двигателя

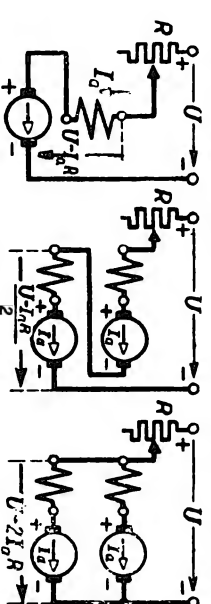
$$n = \frac{U - I_a(R_a + R_b)}{C_e \Phi}$$

$$M = C_2 I_a^2 \text{ кгм}$$

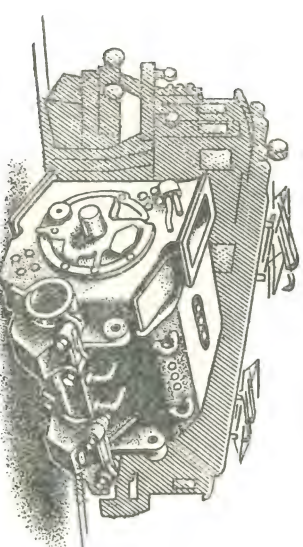
Скорость вращения и вращающий
момент серийного двигателя



Регулирование скорости вращения
изменением магнитного потока
(шунтированием и изменением числа витков обмотки возбуждения)



Регулирование скорости вращения
изменением напряжения
(введением реостата и комбинированием включения двигателя)



Тяговый серийный двигатель

ДВИГАТЕЛЬ СО СМЕШАННЫМ ВОЗБУЖДЕНИЕМ (КОМПАУНДНЫЙ ДВИГАТЕЛЬ)

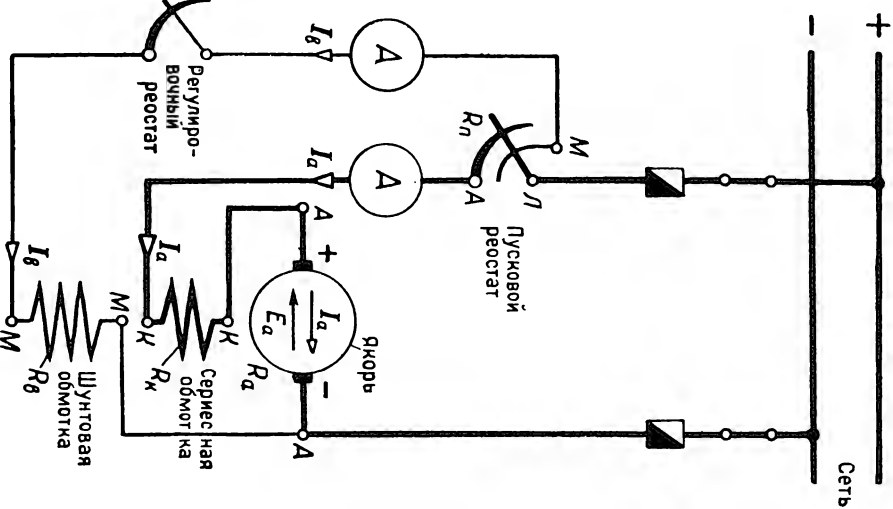
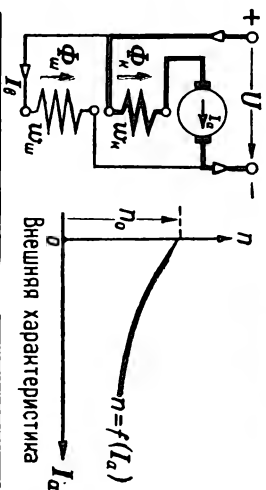


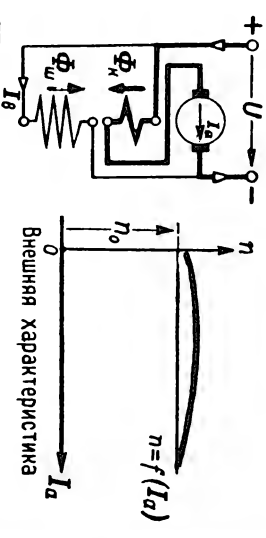
Схема компаундного двигателя



$$F = I_g \omega_w + I_a \omega_k \quad \alpha \quad \Phi = \Phi_w + \Phi_k \quad \text{мкс}$$

Намагничивающая сила и магнитный поток полюсов

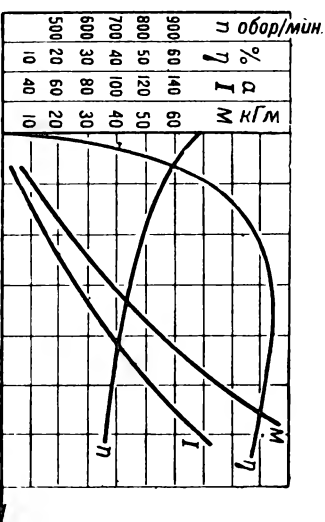
Компаундное включение



$$F = I_g \omega_w - I_a \omega_k \quad \alpha \quad \Phi = \Phi_w - \Phi_k \quad \text{мкс}$$

Намагничивающая сила и магнитный поток полюсов

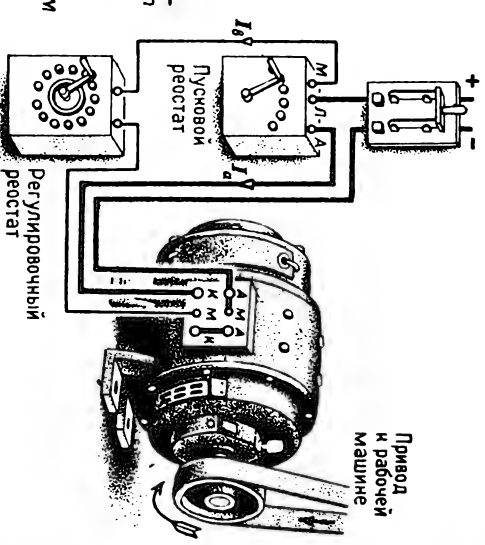
Противокомпаундное включение



Рабочие кривые компаундного двигателя

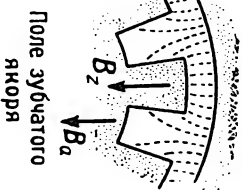
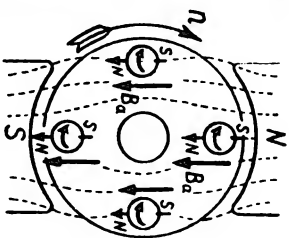
$$\eta = \frac{U - I_a(R_a + R_{\alpha})}{C(\Phi_w \pm \Phi_k)} \quad \text{об/мин} \quad M = C_2 I_a (\Phi_w \pm \Phi_k) \quad \text{н\cdotм}$$

Скорость вращения и вращающий момент компаундного двигателя



Компаундный двигатель

ПОТЕРИ В МАШИНАХ ПОСТОЯННОГО ТОКА



Полы зубчатого
якоря

$$f = \frac{p\Omega}{60} \quad 2\omega$$

Перемагничивание
стали якоря
(вращение элемен-
тарных магнитов)

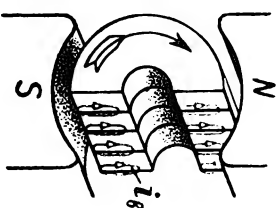
Частота
перемагничивания
в сердечнике и зубцах якоря

$$P_2 = \epsilon \frac{f}{100} \left(\frac{B_{a0}}{10000} \right)^2 \frac{\delta m}{\text{кВт}}$$

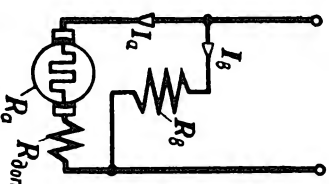
$$P_2 = \epsilon \frac{f}{100} \left(\frac{B_z}{10000} \right)^2 \frac{\delta m}{\text{кВт}}$$

$$P_g = \delta \left(\frac{f}{100} \right) \left(\frac{B_{a0}}{10000} \right)^2 \frac{\delta m}{\text{кВт}}$$

$$P_g = \delta \left(\frac{f}{100} \right) \left(\frac{B_z}{10000} \right)^2 \frac{\delta m}{\text{кВт}}$$



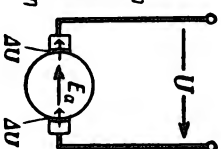
Возбуждение
вихревых токов
в стали якоря



$$P_a = I_a^2 R_a \quad \delta m$$

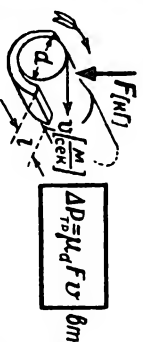
$$P_g = I_g^2 R_g \quad \delta m$$

$$P_{\text{дон}a} = I_a^2 R_{\text{дон}a} \quad \delta m$$

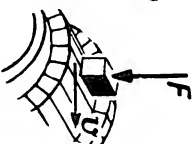


$$P_{\text{дв}} = I_a 2\Delta U \quad \delta m$$

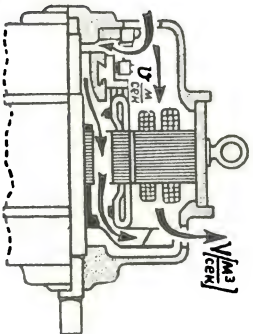
Тепловые потери (ΔP_m)
в меди обмоток и в щеточном контакте



$$\Delta P_{\text{тр}} = \mu_d F v \quad \delta m$$



$$\Delta P_{\text{тр}} = \mu F v_k \quad \delta m$$

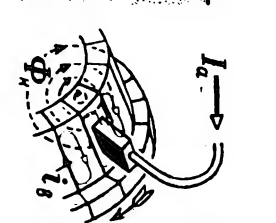
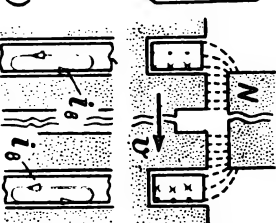
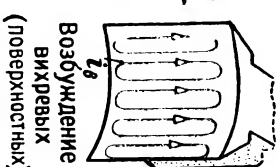
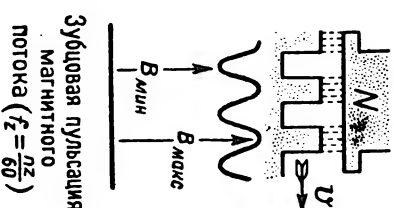


$$\Delta P = 1,1 V v^2 \quad \delta m$$

Потери на трение
в подшипниках

Потери
на трение щеток
о коллектор

Вентиляционные потери



Зубцовая пульсация
магнитного
потока ($f_z = \frac{nZ}{60}$)

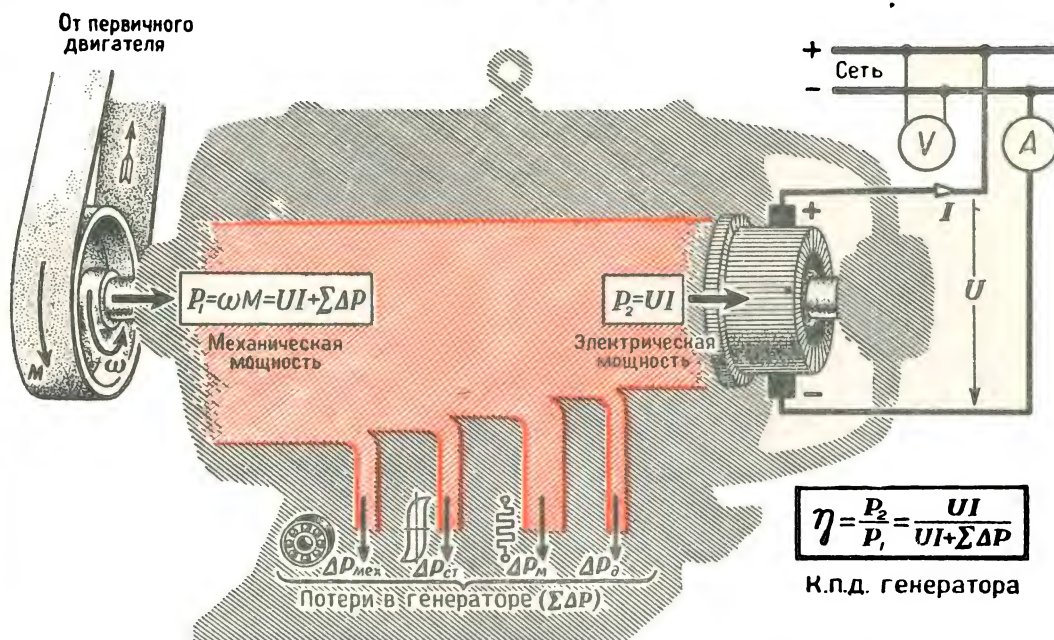
Возбуждение
вихревых
токов
(поверхностных)

Возбуждение
вихревых токов
в проводниках
якоря

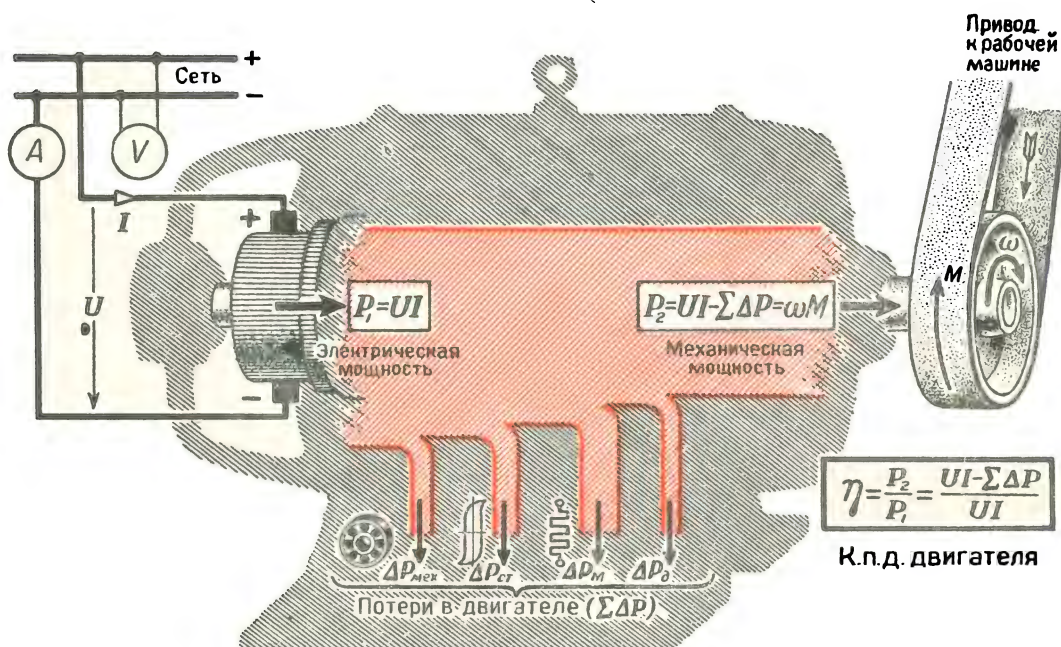
Добавочные потери (ΔP_a)

Механические потери ($P_{\text{мех}}$)

КОЭФФИЦИЕНТ ПОЛЕЗНОГО ДЕЙСТВИЯ (К.П.Д.)

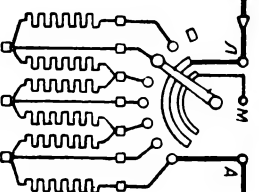
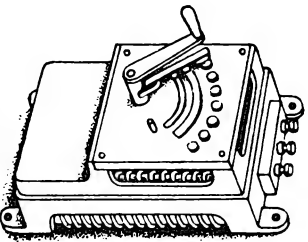


ЭНЕРГЕТИЧЕСКАЯ ДИАГРАММА ГЕНЕРАТОРА

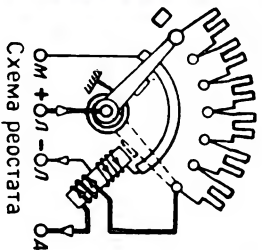
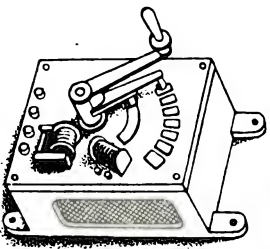


ЭНЕРГЕТИЧЕСКАЯ ДИАГРАММА ДВИГАТЕЛЯ

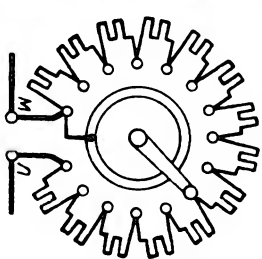
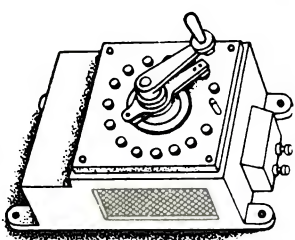
ПУСКОВЫЕ И РЕГУЛИРОВОЧНЫЕ РЕОСТАТЫ



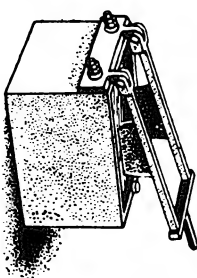
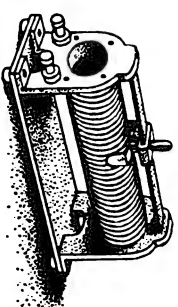
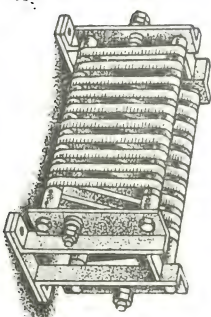
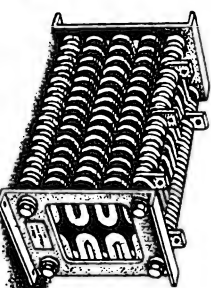
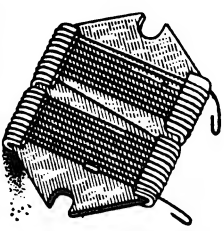
Пусковой реостат



Пусковой реостат с максимальной и минимальной защитой



Регулировочный реостат



Проволочные сопротивления
Чугунные сопротивления
Ленточные сопротивления

Реостат со скользящим контактом (ползушкой)
Жидкостный реостат

Элементы сопротивлений

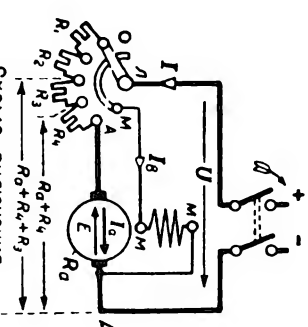


Схема включения пускового реостата в цепь двигателя

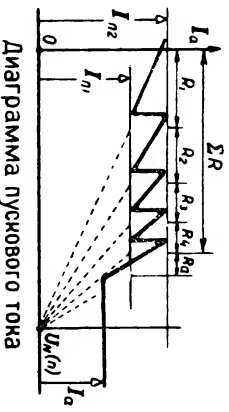


Диаграмма пускового тока

$$\sum R = \frac{U}{I_{20}} - R_a$$

Сопротивление пускового реостата

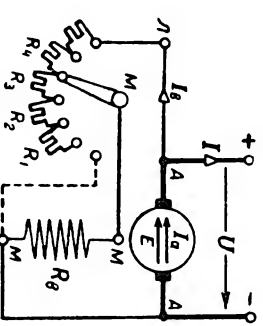


Схема включения регулировочного реостата в цепь генератора

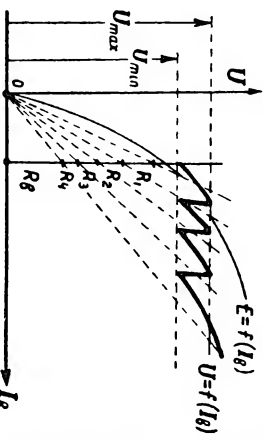
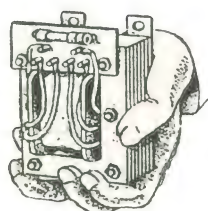
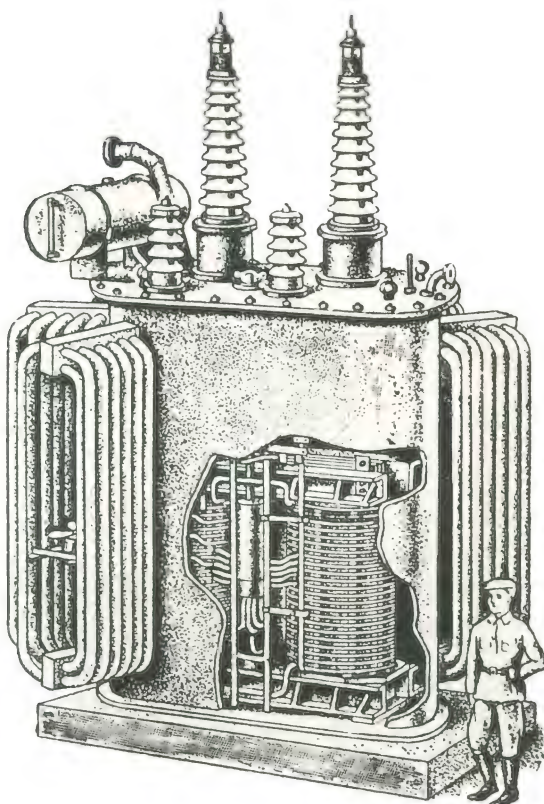


Диаграмма ступенчатого регулирования напряжения

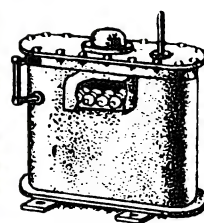
ТРАНСФОРМАТОРЫ



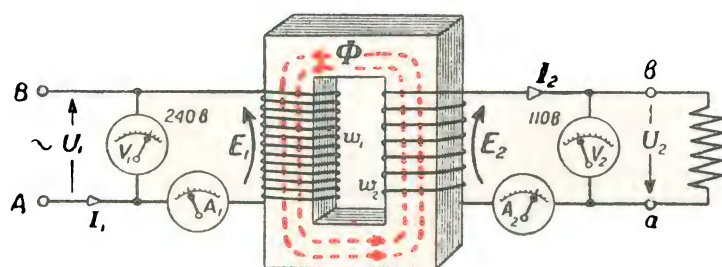
Радио-
трансформатор
мощностью 75 вa



Однофазный трансформатор ОДГ на 110 кВ
мощностью 20000 кВа



Трехфазный
трансформатор
мощностью 20 кВа



$$K_{12} = \frac{w_1}{w_2} = \frac{E_1}{E_2} \approx \frac{U_1}{U_2}$$

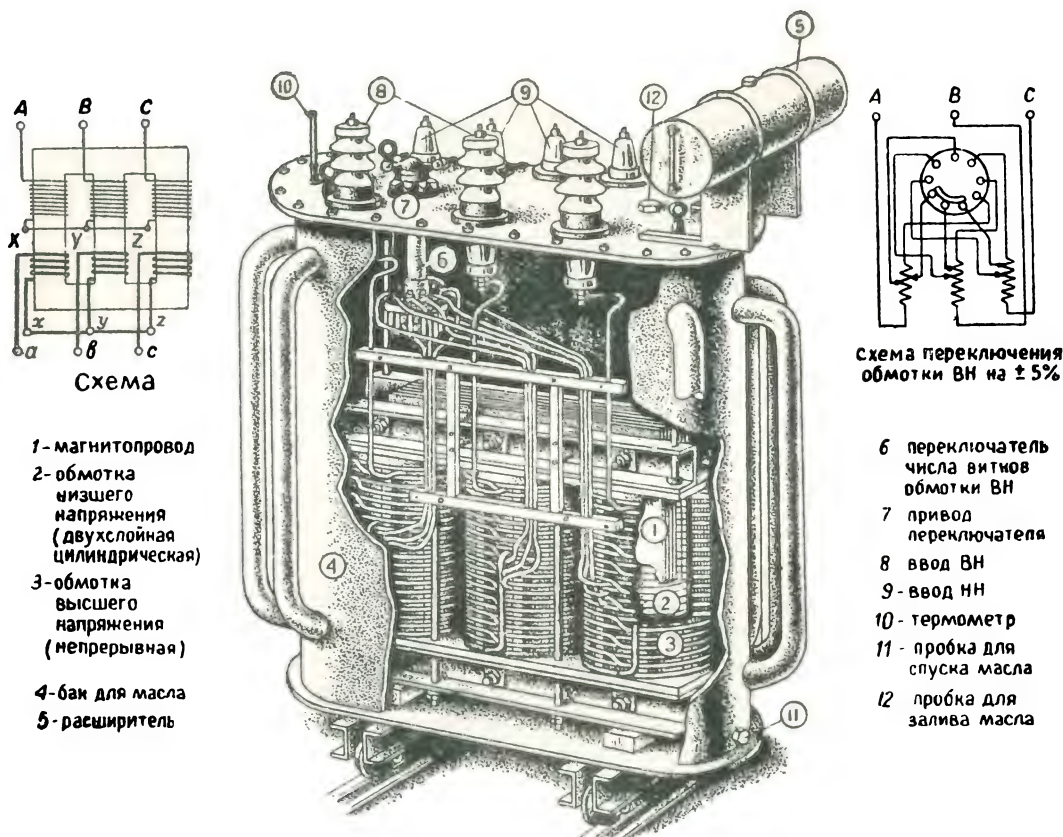
Коэффициент
трансформации

Трансформатор — аппарат, преобразующий переменный ток одного напряжения в переменный ток другого напряжения.

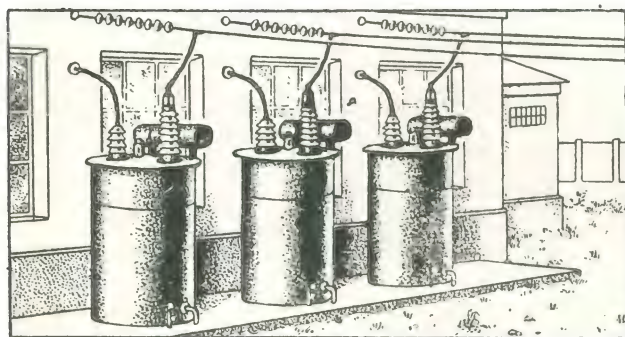
Трансформатор изобретен П.Н.Яблочковым в 1876 г.
и независимо от него И.Ф.Усагиным в 1882 г

И.А. Васильева

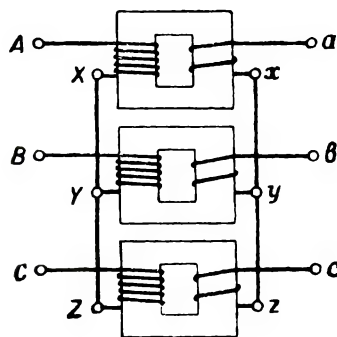
ТРЕХФАЗНЫЕ ТРАНСФОРМАТОРЫ



Трехфазный трансформатор ТМ-320/6 мощностью 320 кВА на напряжение $6000 \pm 5\%/400$ В



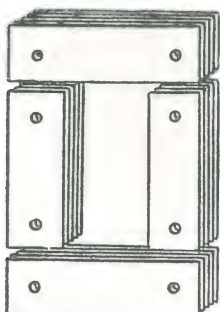
Группа трех понижительных однофазных трансформаторов



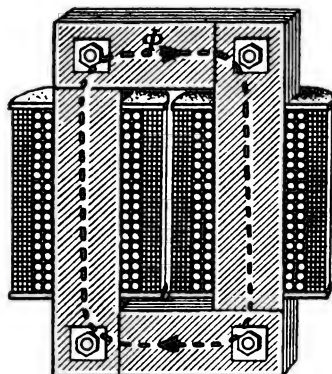
Схема

Трехфазный трансформатор изобретен М.И. Доливо-Добровольским в 1889 г.

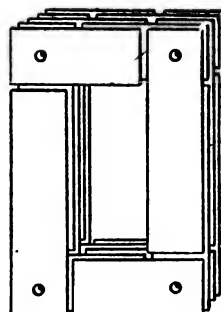
МАГНИТОПРОВОДЫ



Стыковая сборка магнитопровода



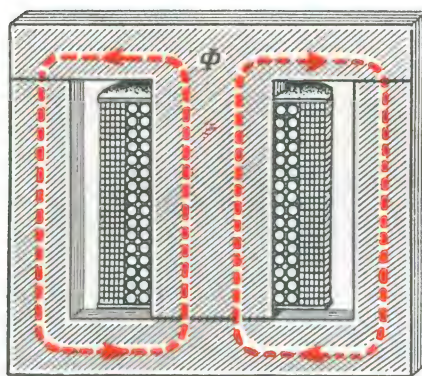
Магнитопровод однофазного трансформатора стержневого типа



Шихтованная сборка магнитопровода



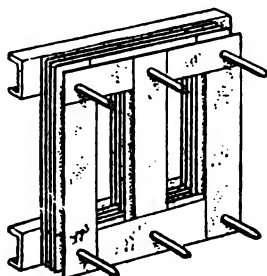
Формы сечения стержней



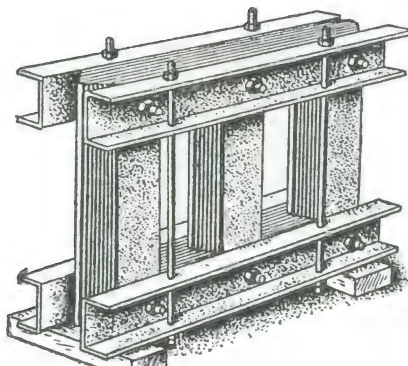
Магнитопровод однофазного трансформатора бронзового типа



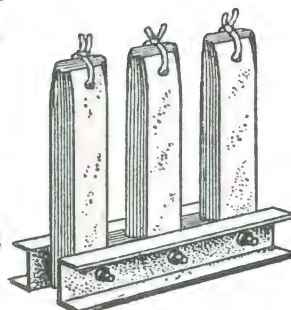
Формы сечения ярма



Магнитопровод в процессе сборки



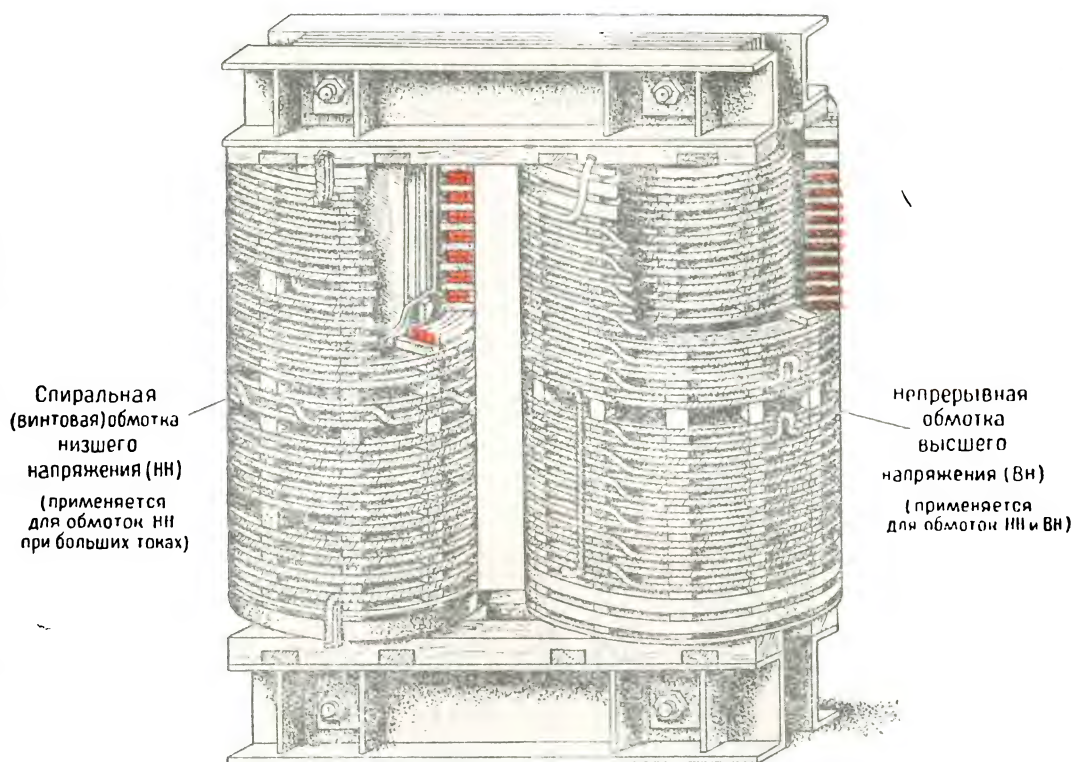
Магнитопровод трехфазного трансформатора мощностью 100 кВа



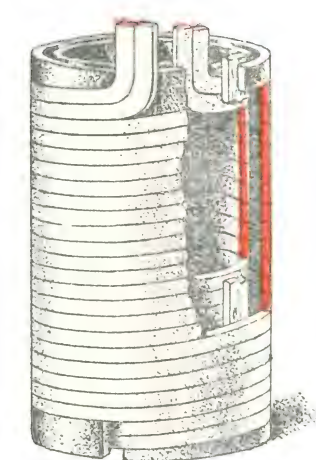
Магнитопровод с расширенным верхним ярмом для насадки обмоток

И.А.Васильева

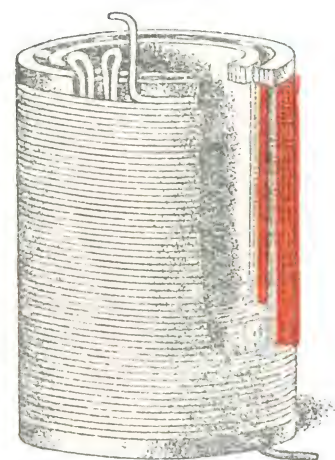
ОБМОТКИ ТРАНСФОРМАТОРОВ



Расположение обмоток на сердечнике трансформатора



Цилиндрическая двухслойная обмотка
(применяется для обмоток НН)



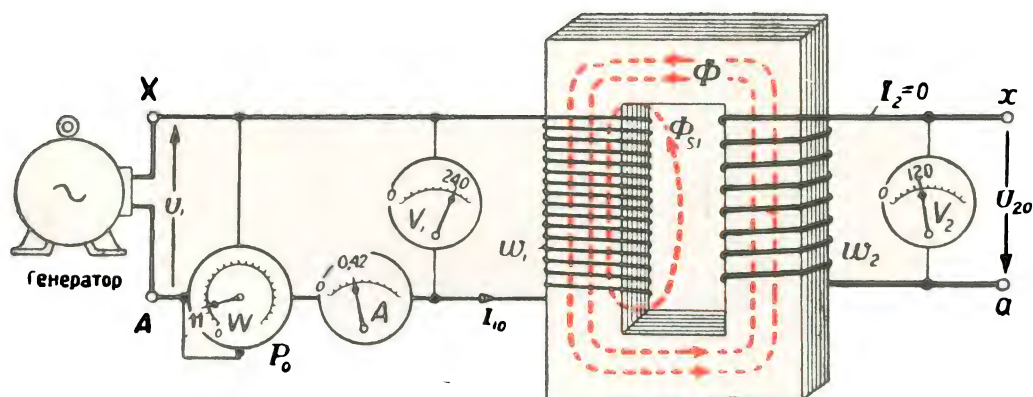
Цилиндрическая многослойная обмотка
(применяется для обмоток НН и ВН)



Катушечная многослойная обмотка
(применяется для обмоток НН)

И А Васильева

ХОЛОСТОЙ ХОД ТРАНСФОРМАТОРА



Опыт холостого хода

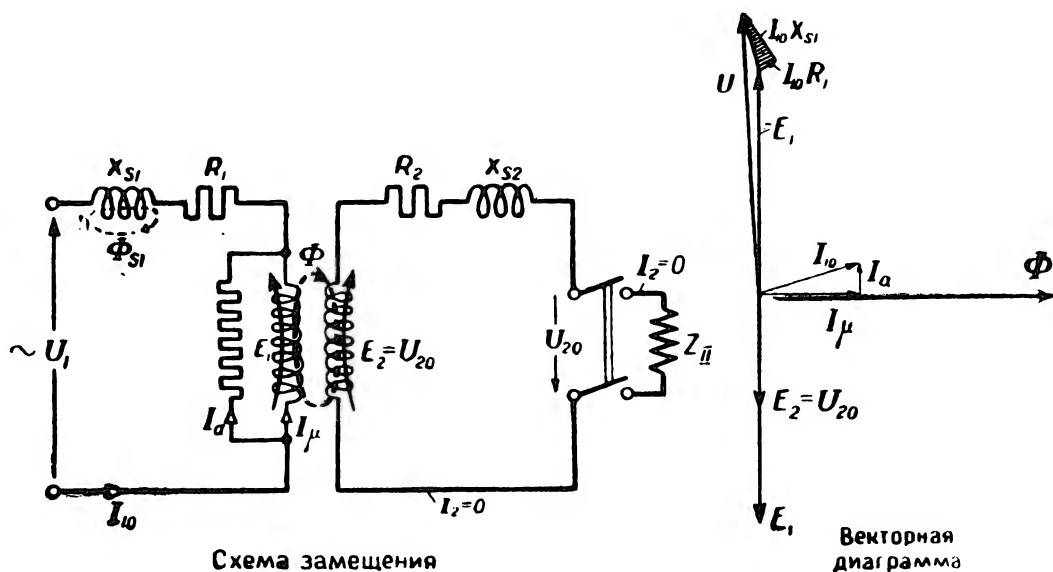


Схема замещения

Векторная диаграмма

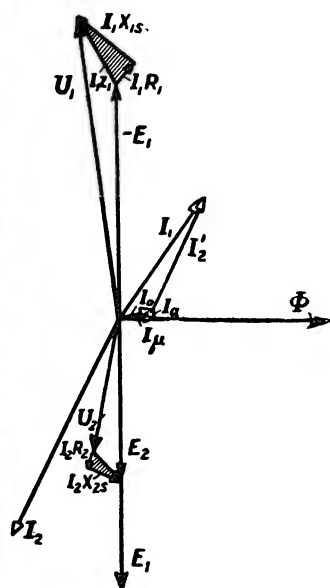
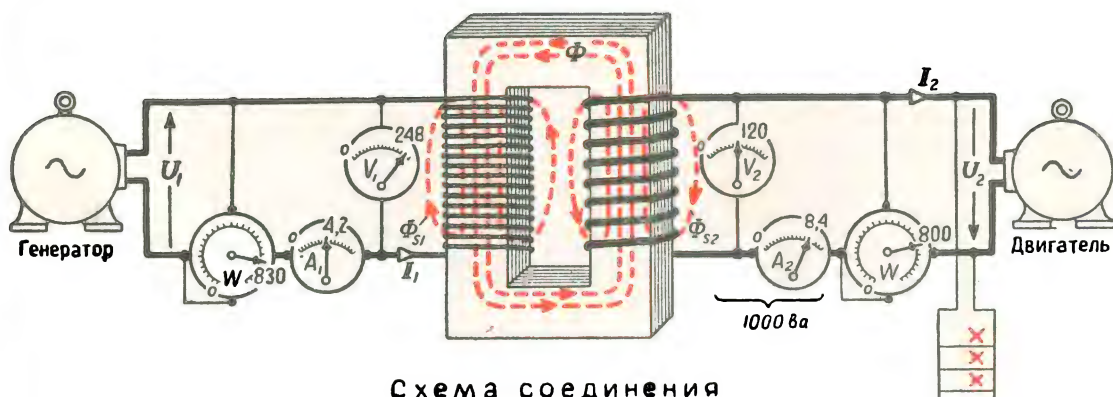
$$K_{12} = \frac{w_1}{w_2} = \frac{E_1}{E_2} \approx \frac{U_1}{U_{20}}$$

Коэффициент трансформации

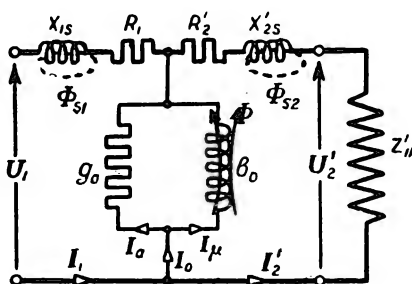
$$P_0 \approx P_{ст} \quad \text{Вт}$$

Мощность, подводимая при холостом ходе идет на покрытие потерь в стали

НАГРУЗКА ТРАНСФОРМАТОРА



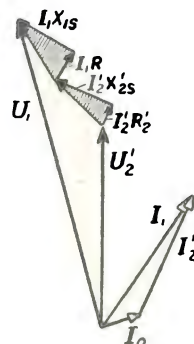
Векторная диаграмма



Приведенная схема замещения

$$U'_2 = -U_2 \frac{w_1}{w_2}; \quad I'_2 = -I_2 \frac{w_2}{w_1}; \\ R'_2 = R_2 \left(\frac{w_1}{w_2}\right)^2; \quad X'_{2s} = X_{2s} \left(\frac{w_1}{w_2}\right)^2; \quad Z'_{ll} = Z_{ll} \left(\frac{w_1}{w_2}\right)^2$$

Приведенные вторичные напряжение, ток и сопротивления



Приведенная векторная диаграмма

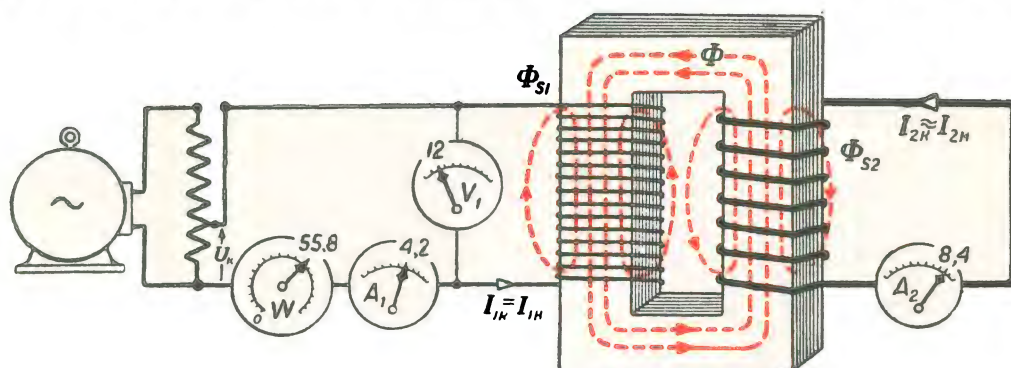
$$\dot{I}_1 w_1 + \dot{I}_2 w_2 = \dot{I}_0 w_1, \quad a$$

При нагрузке трансформатора магнитный поток и суммарные ампервитки остаются практически неизменными и равными их значениям при холостом ходе

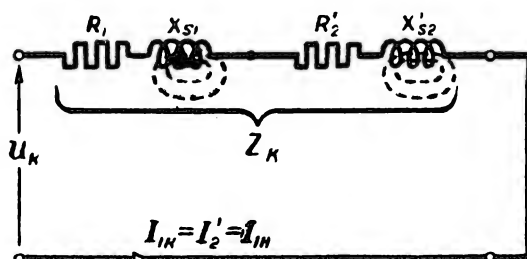
$$\dot{I}_1 = \dot{I}_0 - \dot{I}_2 \frac{w_2}{w_1} = \dot{I}_0 + \dot{I}'_2, \quad a$$

Размагничивающее действие тока I_2 компенсируется дополнительным током I'_2 в первичной цепи

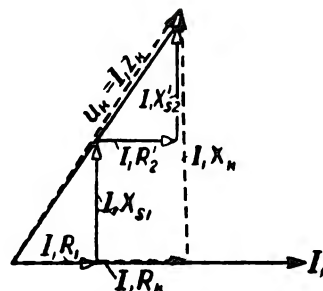
КОРОТКОЕ ЗАМЫКАНИЕ ТРАНСФОРМАТОРА



Опыт короткого замыкания



Упрощенная схема замещения



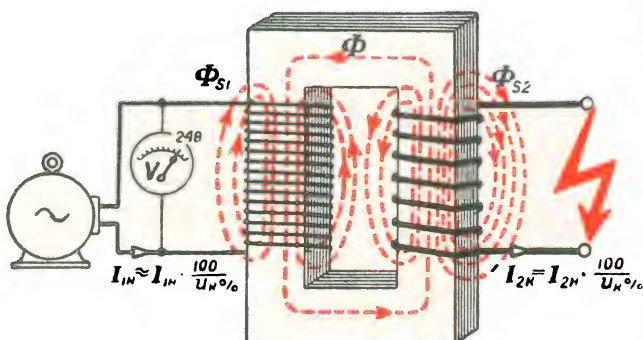
Треугольник короткого замыкания

$$u_k \% = \frac{U_k}{U_{1N}} 100 \%$$

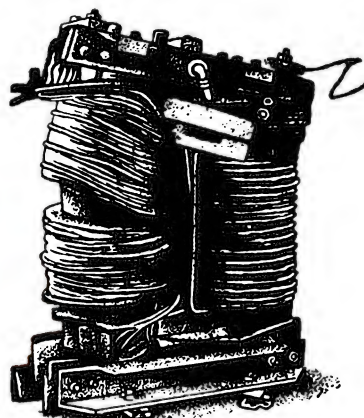
Напряжение короткого замыкания трансформатора в процентах

$$P_k \approx P_m \text{ Вт}$$

Мощность, подводимая при опыте короткого замыкания идет на покрытие потерь в меди

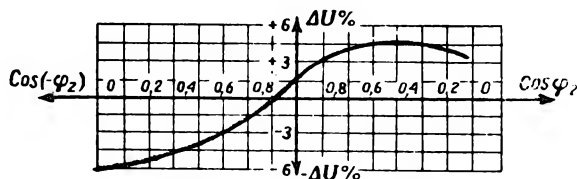
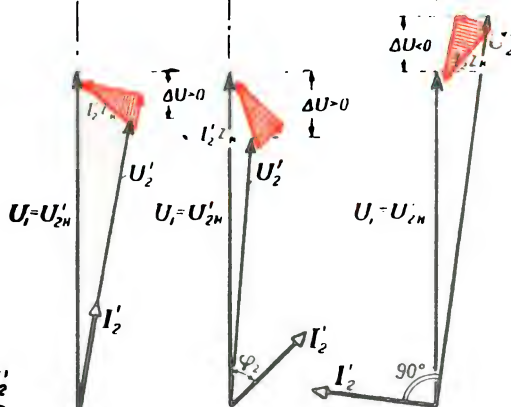
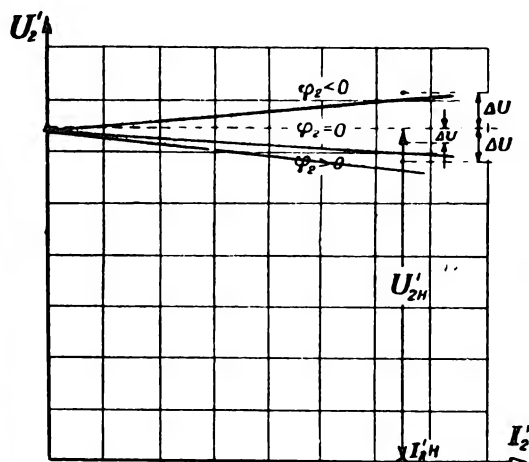
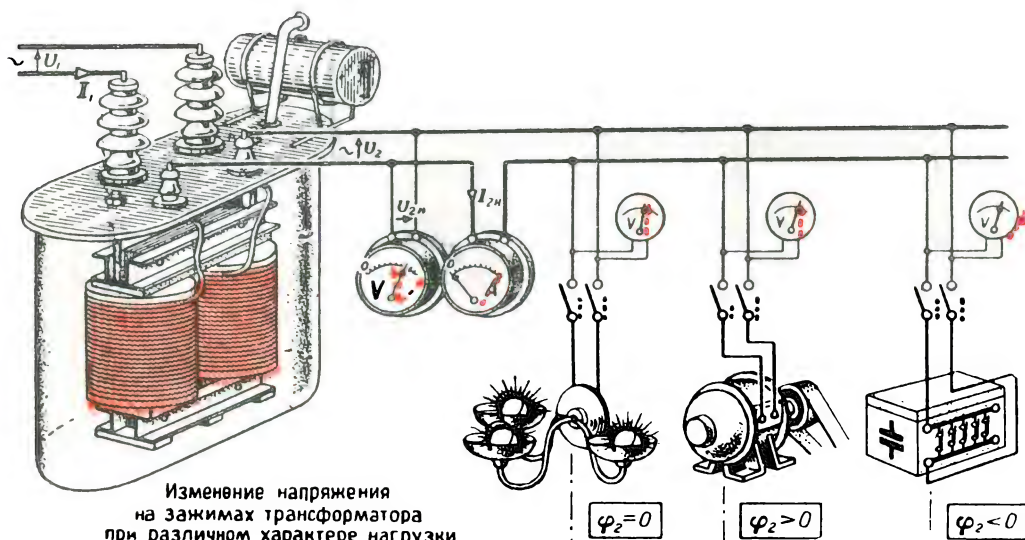


Короткое замыкание на вторичных зажимах трансформатора (аварийный режим)



Разрушение обмотки при коротком замыкании

ПОТЕРЯ НАПРЯЖЕНИЯ В ТРАНСФОРМАТОРЕ

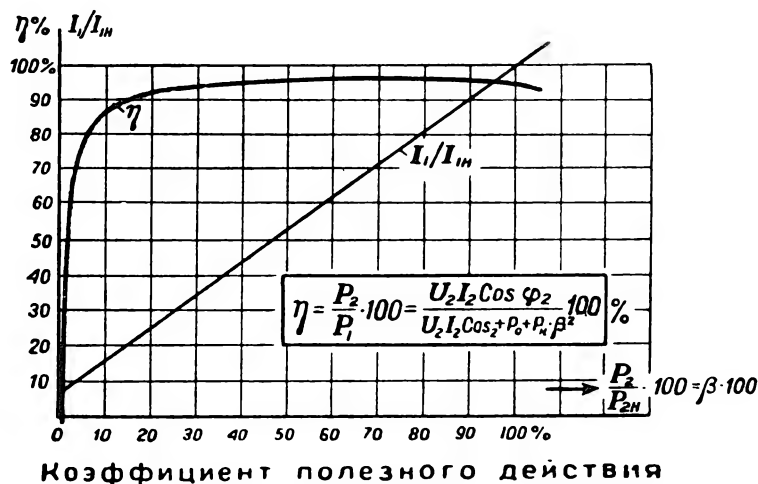
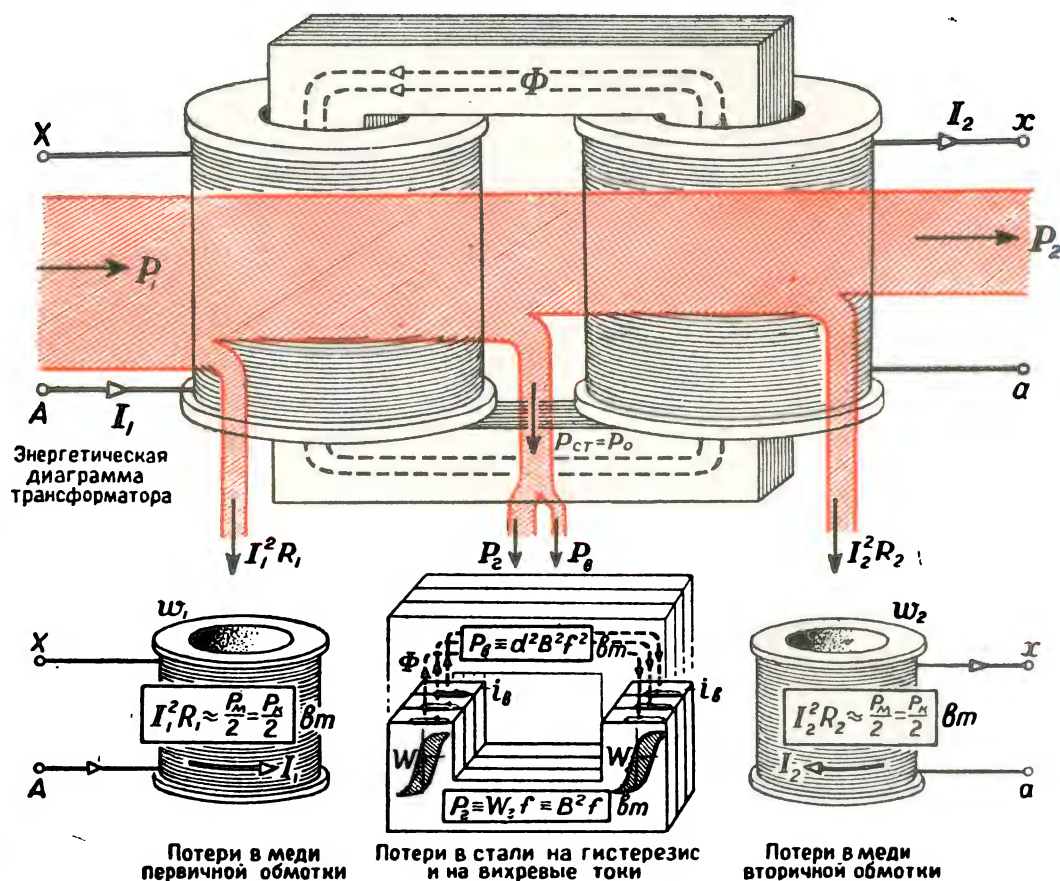


$$\Delta U \% = \frac{U_{2H} - U_2}{U_{2H}} 100$$

Процентное изменение вторичного напряжения

Изменение напряжения на вторичных зажимах трансформатора зависит от величины и характера нагрузки

КОЭФФИЦИЕНТ ПОЛЕЗНОГО ДЕЙСТВИЯ



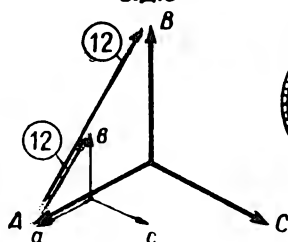
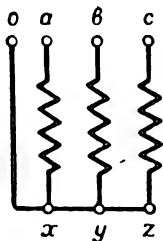
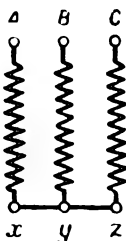
ГРУППЫ СОЕДИНЕНИЯ ОБМОТОК ТРЕХФАЗНЫХ ТРАНСФОРМАТОРОВ

Условные обозначения

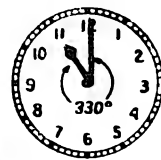
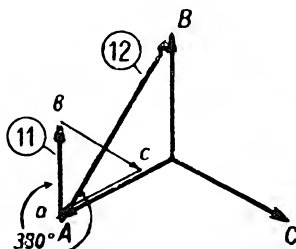
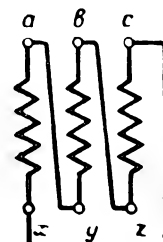
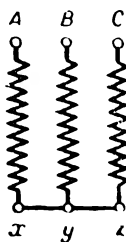
Схемы соединения обмоток
В Н Н.Н.

Векторные диаграммы
Э.Д.С.

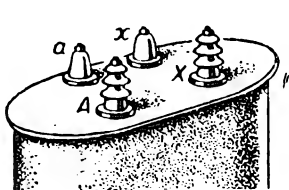
Y/Y_0-12



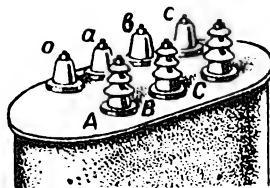
$Y/\Delta-11$



Группы соединения обмоток трехфазных трансформаторов, применяемые в советском трансформаторостроении

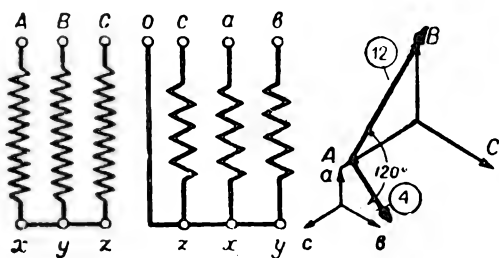


Однофазный трансформатор

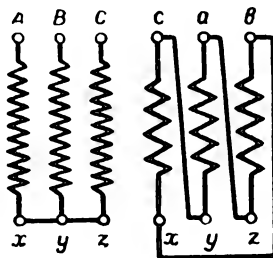


Трехфазный трансформатор

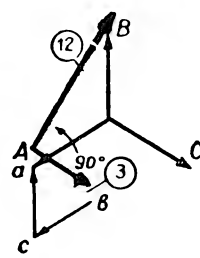
Расположение выводов на крышке трансформаторов



Y/Y_0-4



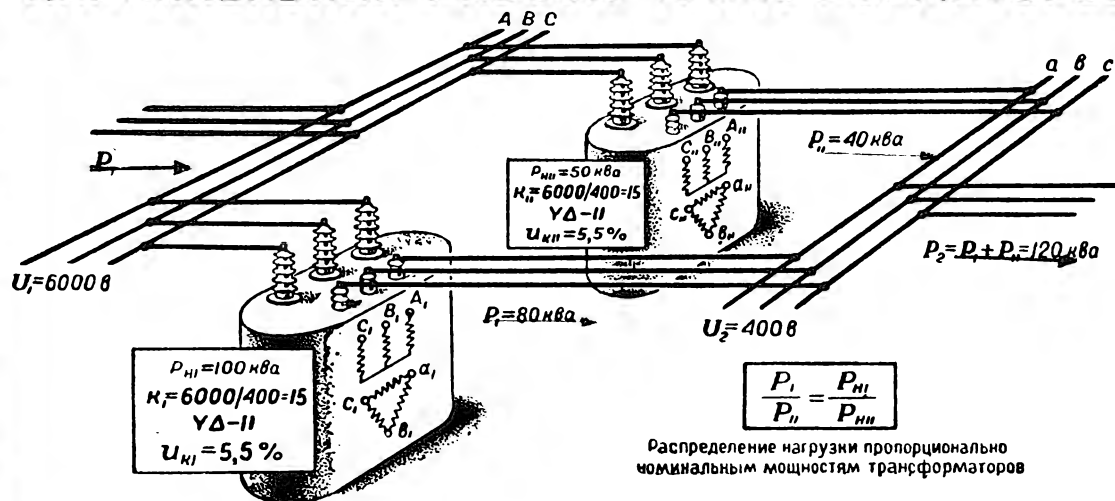
$Y/\Delta-3$



Круговое перемещение обозначений концов одной из обмоток приводит к изменению угла сдвига междуфазовых Э.Д.С., а следовательно, и групп соединения

М.Д.Каминский и И.А.Васильева

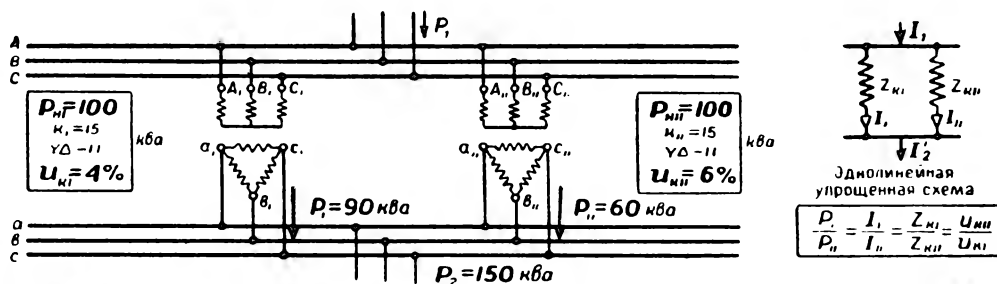
ПАРАЛЛЕЛЬНАЯ РАБОТА ТРАНСФОРМАТОРОВ



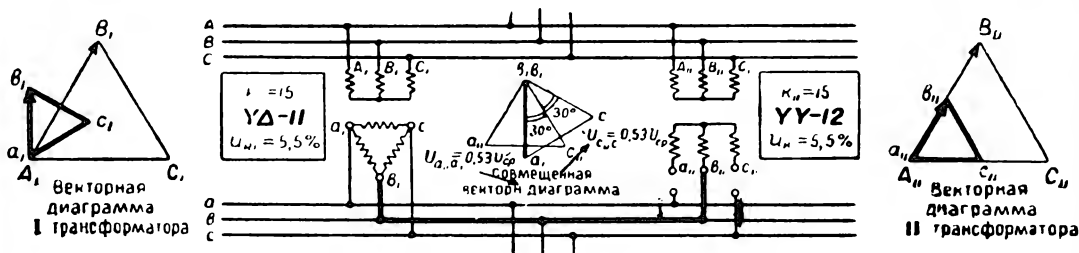
Параллельная работа трансформаторов с различной номинальной мощностью

Условия параллельной работы трансформаторов :

- 1 — Равенство коэффициентов трансформации ($K_1 = K_{II}$);
- 2 — Равенство напряжений короткого замыкания ($U_{кI} = U_{кII}$);
- 3 — Совпадение групп соединения обмоток.



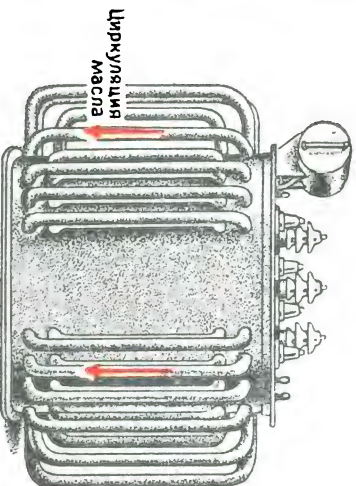
Распределение нагрузки между трансформаторами одинаковой мощности обратно-пропорционально напряжениям короткого замыкания



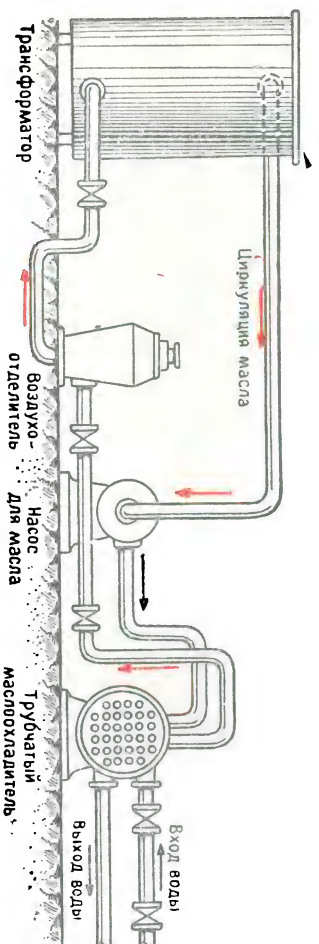
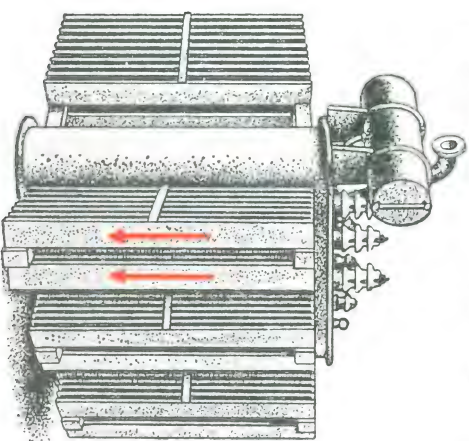
Смещение треугольников вторичных напряжений двух трансформаторов различных групп соединений

При параллельном включении трехфазных трансформаторов с различными группами соединения обмоток возникают опасные уравнительные токи

ОХЛАЖДЕНИЕ ТРАНСФОРМАТОРОВ

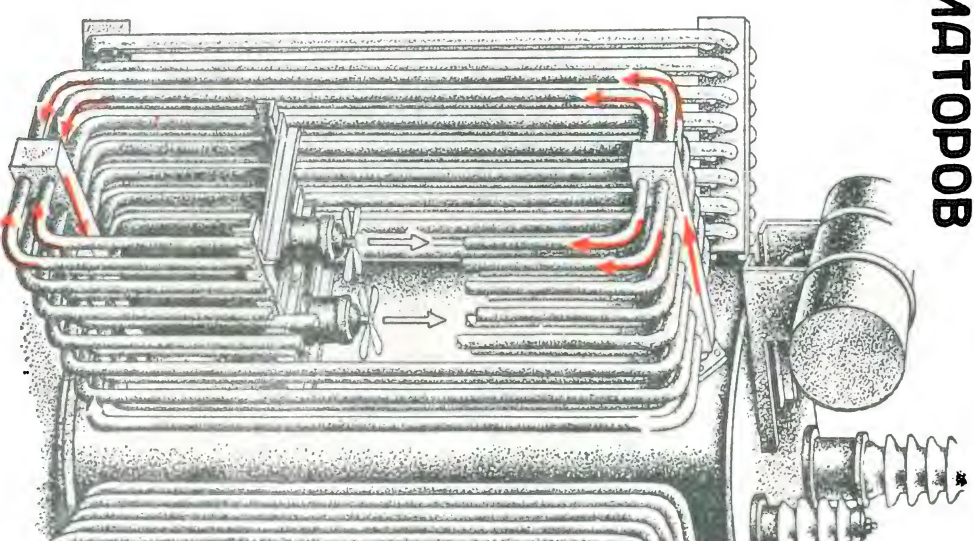


Трансформатор с трубчатым баком
Трансформаторы с естественным масляным охлаждением



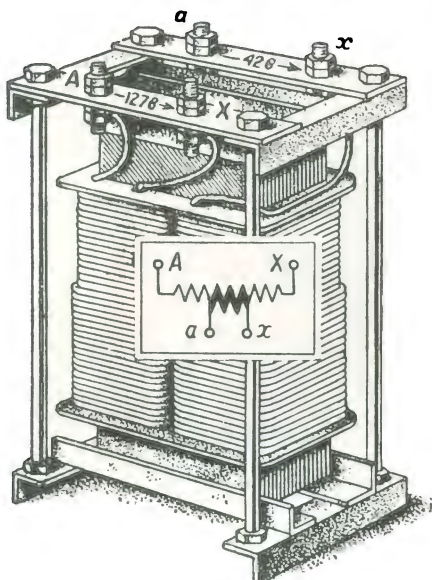
Водомасляное охлаждение

(Принципиальная схема установки с принудительной циркуляцией масла)

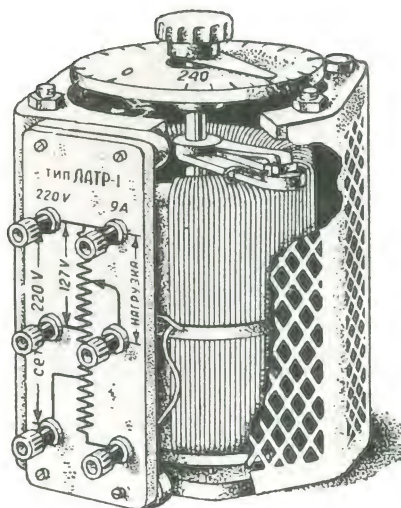


Форсированное воздушное охлаждение
с помощью небольших вентиляторов

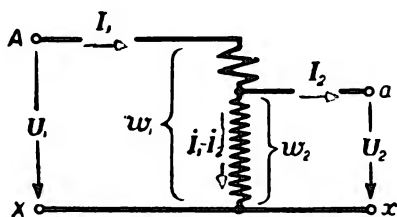
АВТОТРАНСФОРМАТОРЫ



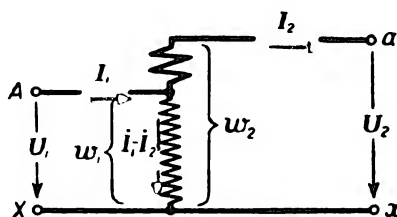
Автотрансформатор
напряжением 127/428



Лабораторный автотрансформатор
регулируемый (тип „ЛАТР-1“)



Принципиальная схема однофазного
понижительного автотрансформатора



Принципиальная схема однофазного,
повысительного автотрансформатора

$$K = \frac{w_1}{w_2} \approx \frac{U_1}{U_2} \approx \frac{I_2}{I_1}$$

Коэффициент трансформации

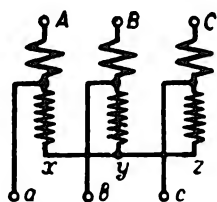
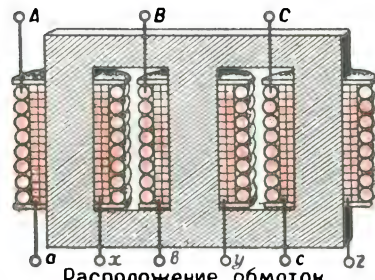
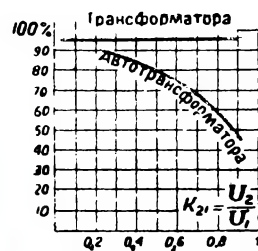


Схема соединения
трехфазного
автотрансформатора
звездой



Расположение обмоток
в трехфазном автотрансформаторе

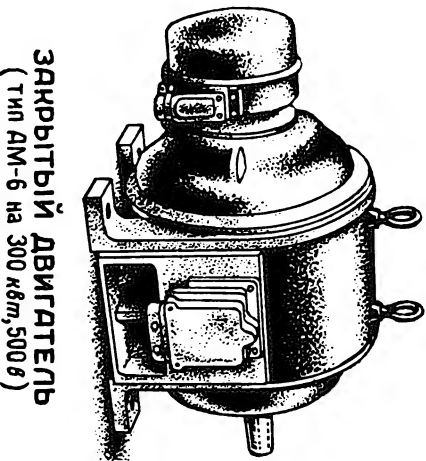
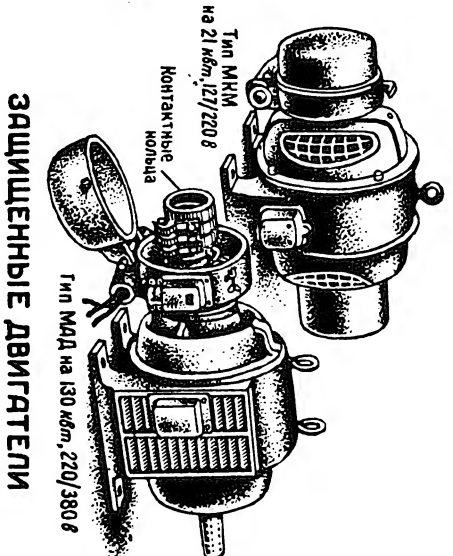
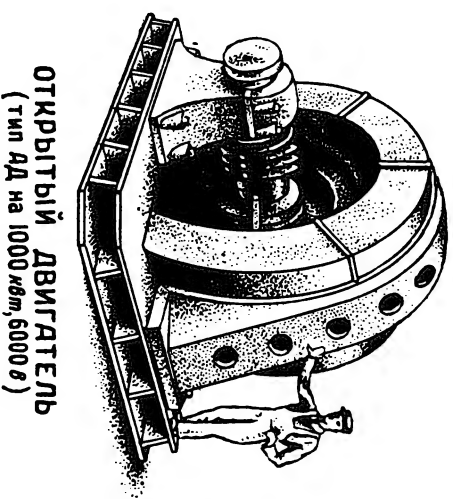
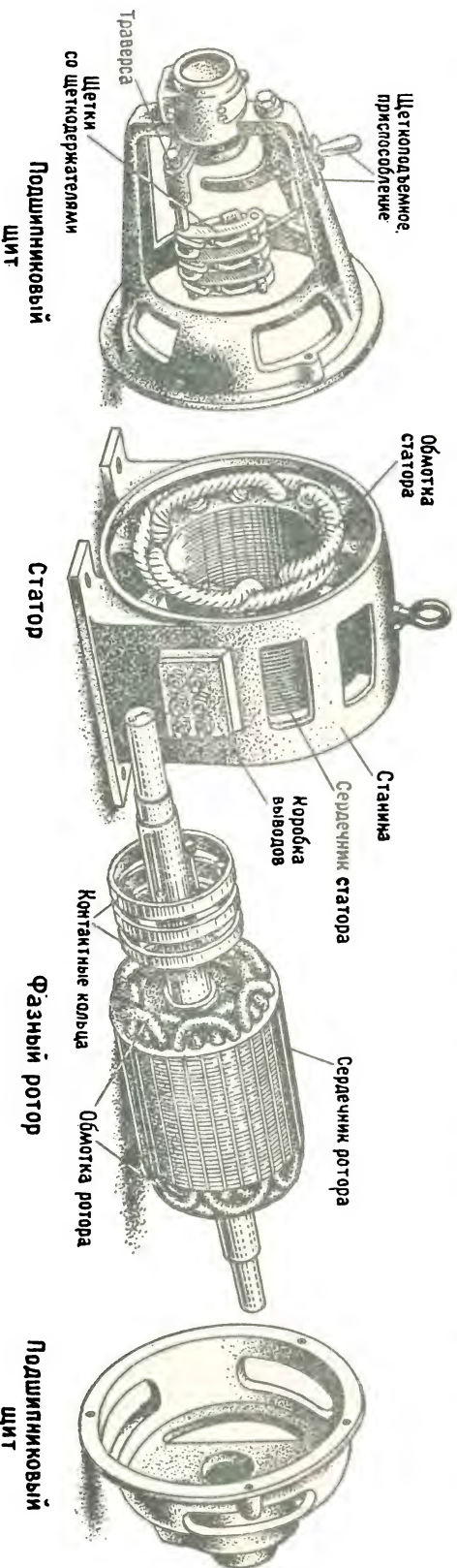


Сопоставление весов
активных материалов
понижительного трансформатора
и автотрансформатора
той же мощности

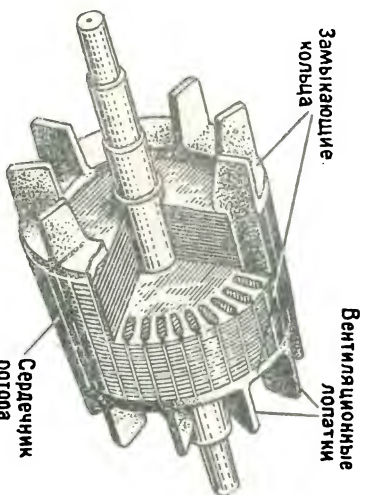
Автотрансформаторы применяются для понижения напряжения
в низковольтных сетях

Автотрансформатор изобретен Доливо-Добровольским в 1892 г.

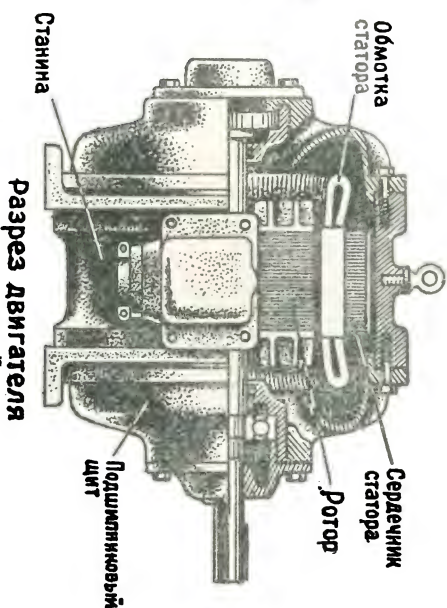
АСИНХРОННЫЙ ТРЕХФАЗНЫЙ ДВИГАТЕЛЬ С ФАЗНЫМ РОТОРОМ



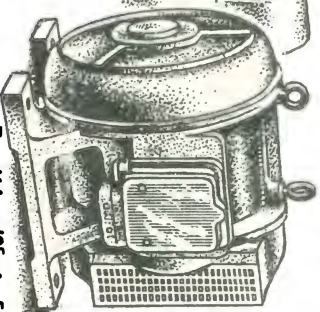
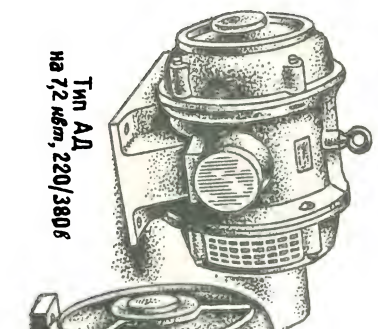
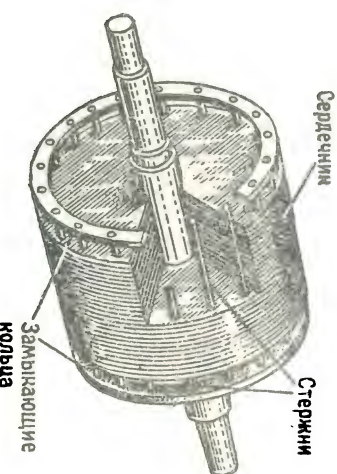
АСИНХРОННЫЙ ТРЕХФАЗНЫЙ ДВИГАТЕЛЬ С КОРОТКОЗАМКНУТЫМ РОТОРОМ



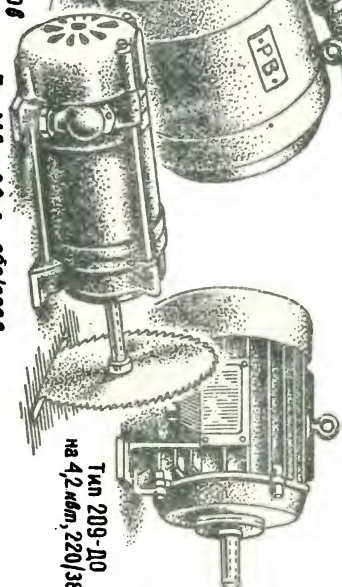
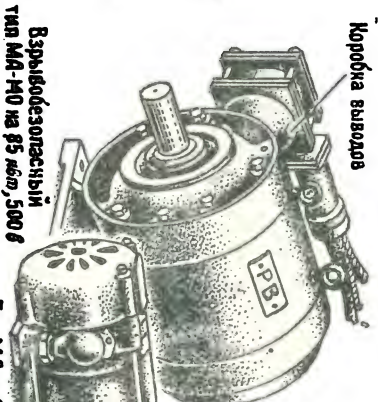
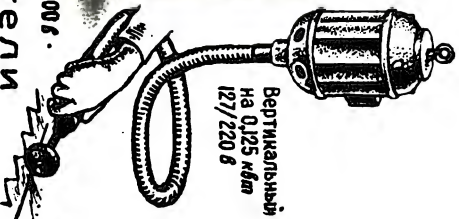
Короткозамкнутый ротор с алюминиевой литой клеткой



Короткозамкнутый ротор с медной стержневой клеткой

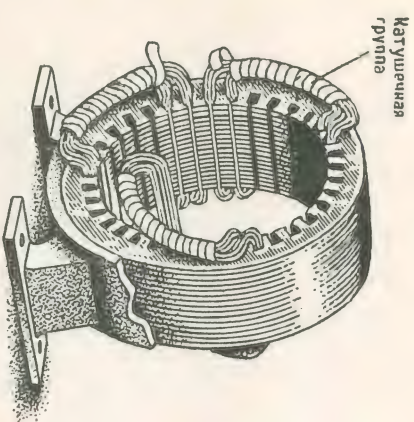


ЗАЩИЩЕННЫЕ ДВИГАТЕЛИ

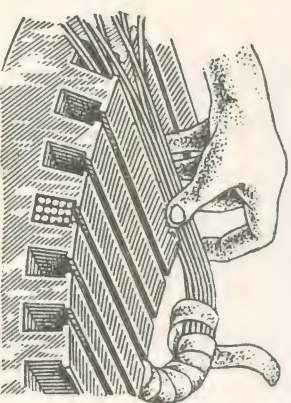


ЗАКРЫТЫЕ ДВИГАТЕЛИ

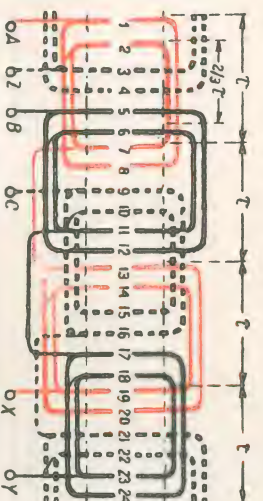
Однослойная обмотка асинхронного двигателя



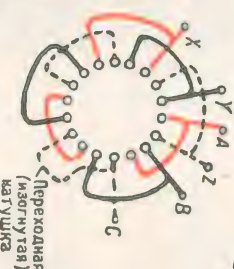
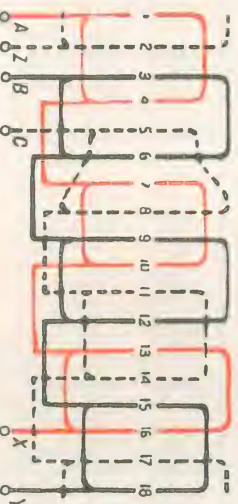
Размещение катушек в пазах статора



Укладка мягкой катушки однослойной обмотки

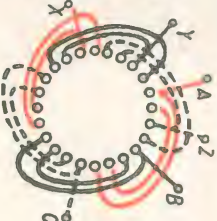
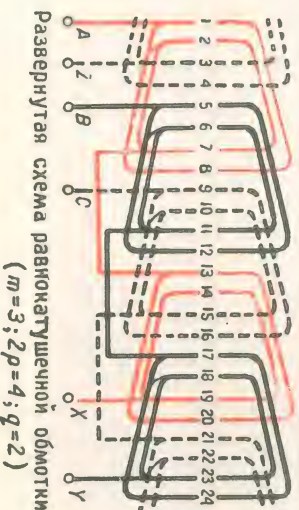


Торцевая схема

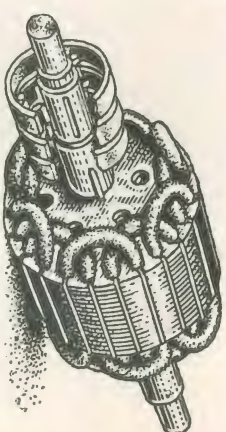


Торцевая схема

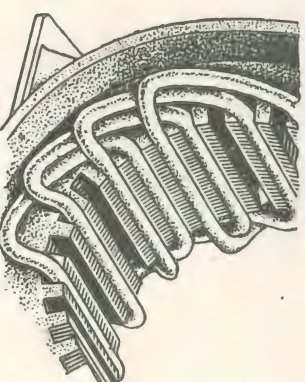
Развернутая схема обмотки при нечетном числе пар полюсов ($m=3$; $2p=6$; $q=1$)



Торцевая схема

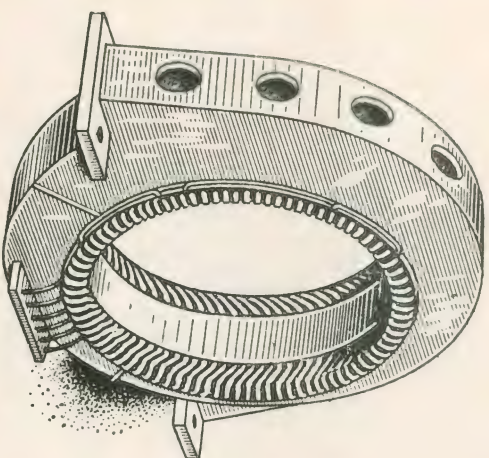


Фазный ротор с однослойной катушечной обмоткой

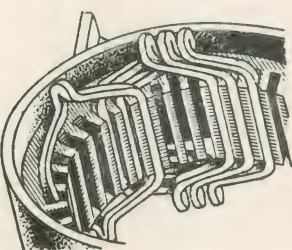


Расположение лобовых частей равнокатушечной обмотки

ДВУХСЛОЙНАЯ ОБМОТКА АСИНХРОННОГО ДВИГАТЕЛЯ



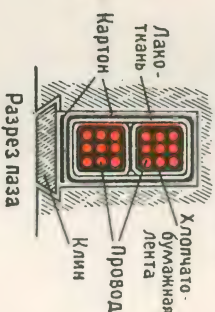
Статор с двухслойной катушечной петлевой обмоткой



Укладка катушек обмотки



Лобовая часть катушки



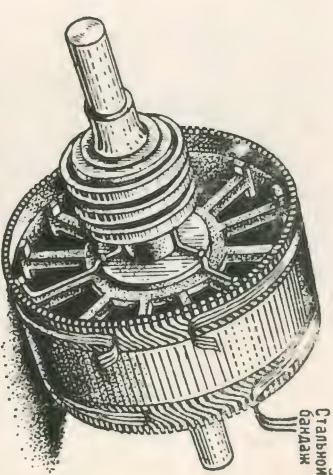
Разрез паза



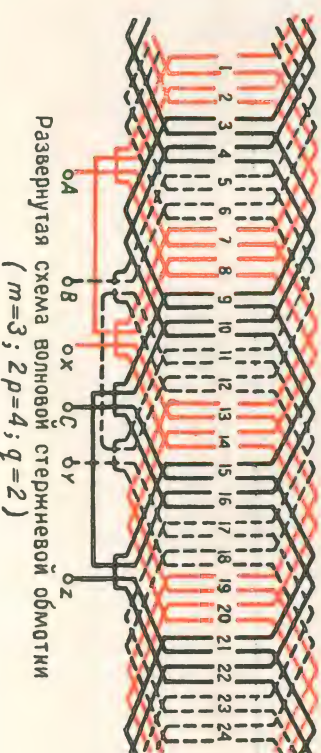
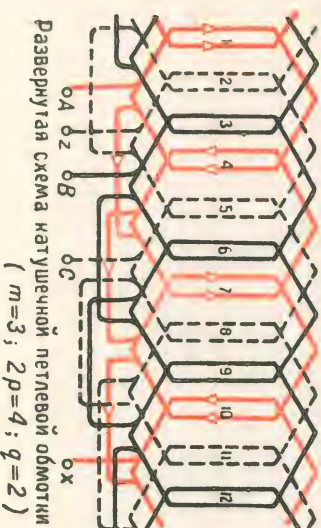
Твердая катушка для открытых пазов

Матка катушка для полузакрытых пазов

Стержни волновой обмотки



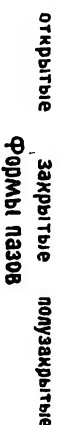
Ротор с двухслойной стержневой волновой обмоткой



МАГНИТНАЯ СИСТЕМА ТРЕХФАЗНОГО АСИНХРОННОГО ДВИГАТЕЛЯ

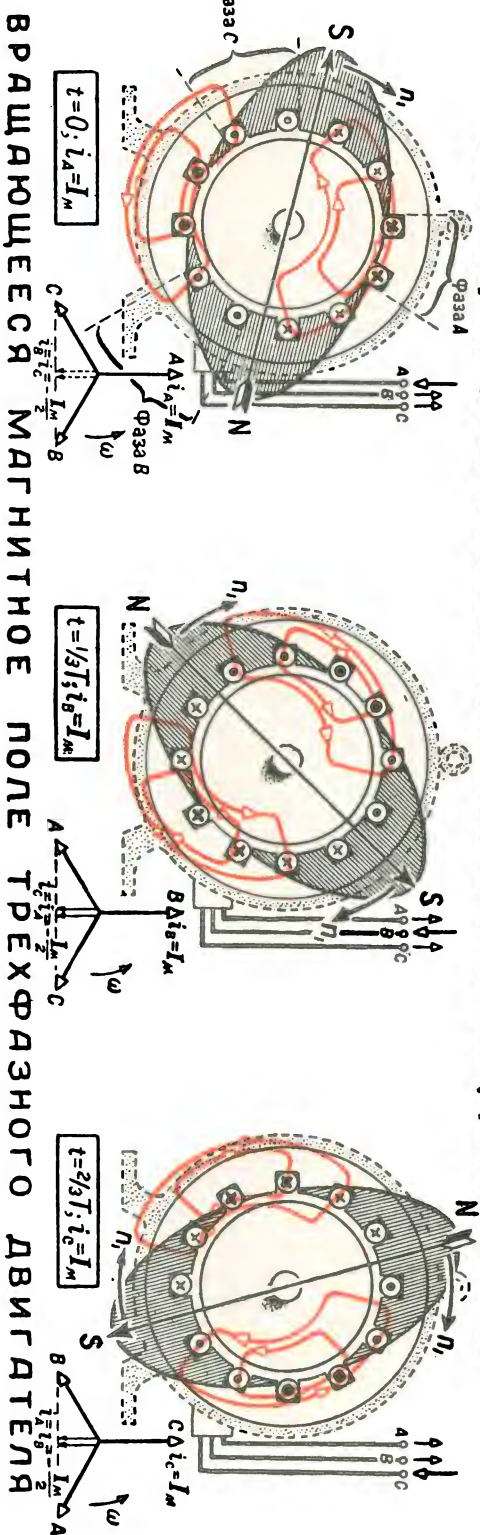


РАСПРЕДЕЛЕНИЕ МАГНИТНОГО ПОЛЯ В ДВИГАТЕЛЕ

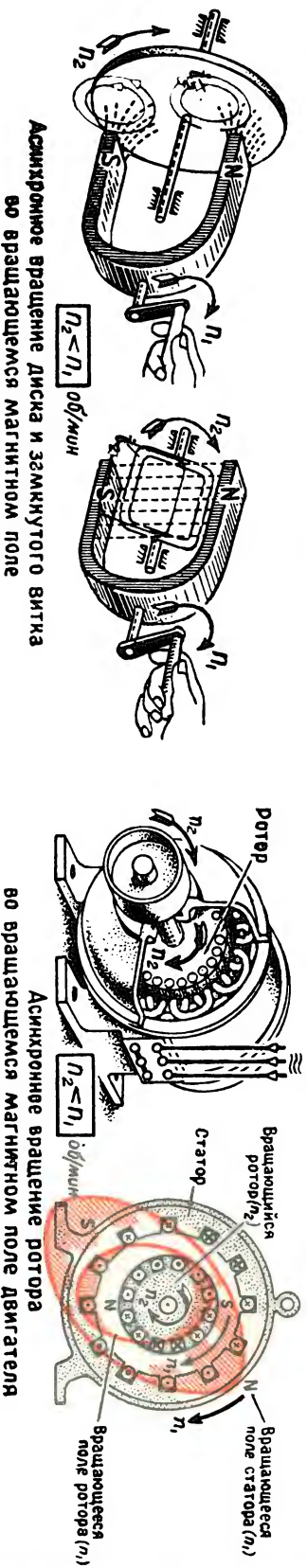


ШТАМПОВАННЫЕ ЛИСТЫ ЭЛЕКТРОТЕХНИЧЕСКОЙ СТАЛИ (ЖЕЛЕЗА) СТАТОРА И РОТОРА

ПРИНЦИП ДЕЙСТВИЯ АСИНХРОННОГО ДВИГАТЕЛЯ



ВРАЩАЮЩЕЕСЯ МАГНИТНОЕ ПОЛЕ ТРЕХФАЗНОГО ДВИГАТЕЛЯ



Асинхронное вращение диска и замкнутого витка во вращающемся магнитном поле

$$n_1 = \frac{f \cdot 60}{p} \text{ об/мин}$$

Синхронное число оборотов вращающегося поля

$$n_2 = n_1 (1 - S) \text{ об/мин}$$

Асинхронное число оборотов ротора

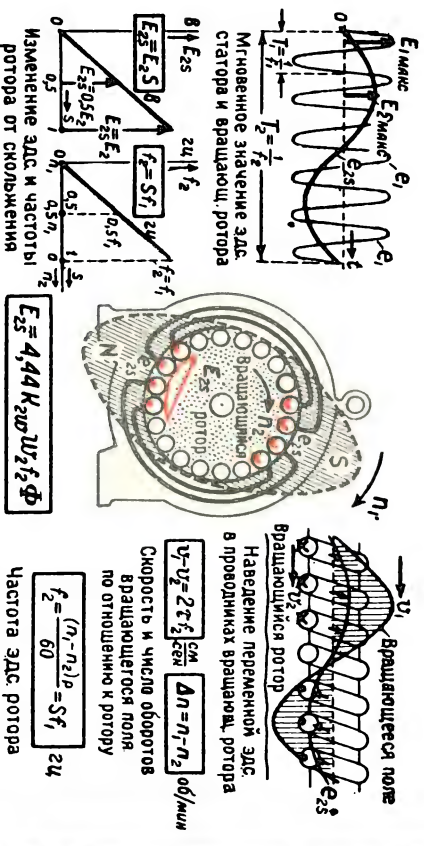
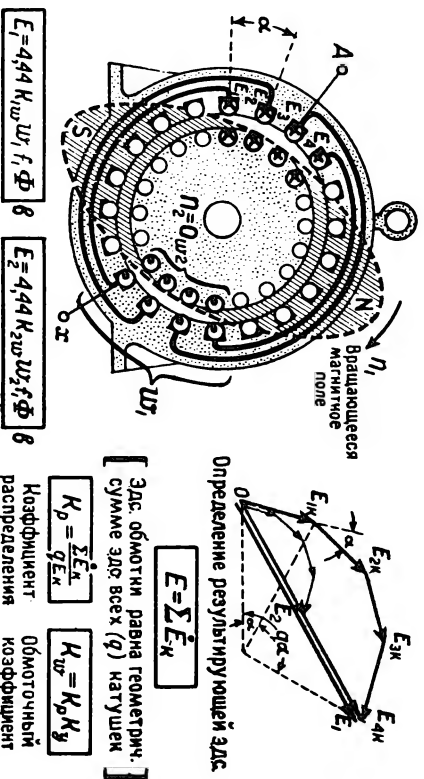
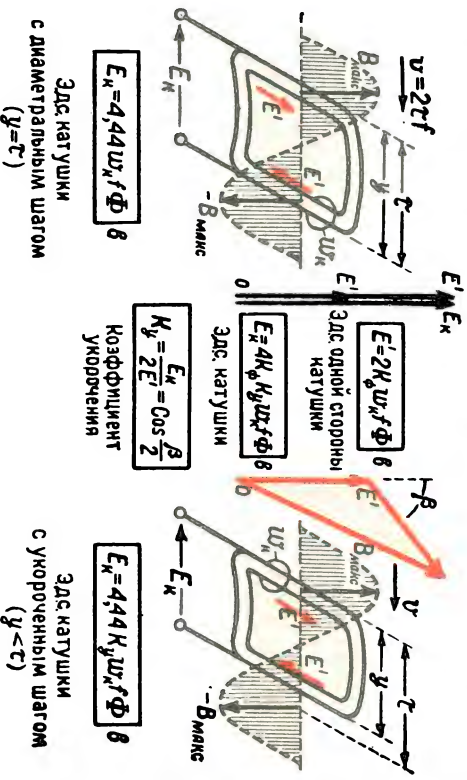
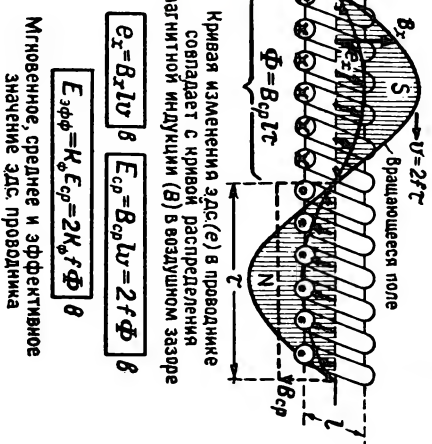
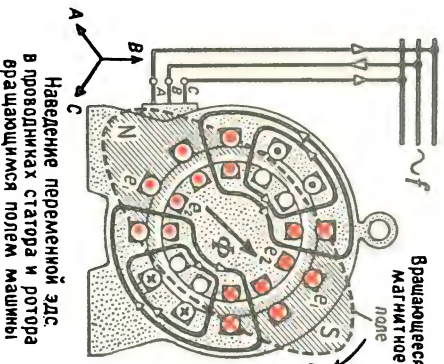
$$S = \frac{n_1 - n_2}{n_1}$$

Скольжение

Число пар полюсов p	1	2	3	4	6
n_1	3000	1500	1000	750	500

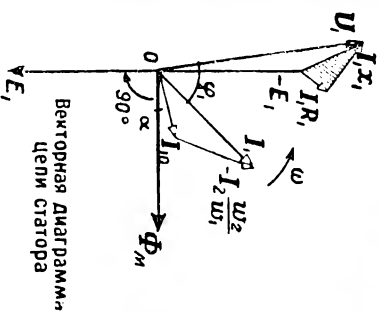
Синхронное число оборотов поля ($f = 50 \text{ гц}$)

ЭЛЕКТРОДВИЖУЩАЯ СИЛА (ЭДС) СТАТОРА И РОТОРА ДВИГАТЕЛЯ



ЭДС вращающегося ротора

СХЕМА ЗАМЕЩЕНИЯ АСИНХРОННОГО ДВИГАТЕЛЯ



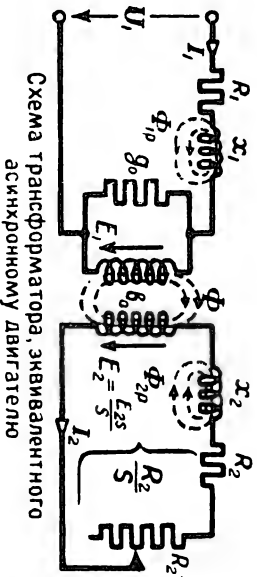
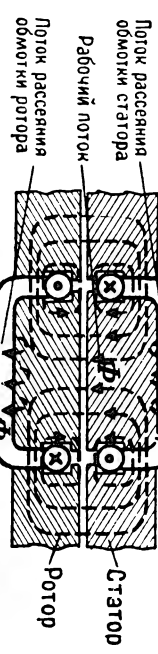
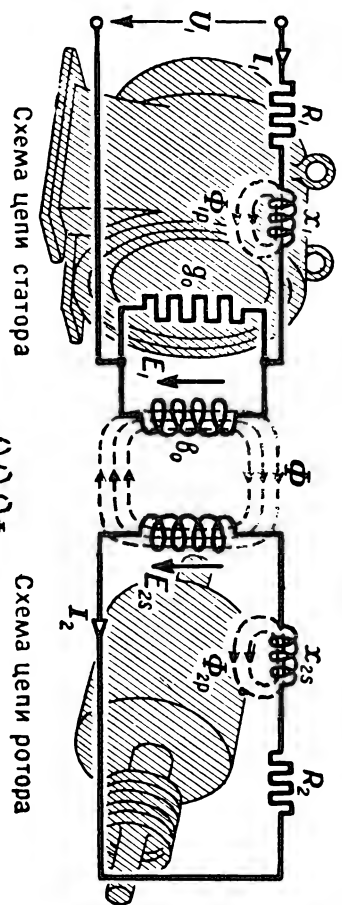
$$E_1 = 4,44 K_1 f_1 \omega_1 \Phi$$

б

$$i_1 = i_{10} - i_2 \frac{\omega_2}{\omega_1}$$

а

З. д. с. и ток статора



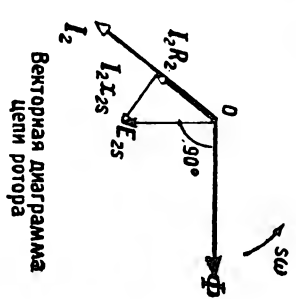
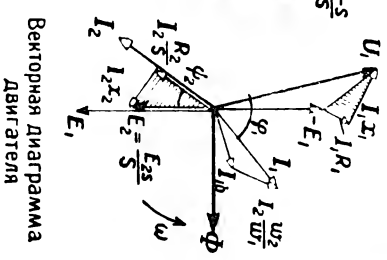
$$E_2 = \frac{E_{2s}}{s}$$

б

$$I_2 = \frac{E_2}{\sqrt{(R_2/s)^2 + X_2^2}}$$

а

З. д. с. и ток неподвижного ротора



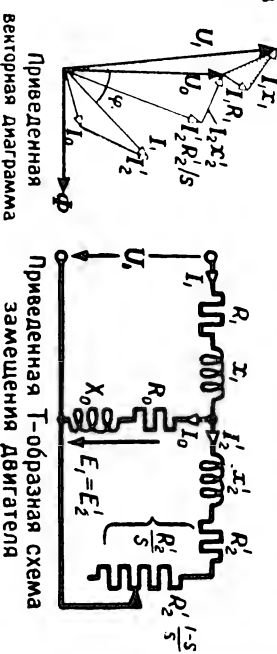
$$E_{2s} = 4,44 K_2 f_2 \omega_2 \Phi$$

б

$$I_2 = \frac{E_{2s}}{\sqrt{R_2^2 + X_2^2}}$$

а

З. д. с. и ток ротора



$$R_2' = R_2 \frac{m_1}{m_2} \left(\frac{\omega_1 K_1}{\omega_2 K_2} \right)^2$$

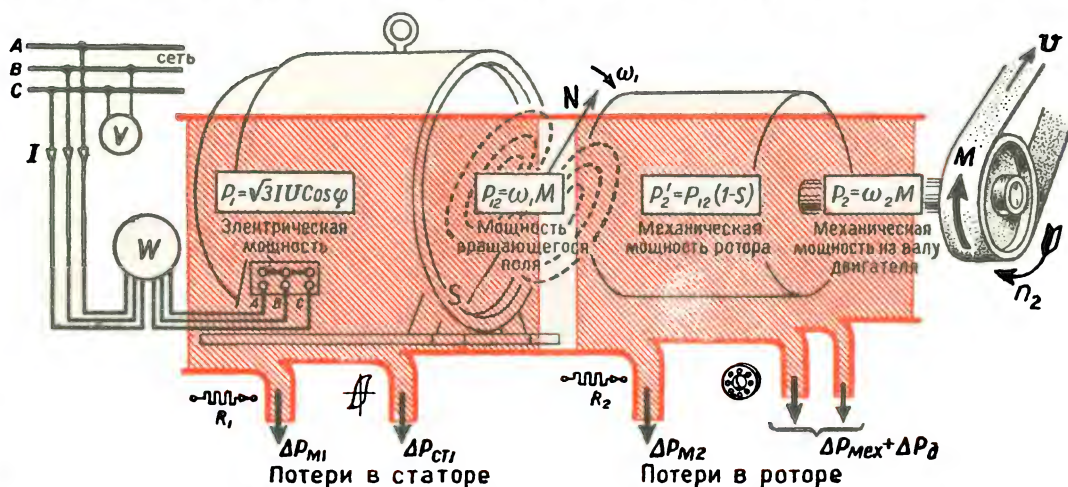
ом

$$X_2' = X_2 \frac{m_1}{m_2} \left(\frac{\omega_1 K_1}{\omega_2 K_2} \right)^2$$

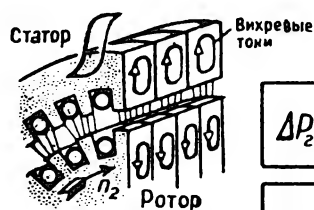
ом

Сопровождающие цепи ротора, приведенные к числу витков статора

ЭНЕРГЕТИЧЕСКАЯ ДИАГРАММА И КПД ДВИГАТЕЛЯ



Энергетическая диаграмма



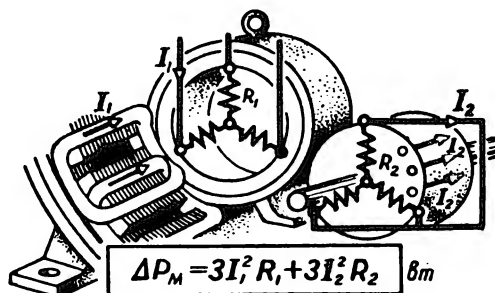
$$\Delta P_{CT} = \Delta P_{CT1} + \Delta P_{CT2} \quad \text{Вт}$$

Потери в стали статора и ротора

$$\Delta P_2 = K_2 \frac{f}{100} \left(\frac{B_{макс}}{10000} \right) \frac{\text{Вт}}{\text{кг}}$$

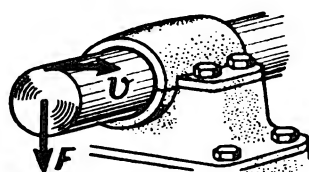
$$\Delta P_8 = K_8 \left(\frac{f}{100} \right)^2 \left(\frac{B_{макс}}{10000} \right)^2 \frac{\text{Вт}}{\text{кг}}$$

Потери на гистерезис и вихревые токи



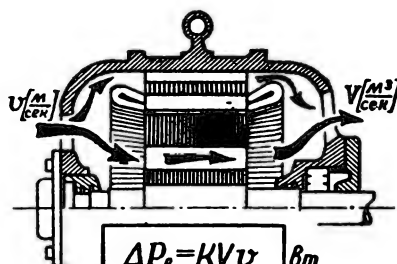
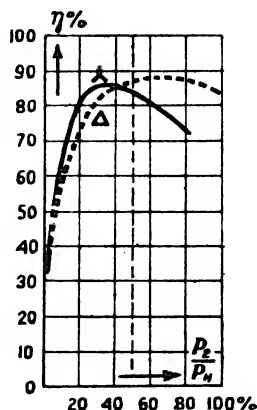
$$\Delta P_M = 3I_1^2 R_1 + 3I_2^2 R_2 \quad \text{Вт}$$

Тепловые потери в обмотке статора и ротора



$$P_{тр} = \mu F v \quad \text{Вт}$$

Потери на трение



$$\Delta P_{\partial} = K V v \quad \text{Вт}$$

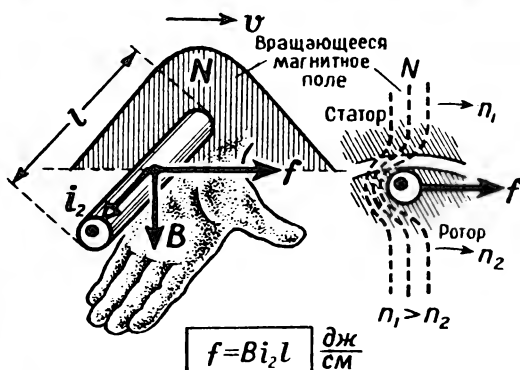
Вентиляционные потери

$$\eta = \frac{P_2}{P_1} = \frac{\sqrt{3}IU \cos \varphi - \Sigma \Delta P}{\sqrt{3}IU \cos \varphi} = 1 - \frac{\Sigma \Delta P}{\sqrt{3}IU \cos \varphi}$$

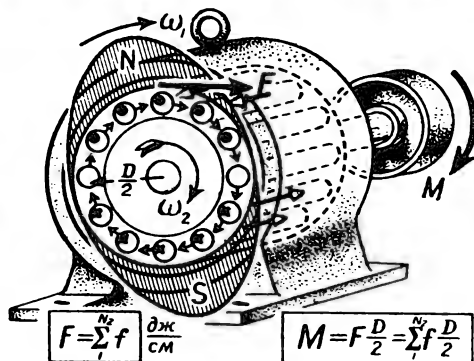
К.п.д. двигателя

М. Д. Каминский

ВРАЩАЮЩИЙ МОМЕНТ АСИНХРОННОГО ДВИГАТЕЛЯ



$f = B i_2 l$ $\frac{дж}{см}$
 Электромагнитная сила, действующая на проводник ротора



$$F = \sum_{i=1}^{N_2} f \quad \frac{дж}{см}$$

Окружное усилие ротора (сумма электромагнитных сил всех N_2 проводников ротора)

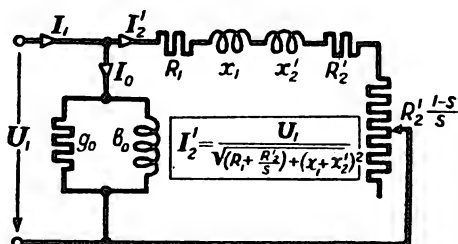
$$M = F \frac{D}{2} = \sum_{i=1}^{N_2} f \frac{D}{2} \quad дж$$

Вращающий момент ротора (сумма моментов всех N_2 проводников ротора)

$$M = \frac{N_2 p}{2 \sqrt{2}} I_2 \Phi \cos \psi_2 \quad дж$$

$$M = \frac{N_2 p}{9,81 \cdot 2 \sqrt{2}} \cdot I_2 \Phi \cos \psi_2 \quad кгм$$

ВРАЩАЮЩИЙ МОМЕНТ ДВИГАТЕЛЯ (электромагнитный момент ротора)



Упрощенная Г-образная схема замещения двигателя

$$M = \frac{3 I_2'^2 R_2'}{\omega_1 S} = \frac{3 U_1^2 R_2'}{\omega_1 S [(R_1 + \frac{R_2'}{S})^2 + (x_1 + x_2')^2]} \quad дж$$

Выражение вращающего момента, соответствующее упрощенной схеме

$$M_{\max} \approx \frac{3 U_1^2}{\omega_1 2 (R_1 + x_2')} \quad дж$$

$$M_{\text{пуск}} \approx \frac{3 U_1^2 R_2'}{\omega_1 [(R_1 + R_2')^2 + (x_1 + x_2')^2]} \quad дж$$

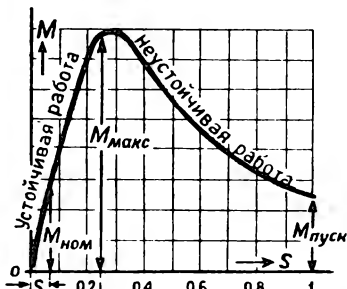
Максимальный и пусковой моменты двигателя

$$\frac{M_{\max}}{M_{\text{ном}}} \approx 1,6 \div 2,5$$

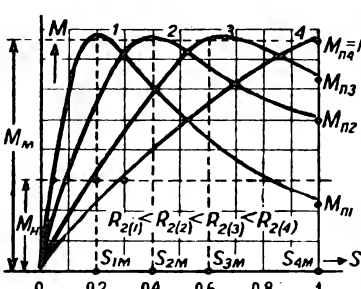
Перегрузочная способность двигателя

$$S_{\max} \approx \frac{R_2'}{x_1 + x_2'} = 12 \div 20\%$$

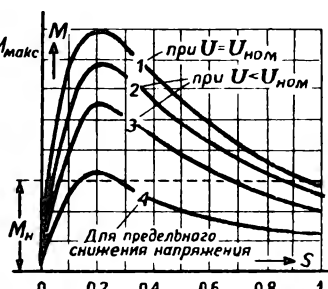
Скольжение при максимальном моменте



Зависимость вращающего момента от скольжения (механическая характеристика двигателя)

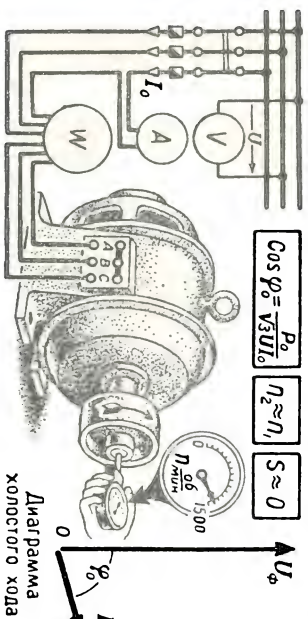


Зависимость вращающего момента от сопротивления цепи ротора R_2

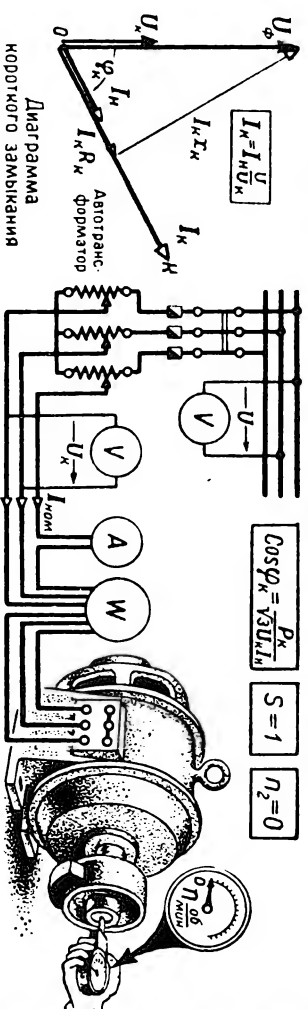


Зависимость вращающего момента от напряжения, подводимого к двигателю

КРУГОВАЯ ДИАГРАММА АСИНХРОННОГО ДВИГАТЕЛЯ



Холостой ход двигателя



Короткое замыкание двигателя

$$I = 0.8 m_i$$

$$M = c \bar{b} m_m$$

$$P_2 = \delta \bar{b} m_p$$

$$P_1 = a \bar{b} m_p$$

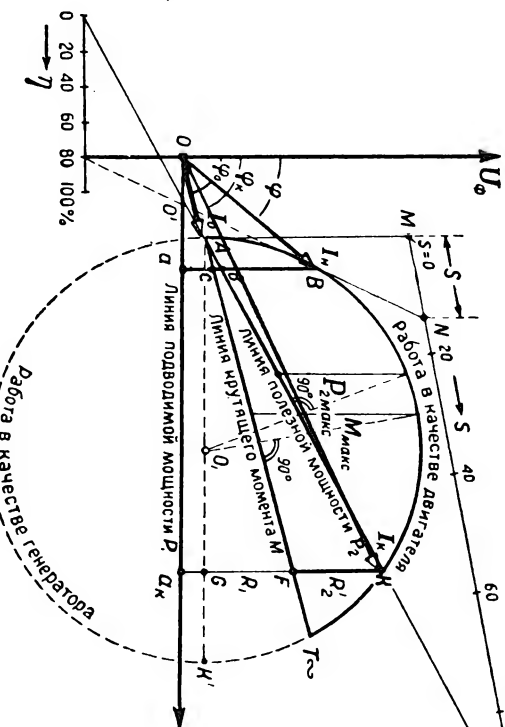
Ток, мощность и момент на круговой диаграмме

$$m_i = \frac{Q}{mm}$$

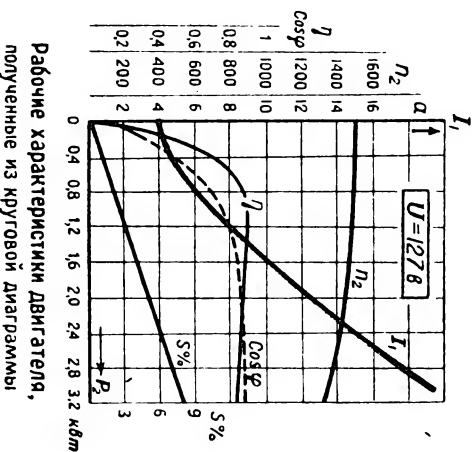
$$m_p = m_i U \sqrt{3}$$

$$m_m = 0.974 \frac{m_p}{n_i}$$

Масштаб тока, мощности и крутящего момента

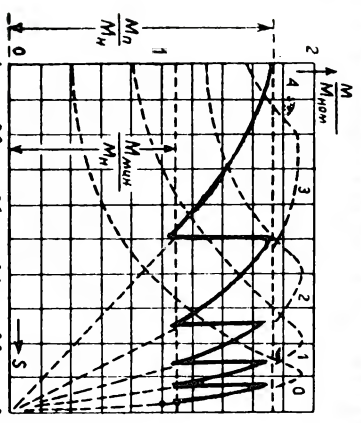
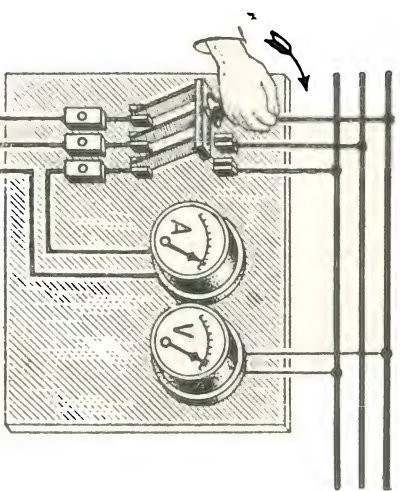


УПРОЩЕННАЯ КРУГОВАЯ ДИАГРАММА (Построение производится по точкам холостого хода и короткого замыкания)

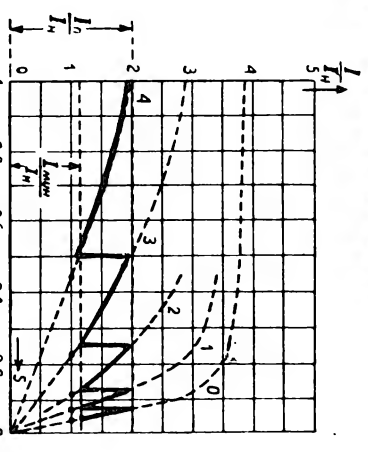


Рабочие характеристики двигателя, полученные из круговой диаграммы

ПУСК В ХОД ДВИГАТЕЛЕЙ С ФАЗНЫМ РОТОРОМ



Изменение крутящего момента при разбеге двигателя



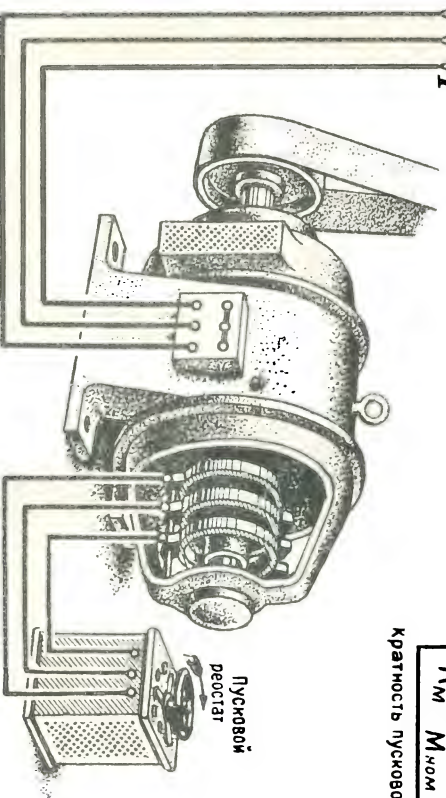
Изменение тока статора и ротора при разбеге двигателя

$$K_M = \frac{M_{пуск}}{M_{ном}} \approx 1/6$$

Кратность пускового момента

$$K_I = \frac{I_{пуск}}{I_{ном}} \approx 1/2$$

Кратность пускового тока

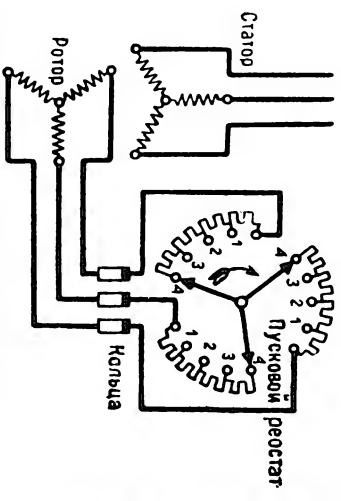


Пуск с помощью реостата

Порядок пуска

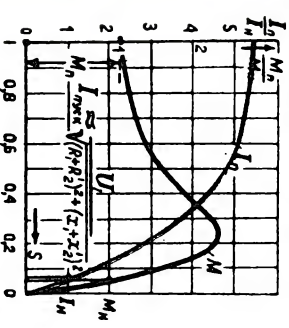
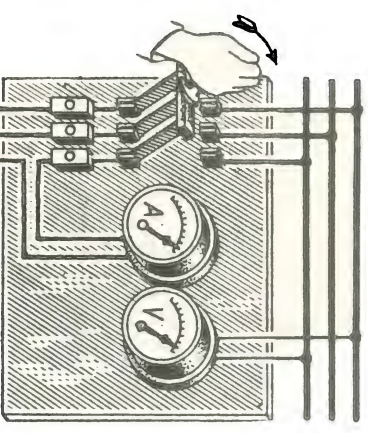
1. Провести, надолжен-ли щетки на кольца
2. Включить обмотку статора в сеть.
3. Постепенно вывести реостат по мере разбега двигателя.
4. По окончании разбега замкнуть кольца накоротко.
5. Привести реостат в исходное положение, подготовив его к следующему пуску.

Схема включения пускового реостата



М.Д.Каминский

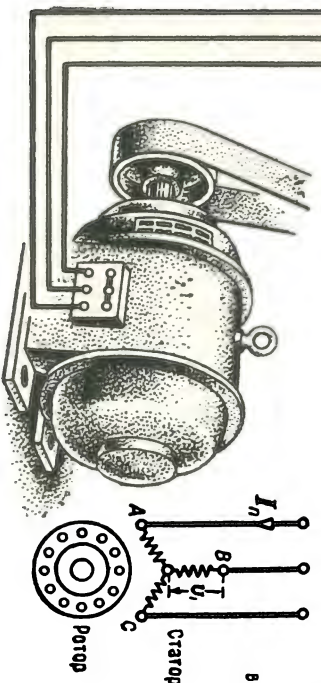
ПУСК В ХОД ДВИГАТЕЛЕЙ С КОРОТКОЗАМКНУТЫМ РОТОРОМ



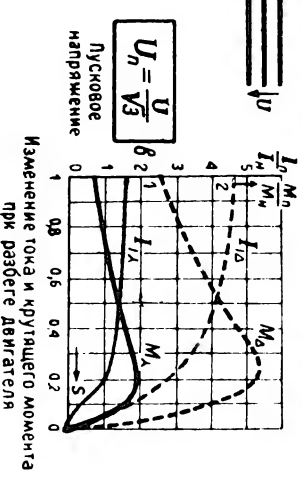
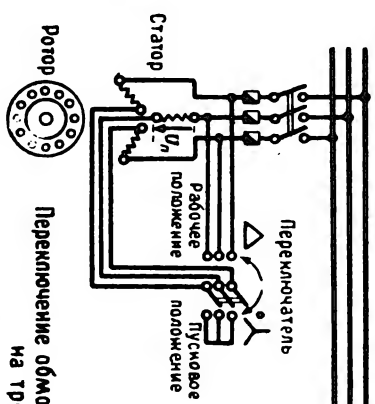
Изменение тока и крутящего момента при разбеге двигателя

$K_i = \frac{I_{пуск}}{I_{ном}} \approx 4 \div 7$
Кратность пускового тока

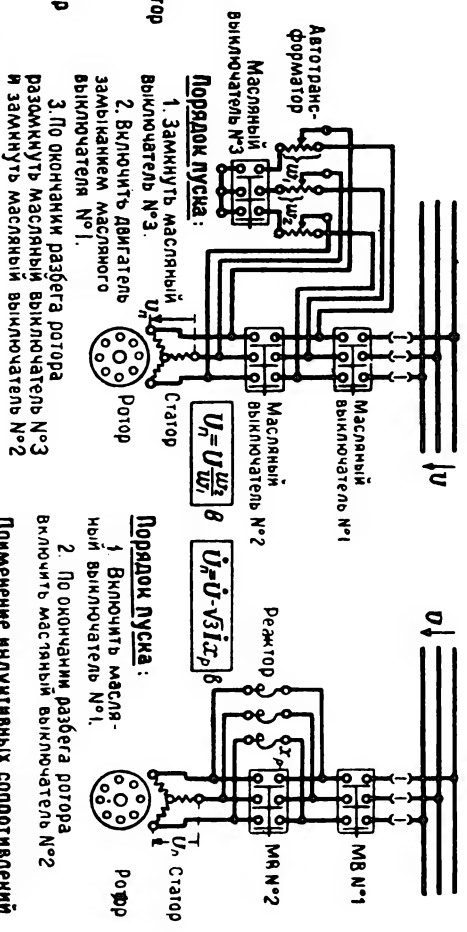
$K_M = \frac{M_{пуск}}{M_{ном}} \approx 1,1 \div 1,4$
Кратность пускового момента



ПРЯМОЙ ПУСК
(Непосредственное включение двигателя к напряжению сети U)



Переключение обмотки статора со звезды (пусковое положение) на треугольник (рабочее положение)



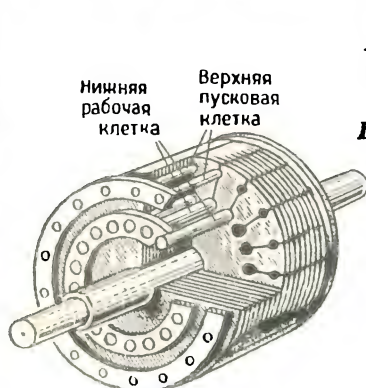
Пуск при пониженном напряжении
(Уменьшение пускового тока снижением напряжения, подводимого к двигателю)

Порядок пуска:
1. Включить масляный выключатель №1.
2. По окончании разбег ротора включить масляный выключатель №2.

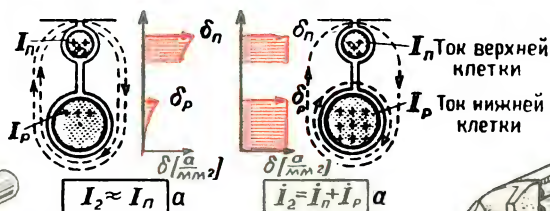
Порядок пуска:
1. Замкнуть масляный выключатель №3.
2. Включить двигатель замканием масляного выключателя №1.
3. По окончании разбег ротора разомкнуть масляный выключатель №3 и замкнуть масляный выключатель №2.

Применение индуктивных сопротивлений (реакторов)

ДВИГАТЕЛИ С ВЫТЕСНЕНИЕМ ТОКА В РОТОРЕ



Двухклеточный ротор с медными стержневыми клетками



Распределение тока в роторе при пуске двигателя ($S=1$)

Распределение тока в роторе при норм. работе двигателя ($S=S_{ном}$)

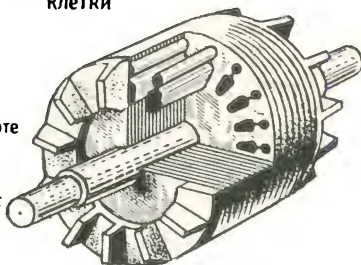
$$M_n = 3I_n^2 R_n \frac{1}{S} \text{ дж}$$

$$M_p = 3I_p^2 R_p \frac{1}{S} \text{ дж}$$

Крутящие моменты, развиваемые пусковой и рабочей клетками

$$M = M_n + M_p \text{ дж}$$

Крутящий момент двигателя



Ротор с двойной алюминиевой литой клеткой

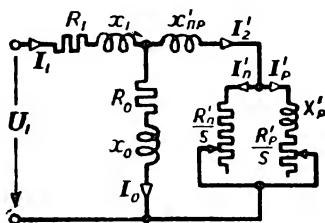


Схема замещения двигателя

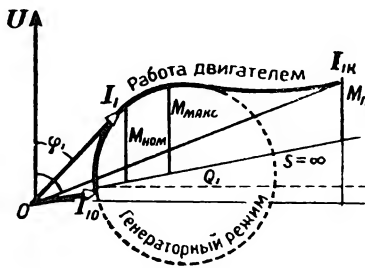


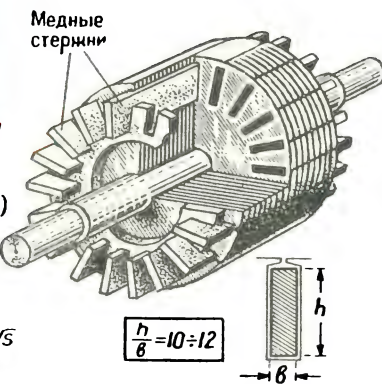
Диаграмма тока двигателя



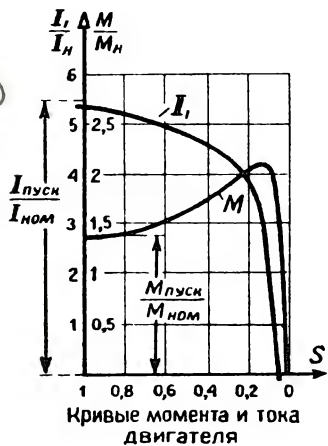
ДВИГАТЕЛЬ С ДВОЙНОЙ КЛЕТКОЙ ДОЛИВО-ДОБРОВОЛЬСКОГО



Изменение сопротивлений ротора от скольжения

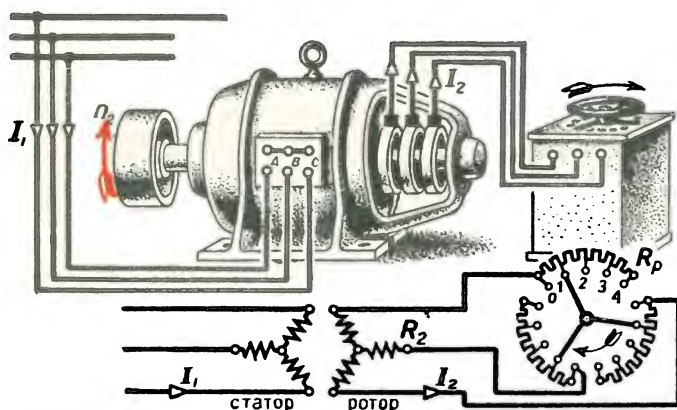


Ротор с глубокими пазами

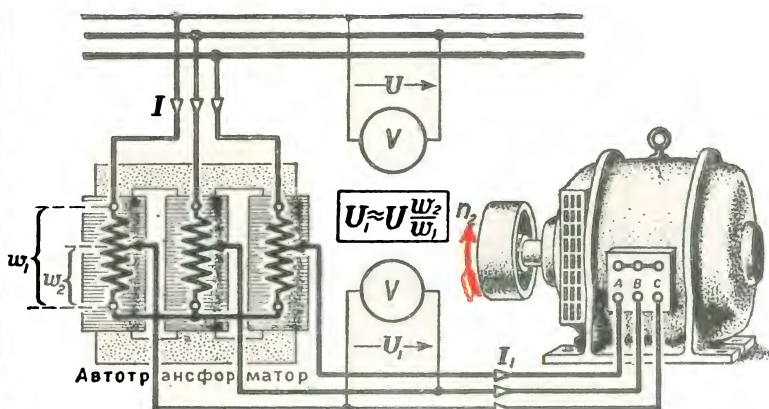


ДВИГАТЕЛЬ С ГЛУБОКИМИ ПАЗАМИ

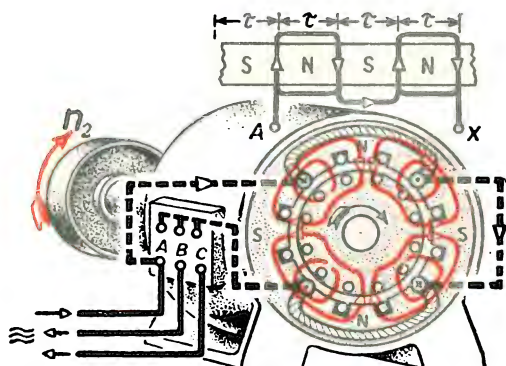
РЕГУЛИРОВАНИЕ СКОРОСТИ ВРАЩЕНИЯ АСИНХРОННОГО ДВИГАТЕЛЯ



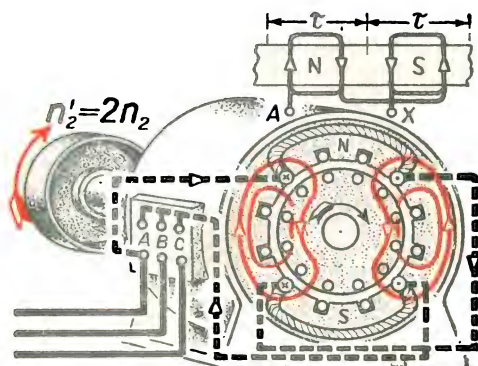
РЕГУЛИРОВАНИЕ СКОРОСТИ ПУТЕМ ИЗМЕНЕНИЯ СОПРОТИВЛЕНИЯ В ЦЕПИ РОТОРА



РЕГУЛИРОВАНИЕ СКОРОСТИ ПУТЕМ ИЗМЕНЕНИЯ ПОДВОДИМОГО НАПРЯЖЕНИЯ



Четыре полюса ($2p=4$)



Два полюса ($2p=2$)

СТУПЕНЧАТОЕ РЕГУЛИРОВАНИЕ СКОРОСТИ ПУТЕМ ИЗМЕНЕНИЯ ЧИСЛА ПОЛЮСОВ ДВИГАТЕЛЯ

ОДНОФАЗНЫЙ АСИНХРОННЫЙ ДВИГАТЕЛЬ

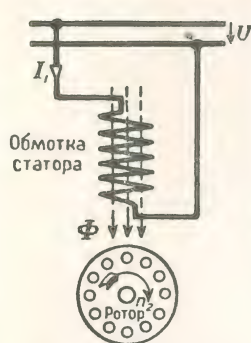
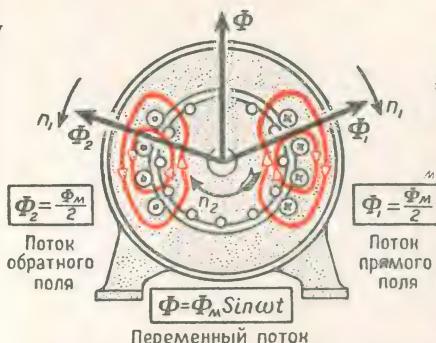
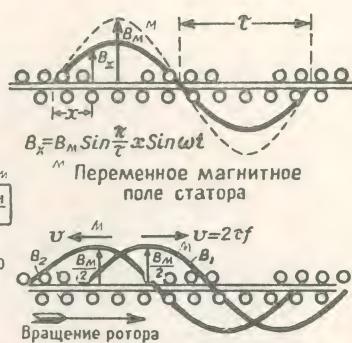


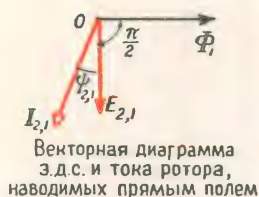
Схема однофазного двигателя



Разложение переменного магнитного потока статора на два вращающихся в противоположные стороны

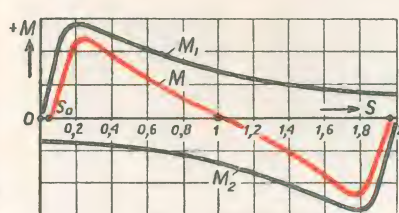


Прямое и обратное вращающееся магнитное поле статора

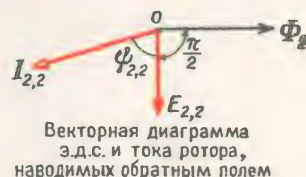


$$M_1 = c I_{2,1} \Phi_1 \cos \psi_{2,1} \text{ дж}$$

Момент прямого поля



$$M = M_1 - M_2 \text{ дж}$$



$$M_2 = c I_{2,2} \Phi_2 \cos \psi_{2,2} \text{ дж}$$

Момент обратного поля

ВРАЩАЮЩИЙ МОМЕНТ ОДНОФАЗНОГО ДВИГАТЕЛЯ

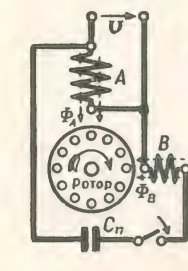


Схема однофазного двигателя с конденсаторным пуском

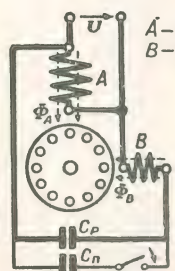
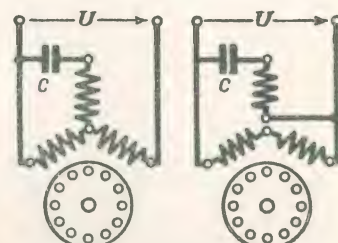


Схема однофазного конденсаторного двигателя



Кривая момента конденсаторного двигателя



Схемы включения трехфазных асинхронных двигателей в качестве однофазных конденсаторных

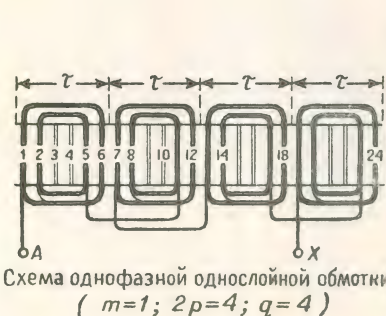
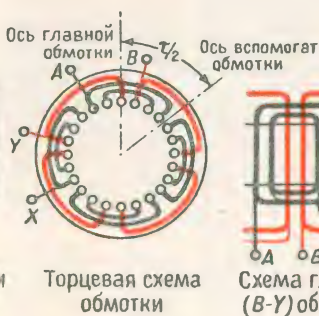


Схема однофазной однослойной обмотки ($m=1; 2p=4; q=4$)

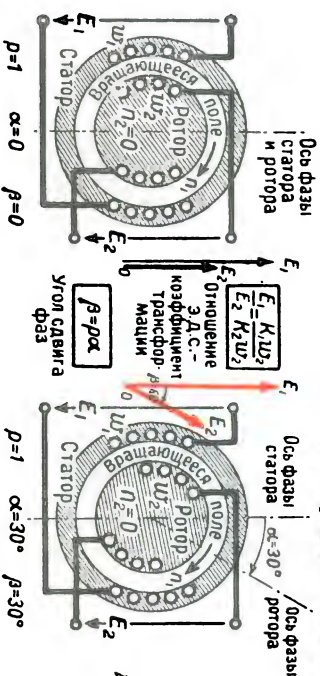


Торцевая схема обмотки

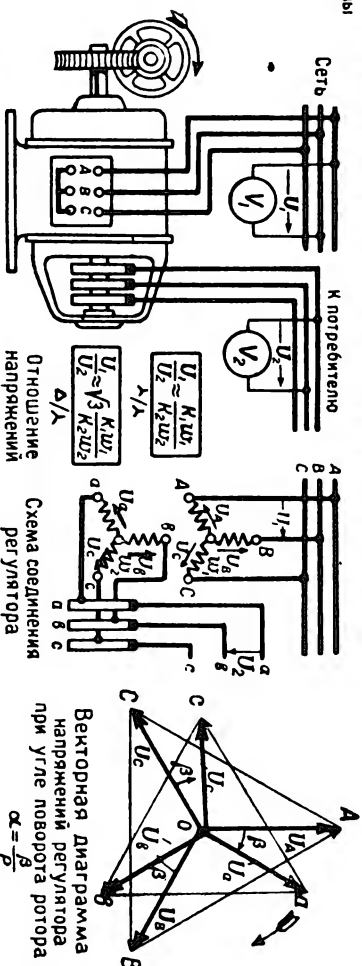


Схема главной (А-Х) и вспомогательной (В-У) обмоток однофазного двигателя

ИНДУКЦИОННЫЙ РЕГУЛЯТОР



Изменение угла сдвига фаз (β) между э.д.с. статора (\mathcal{E}_1) и э.д.с. ротора (\mathcal{E}_2) при повороте ротора на угол α



ТРЕХФАЗНЫЙ ПОВОРОТНЫЙ ТРАНСФОРМАТОР-РЕГУЛЯТОР ФАЗ
(использование трехфазного двигателя с заторможенным ротором в качестве трансформатора)

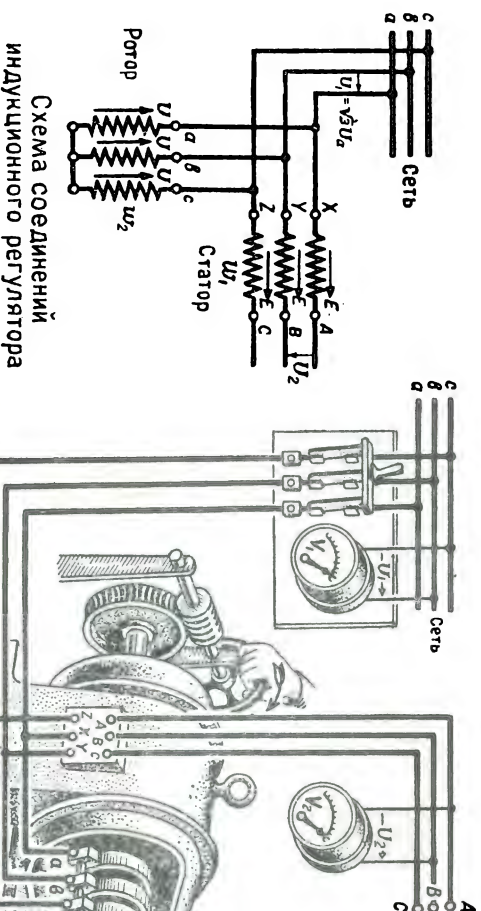
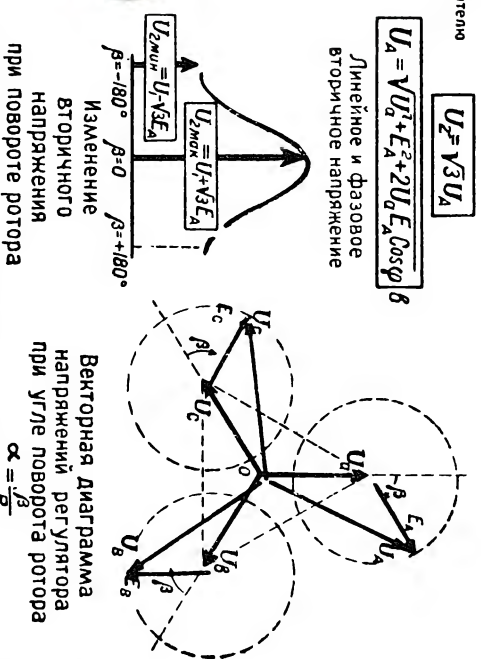
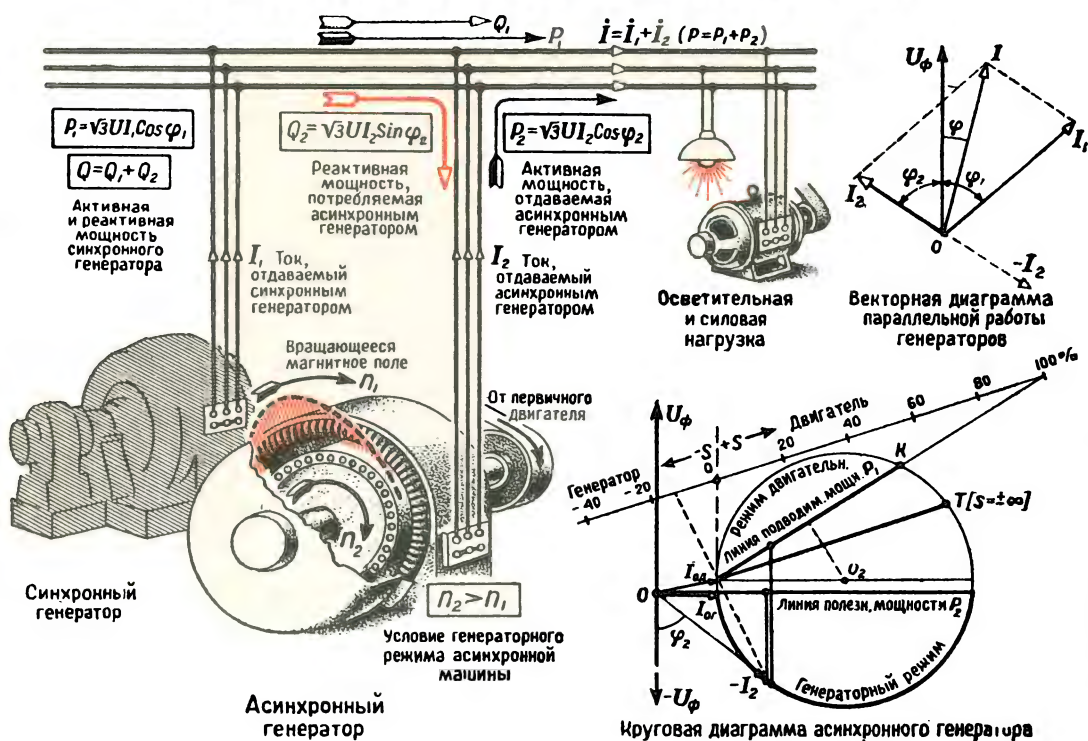


Схема соединений индукционного регулятора

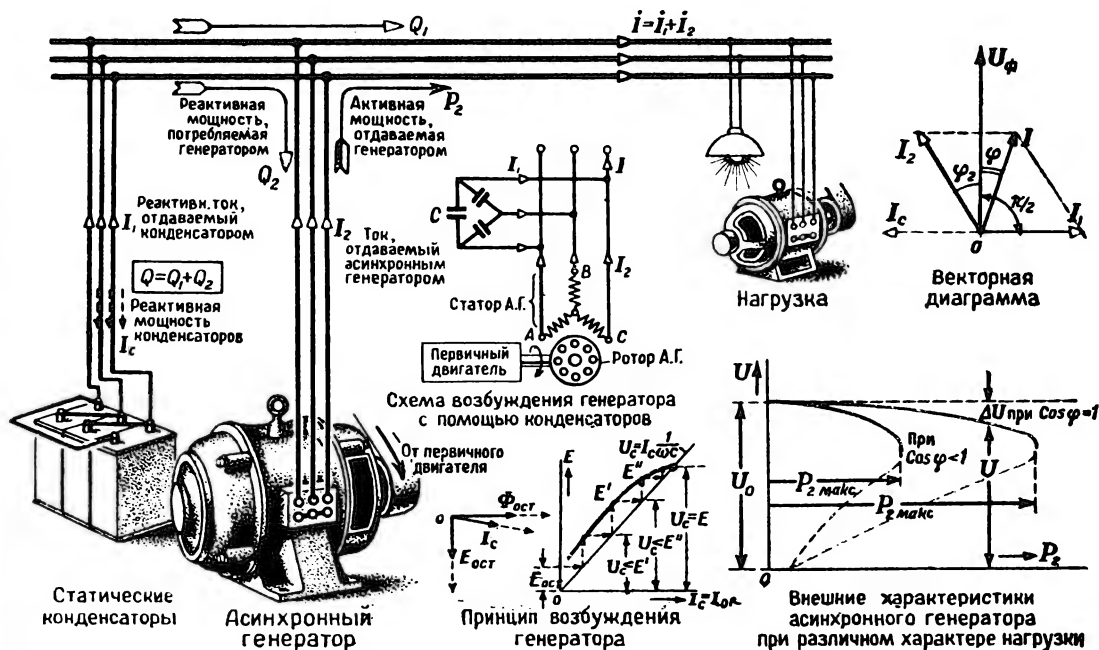


ТРЕХФАЗНЫЙ ИНДУКЦИОННЫЙ РЕГУЛЯТОР НАПРЯЖЕНИЯ

АСИНХРОННЫЙ ГЕНЕРАТОР



СОВМЕСТНАЯ РАБОТА АСИНХРОННОГО ГЕНЕРАТОРА С СИНХРОННЫМ ГЕНЕРАТОРОМ

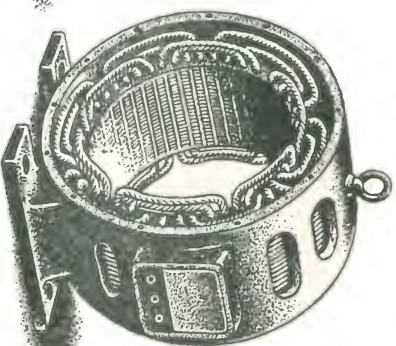


РАБОТА АСИНХРОННОГО ГЕНЕРАТОРА С КОНДЕНСАТОРНЫМ ВОЗБУЖДЕНИЕМ

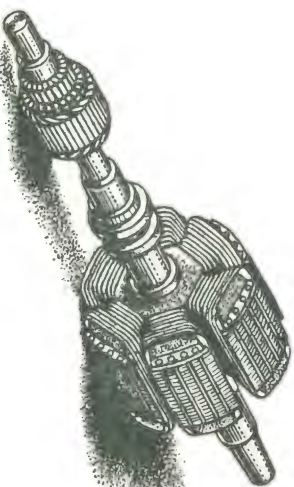
СИНХРОННАЯ МАШИНА



Подшипниковый щит
со статорной обмоткой



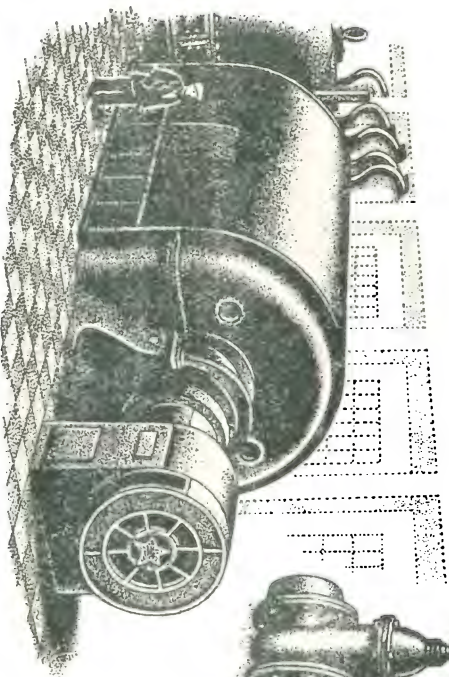
Статор — якорь машины



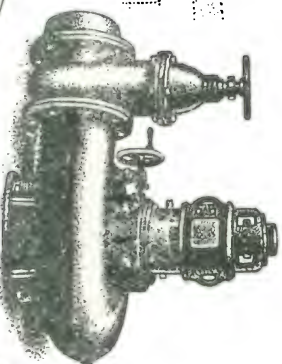
Ротор — индуктор машины
с якорем возбуждения



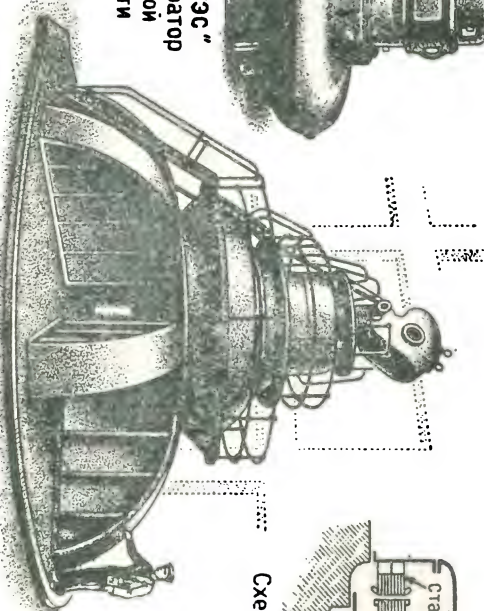
Подшипниковый щит



Турбогенератор на 50000 кВт, 10500 в,
Cos φ = 0,85 (58800 кВт) тип Т2-50-2



„МикрогЭС“
гидрогенератор
небольшой
мощности



Гидрогенератор на 30000 кВт, 11000 в

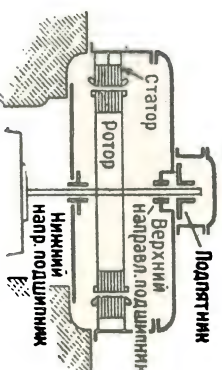


Схема гидрогенератора
подвешенного типа

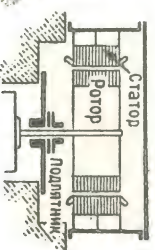


Схема гидрогенератора
консольного типа

Ампервитки (намагничивающая сила) пары полюсов

$$F_n = I_6 W = H_8 2\delta + H_z 2l_z + H_c l_c + H_n 2l_n + H_p l_p \quad \alpha$$

Обмотка воздушной

Изоляция

Вентиляционные каналы

Проводники обмотки

Клинья

Massivnyy (цельный)

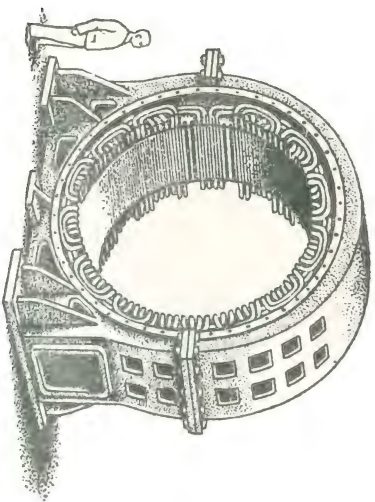
Дискový

Составной (из трех частей)

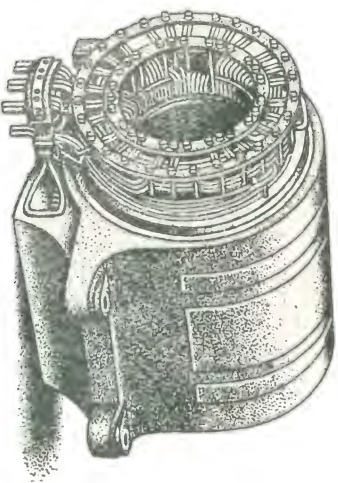
Конструкция ротора

Конструкции ротора

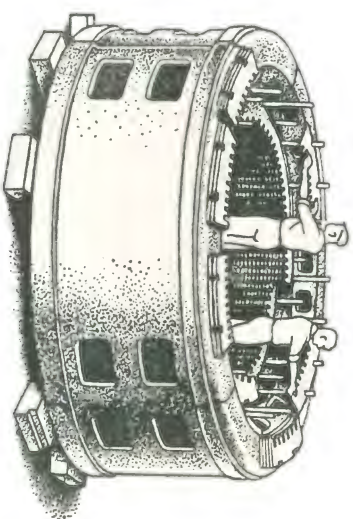
СТАТОР-ЯКОРЬ СИНХРОННОЙ МАШИНЫ



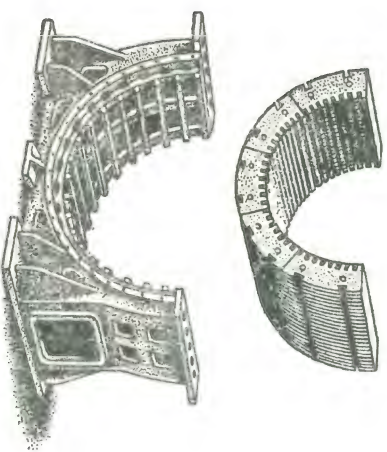
Статор тихоходной машины
(дизельгенератора)



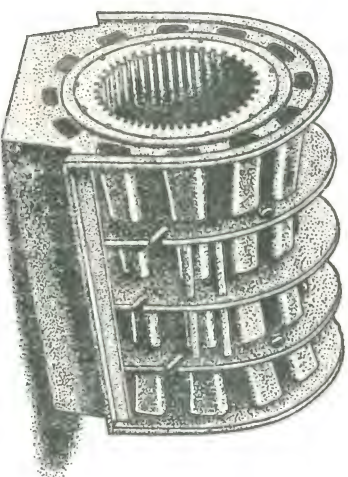
Статор быстроходной машины
(турбогенератора)



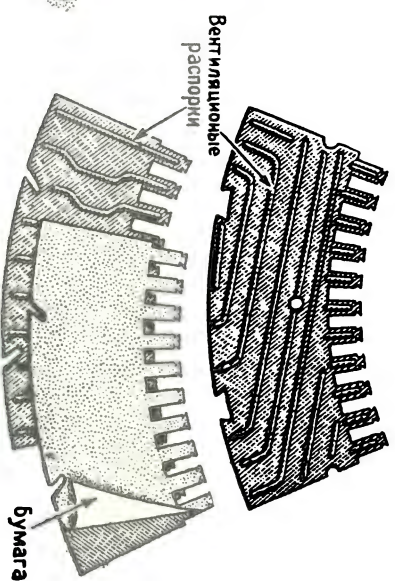
Сборка стали статора
(гидрогенератора)



Части корпуса и стали
статора тихоходной машины

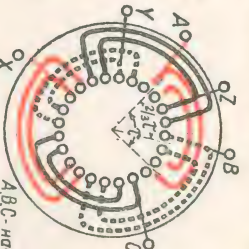
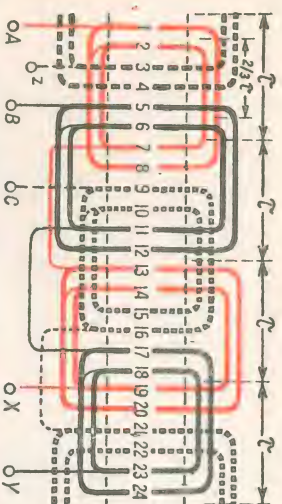


Корпус статора быстроходной машины



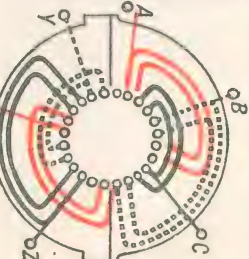
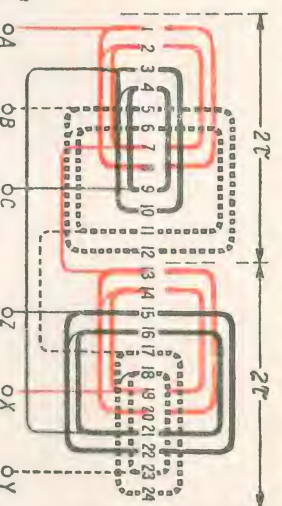
Штампованные листы (сегменты)
статорной стали

Однослойная обмотка статора



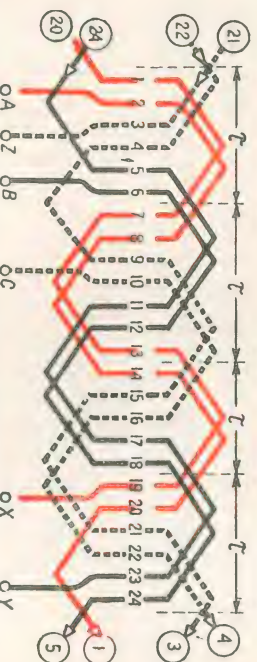
Развернутая схема однослойной, катушечной обмотки
(число фаз $m=3$; число полюсов $2p=4$;
число пазов на полюс и фазу $q=2$)

Торцевая схема обмотки

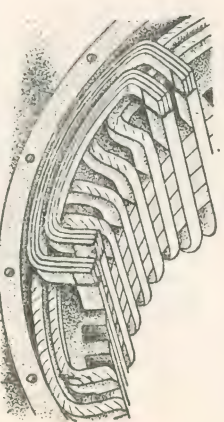


Развернутая схема однослойной обмотки
разъемного статора ($m=3$; $2p=4$; $q=2$)

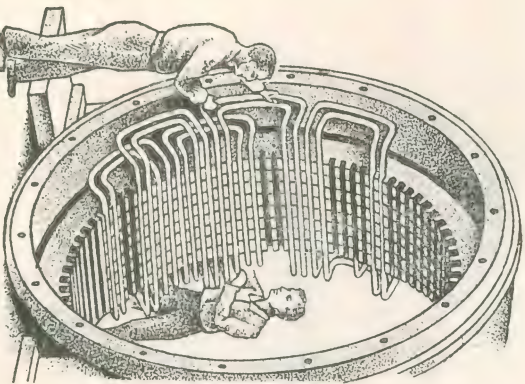
Торцевая схема обмотки
разъемного статора



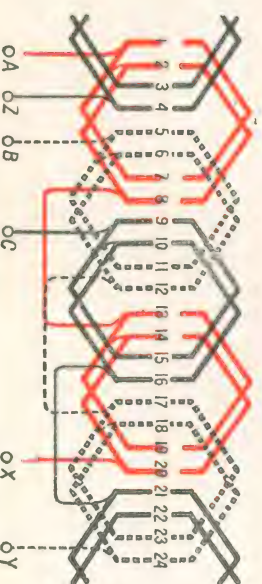
Развернутая схема волновой (стержневой) обмотки
($m=3$; $2p=4$; $q=2$)



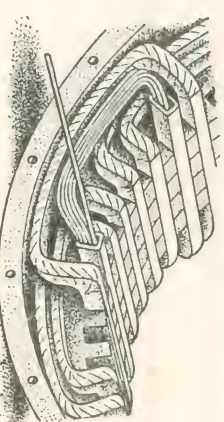
Лобовые соединения стержневой обмотки



Укладка катушечной
шаблонной обмотки



Развернутая схема равносекционной обмотки
с диаметрными катушками ($m=3$; $2p=4$; $q=2$)



Катушечная обмотка,
выполняемая впротяжку

ДВУХСЛОЙНАЯ ОБМОТКА СТАТОРА

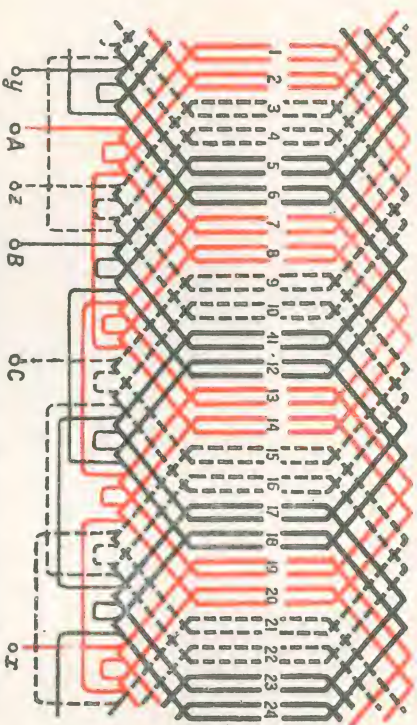


Схема двухслойной катушечной (петлевой) обмотки
($m=3$; $2p=4$; $q=2$)

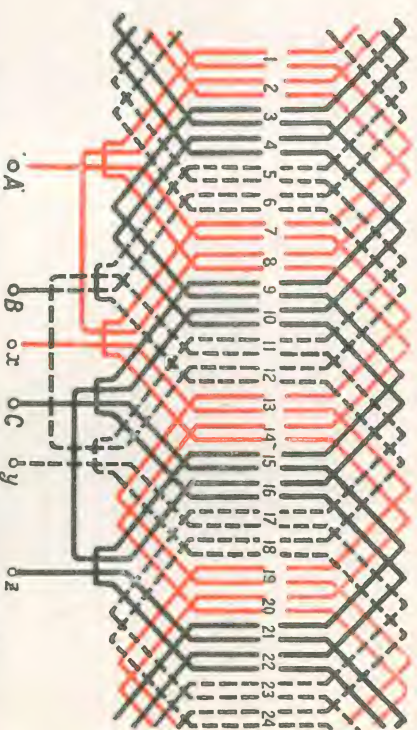
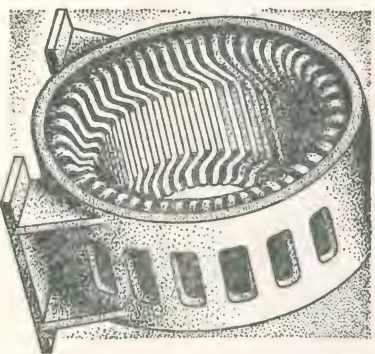
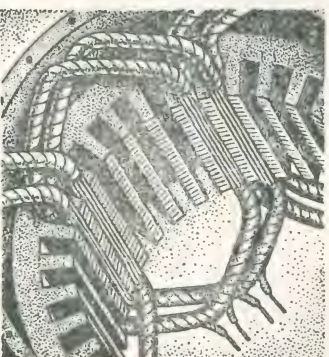


Схема двухслойной стержневой (волновой) обмотки
($m=3$; $2p=4$)

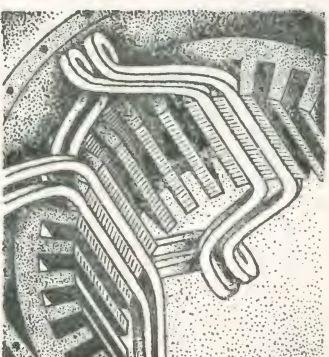


Двухслойная обмотка



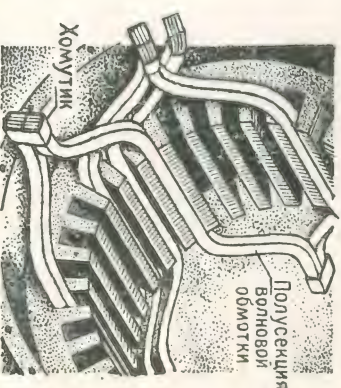
Обмотка с мягкими катушками

Укладка двухслойной катушечной обмотки

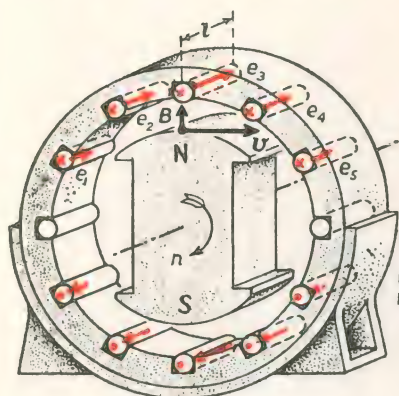


Обмотка с твердыми катушками

Укладка двухслойной стержневой обмотки



ЭЛЕКТРОДВИЖУЩАЯ СИЛА (ЭДС) СТАТОРА-ЯКОРЯ



$$e_x = B_x l v \theta$$

$$E_{cp} = B_{cp} l v = 2f\Phi \theta$$

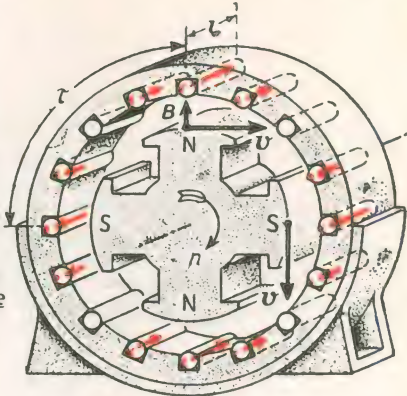
$$E_{np} = K_\Phi E_{cp} = 2K_\Phi f\Phi \theta$$

Мгновенное, среднее и эффективное значение ЭДС, проводника

Наведение переменной ЭДС в проводниках статора двухполюсной машины (2p=2)

$$f = \frac{p\omega}{60} = \frac{n}{60} \text{ Гц}$$

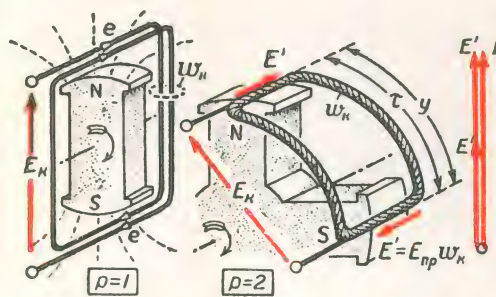
Частота индуцированной ЭДС.



Наведение переменной ЭДС в проводниках статора четырехполюсной машины (2p=4)

$$f = \frac{p\omega}{60} = \frac{2n}{60} \text{ Гц}$$

Частота индуцированной ЭДС.



ЭДС катушки с диаметральной шаг (y=tau)

$$E' = 2K_\Phi \omega_n f \Phi \theta$$

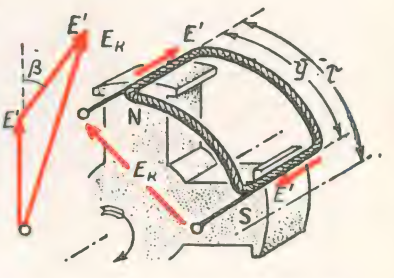
ЭДС одной стороны катушки

$$E_n = 4K_\Phi K_y \omega_n f \Phi \theta$$

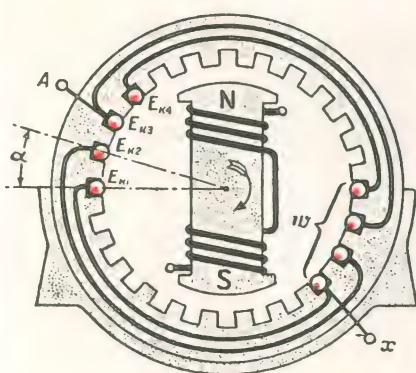
ЭДС катушки

$$K_y = \frac{E_n}{2E'} = \cos \frac{\beta}{2}$$

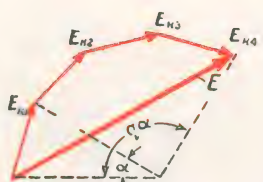
Коэффициент укорочения



ЭДС катушки с укороченным шагом (y < tau)



ЭДС. одной фазы обмотки статора (q=4)



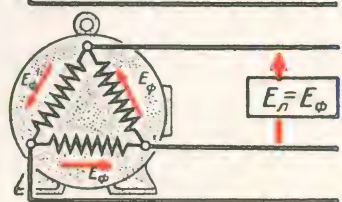
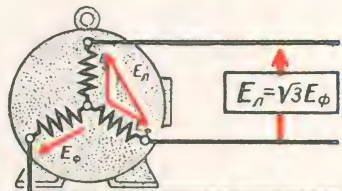
Определение результирующей ЭДС

$$E = \sum \vec{E}_n = 4K_\Phi K_y K_D \omega_n f \Phi \theta$$

ЭДС обмотки равна геометрической сумме ЭДС всех (q) катушек

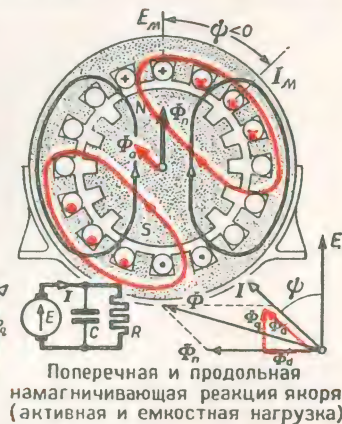
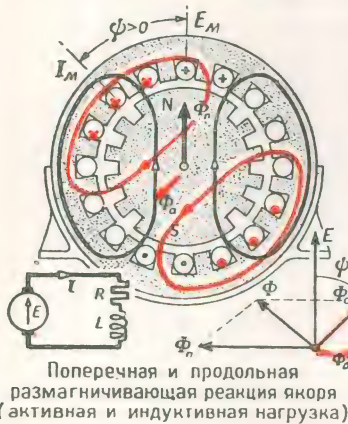
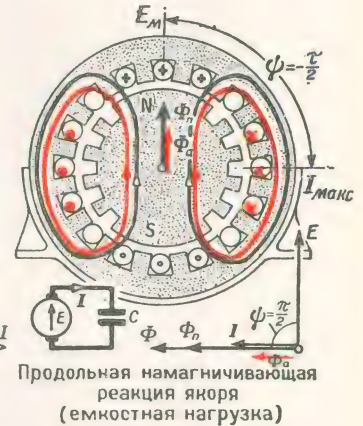
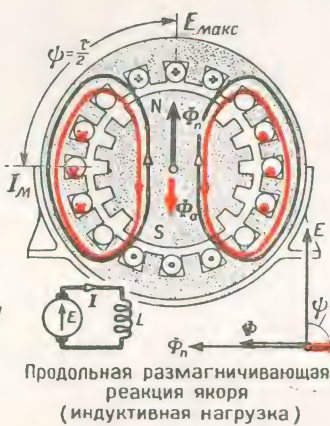
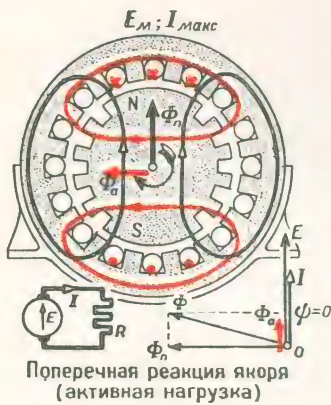
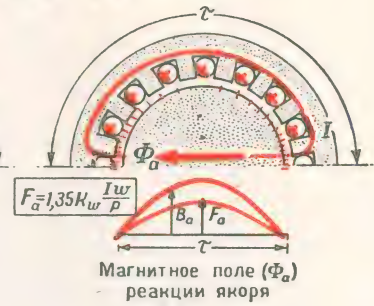
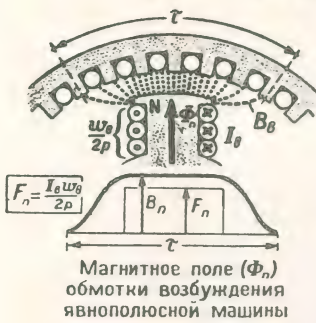
$$K_D = \frac{E}{q \cdot E_n}$$

Коэффициент распределения

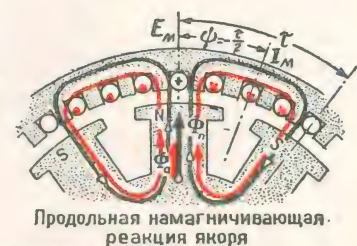
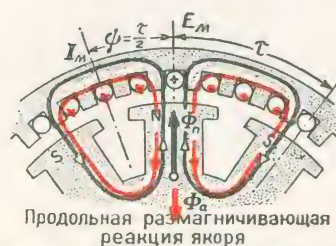
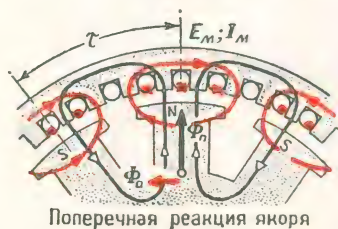


Соединение трехфазной обмотки в звезду и треугольник

РЕАКЦИЯ ЯКОРА

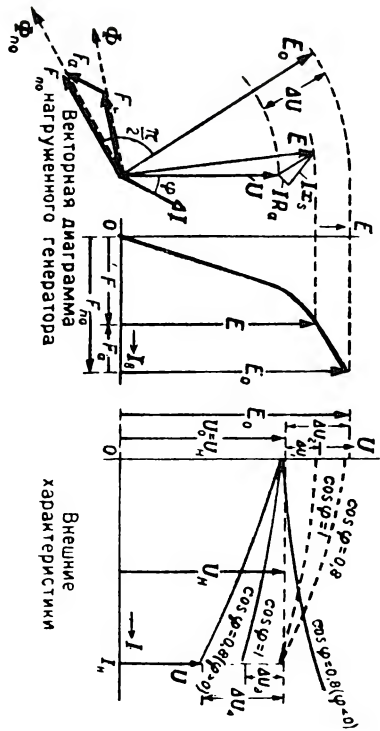
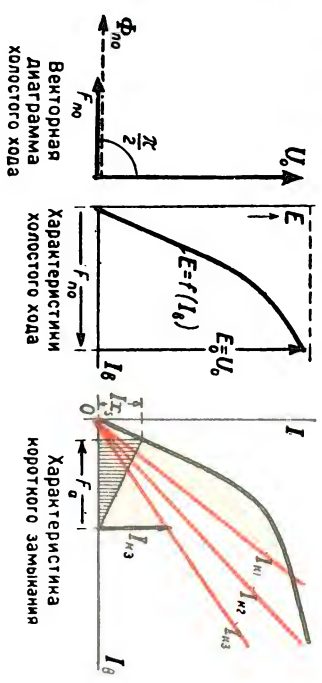
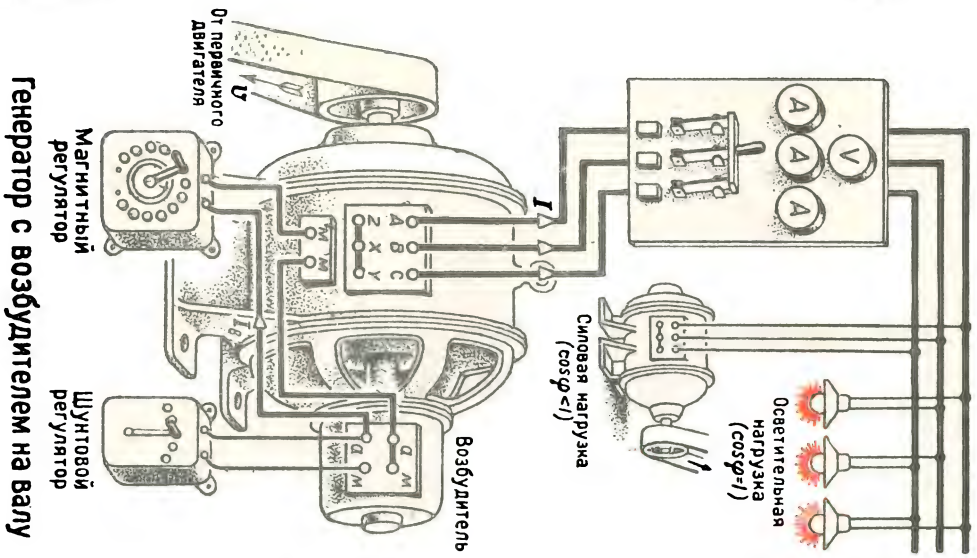


РЕАКЦИЯ ЯКОРА В НЕЯВНОПОЛЮСНОЙ МАШИНЕ



РЕАКЦИЯ ЯКОРА В ЯВНОПОЛЮСНОЙ МАШИНЕ

СИНХРОННЫЙ ГЕНЕРАТОР



$U_0 = E_0$

Напряжение генератора при холостом ходе и при нагрузке

$\Delta U = \frac{E_0 - U_0}{E_0} 100 \%$

Повышение напряжения

$U = E - \Delta U$

Понижение напряжения

$\Delta U = \frac{U_0 - U}{U_0} 100 \%$

Изменение напряжения генератора, вызываемое падением напряжения в цепи явора (IR_d ; IX_s) и реакцией явора

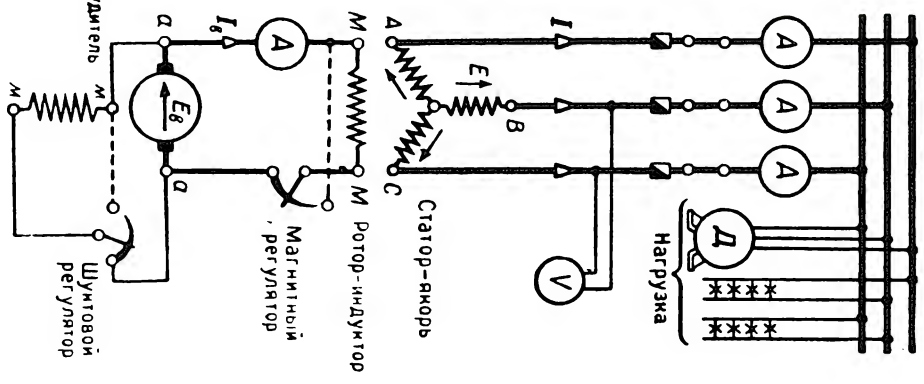
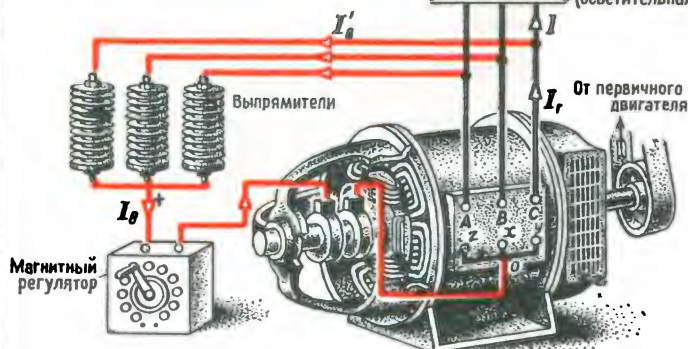
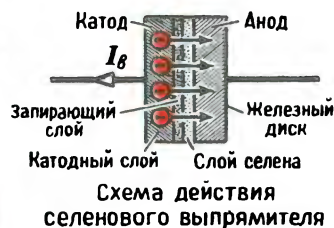
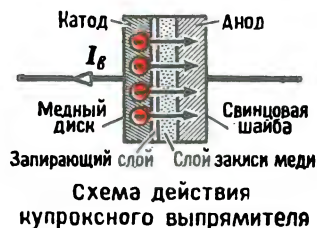
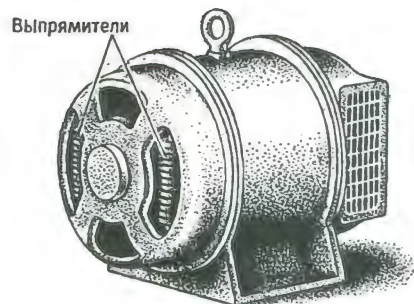


Схема генератора

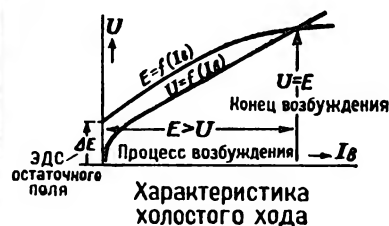
СИНХРОННЫЙ ГЕНЕРАТОР С САМОВОЗБУЖДЕНИЕМ



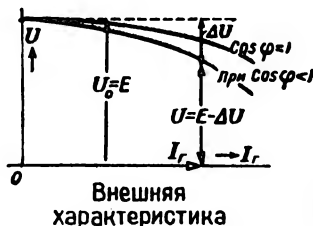
Самовозбуждающийся генератор с купроксными выпрямителями



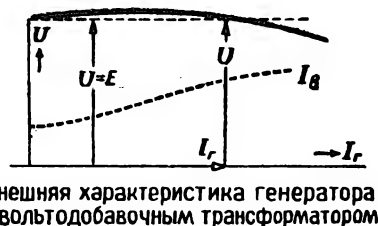
Генератор ССГ-15-6 на 15кВа 230В с селеновыми выпрямителями



Характеристика холостого хода



Внешняя характеристика



Внешняя характеристика генератора с вольтодобавочным трансформатором

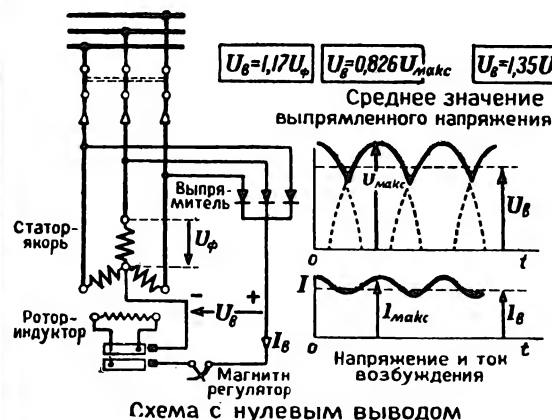
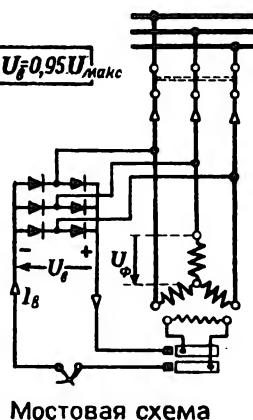
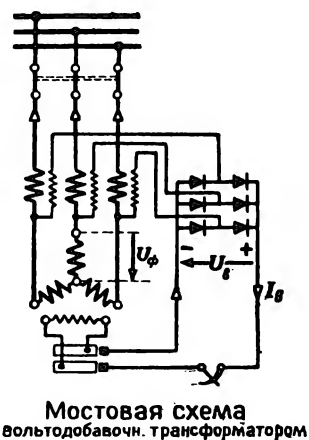


Схема с нулевым выводом



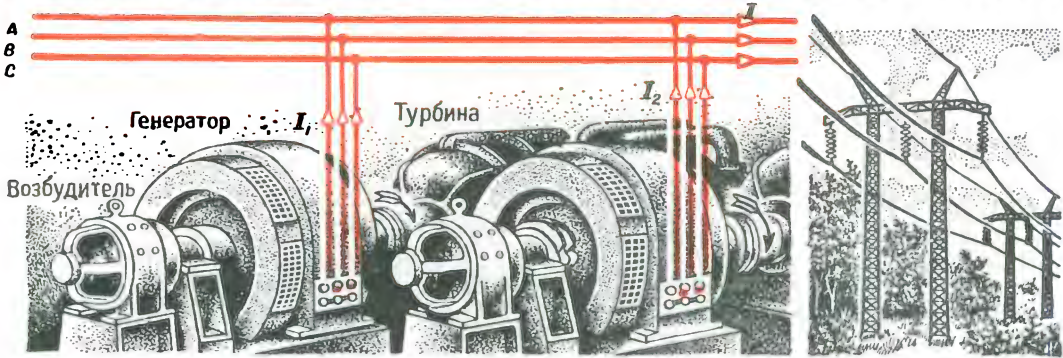
Мостовая схема



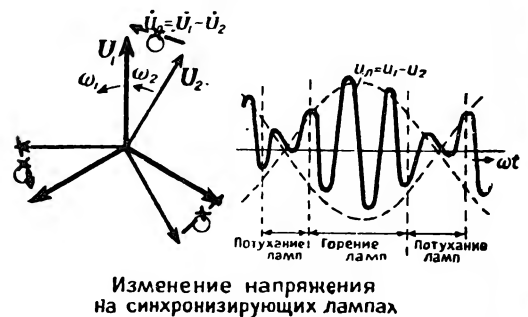
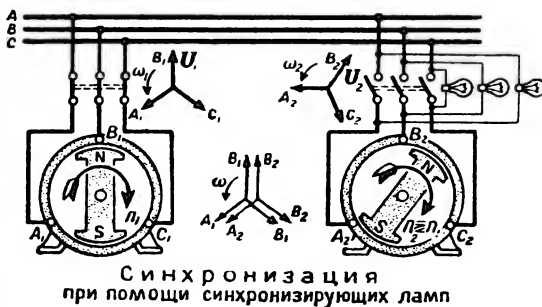
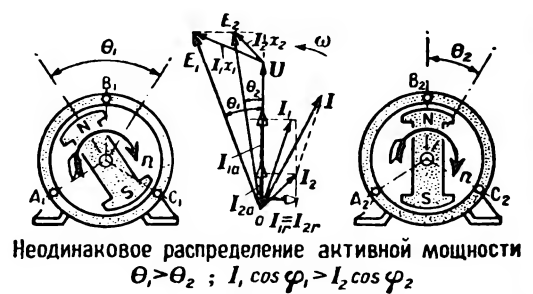
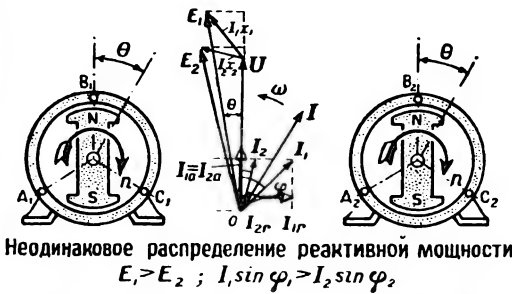
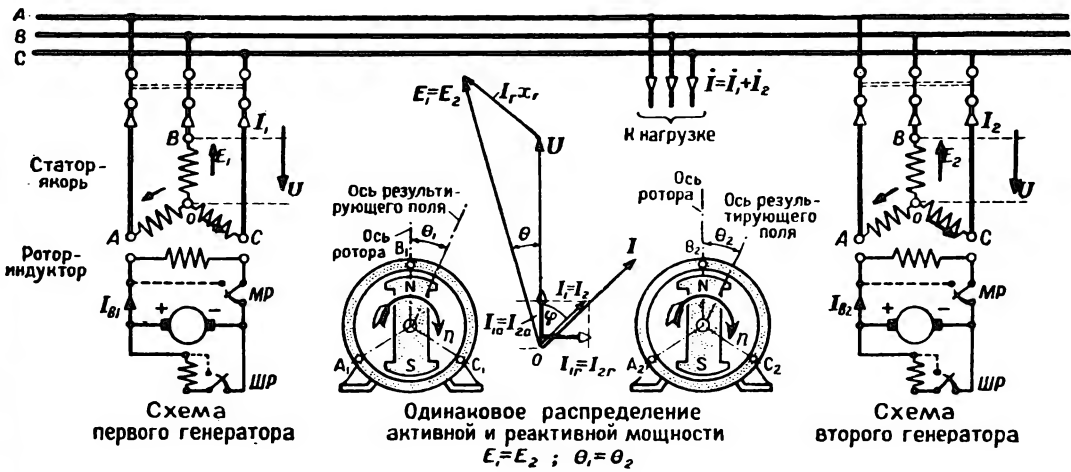
Мостовая схема с вольтодобавоч. трансформатором

СХЕМЫ ВОЗБУЖДЕНИЯ ГЕНЕРАТОРА ОТ ТВЕРДЫХ ВЫПРЯМИТЕЛЕЙ

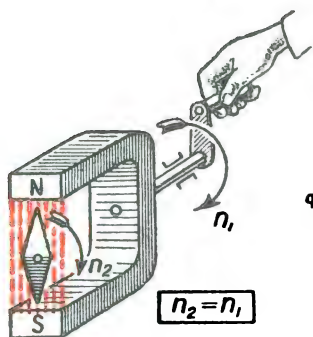
ПАРАЛЛЕЛЬНАЯ РАБОТА СИНХРОННЫХ ГЕНЕРАТОРОВ



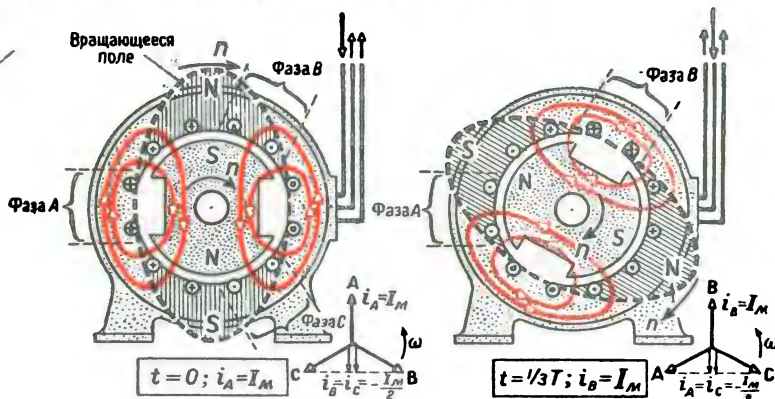
Параллельная работа двух турбогенераторов на общую нагрузку (сеть)



СИНХРОННЫЙ ДВИГАТЕЛЬ

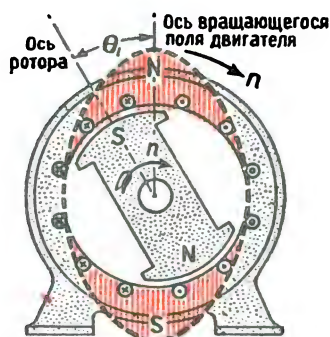


Синхронное вращение магнитной стрелки, увлекаемой полем вращающегося магнита

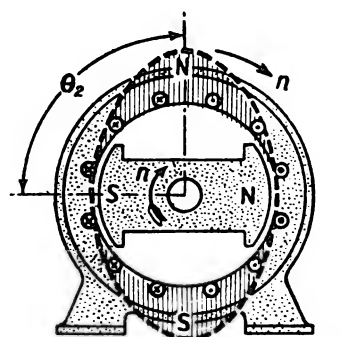
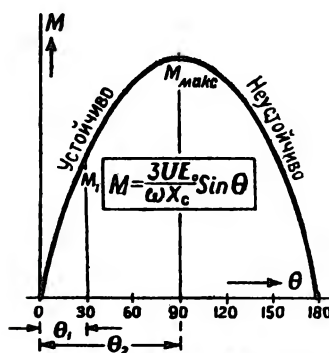


Синхронное вращение ротора, увлекаемого вращающимся полем трёхфазного статора

ПРИНЦИП ДЕЙСТВИЯ СИНХРОННОГО ДВИГАТЕЛЯ



Устойчивая работа ($\theta < \frac{\pi}{2}$)



Неустойчивая работа ($\theta \geq \frac{\pi}{2}$)

ЗАВИСИМОСТЬ МЕЖДУ ПОЛОЖЕНИЕМ РОТОРА И ВРАЩАЮЩИМ МОМЕНТОМ ДВИГАТЕЛЯ

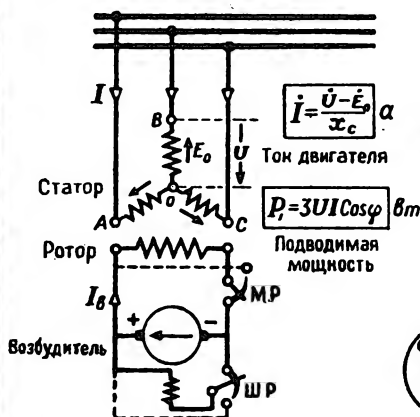
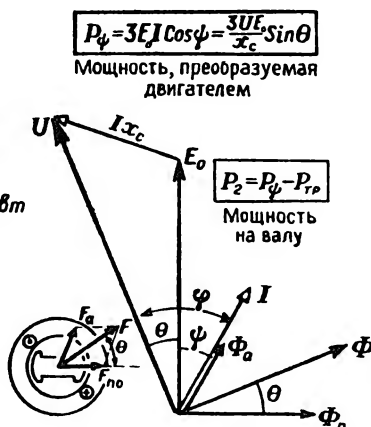
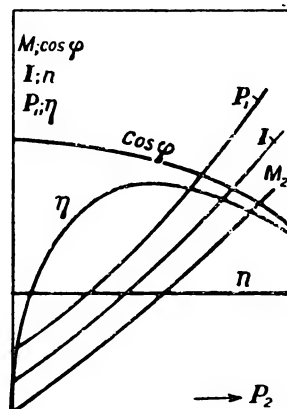


Схема соединения двигателя

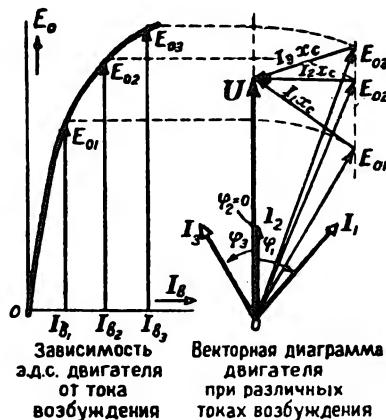
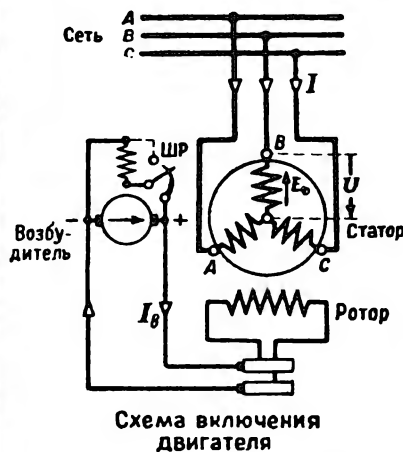


Векторная диаграмма двигателя

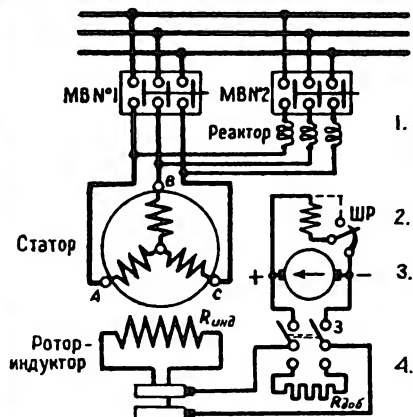
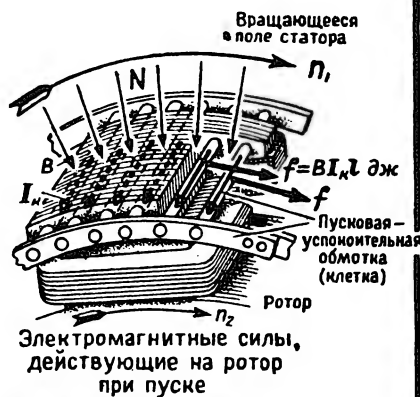
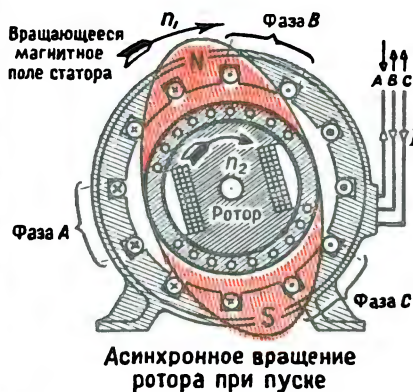


Рабочие характеристики двигателя

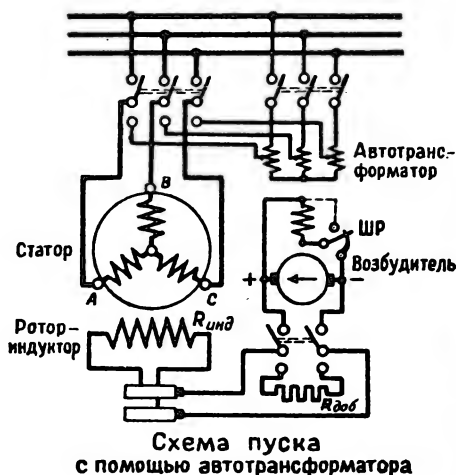
СИНХРОННЫЙ ДВИГАТЕЛЬ



ВЛИЯНИЕ ВОЗБУЖДЕНИЯ НА ТОК ДВИГАТЕЛЯ

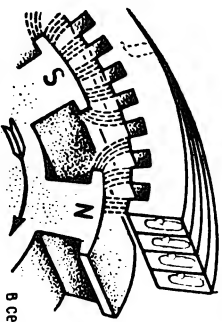


- Порядок пуска:
1. Замкнуть обмотку возбуждения на сопротивление $R_{доб} \approx (10 \div 15) R_{инд}$
 2. Замкнуть масляный выключатель №2
 3. По окончании разбега ротора (\$n_2 \approx 0,95 n_1\$) подать ток возбуждения в ротор
 4. Замкнуть масляный выключатель №1 и выключить м.в. №2



АСИНХРОННЫЙ ПУСК СИНХРОННОГО ДВИГАТЕЛЯ

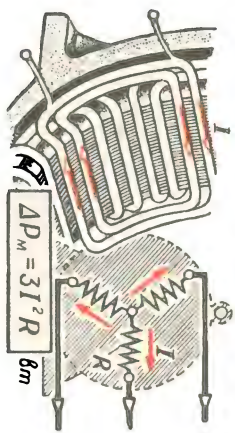
ПОТЕРИ И КПД СИНХРОННОЙ МАШИНЫ



$$\Delta P_2 = \epsilon \frac{f}{100} \left(\frac{B}{10^2} \right)^2 \frac{6m}{\text{кВт}}$$

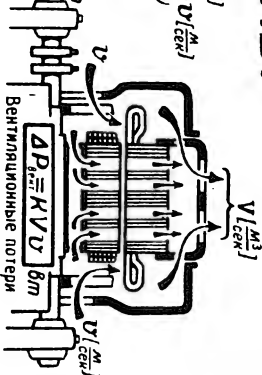
$$\Delta P_{\text{гадо}} = \gamma \left(\frac{f}{100} \frac{B}{10^2} \right)^2 \frac{6m}{\text{кВт}}$$

Потери на гистерезис и вихревые токи в сердечнике и эрочах статора



$$\Delta P_m = 3 I^2 R \frac{6m}{\text{Вт}}$$

Потери на трение в подшипниках и на трение щеток о контактные кольца



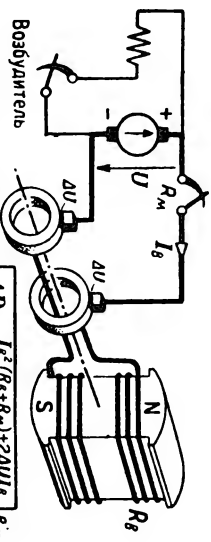
$$\Delta P_{\text{мех}} = K V \omega \frac{6m}{\text{Вт}}$$

Механические потери

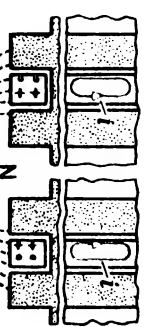
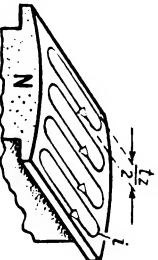
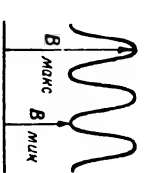
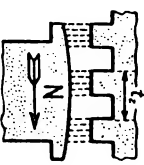
Потери в стали статора ($\Delta P_{\text{ст}}$)

Тепловые потери в обмотке статора (ΔP_m)

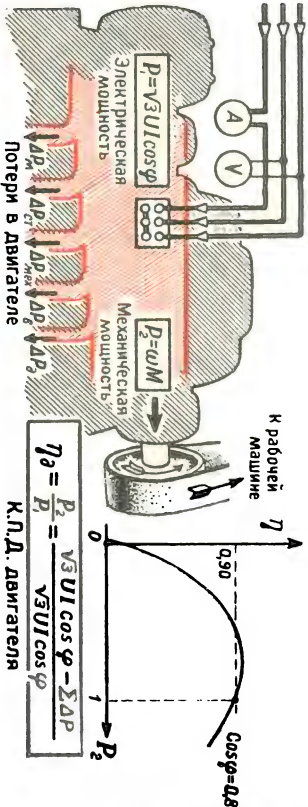
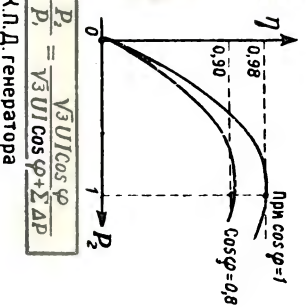
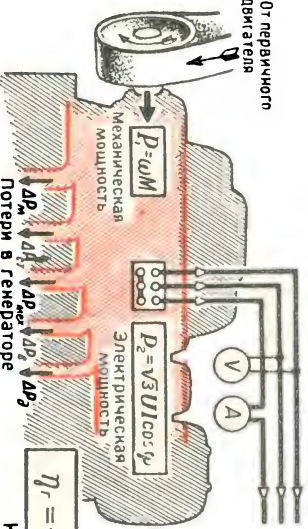
Механические потери ($\Delta P_{\text{мех}}$)



Возбудитель
 η_g - КПД возбудителя
Потери на возбуждение (ΔP_g)



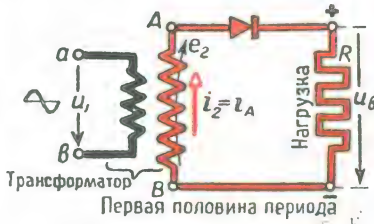
Зубовая пульсация магнитного потока ($f_z = \frac{p}{60}$)
Добавочные потери (ΔP_d)



Энергетическая диаграмма генератора

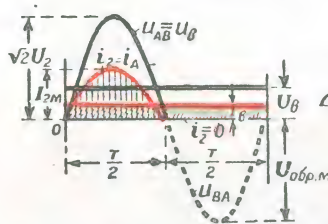
Энергетическая диаграмма двигателя

ВЫПРЯМЛЕНИЕ ПЕРЕМЕННОГО ТОКА



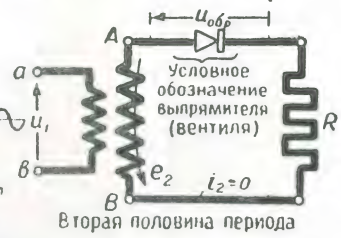
$$U_B = \frac{\sqrt{2} U_2}{\pi} = 0,45 U_2 \text{ В}$$

Среднее значение
выпрямленного
напряжения



$$U_{обр.м} = \sqrt{2} U_2 = \pi U_B \text{ В}$$

Максимальное значение
обратного напряжения
на вентиле



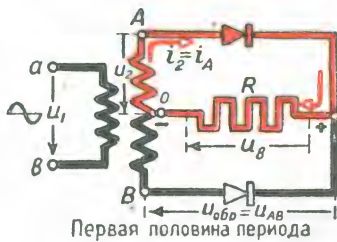
$$I_2 = \frac{\pi}{2} I_B = 1,57 I_B \text{ А}$$

Эффективное значение
вторичного тока
трансформатора

$$K_{\Phi} = \frac{I_2}{I_B} = \frac{\pi}{2}$$

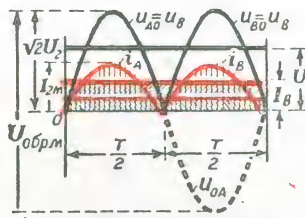
Коэффициент
формы
кривой тока

ОДНОПОЛУПЕРИОДНОЕ ВЫПРЯМЛЕНИЕ



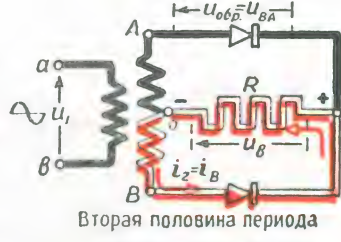
$$U_B = \frac{\sqrt{2} U_2}{\pi/2} = 0,9 U_2 = 0,45 U_{AB} \text{ В}$$

Выпрямленное напряжение



$$U_{обр.м} = \sqrt{2} \cdot 2 U_2 = \pi U_B \text{ В}$$

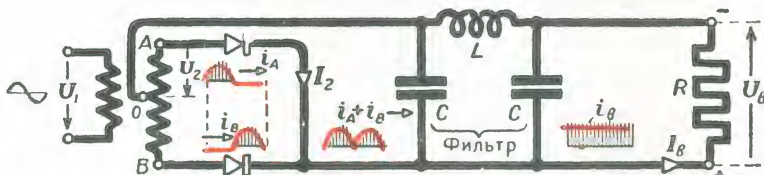
Обратное напряжение



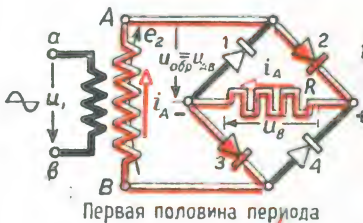
$$I_2 = \frac{\pi}{2} \cdot \frac{I_2}{2} = 0,785 I_B \text{ А}$$

Вторичный ток

ДУХПОЛУПЕРИОДНОЕ ВЫПРЯМЛЕНИЕ ПО СХЕМЕ С НУЛЕВЫМ ВЫВОДОМ (предложено в 1901 году В.Ф.Миткевичем)



ДУХПОЛУПЕРИОДНОЕ ВЫПРЯМЛЕНИЕ С ПРИМЕНЕНИЕМ ФИЛЬТРА

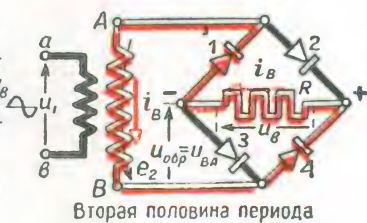
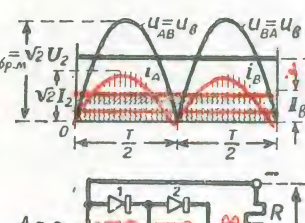


$$U_B = \frac{\sqrt{2} U_2}{\pi/2} = 0,9 U_2 \text{ В}$$

Выпрямленное
напряжение

$$U_{обр.м} = \sqrt{2} U_2 = \frac{\pi}{2} U_B \text{ В}$$

Обратное
напряжение

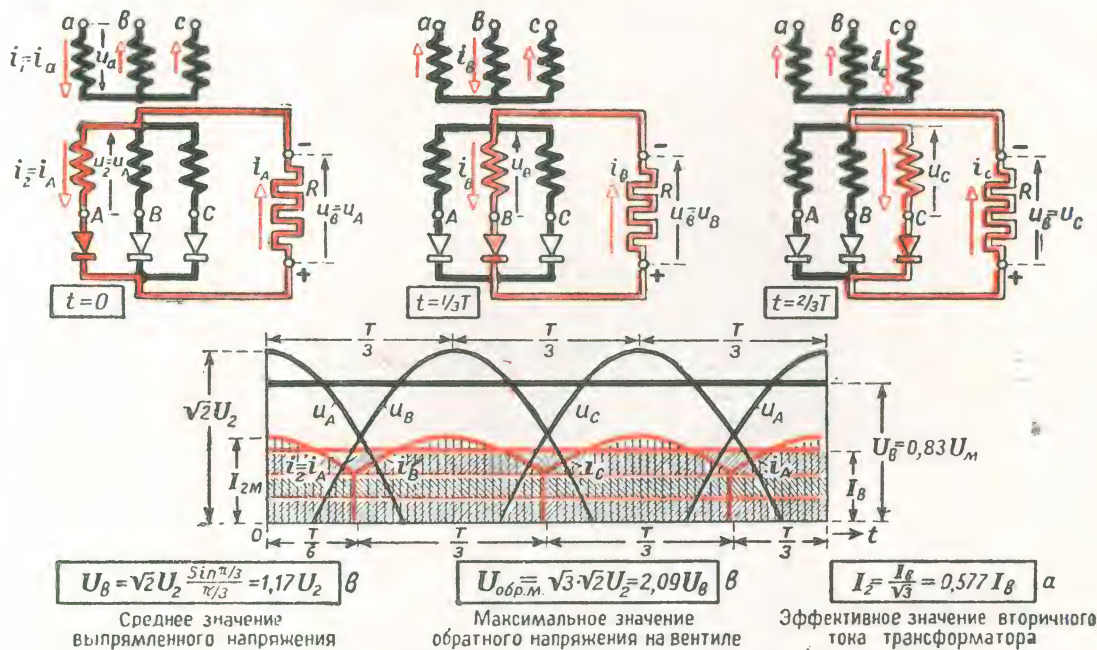


$$I_2 = \frac{\pi/2}{\sqrt{2}} I_B = 1,11 I_B \text{ А}$$

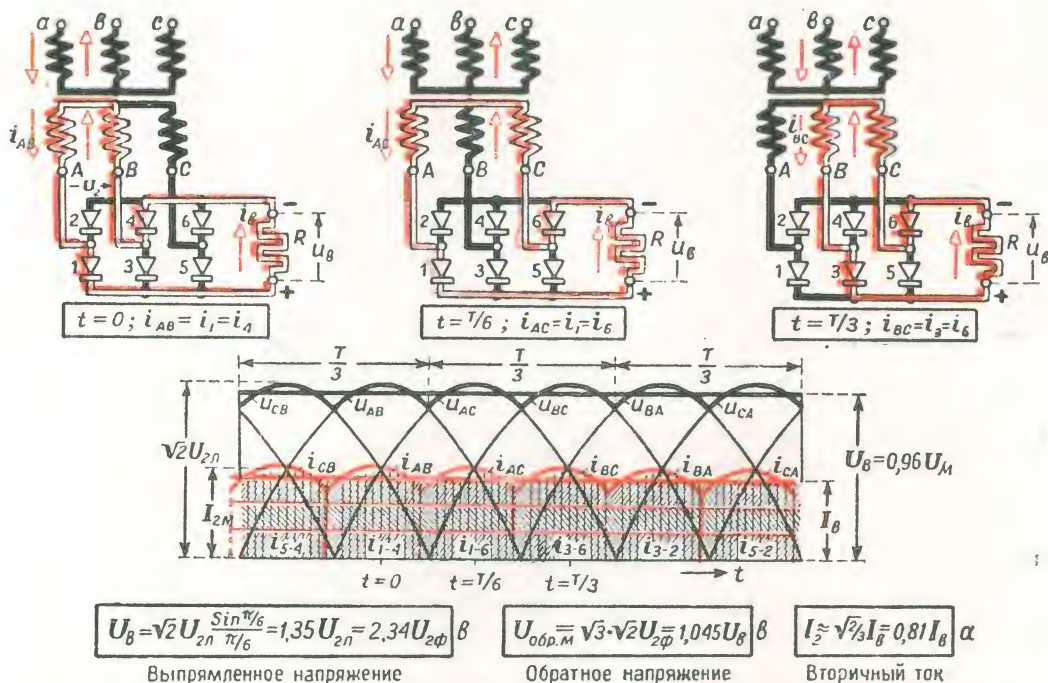
Вторичный ток

ДУХПОЛУПЕРИОДНОЕ ВЫПРЯМЛЕНИЕ ПО МОСТОВОЙ СХЕМЕ

ВЫПРЯМЛЕНИЕ ТРЕХФАЗНОГО ТОКА

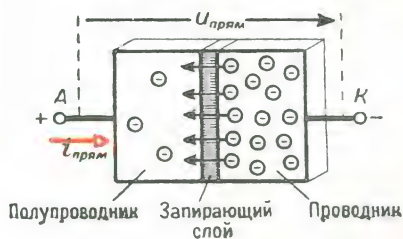


ТРЕХФАЗНАЯ СХЕМА С НУЛЕВЫМ ВЫВОДОМ (предложена в 1901 году В.Ф.Миткевичем)

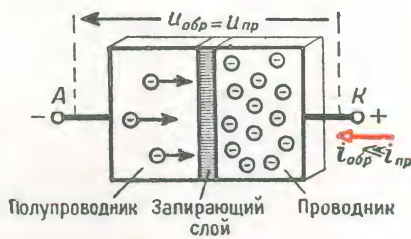


ТРЕХФАЗНАЯ МОСТОВАЯ СХЕМА (предложена в 1923 году А.Н.Ларионовым)

ПОЛУПРОВОДНИКОВЫЕ ВЫПРЯМИТЕЛИ

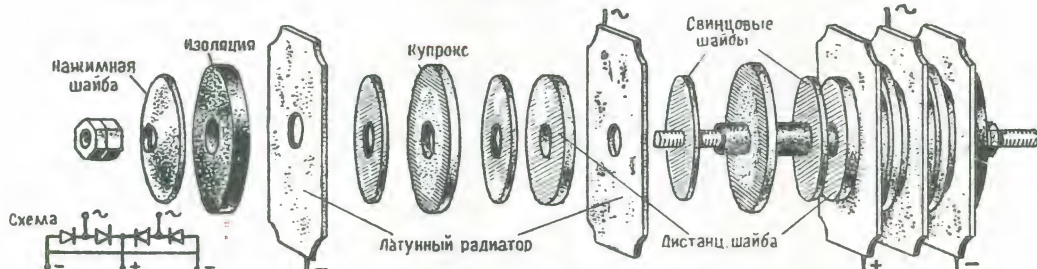
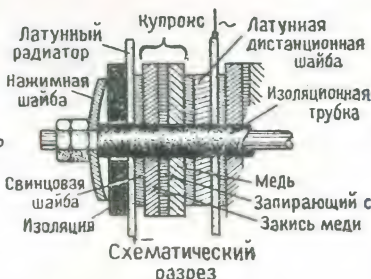


ПРЯМОЙ ТОК



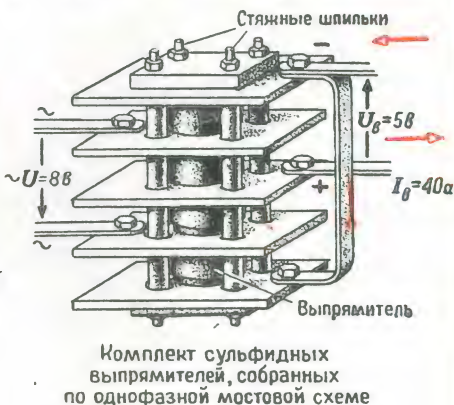
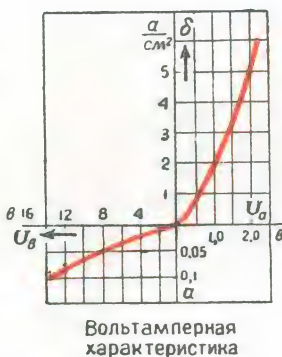
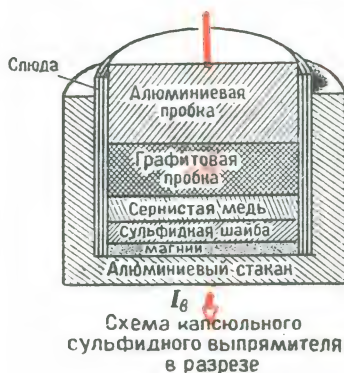
ОБРАТНЫЙ ТОК

СХЕМА ДЕЙСТВИЯ ПОЛУПРОВОДНИКОВОГО (ТВЕРДОГО) ВЫПРЯМИТЕЛЯ



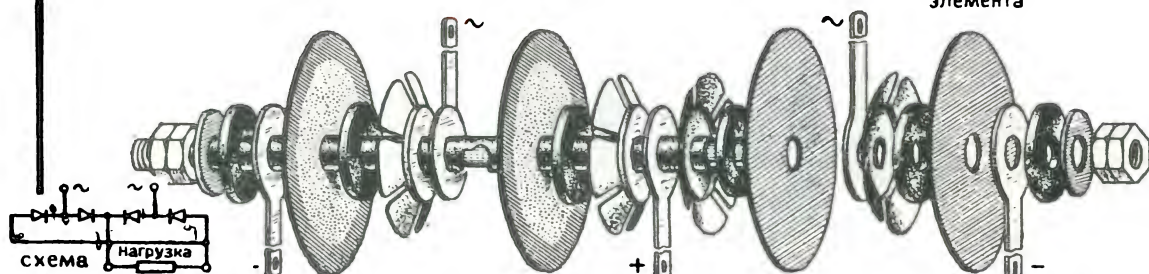
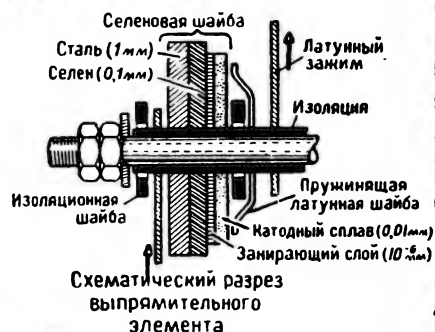
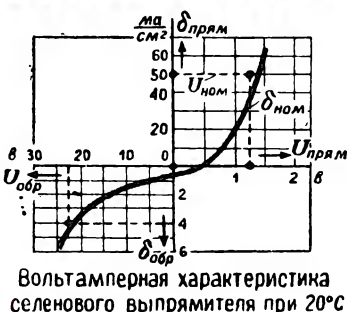
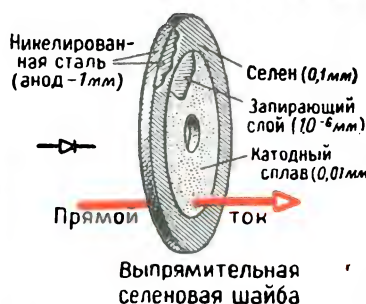
Выпрямительный стол из четырех элементов на 3 вольта, обранный по мостовой схеме

МЕДНО-ЗАКИСНЫЕ (КУПРОКСНЫЕ) ВЫПРЯМИТЕЛИ

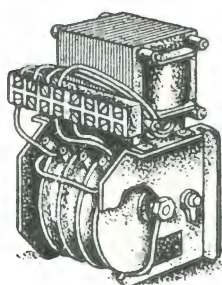


СЕРНИСТО-МЕДНЫЕ (СУЛЬФИДНЫЕ) ВЫПРЯМИТЕЛИ (впервые разработан Б.В.Курчаковым в 1940 г.)

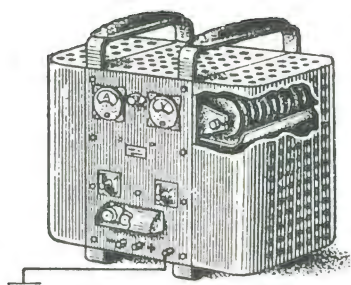
СЕЛЕНОВЫЕ ВЫПРЯМИТЕЛИ



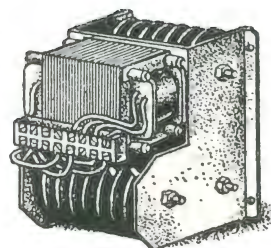
ВЫПРЯМИТЕЛЬНЫЙ СТОЛБ ИЗ ЧЕТЫРЕХ СЕЛЕНОВЫХ ЭЛЕМЕНТОВ
на 12 в, 3 а, собранный по мостовой схеме



Выпрямитель типа СВ-12-3
(12 в, 3 а)

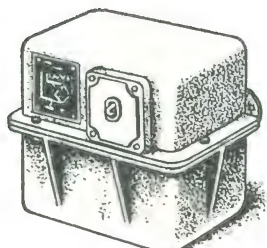


Выпрямитель типа ВСА-4
на 120, 240 в, 2 а

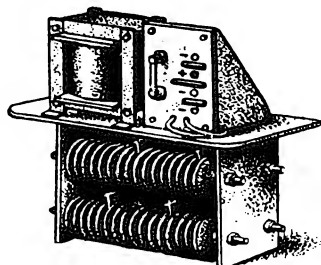


Выпрямитель типа СВ-24-9
(24 в, 9 а)

СЕЛЕНОВЫЕ ВЫПРЯМИТЕЛИ С ВОЗДУШНЫМ ОХЛАЖДЕНИЕМ



Общий вид

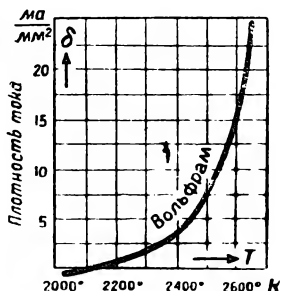


Выпрямитель без бака

СЕЛЕНОВЫЙ ВЫПРЯМИТЕЛЬ С МАСЛЯНЫМ ОХЛАЖДЕНИЕМ
типа СВ-2 (110 в, 2 а)

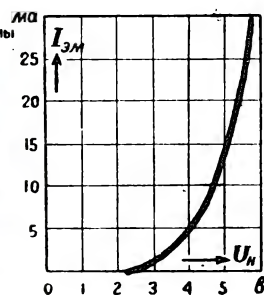
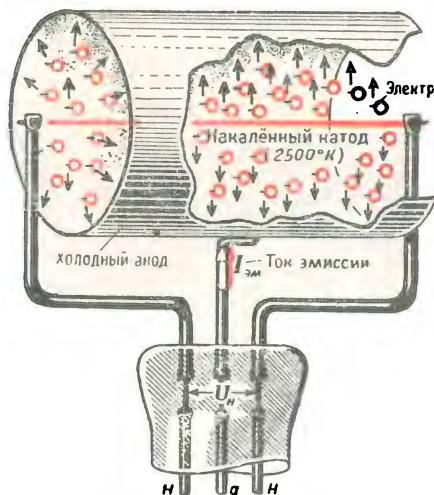


КАТОДЫ ЭЛЕКТРОННЫХ ЛАМП



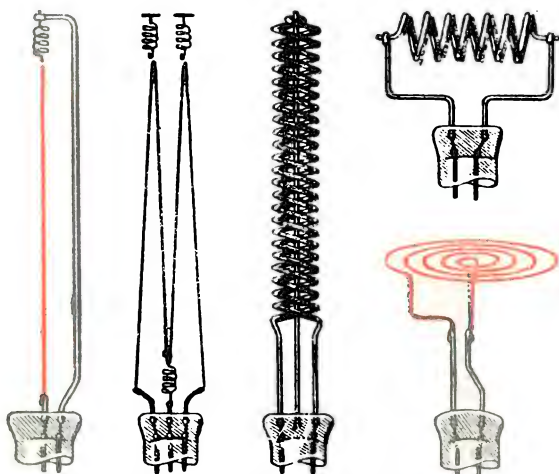
$$\delta_{эм} = AT^2 e^{\frac{e\phi}{kT}} \quad \frac{\text{мА}}{\text{мм}^2}$$

Зависимость удельной эмиссии катода от абсолютной температуры

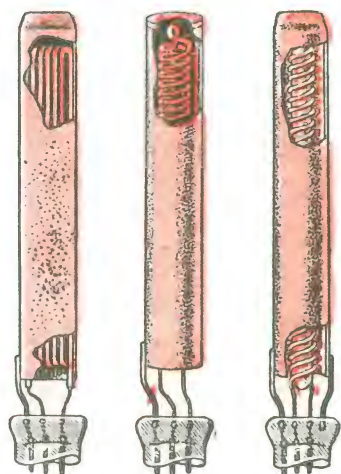


Эмиссионная характеристика катода
(зависимость тока эмиссии от напряжения накала)

ТЕРМОЭЛЕКТРОННАЯ ЭМИССИЯ КАТОДА



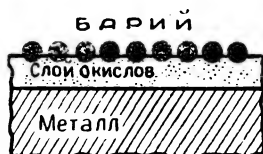
КАТОДЫ ПРЯМОГО НАКАЛА



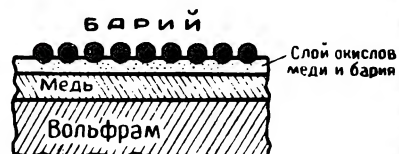
ПОДОГРЕВНЫЕ КАТОДЫ
(впервые предложены академиком А.А. Чернышевым в 1918 г.)



торированный



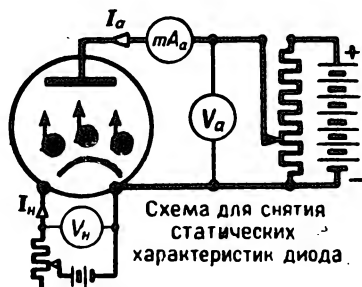
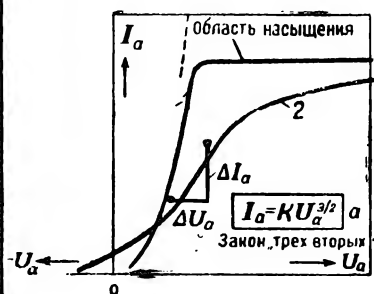
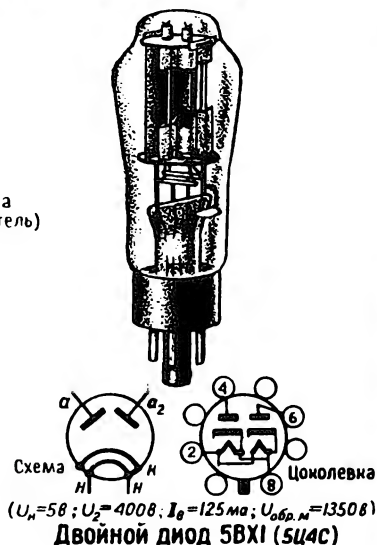
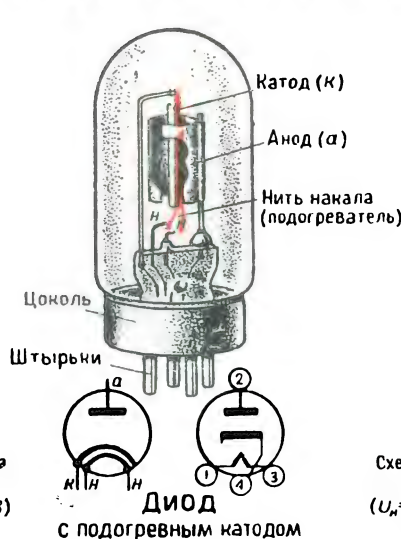
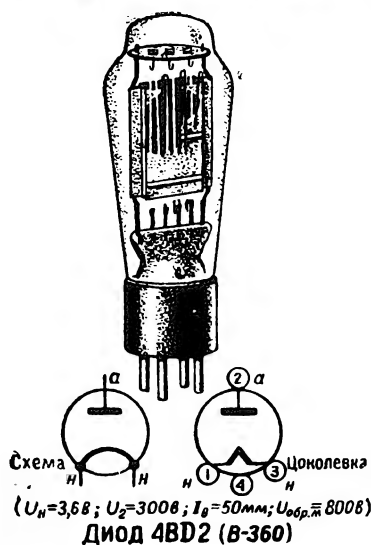
оксидный



бариевый

АКТИВИРОВАННЫЕ КАТОДЫ (показано схематически)

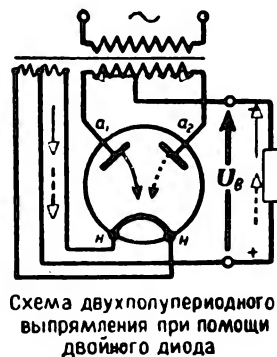
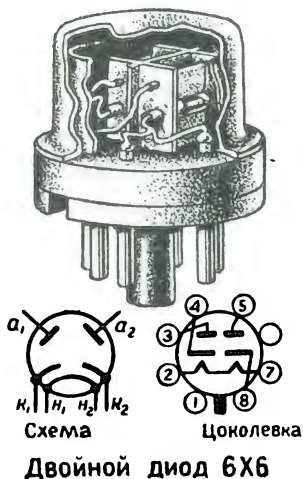
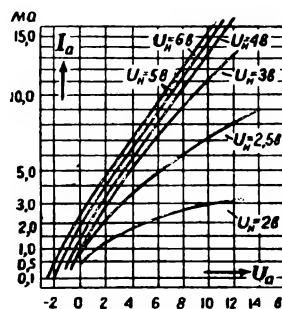
ДВУХЭЛЕКТРОДНАЯ ЛАМПА (ДИОД)



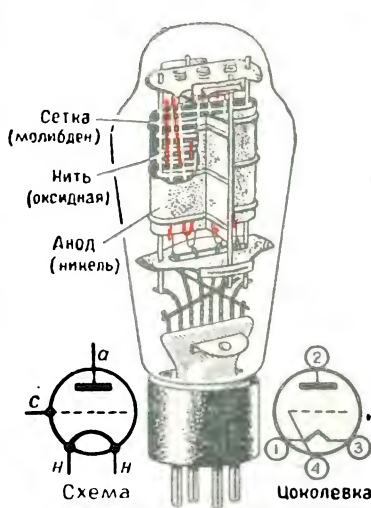
$$S = \frac{\Delta I_a}{\Delta U_a} \frac{мА}{В} \quad R = \frac{\Delta U_a}{\Delta I_a} \frac{ОМ}{мА}$$

Крутизна характеристики Внутреннее сопротивление

ПАРАМЕТРЫ ДИОДА

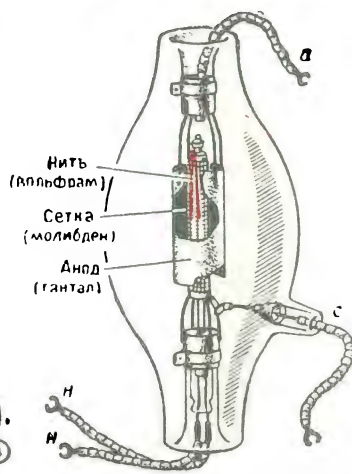


ТРЕХЭЛЕКТРОДНАЯ ЛАМПА (ТРИОД)



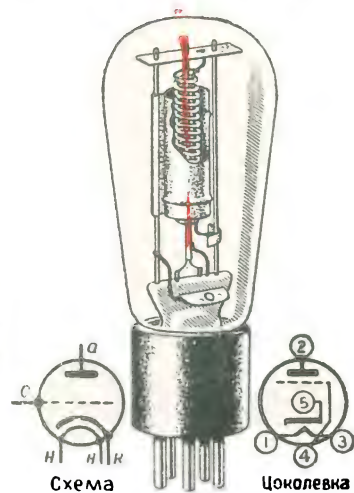
$U_n = 48; U_a = 2508; I_a = 57 \text{ ма}; U_c = -37,58$
 $S = 3,2; \mu = 4; R_i = 1200 \text{ ом}; R_f = 3000 \text{ ом}$

ТРИОД 4C4 (4D-186)
прямого накала



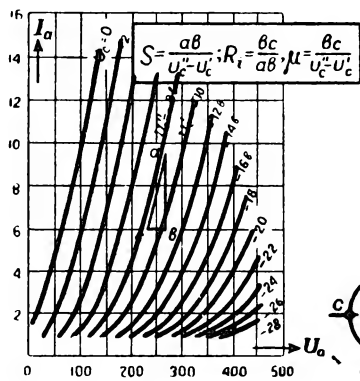
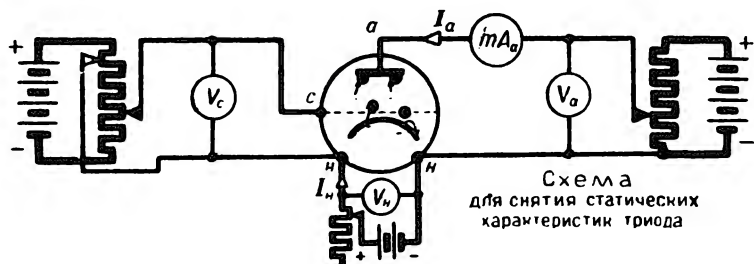
$P = 3 \text{ вт}; U_n = 178; I_n = 18 \text{ а}; U_a = 10 \times 8$
 $I_a = 1,6 \text{ а}; I_{a0} = 0,1 \text{ а}; S = 5,2; \mu = 200$

ГЕНЕРАТОРНЫЙ ТРИОД
6C7 (ГК-3000)

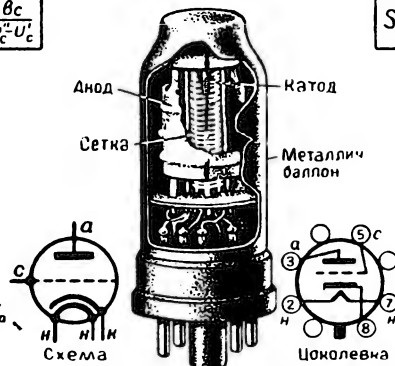


$U_n = 48; U_a = 2408; I_a = 6 \text{ ма}; U_c = 38$
 $S = 1,75 \frac{\text{ма}}{\text{в}}; \mu = 32; R_i = 19000 \text{ ом}$

ТРИОД 4C5 (C0-118)
подогревный

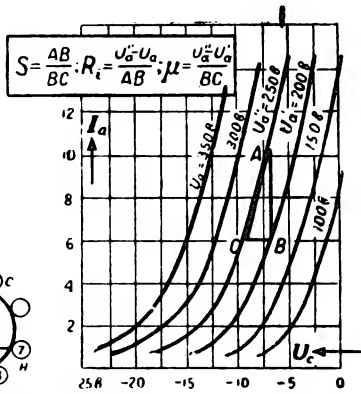


Статические
анодные характеристики
триода 6C5B



$U_n = 6,38; U_a = 2508; U_c = -88; I_a = 8 \text{ ма}$
 $S = 2,2; \mu = 20; R_i = 9000 \text{ ом}$

Триод 6C5B



Статические
сетчатые характеристики
триода 6C5B

$S = \left(\frac{\Delta I_a}{\Delta U_c} \right)_{U_a = \text{const}} \frac{\text{ма}}{\text{в}}$

Крутизна
характеристики

$R_i = \left(\frac{\Delta U_a}{\Delta I_a} \right)_{U_c = \text{const}} \text{ ом}$

Внутреннее сопротивление
изменению тока

$\mu = \left(- \frac{\Delta U_a}{\Delta U_c} \right)_{I_a = \text{const}}$

Коэффициент
усиления

$D = \frac{1}{\mu}$

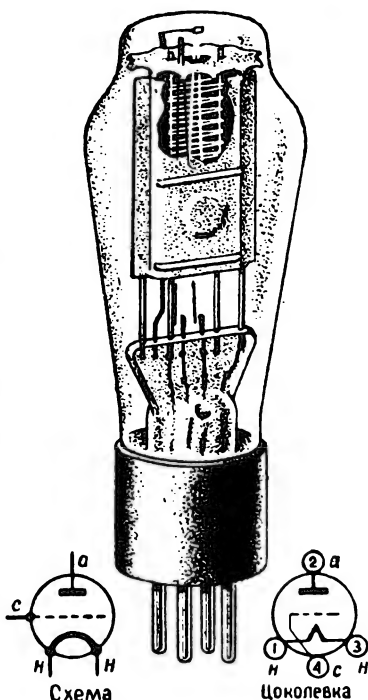
Проницаемость
лампы

$R_f = 1000 \frac{\mu}{S} \text{ ом}$

Внутреннее
уравнение лампы

Статические параметры трехэлектродной лампы

ЛАМПОВЫЙ УСИЛИТЕЛЬ



$U_H=28; U_G=808; U_F=18; I_D=6 \text{ ма};$
 $R_i=7500 \text{ ом}; S=1,6; \mu=12; U_{dm}=1208$

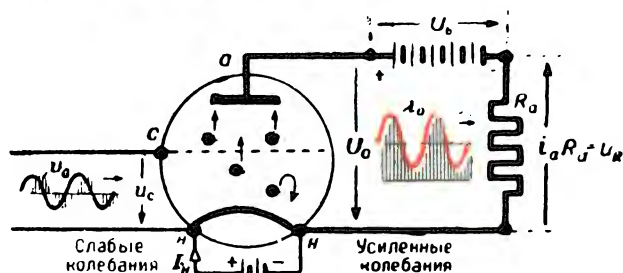
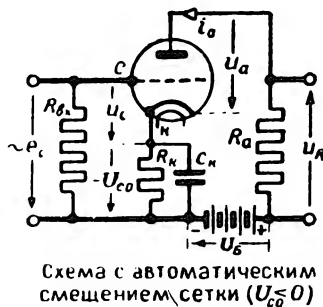
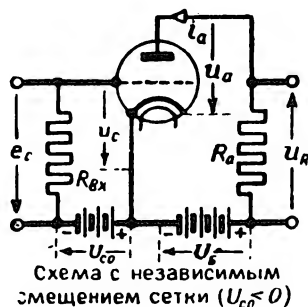
Триод 2С1 (УБ-152)

$$S_{дин} = S \frac{R_i}{R_i + R_a} \frac{\text{ма}}{\text{в}}$$

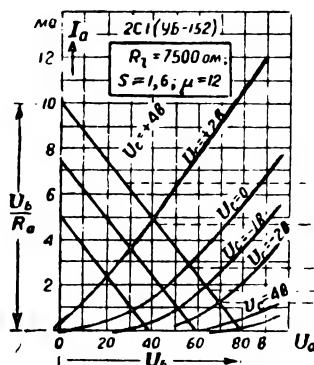
Крутизна динамической характеристики

$$\mu_{дин} = \mu \frac{R_a}{R_i + R_a}$$

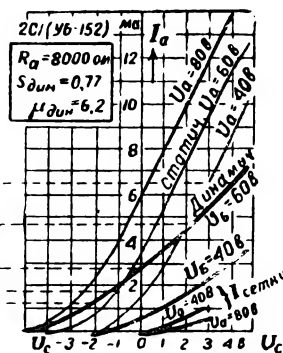
Динамический коэффициент усиления



Работа трехэлектродной лампы в качестве простейшего усилителя



Статические анодные характеристики



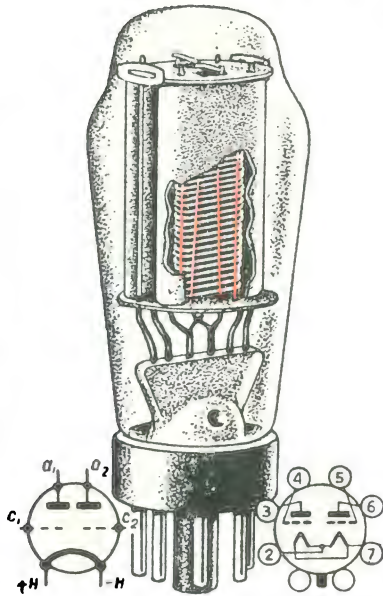
Статические анодно-сеточные характеристики

ПОСТРОЕНИЕ ДИНАМИЧЕСКОЙ АНОДНО-СЕТОЧНОЙ ХАРАКТЕРИСТИКИ ТРИОДА 2С1 (УБ-152)



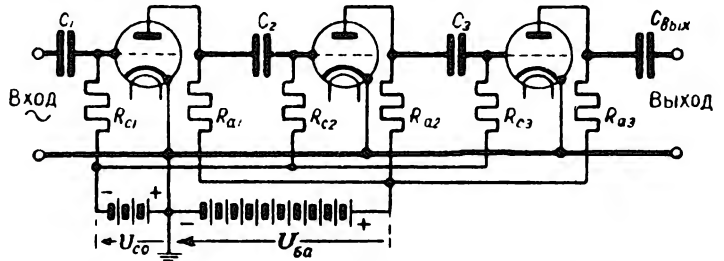
Построение кривой анодного тока по динамической характеристике ($U_{c0}=0$)

МНОГОКАСКАДНЫЙ УСИЛИТЕЛЬ

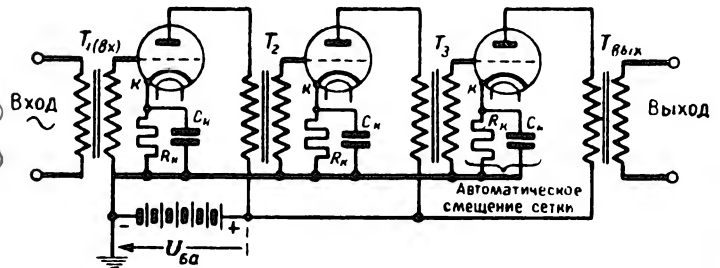


$U_n=28$; $U_a=120$; $U_c=0$; $I_a=2,6-2$ ма
 $R_1=15000$ ом; $S=2$; $\mu=30$; $U_{bн} 120$ В

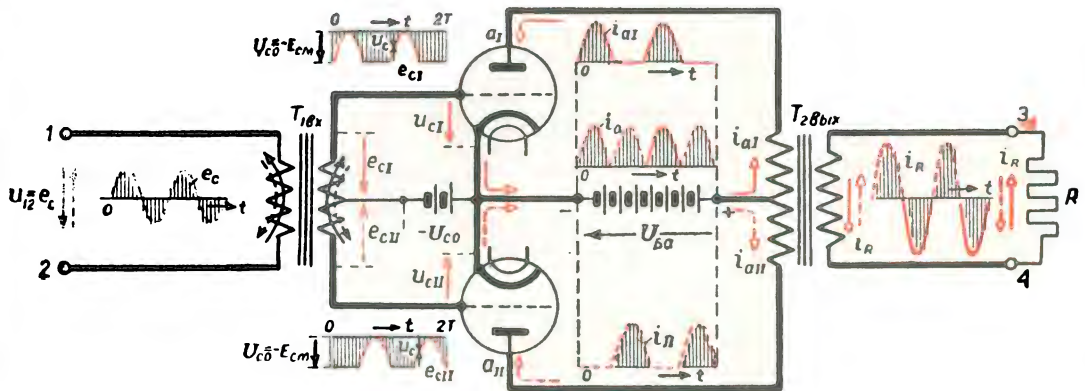
Двойной триод 2N1 (6X4)



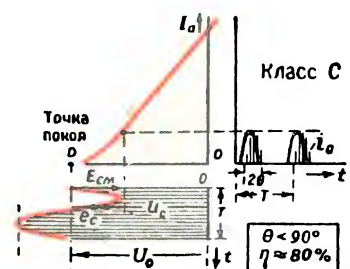
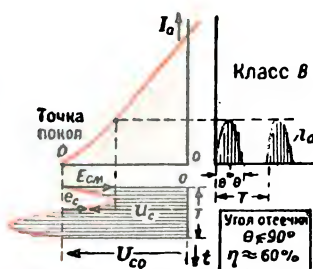
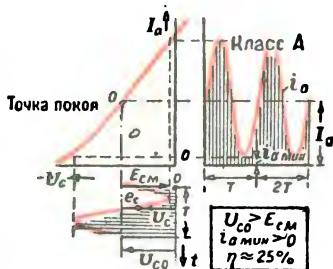
Трехкаскадный усилитель на сопротивлениях



Трехкаскадный усилитель на трансформаторах

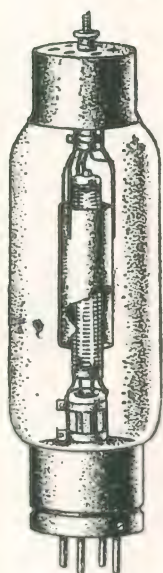


Двухтактная схема усиления (класс В)



Классы усиления

ЛАМПОВЫЙ ГЕНЕРАТОР



$U_n=170$; $I_n=8,5a$; $U_c=30000$; $I_{зап}=I_a$
 $P=5000m$; $\Delta P_c=5000m$; $\mu=100$; $S=4 \frac{mm^2}{g}$

Генераторный триод
ГС (ГД400)

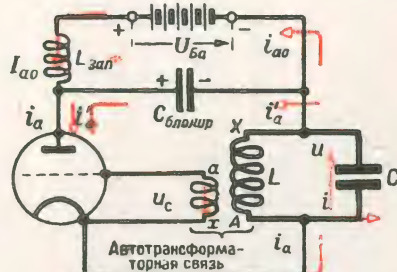
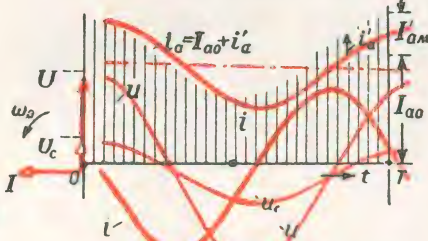
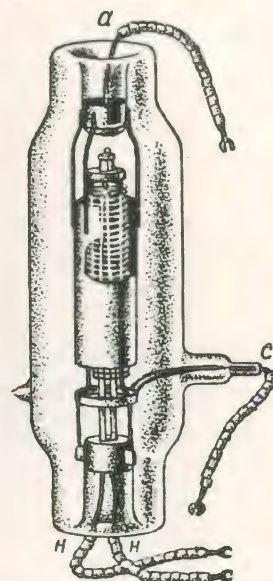


Схема генератора
с последовательным питанием



Кривые напряжений и токов



$U_n=170$; $I_n=8,5a$; $U_c=30000$; $I_{зап}=0,75a$
 $P=5000m$; $\Delta P_c=5000m$; $\mu=95$; $S=3,5 \frac{mm^2}{g}$; $R_i=27000m$

Генераторный триод
ГС (БК-500)

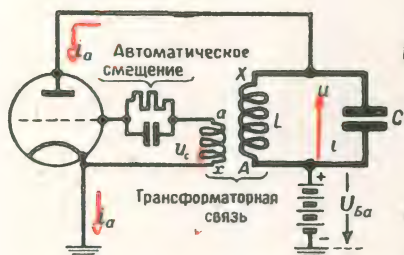
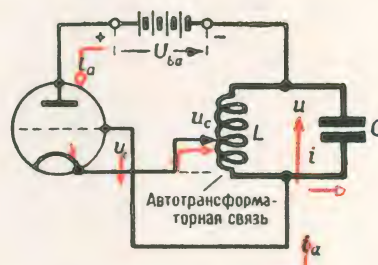


Схема генератора
с последовательным питанием
и заземлением



Импульсная подзарядка
конденсатора
в такт колебаниям
контура



Трехточечная схема
с последовательным питанием

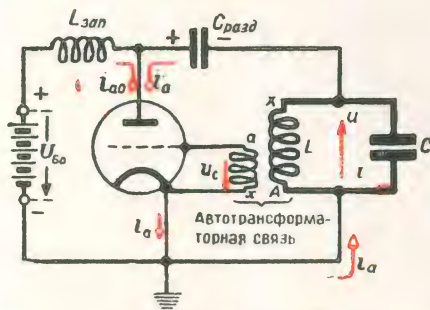
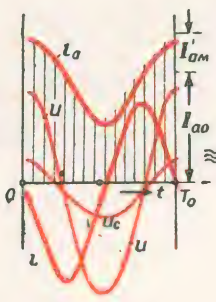
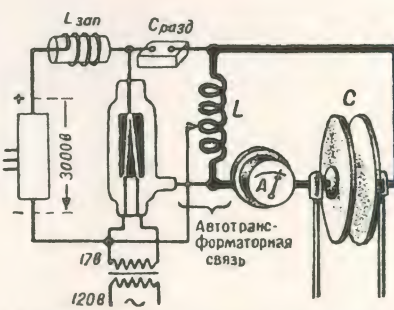


Схема генератора
с параллельным питанием

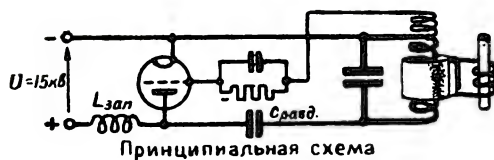
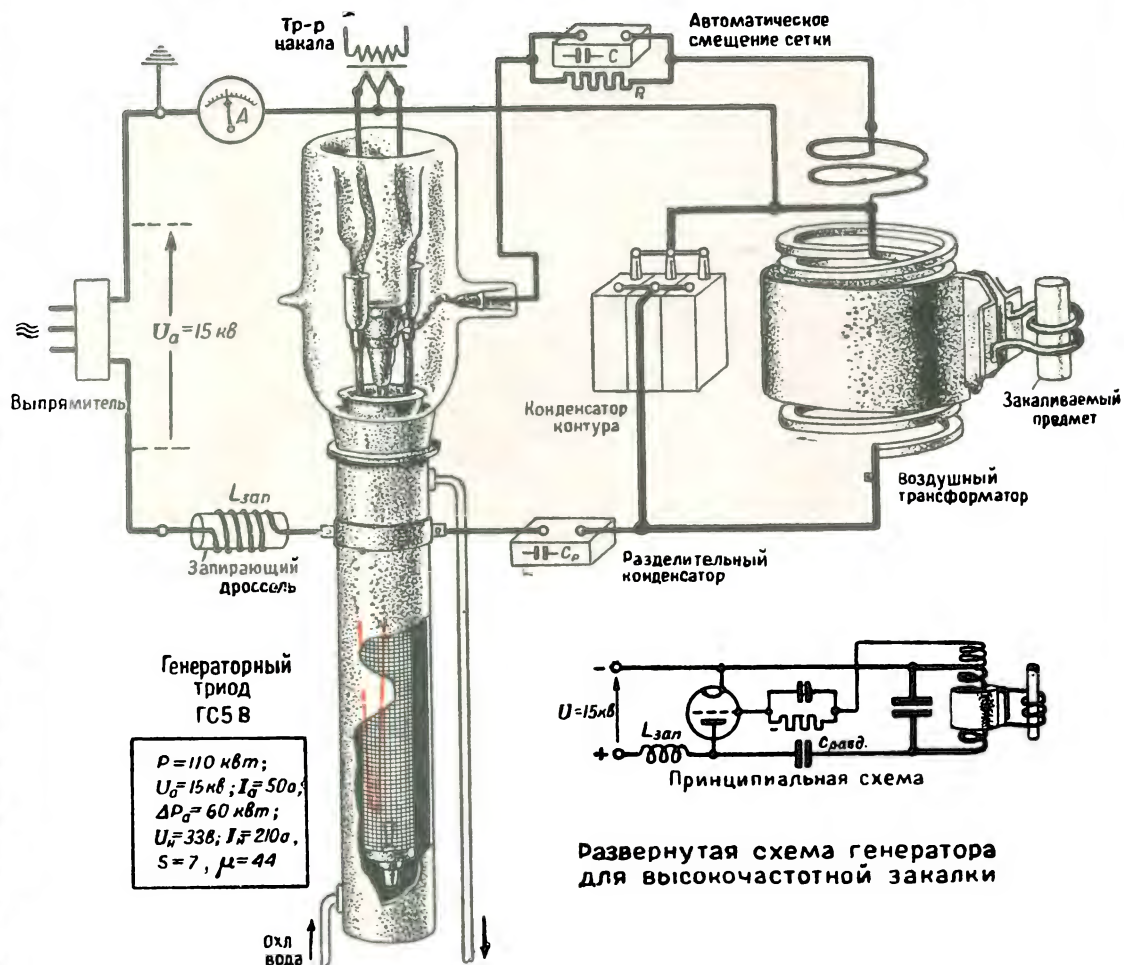


Кривые

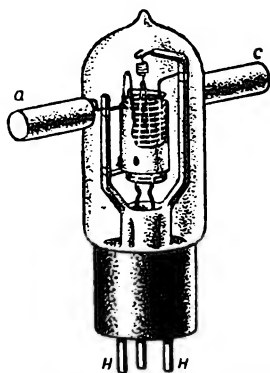


Трехточечная схема генератора
с параллельным питанием
(демонстрационная установка)

ГЕНЕРАТОР ВЫСОКОЙ ЧАСТОТЫ



Развернутая схема генератора для высокочастотной заделки



$U_n = 7 \text{ в}; U_a = 700 \text{ в}; U_c = -60 \text{ в}; I_a = 100 \text{ ма}$
 $P = 10 \text{ вт}, P_{наг} = 35 \text{ вт}, I_{наг} = 85 \text{ мА}, \lambda_{мин} = 2,5 \text{ м}$

Генераторный триод ГС2 (ГУ-4) для ультракоротких волн (2-10 м)

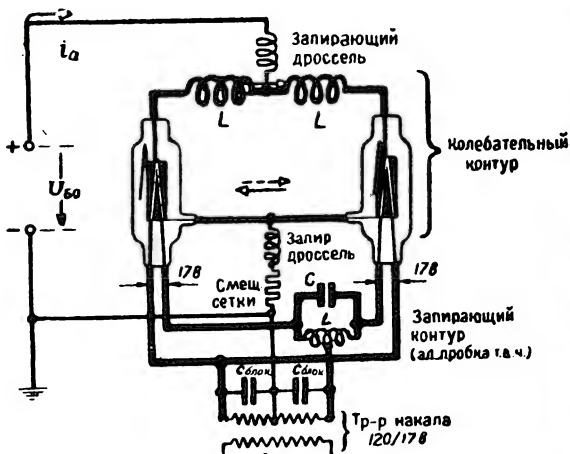
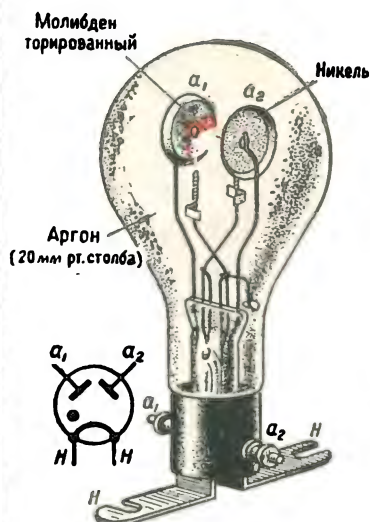


Схема двухтактного генератора на 1 кВ, 50 мГц (6 м) (демонстрационная установка)

ГАЗОТРОН



$U_n = 2,58; I_n = 11a; I_g 6a$
 $\Delta U = 148; U_{об} = 1508; T_{разогр} = 0,5 мин$

Газотрон ВГ-4
(тунгар)

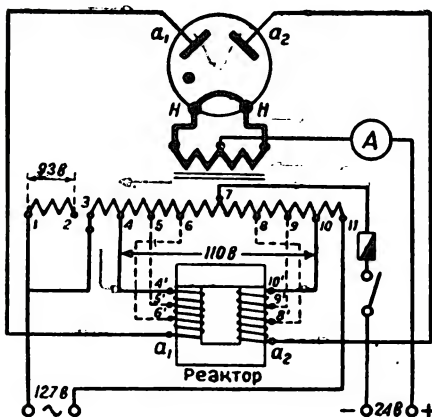
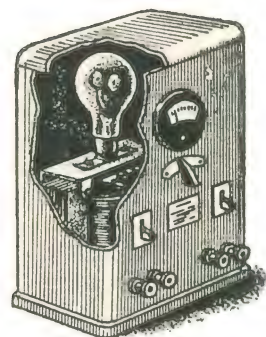
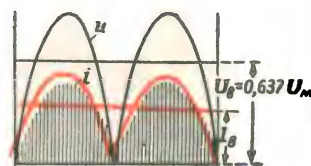


Схема двухполупериодного выпрямления
с выводом нуля

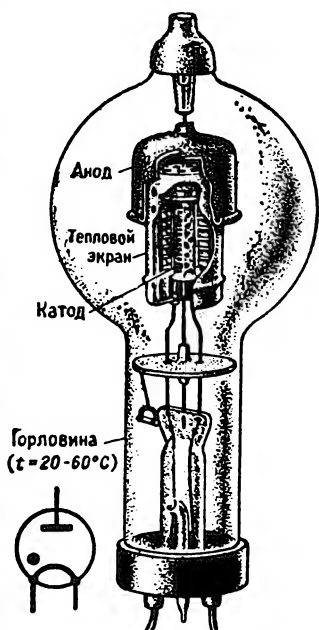
Выпрямитель типа ВГ-1-6 на 6-12-24 в, 6 а



Общий вид



Кривые выпрямленного
напряжения и тока



$U_n = 58; I_n = 22a; I_g = 3,5a$
 $\Delta U = 168; U_{об} = 10 кВ; T_{разогр} = 5 мин$

Газотрон ВГ-7
(закрытой конструкции)

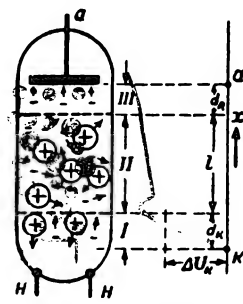
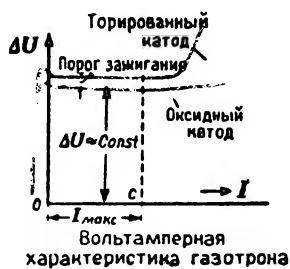
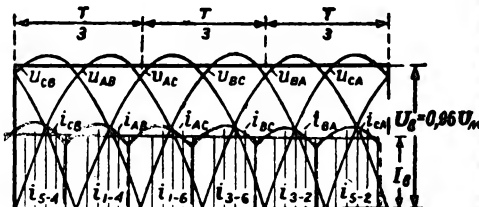
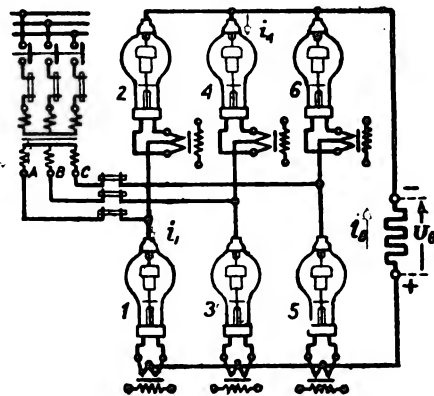


Схема физического
процесса в газотроне

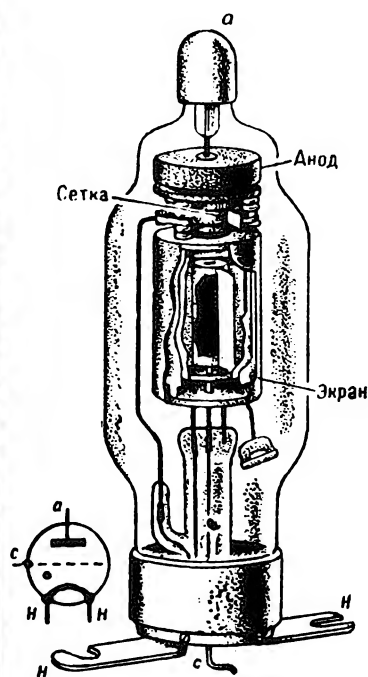


Вольтамперная
характеристика газотрона



Выпрямление трехфазного тока
на газотронах по мостовой схеме

ТИРАТРОН



$U_H = 58$; $I_H = 19a$; $\Delta U = 256$; $I_{a0} = 5a$;
 $I_{a \text{ макс}} = 15a$; $U_{обр} = 2000$ в; $U_c = -156$

Тиратрон ВТ-2
(ТГ-15/2000)

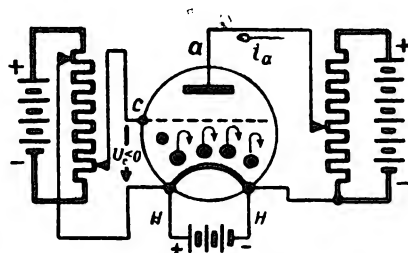
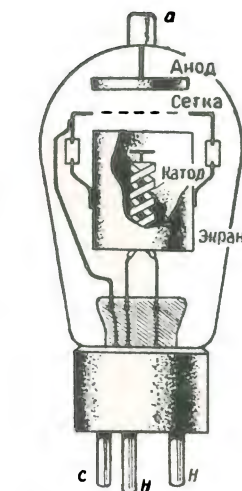
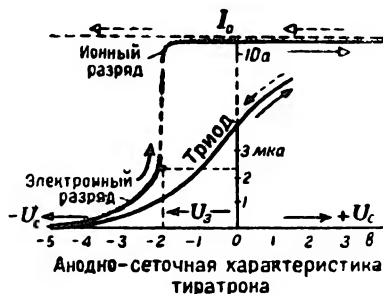
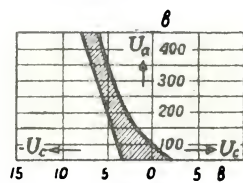


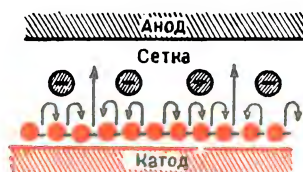
Схема для снятия
характеристики тиратрона



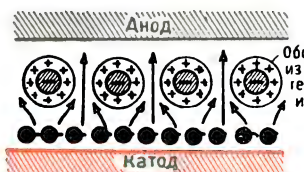
Схематическое устройство
тиратрона



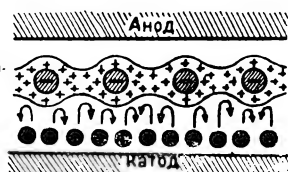
Пусковая характеристика
(область) тиратрона



Электронный разряд
(сетка регулирует ток)

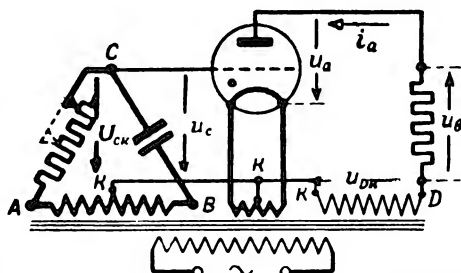


Ионный разряд
(заряд сетки скомпенсирован)

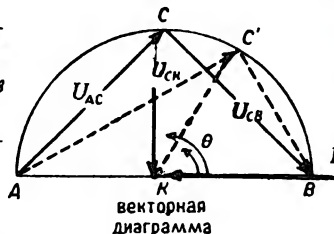


Прекращение разряда
(сетка „запирает“ разряд)

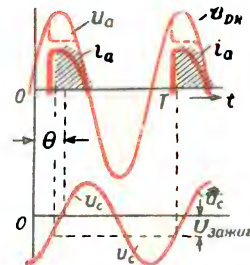
Схема действия сетки в тиратроне



Мостовая схема фазового управления
выпрямленным током i_a в тиратроне

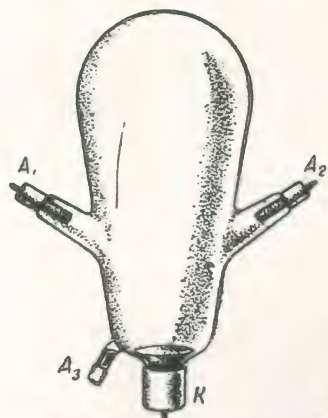


векторная
диаграмма



Зависимость
анодного тока I_a от фазы θ
сеточного напряжения

ОДНОФАЗНЫЙ РТУТНЫЙ ВЫПРЯМИТЕЛЬ



Стеклянный выпрямитель 2В-12

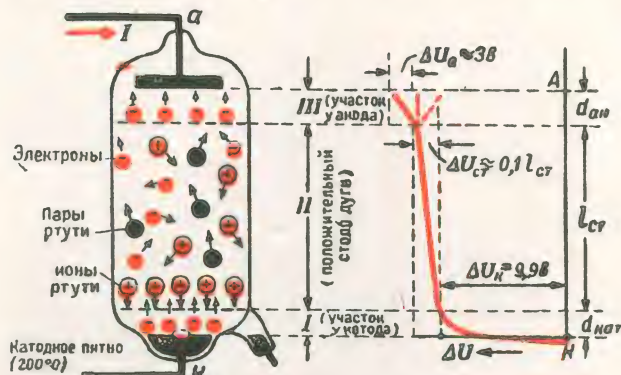
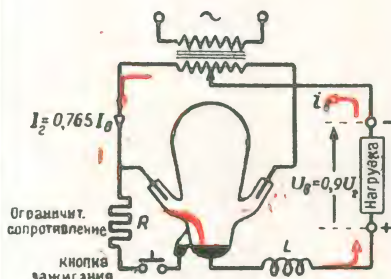


Схема физического процесса в дуге ртутного выпрямителя

Распределение падения напряжения по длине дуги

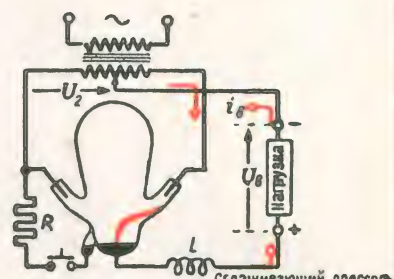


Первая половина периода

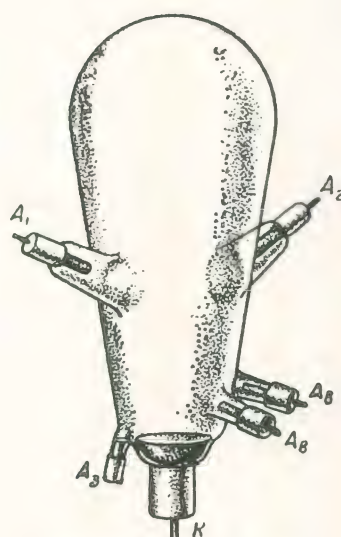
Схема двухполупериодного выпрямления



Кривая выпрямленного тока со сглаживающим дросселем



Вторая половина периода



Выпрямитель 2ВН-12

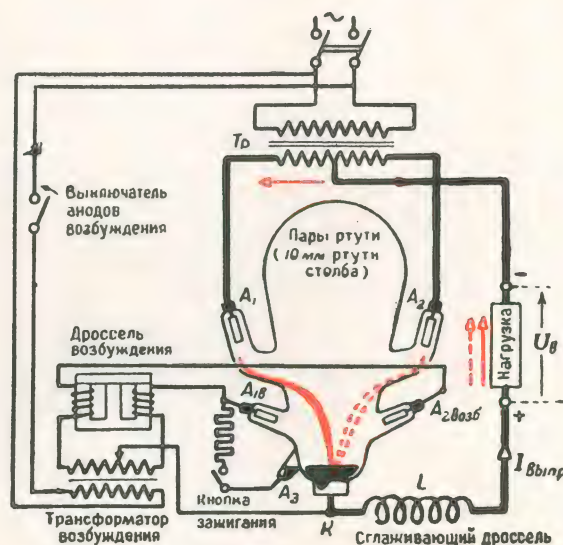
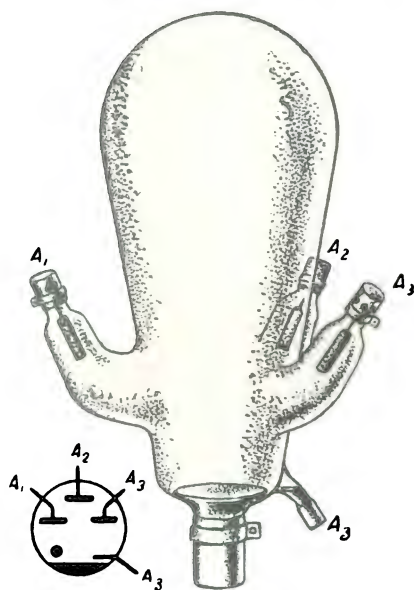


Схема соединения выпрямителя со вспомогательными анодами возбуждения

ТРЕХФАЗНЫЙ РТУТНЫЙ ВЫПРЯМИТЕЛЬ



Стеклянный выпрямитель 3В-30

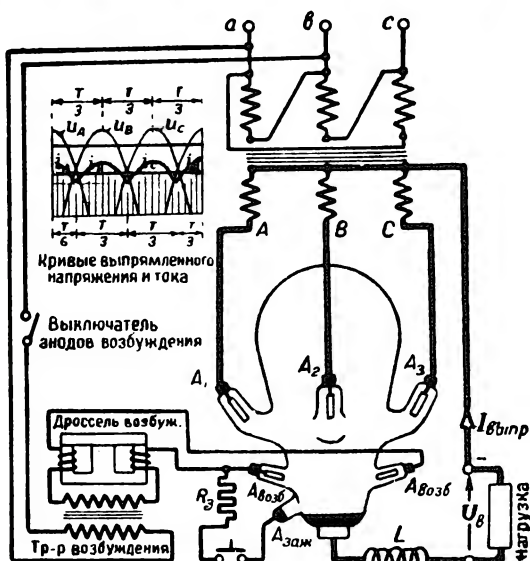


Схема соединения
трехфазного выпрямителя
с анодами возбуждения



Общий вид

Трехфазный выпрямитель ВАР-14
со стеклянной колбой 3В-30

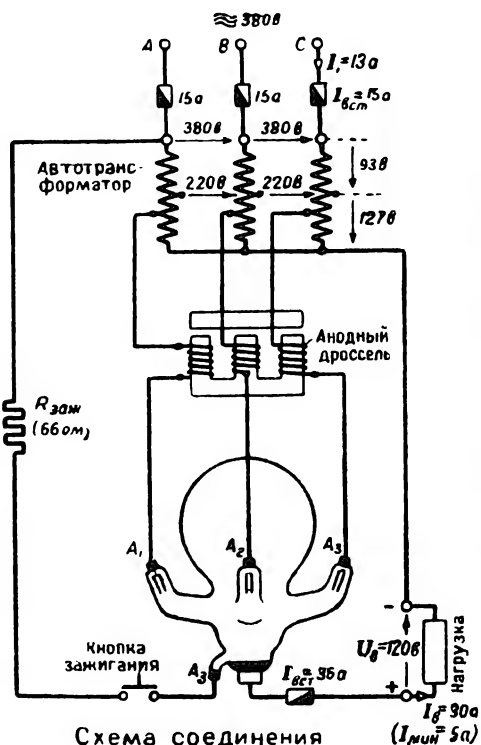
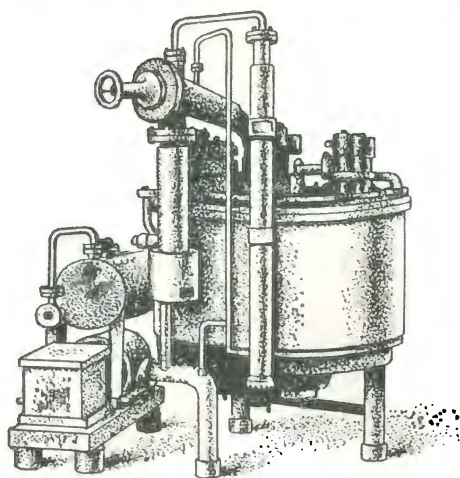


Схема соединения

МЕТАЛЛИЧЕСКИЙ РТУТНЫЙ ВЫПРЯМИТЕЛЬ



Шестианодный металлический выпрямитель РМНВ-1000

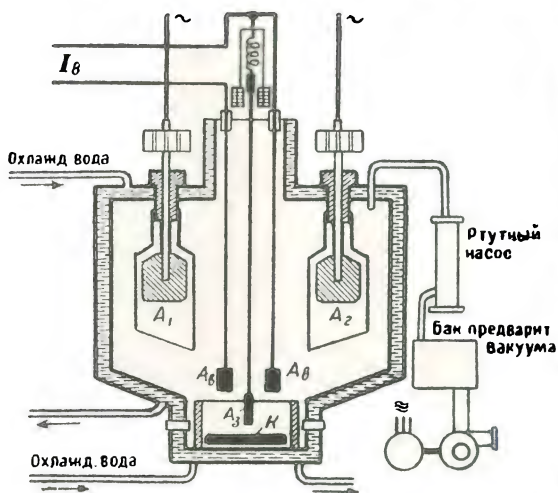
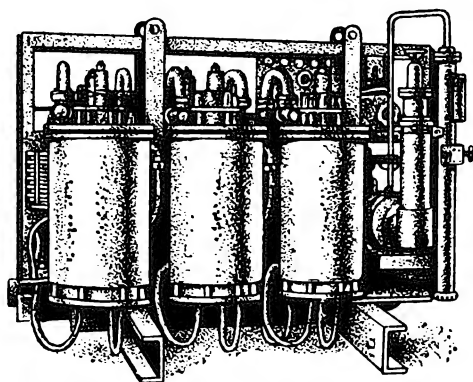


Схема устройства металлического выпрямителя



Шестицилиндровый выпрямитель РМНВ-500X6

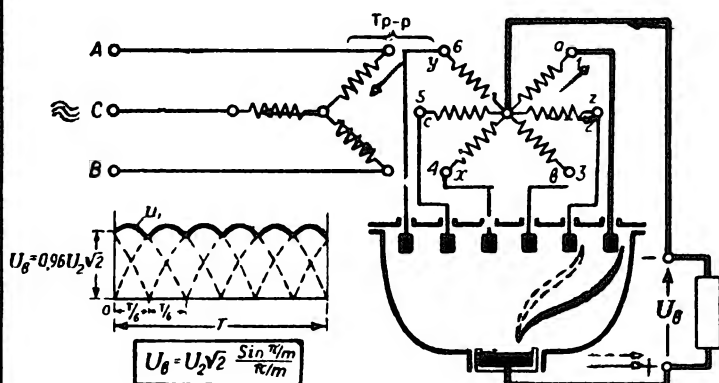
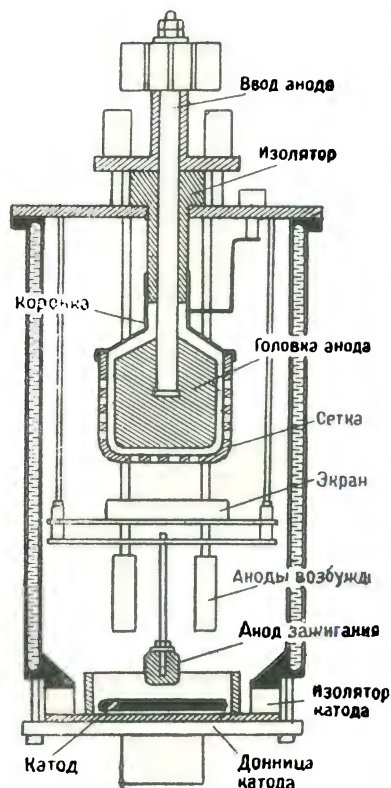
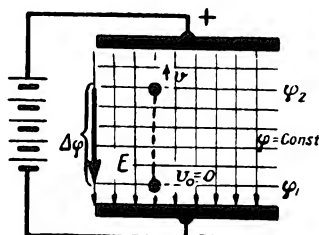


Схема шестифазного ($m=6$) выпрямителя



Цилиндр выпрямителя РМНВ-500
(Схематический разрез)

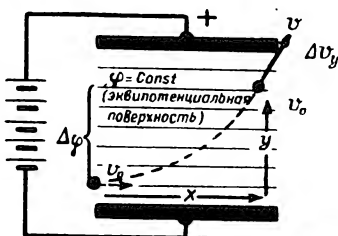
ЭЛЕКТРОННАЯ ОПТИКА



$$\frac{mv^2}{2} = e\Delta\varphi$$

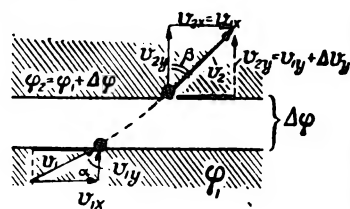
$$v = \sqrt{\frac{2e}{m}} \Delta\varphi = 592 \sqrt{\Delta\varphi_{\text{сек}}} \text{ км/сек}$$

Ускоренное движение электрона вдоль однородного электрического поля



$$y = \frac{at^2}{2} = \frac{eE}{2mU_0^2} x^2 \text{ (парабола)}$$

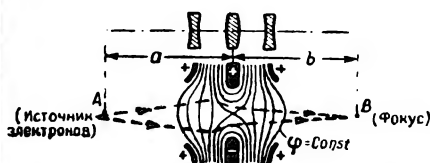
Движение электрона с начальной скоростью U_0 , нормальной к однородному электрическому полю



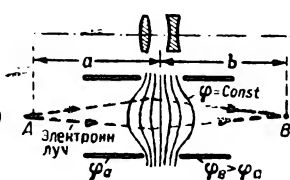
$$\Delta U_y = \sqrt{\frac{2e}{m}} \Delta\varphi$$

$$\frac{\sin \alpha}{\sin \beta} = \frac{U_2}{U_1}$$

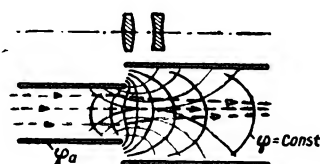
Преломление электронного луча на границе двух областей с разными потенциалами



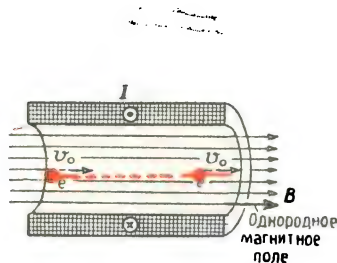
Одноточная электростатическая линза и ее оптическая аналогия



Двойные цилиндрические линзы и их оптическая аналогия

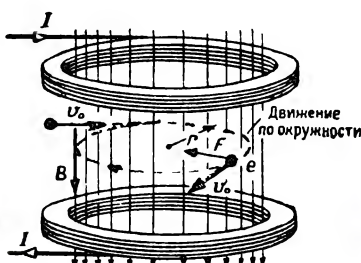


ДВИЖЕНИЕ ЭЛЕКТРОНОВ В ЭЛЕКТРИЧЕСКОМ ПОЛЕ



$$\vec{U}_0 \parallel \vec{B}; \vec{F} = e[\vec{U}_0 \vec{B}] = 0$$

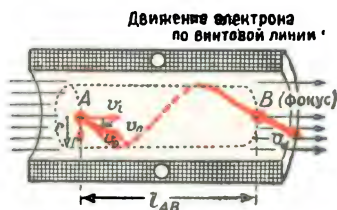
Движение электрона вдоль магнитного поля (нет отклоняющего воздействия)



$$F = eU_0 B = m \frac{U_0^2}{r}$$

$$r = \frac{mU_0}{eB}; T = \frac{2\pi r}{U_0} = \frac{2\pi m}{eB}$$

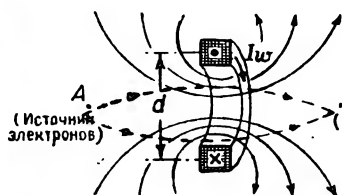
Движение электрона с начальной скоростью, перпендикулярной к магн. полю



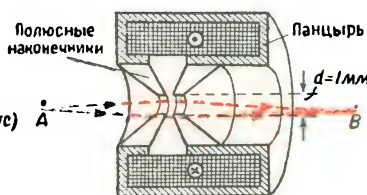
$$r = \frac{mU_0}{eB}; T = \frac{2\pi r}{U_0} = \frac{2\pi m}{eB}$$

$$l_{AB} = U_0 T = U_0 \frac{2\pi m}{eB}$$

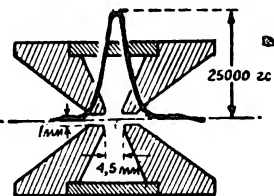
Движение электронов с начальной скоростью, направленной под малым углом α к однородному магнитному полю



Фокусировка электронов короткой магнитной линзой



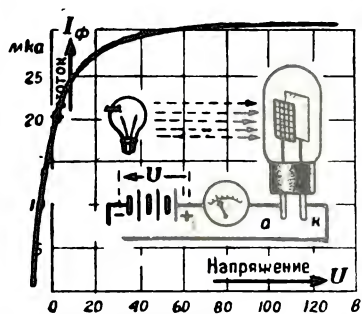
Панцирная линза с полюсными наконечниками



Кривая магнитн. поля, создаваемого полюс. наконечниками ($I_w = 4000 \text{ а}$)

ДВИЖЕНИЕ ЭЛЕКТРОНОВ В МАГНИТНОМ ПОЛЕ

ФОТОЭЛЕМЕНТ



Вольтамперная характеристика вакуумного фотоэлемента

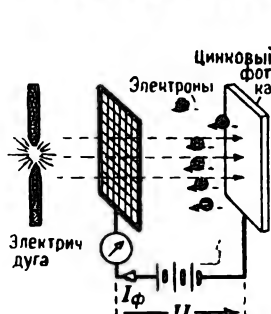
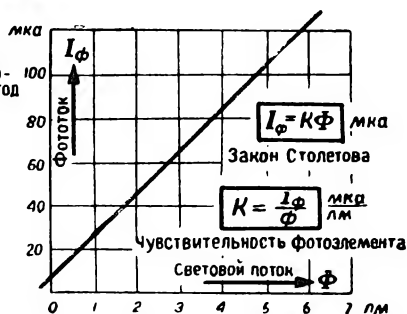
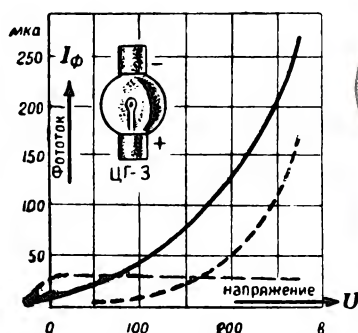


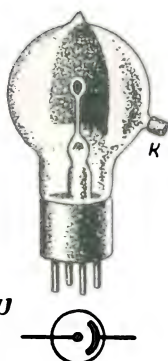
Схема опыта А. Г. Столетьева (1880г.)



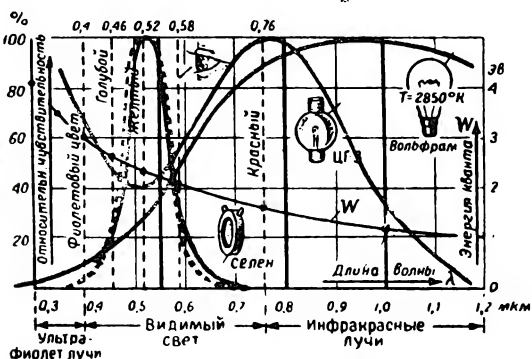
Световая характеристика вакуумного фотоэлемента



Вольтамперная характеристика газонаполненного фотоэлемента ЦГ-3



Фотоэлемент ЦГ-1



Спектральные характеристики цезиевого и селенового фотоэлементов, глаза и вольфрамовой нити при $T=2850^{\circ}\text{K}$

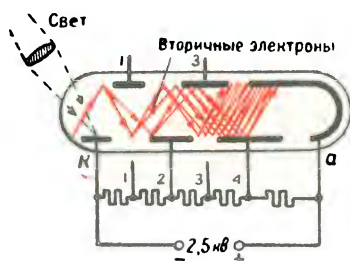


Схема фотомножителя Л.А. Кубецкого

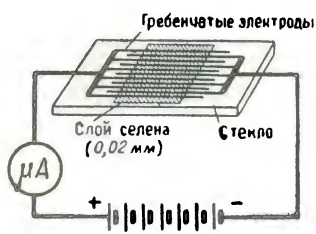
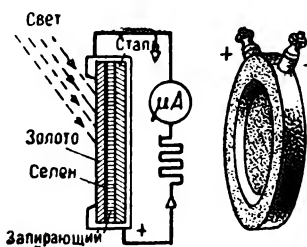


Схема включения фотосопротивления



Селеновый вентильный фотоэлемент

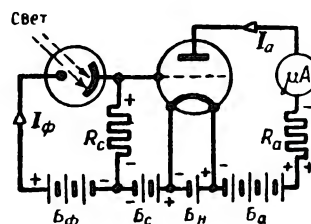
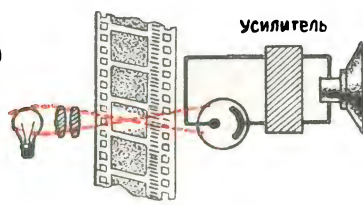


Схема усиления фототока



Применение фотоэлемента в звуковом кино

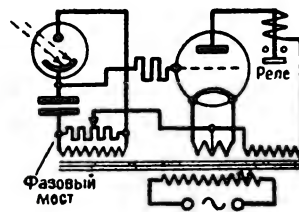
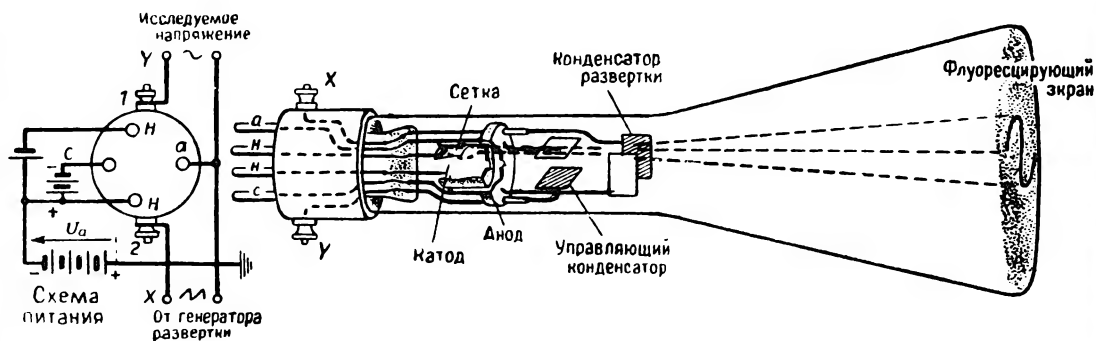


Схема фотореле на переменном токе

ЭЛЕКТРОННО-ЛУЧЕВАЯ ТРУБКА



Электронно - лучевая трубка КОП-4



Трубка с электростатическим управлением
типа ВЛ02В

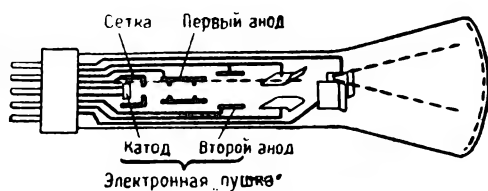


Схема трубки ВЛ02В

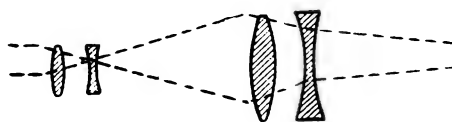
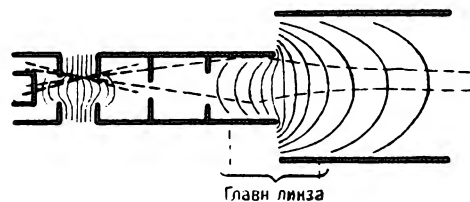
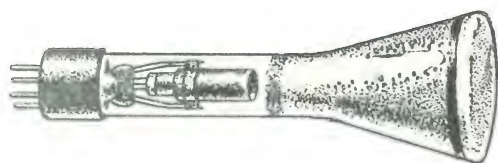


Схема устройства
электронной „пушки“
и ее оптическая аналогия



Трубка с магнитным
управлением

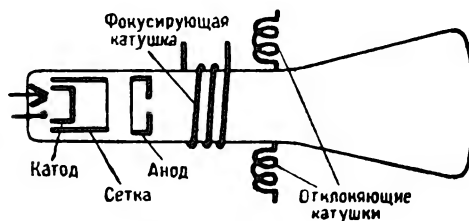
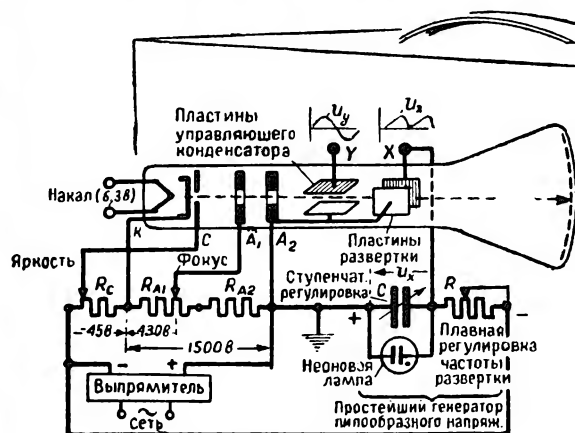
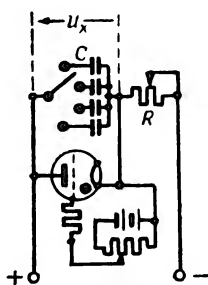
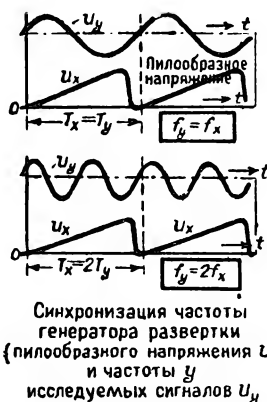


Схема трубки
с магнитным управлением

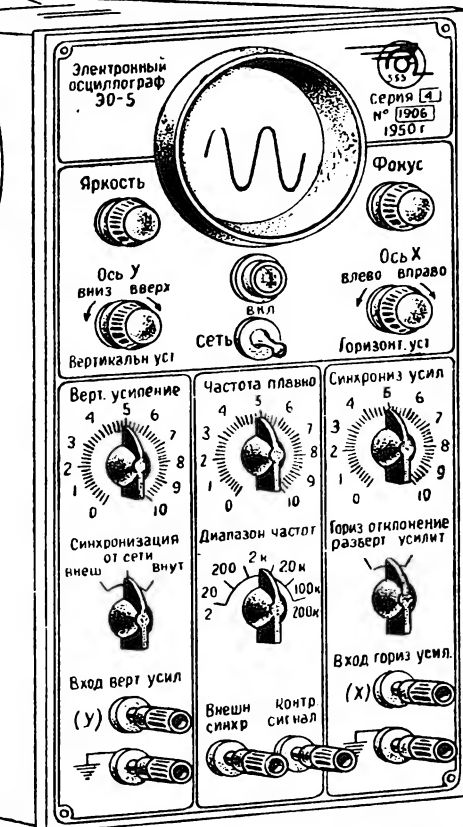
ЭЛЕКТРОННЫЙ ОСЦИЛЛОГРАФ



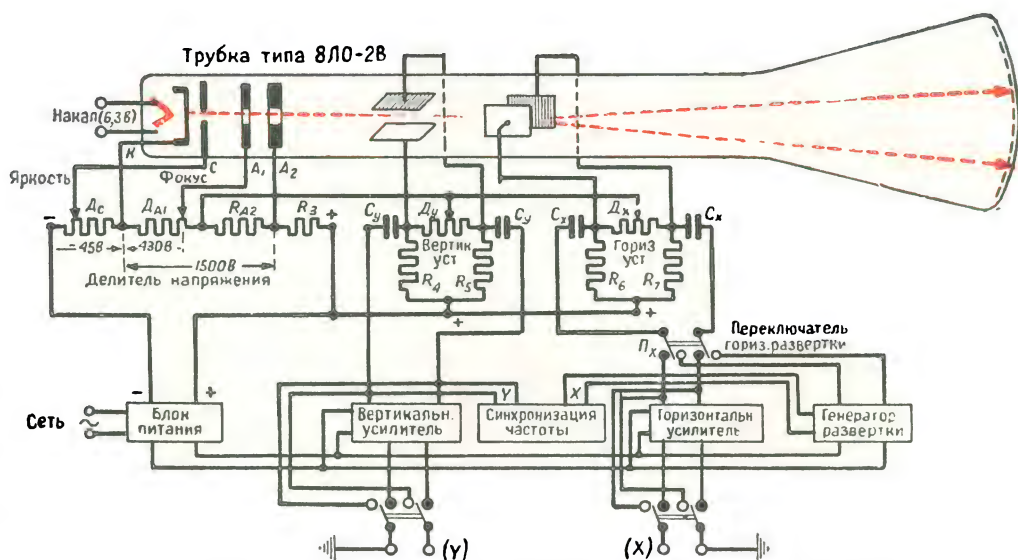
Простейшая схема осциллографа



Простейшая схема генератора пилообразного напряжения с титратроном

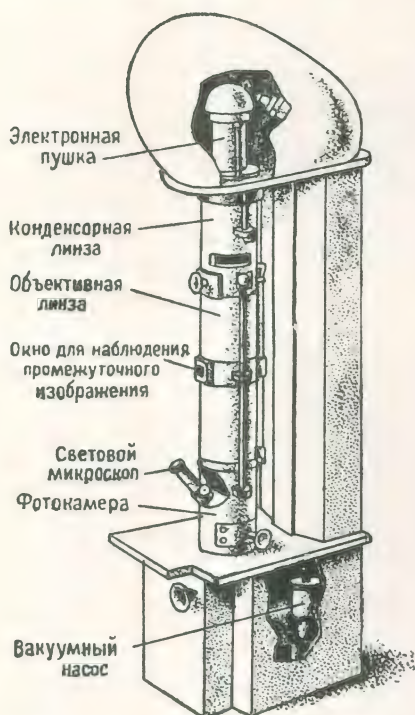


Электронный (катодный) осциллограф 30-5



Блок-схема электронного осциллографа

ЭЛЕКТРОННЫЙ МИКРОСКОП



Схематический рисунок магнитного электронного микроскопа ГОИ на 50 кВ
(сконструирован акад. А.А.Лебедевым, В.Н.Верцнером и И.Г.Зандиным)

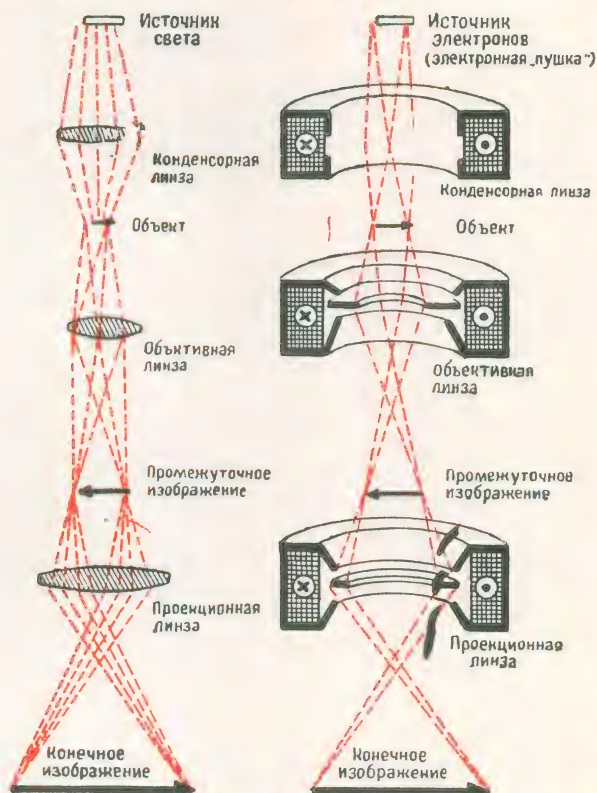
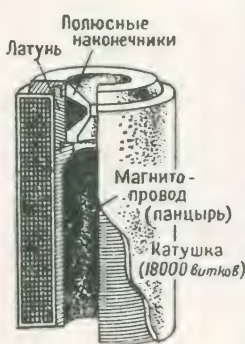
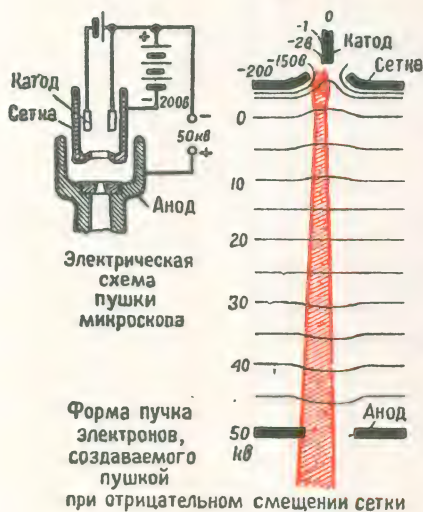


Схема построения изображения в световом микроскопе

Схема построения изображения в электронном микроскопе



Объективная линза микроскопа на 50 кВ

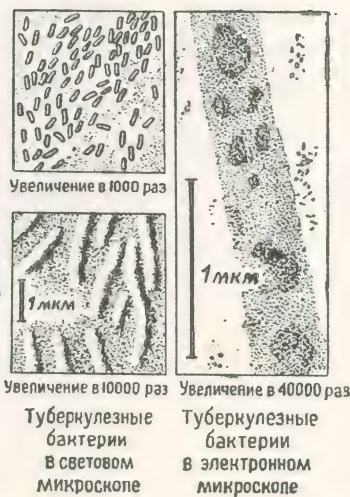
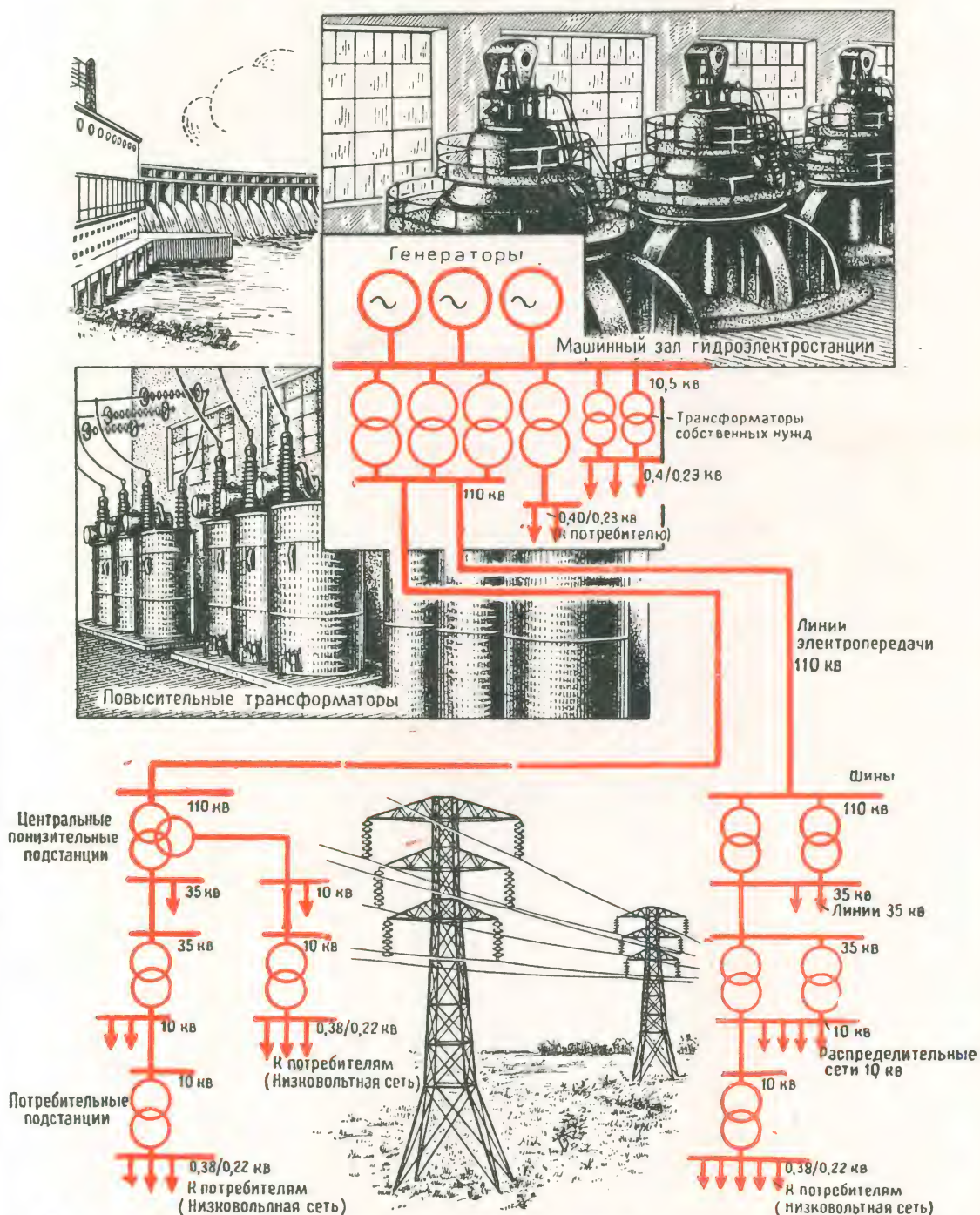


СХЕМА ЭЛЕКТРОСНАБЖЕНИЯ ОТ РАЙОННОЙ ЭЛЕКТРОСТАНЦИИ



Электрические станции строятся в местах расположения энергетических ресурсов, откуда электрическая энергия высокого напряжения передаётся в места её потребления.

ТЕПЛОВАЯ ЭЛЕКТРОСТАНЦИЯ

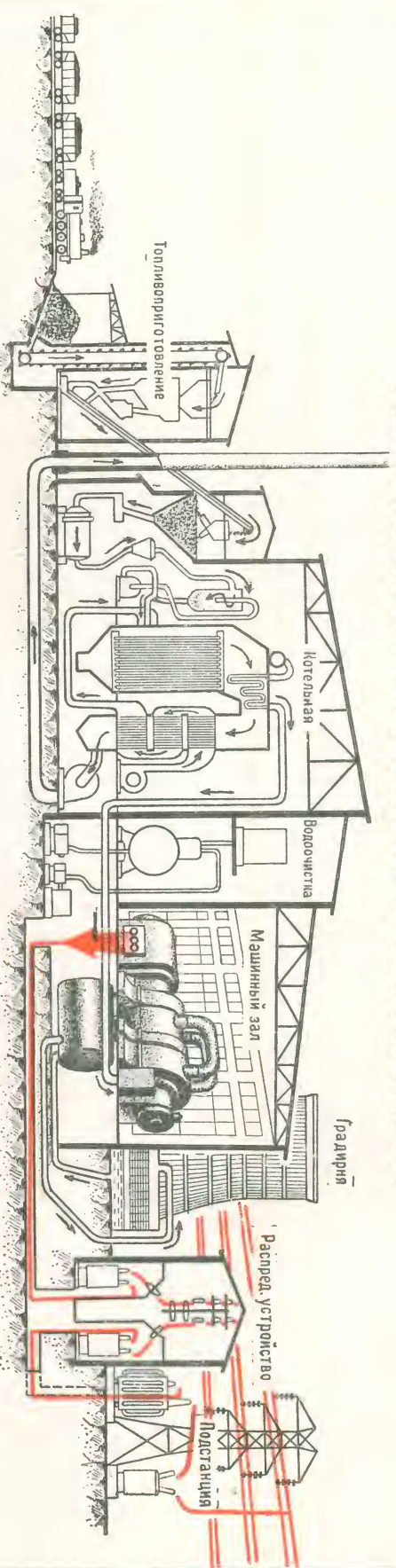
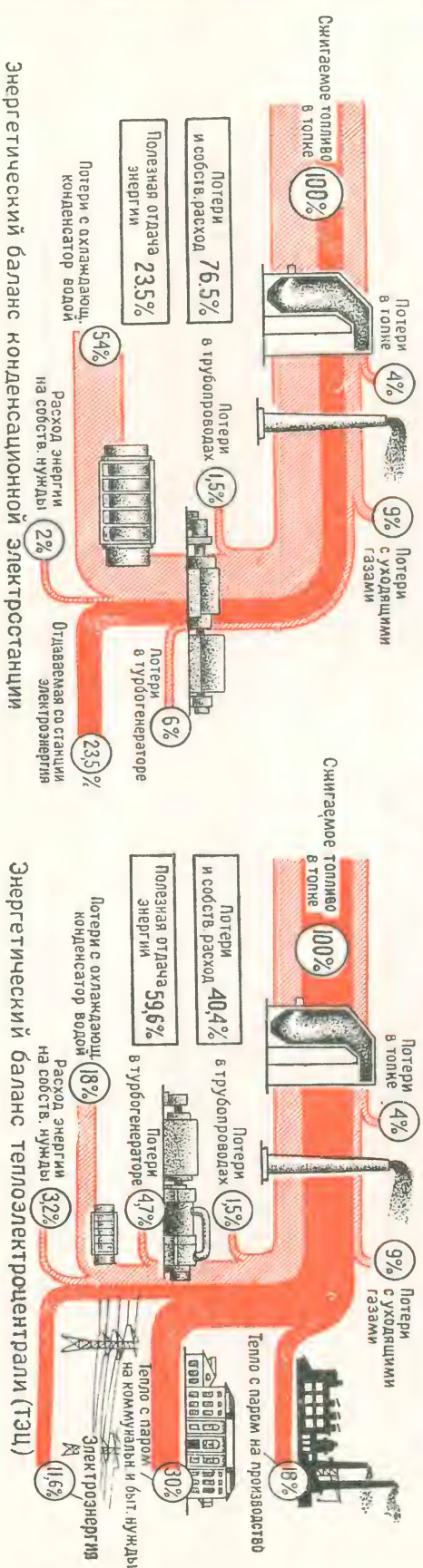


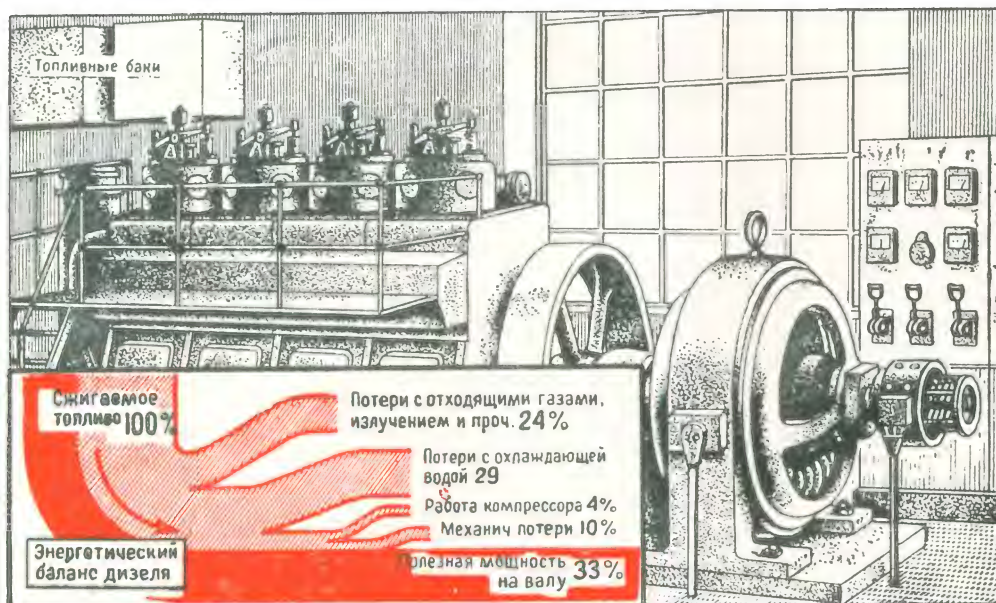
Схема паротурбинной электростанции



Тепловые станции служат, по возможности, в центре нагрузки и вблизи источников воды. Теплоэлектростанция — наиболее экономичная из тепловых электростанций

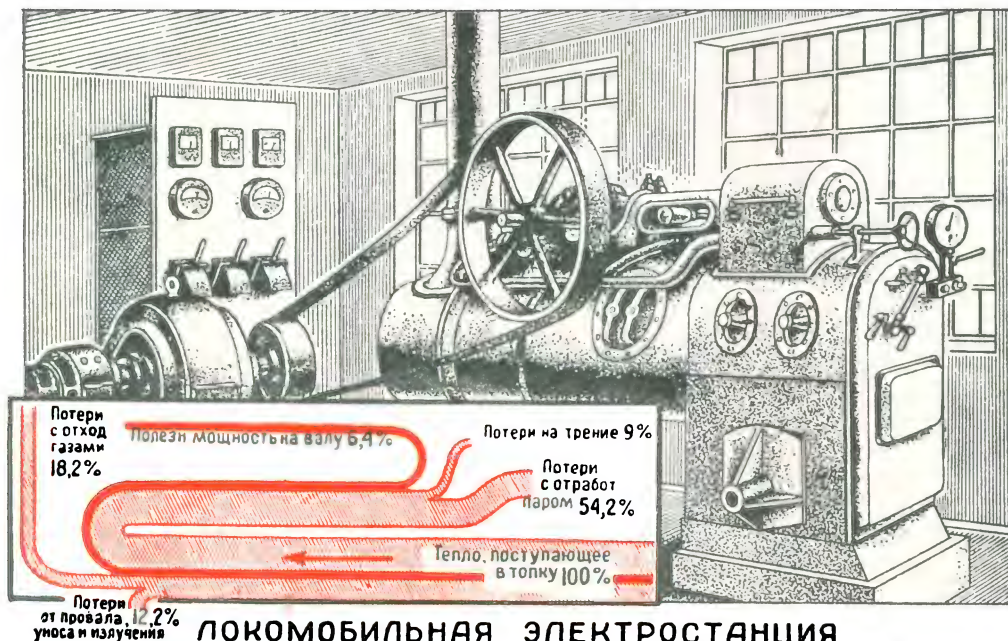
ТЕПЛОВАЯ ЭЛЕКТРОСТАНЦИЯ

(продолжение)



ДИЗЕЛЬНАЯ ЭЛЕКТРОСТАНЦИЯ

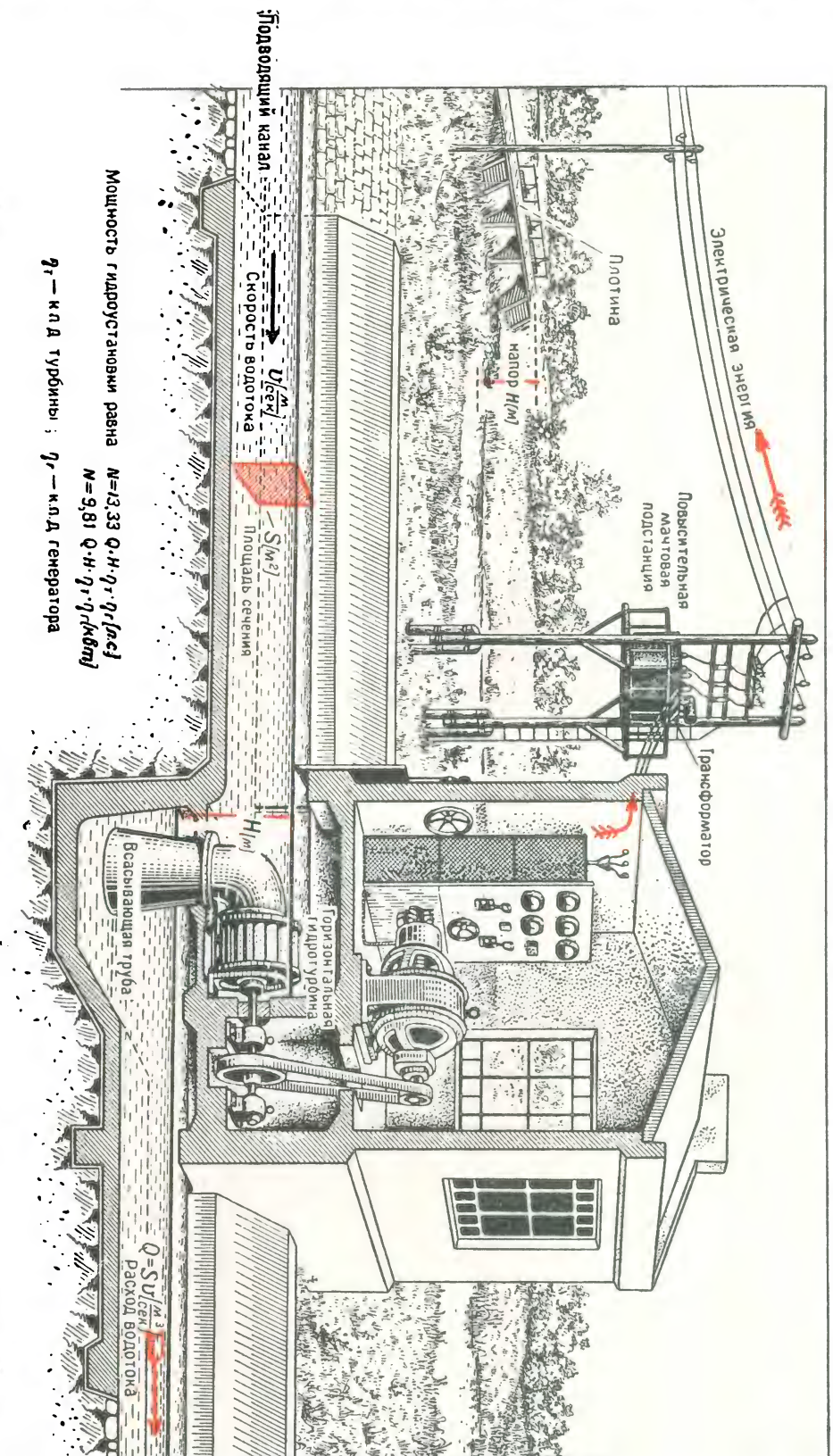
строится в районах, не располагающих местными энергетическими ресурсами (вода, уголь, дрова, торф и пр.)



ЛОКОМОБИЛЬНАЯ ЭЛЕКТРОСТАНЦИЯ

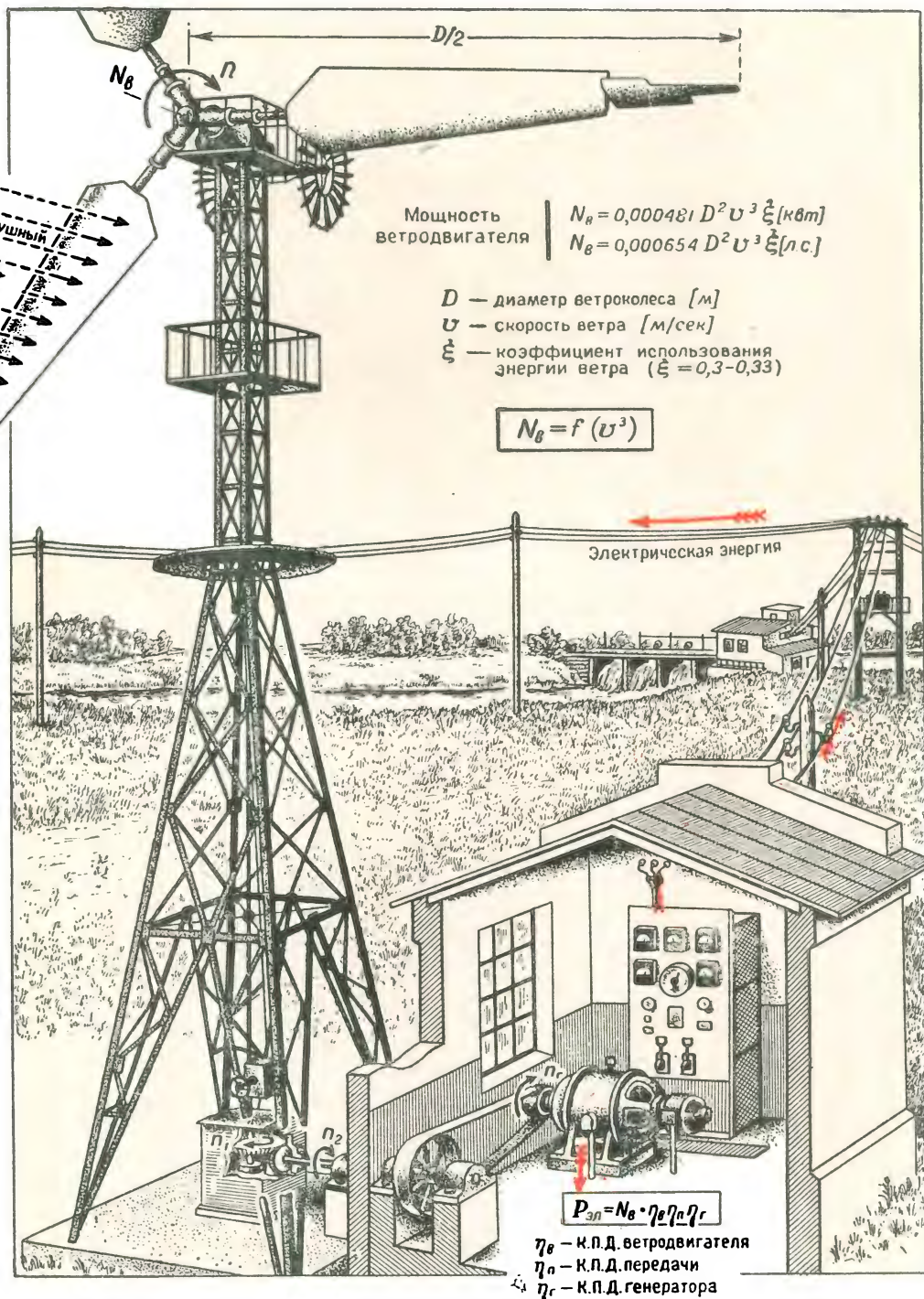
строится в районах, богатых дровами или отходами производства (костра, опилки, солома и т. п.)

ГИДРОЭЛЕКТРИЧЕСКАЯ СТАНЦИЯ



Основой использования водной энергии участка водотока является концентрация напора в одном створе при помощи плотины или деривации.

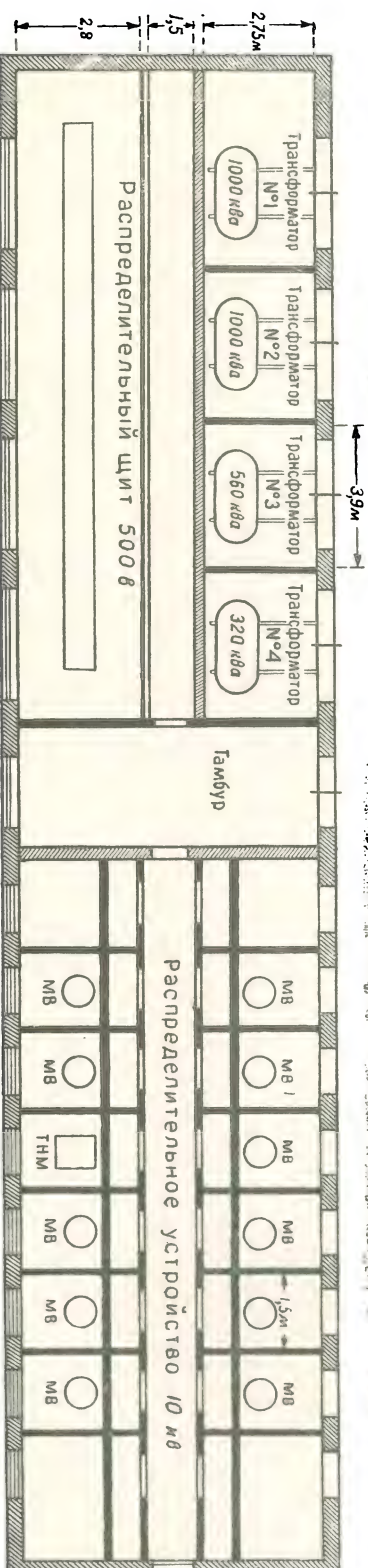
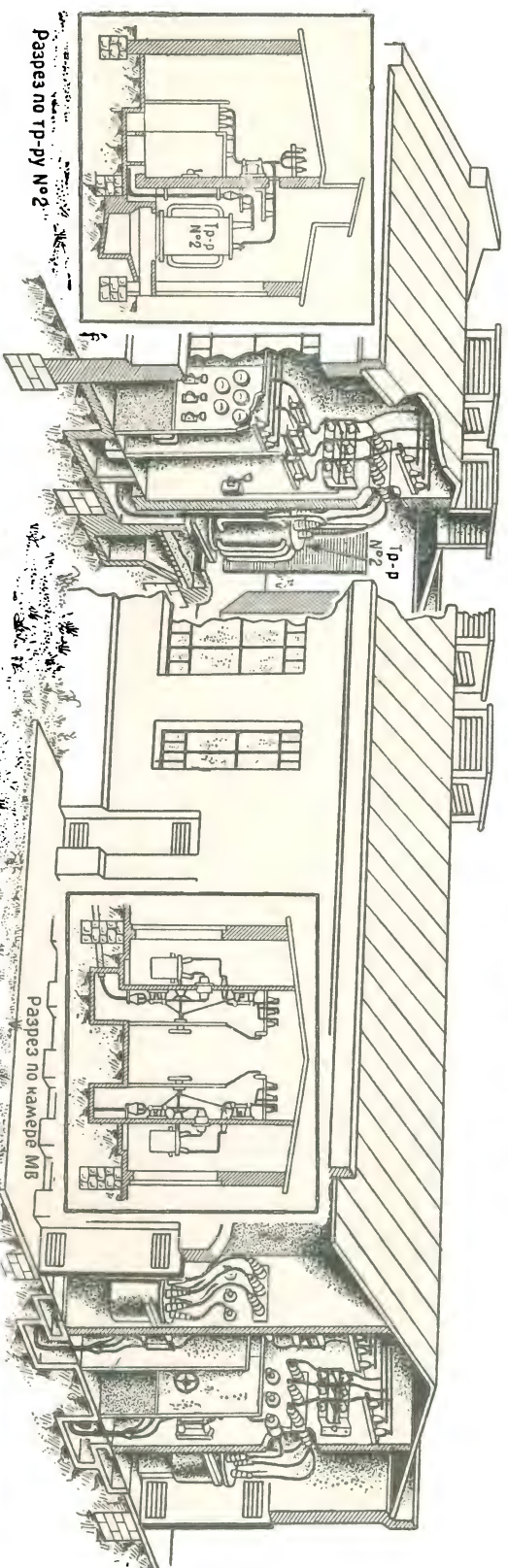
ВЕТРОЭЛЕКТРИЧЕСКАЯ СТАНЦИЯ



Основой использования энергии ветра является обеспечение наивыгоднейшего угла атаки потоков воздуха на крылья ветродвигателя. Мощность ветроэлектростанции переменна и является функцией скорости ветра

Ш.М.Алукер

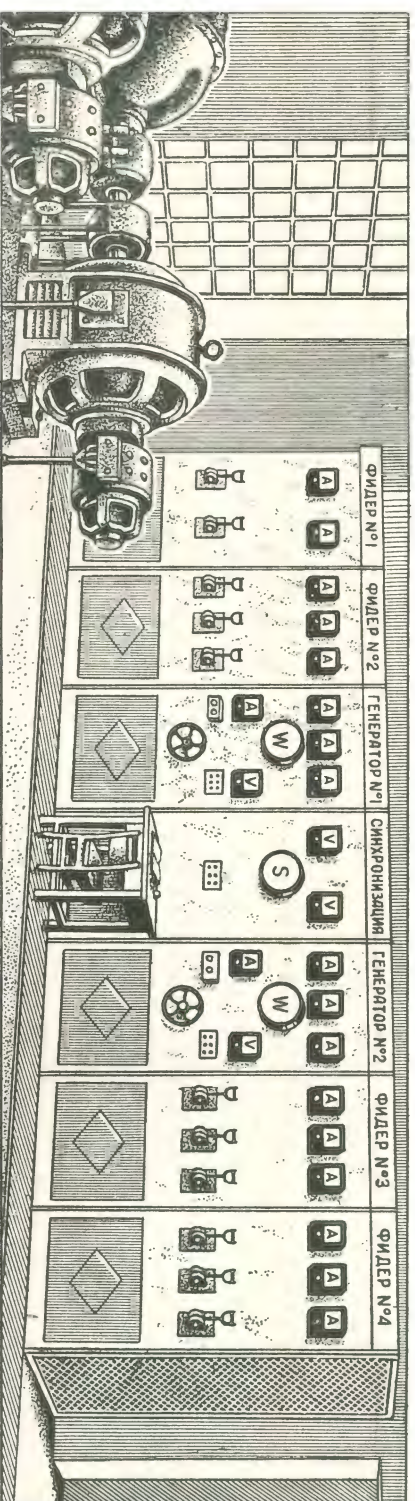
РАСПРЕДЕЛИТЕЛЬНОЕ УСТРОЙСТВО



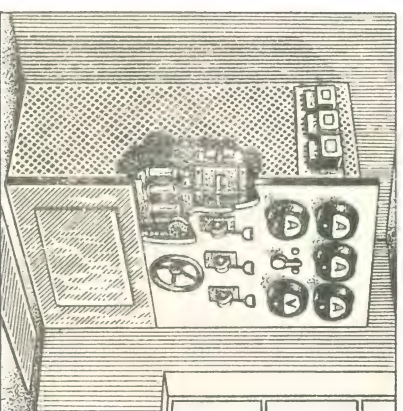
П л а н р а с п р е д е л и т е л ь н о г о у с т р о й с т в а

управление и распределение электрической энергии , вырабатываемой электростанцией. осуществляется через распределительные устройство

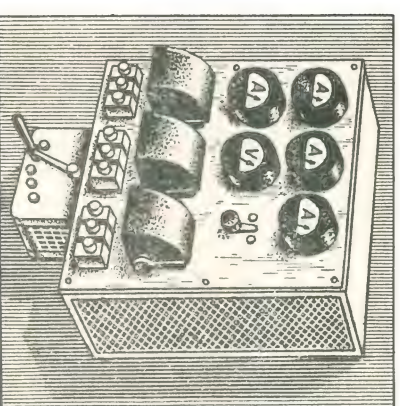
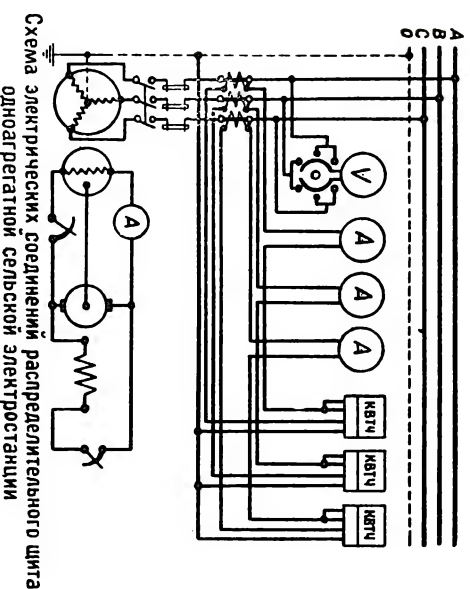
РАСПРЕДЕЛИТЕЛЬНЫЙ ЦИТ



Распределительный щит местной электрической станции



Распределительный щит одноагрегатной сельской электростанции.

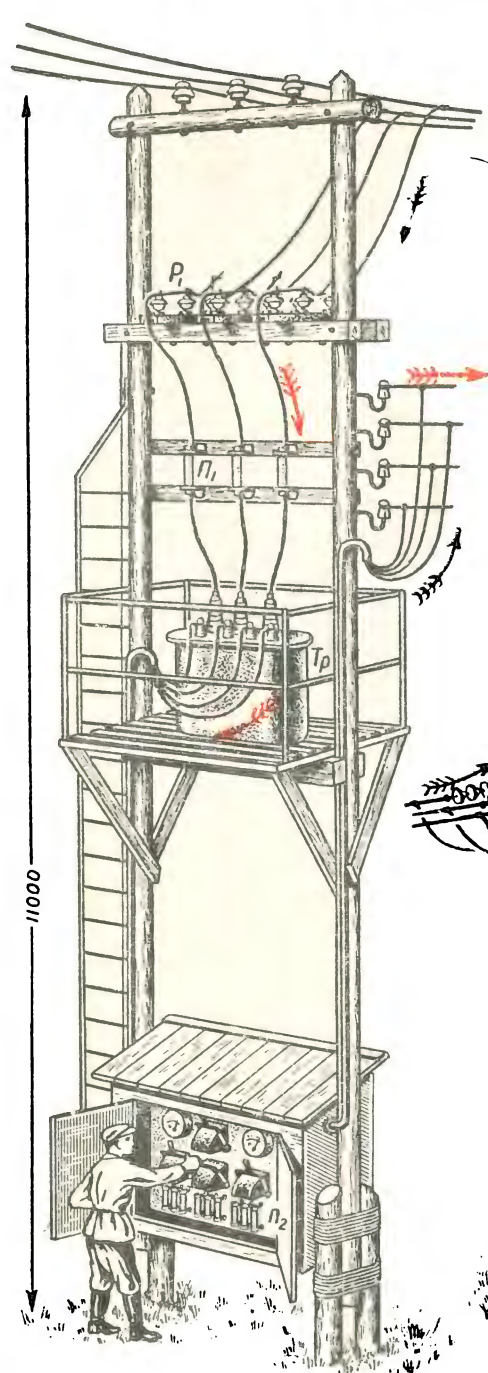


Настенный распределительный щит сельской электростанции мощностью до 30 кВа

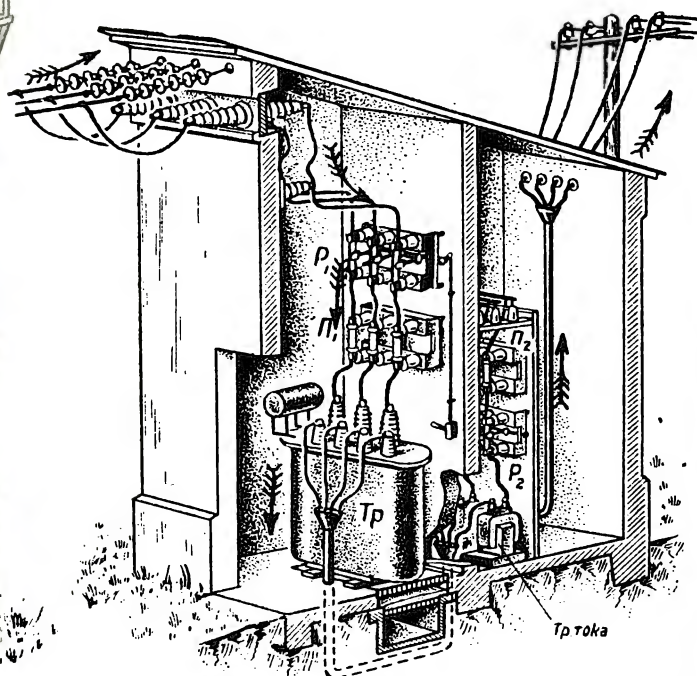
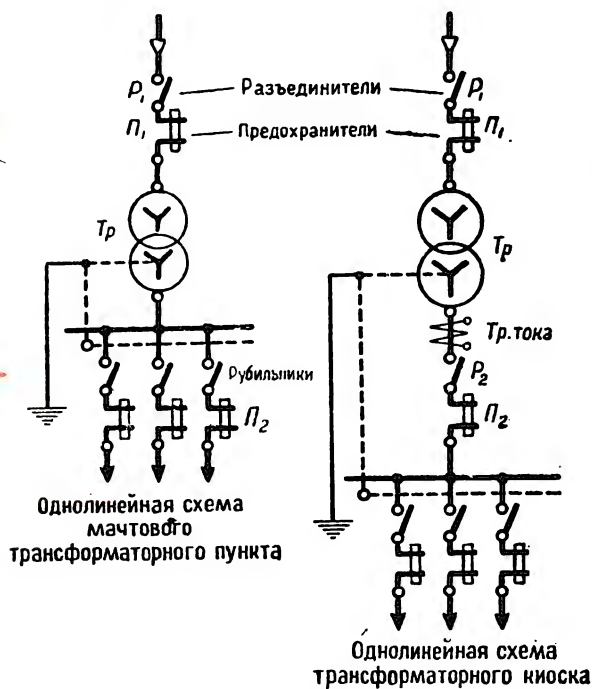
Распределение энергии потребителям, оперативное управление работой щита (щита управления) и контроль за ней осуществляются с распределительного щита (щита управления)

Ш.М.Анжар.

ТРАНСФОРМАТОРНЫЙ ПУНКТ



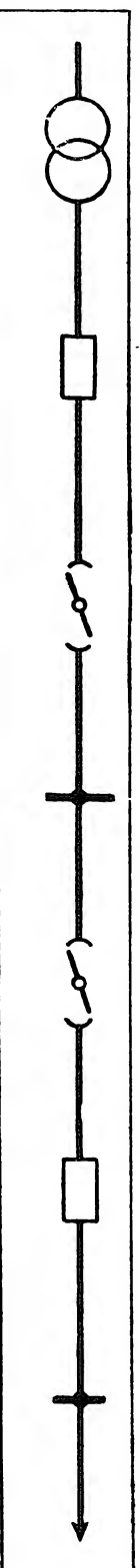
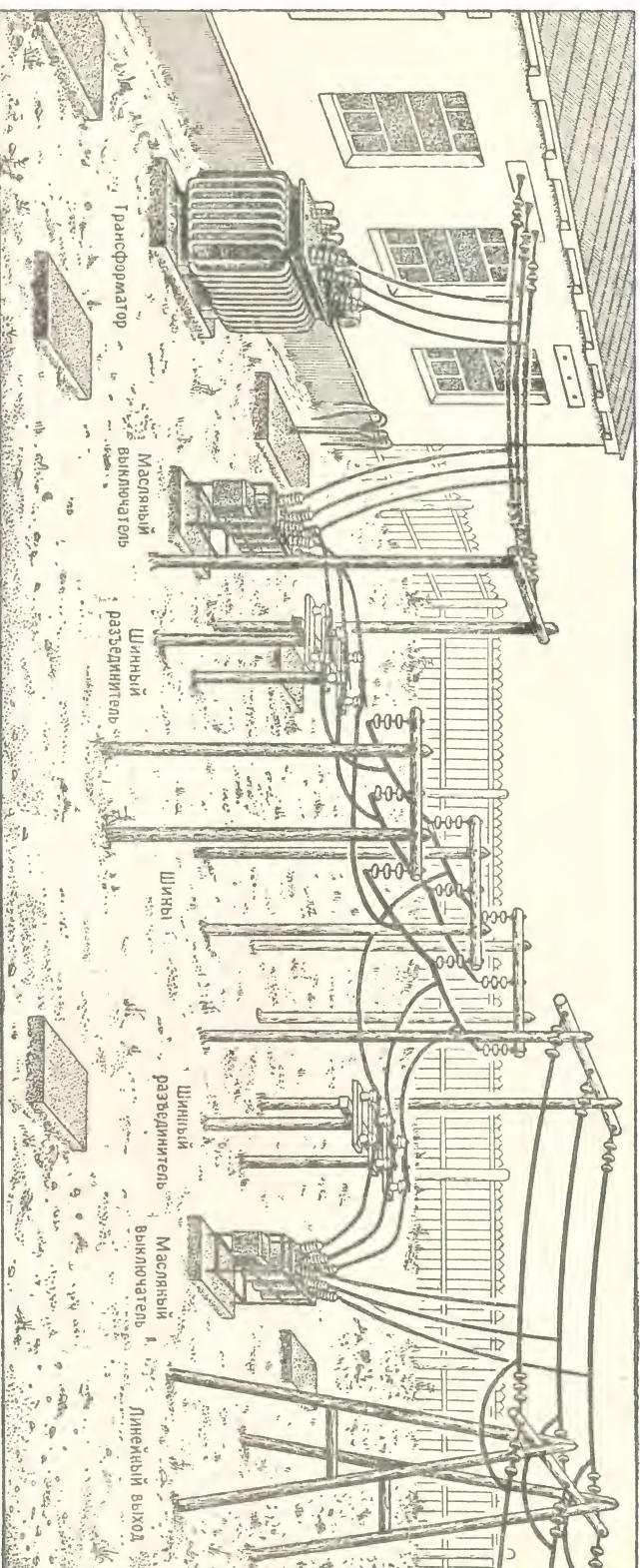
Мачтовый трансформаторный пункт



Трансформаторный киоск

Понижение высокого напряжения до рабочего и распределение энергии потребителям осуществляются через трансформаторные пункты (киоски)

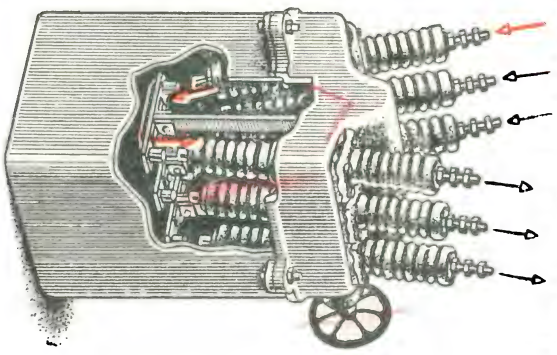
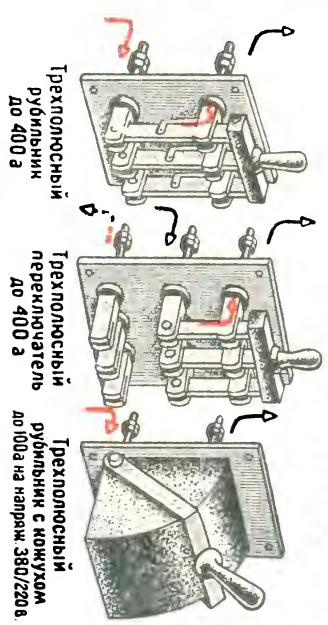
ТРАНСФОРМАТОРНАЯ ПОДСТАНЦИЯ



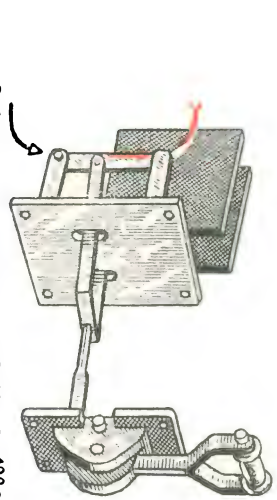
Однолинейная схема

Повышение напряжения до нужных для передачи энергии значений и понижение высокого напряжения до нужных для распределения энергии значений осуществляются через трансформаторные подстанции

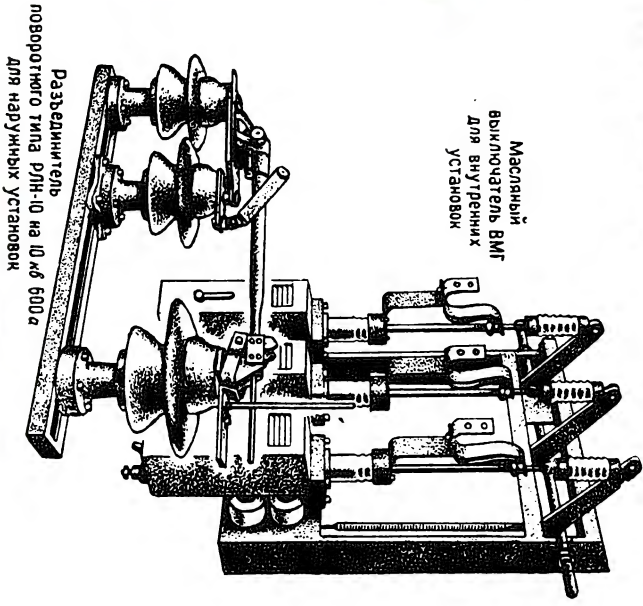
КОММУТАЦИОННАЯ АППАРАТУРА



Масляный выключатель ВМ-16

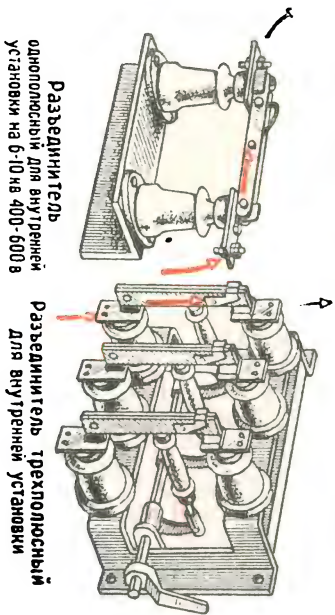


Рубильник с рычажным приводом до 400а РП-3



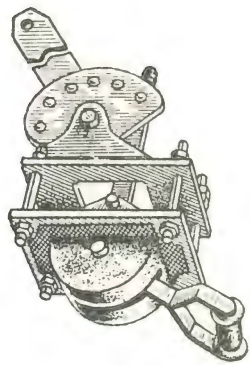
Разъединитель поворотного типа РПН-10 на 10 кВ 600а для наружных установок

Масляный выключатель ВМТ для внутренних установок

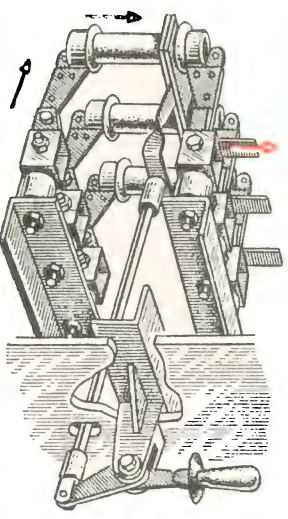


Разъединитель однополюсный для внутренних установок на 6-10кВ 400-600в

Разъединитель трёхполосный для внутренних установок



Рычажный дистанционный привод РРТ

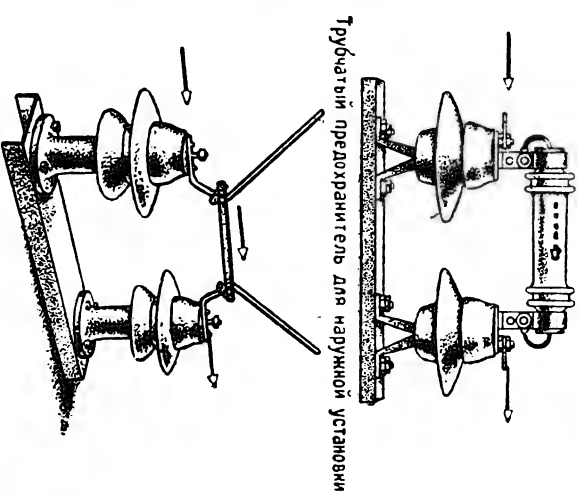
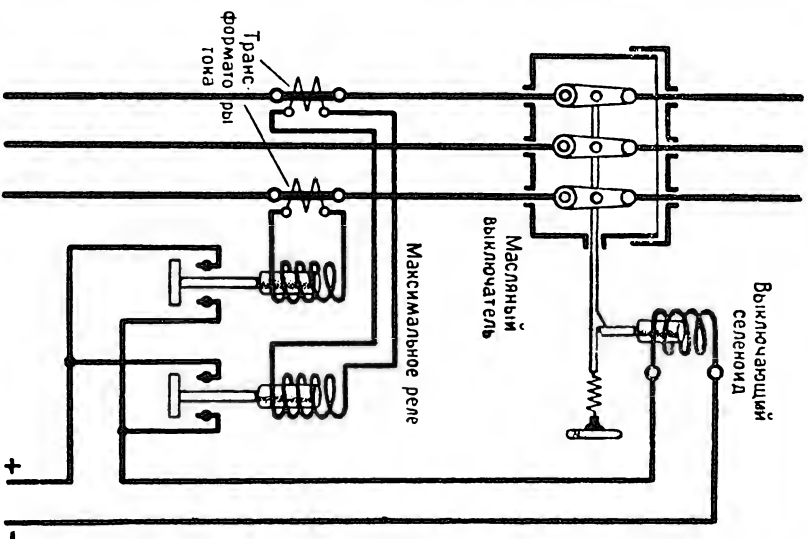
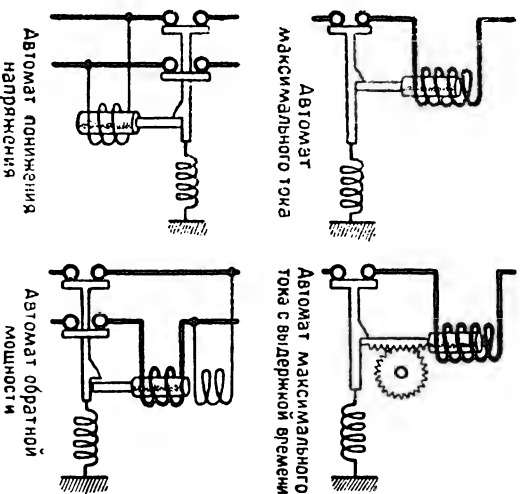
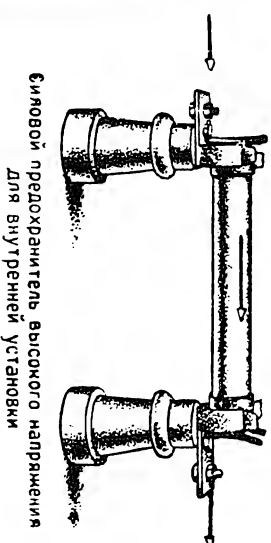
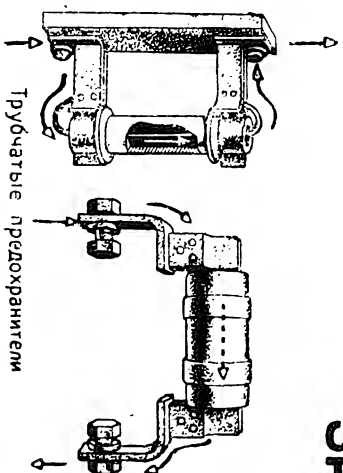


Совмещенная конструкция рубильника с предохранителем

Коммутационная аппаратура выбирается по напряжению, току и условиям установки

Ш.М.Алукер

ЗАЩИТНАЯ АППАРАТУРА

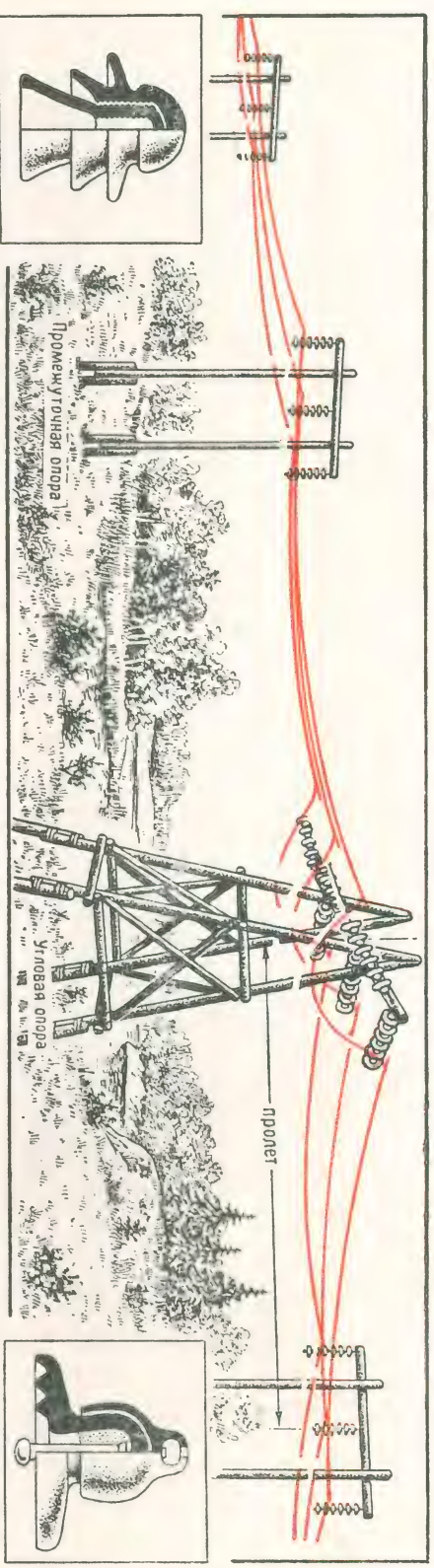


Принципиальные схемы автоматических выключателей

Принципиальная схема автоматического отключения масляного выключателя посредством максимального реле

Защитная аппаратура выбирается из условий возможных аварий и обеспечения бесперебойности электроснабжения. Защита должна быть селективной.

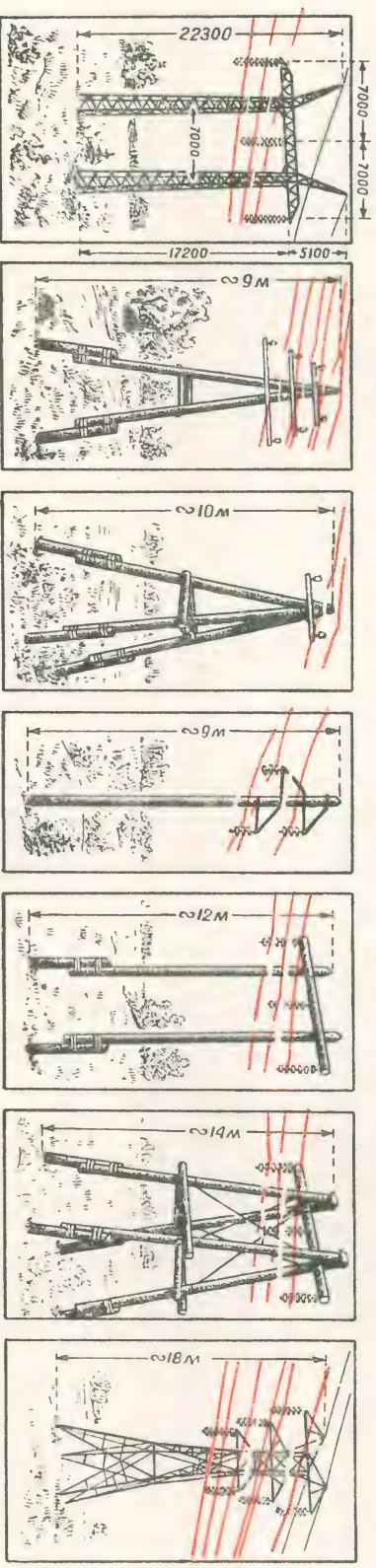
ВОЗДУШНЫЕ ЛИНИИ



Штыревой изолятор

Линия электропередачи

Подвесной изолятор



Металлическая трехпроводная опора порталного типа на 220 кВ

А-образная опора

Треугольная опора (уплощенная)

Одностоенная опора (свечка)

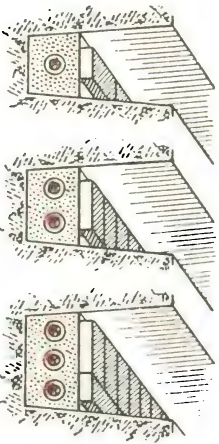
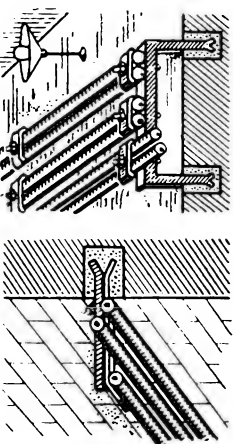
Л-образная опора

АЛ-образная опора

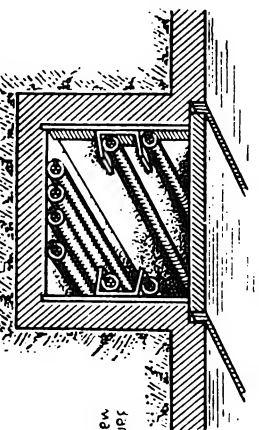
Металлическая шестипроводная опора на 110 кВ

Типы опор воздушных линий

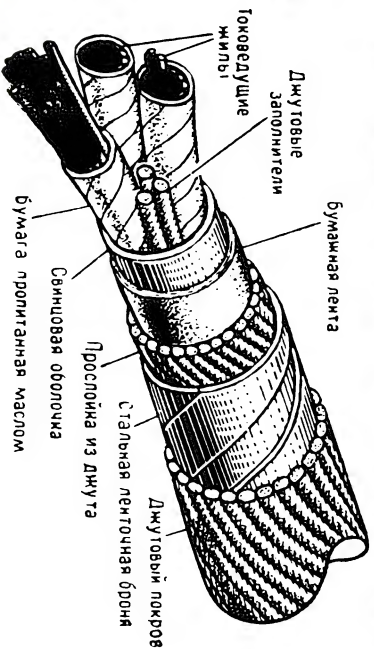
КАБЕЛЬНЫЕ ЛИНИИ



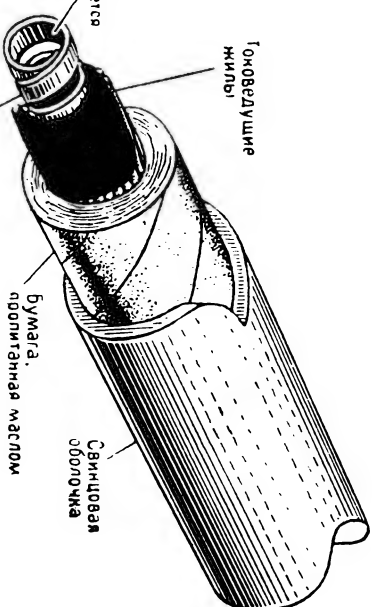
Прокладка кабеля в траншею



Прокладка кабеля в каналах

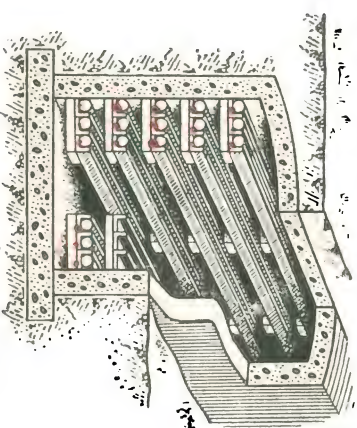


Трехфазный кабель на напряжение до 6 кВ



Маслонаполненный кабель

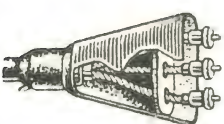
Кабельные линии применяются в качестве городских распределительных сетей и других подземных проводов



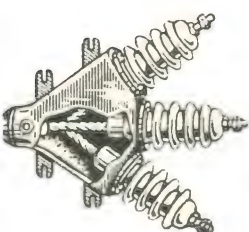
Прокладка кабелей в туннеле



Разделка трехфазного кабеля

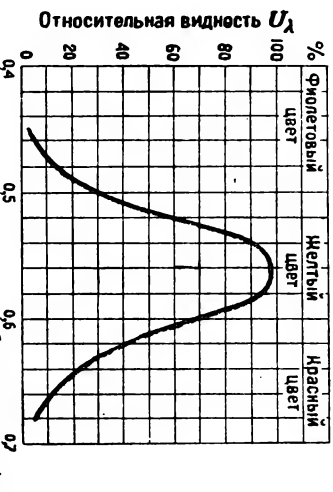


Концевая воронка

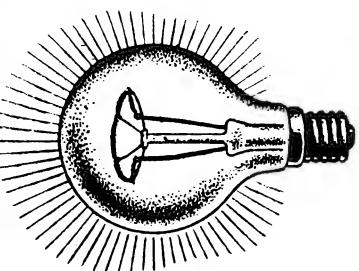


Муфта для наружных установок

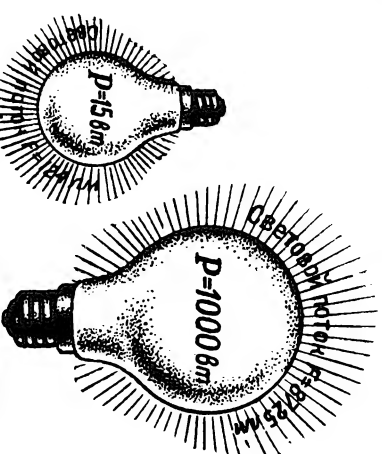
СВЕТОТЕХНИЧЕСКИЕ ВЕЛИЧИНЫ И ЕДИНИЦЫ



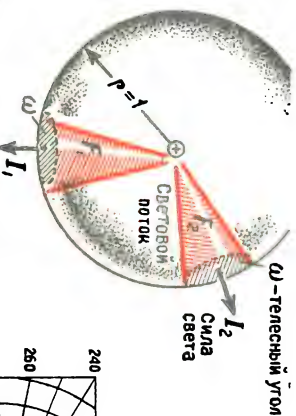
Кривая относительной видимости
(кривая чувствительности нормального человеческого глаза к излучению различных длин волн)



Световой поток F_A есть $\frac{683}{\lambda}$ мощности излучения P_A , умноженной на относительную видимость: $F_A = \frac{683}{\lambda} P_A U_A$

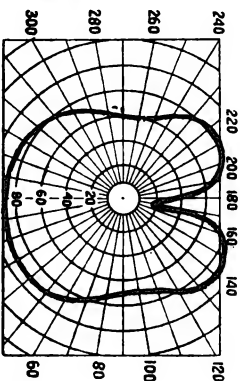


Единица светового потока — люмен — 1/683 ватта излучения при длине волны $\lambda=0,555$ мкм

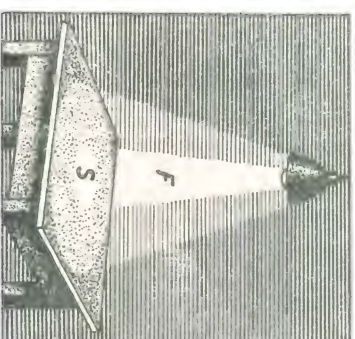


Сила света источника I — отношение светового потока F , излучаемого источником в телесн. угле ω , к величине этого угла: $I = \frac{F}{\omega}$ [cd]

Единица силы света — кандела (1 cd = 1 lm/sr)



Кривая распределения силы света нормальной лампы накаливания



Освещенность — поверхностная плотность светового потока: $E = \frac{F}{S}$

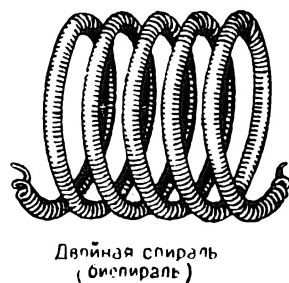
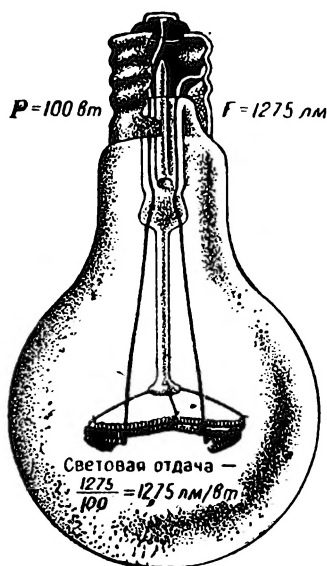
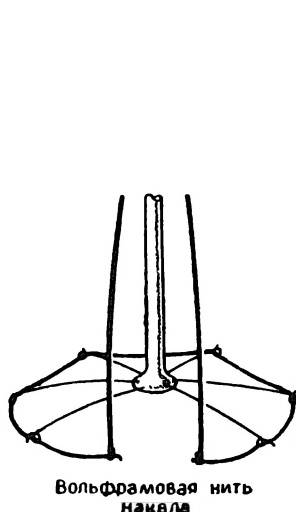
Единица освещенности — люкс (1 lux = 1 lm/m²)

Пламя стеариновой свечи 0,7 cd	Лампа керосиновой лампы 1,1 cd	Вольфрамовая нить в пустотной лампе 140–200 cd	Вольфрамовая нить в газополной лампе 800–1200 cd	Квадр. электрической дуги 18000 cd

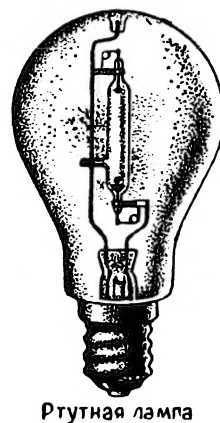
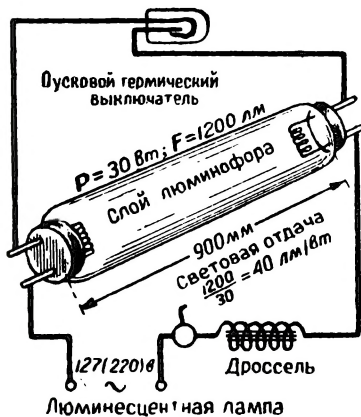
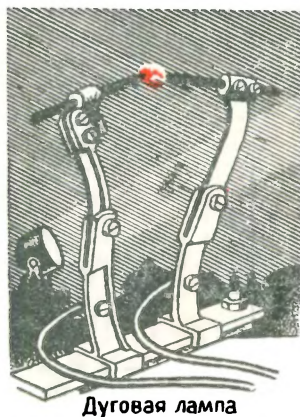
Значения яркости некоторых источников света

Единица яркости — стилиб (1 sb = 1 cd/cm²)

ЭЛЕКТРИЧЕСКИЕ ИСТОЧНИКИ СВЕТА

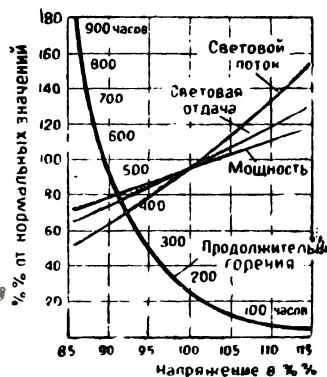
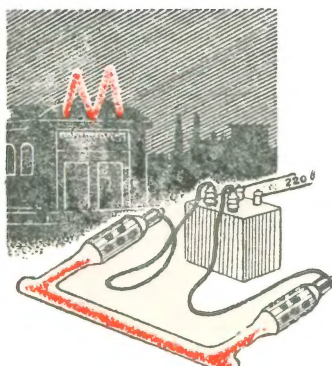


Лампа накаливания

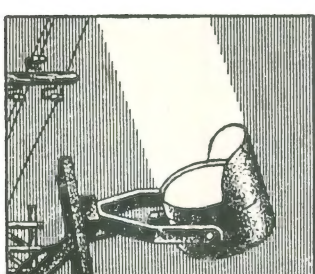
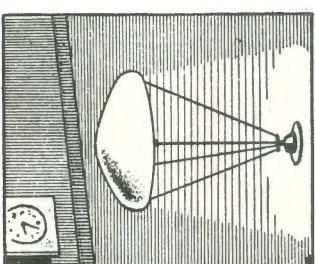
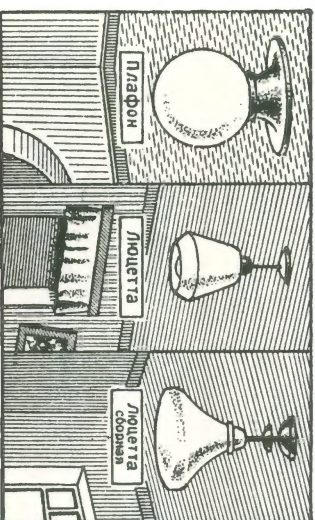
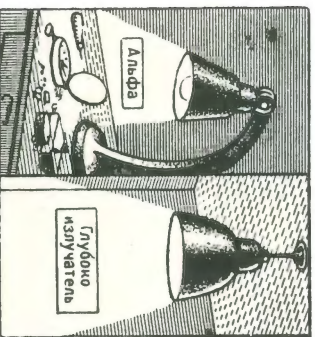


Номи- наль- ное нап- ряже- ние	Номинальные значения		
	Мощ- ность Вт	Световой поток лм	Световая отдача лм/Вт
110 120 127	15	124	8,25
	25	225	9,00
	40	380	9,50
	60	645	10,75
	100	1275	12,75
	150	2175	14,50
220	200	3050	15,25
	25	191	7,65
	40	336	8,40
	60	540	9,00
	100	1000	10,00
	150	1710	11,41
	200	2510	12,56

Световые и электрические характеристики ламп накаливания



ОСВЕТИТЕЛЬНЫЕ ПРИБОРЫ (СВЕТИЛЬНИКИ)

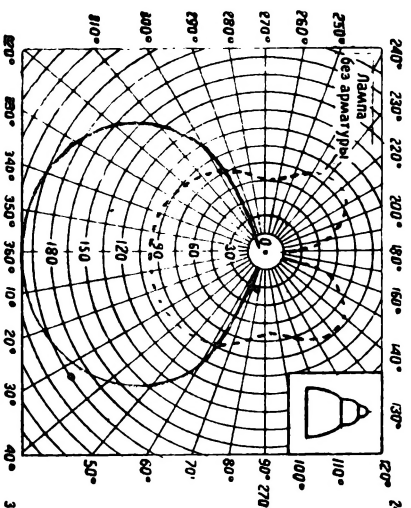


Светильники прямого света

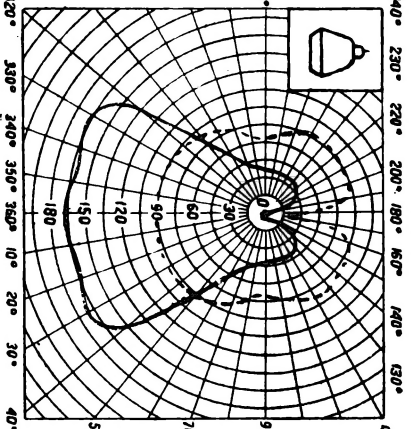
Светильники рассеянного света

Светильники отраженного света

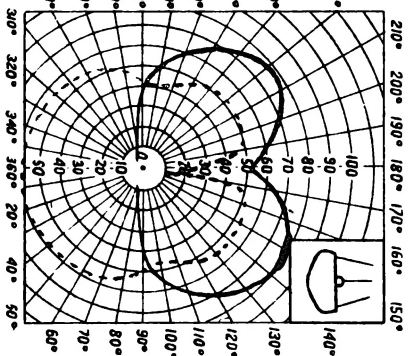
Проектор заливающего света



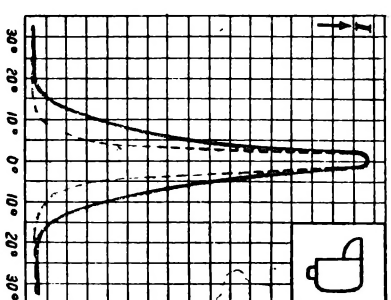
Кривая распределения силы света
светильника „глубокоизлучатель“



Кривая распределения силы света
светильника „плюфон“

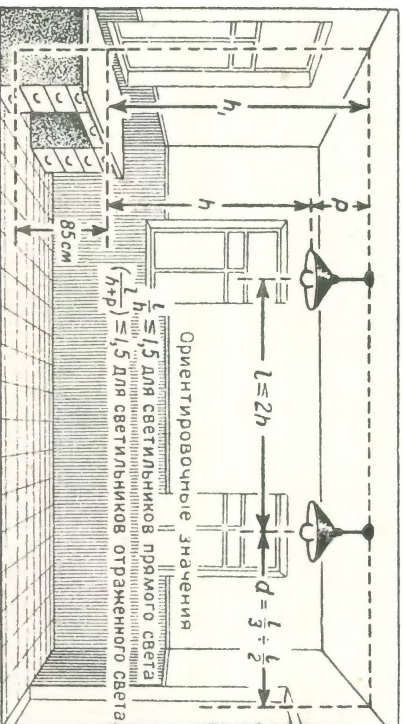


Кривая распределения силы света
светильника отраженного света

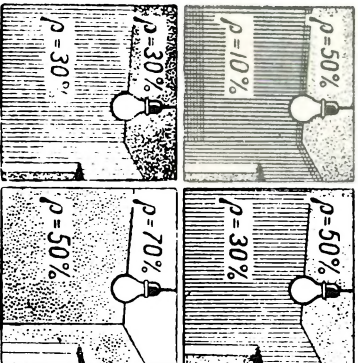


Кривые распределения силы света
проектора заливающего света

РАСЧЕТ ОСВЕЩЕНИЯ И РАЗМЕЩЕНИЕ СВЕТИЛЬНИКОВ



Условия размещения светильников

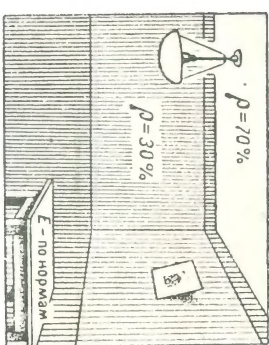
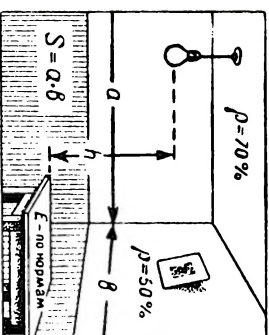
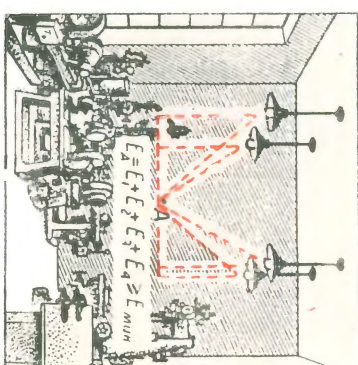
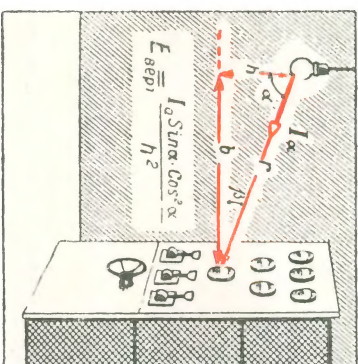
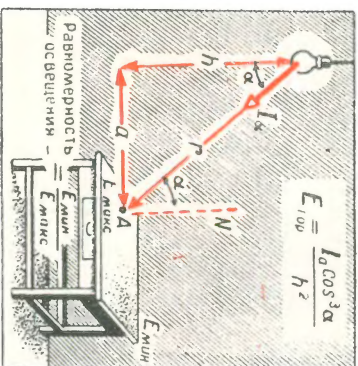


Значение коэффициента отражения

$$\rho = \frac{F_{отр}}{F_{пад}} 100\%$$

Удельный расход мощности на освещение :

для жилых и общественных помещений $3,5 + 12 \text{ Вт/м}^2$ (ориентировочно)



$$i = \frac{S}{h(a+\pi)}$$

Показатель коэффициента использования светового потока

$$\eta = f(i, \rho)$$

Показатель коэффициента использования светового потока

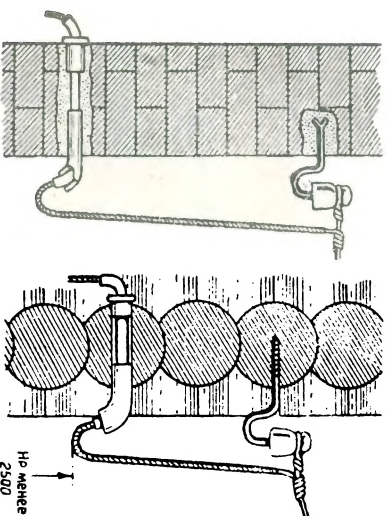
$$F_n = \frac{E \cdot S \cdot K}{\eta}$$

Показатель коэффициента использования светового потока

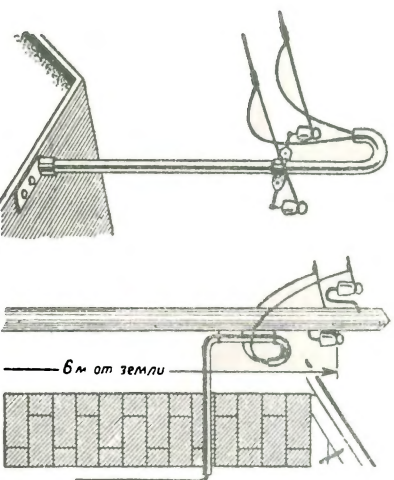
K — коэффициент запаса (K=1,3-2)
η — число ламп

Расчет освещенности методом коэффициента использования

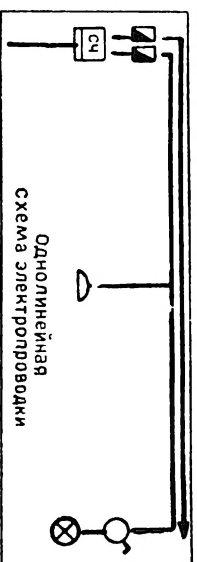
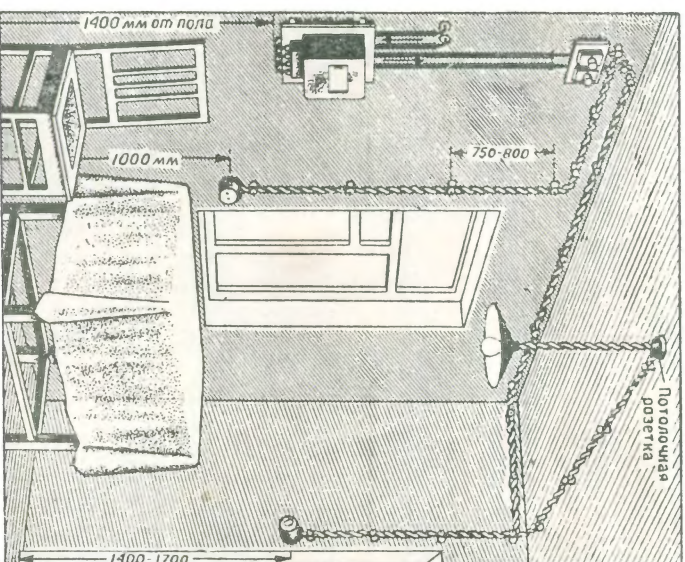
ОСВЕТИТЕЛЬНАЯ ПРОВОДКА



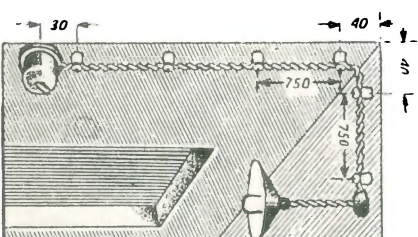
Вводы в здание через кирпичную и деревянную стены



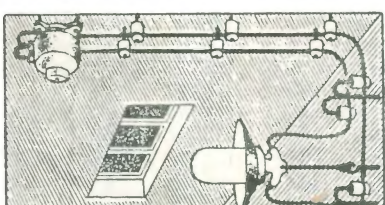
Вводы в здание через крышу и с подставным столбом



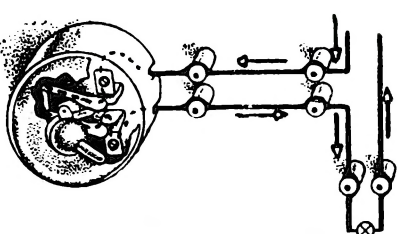
Внутренняя осветительная проводка



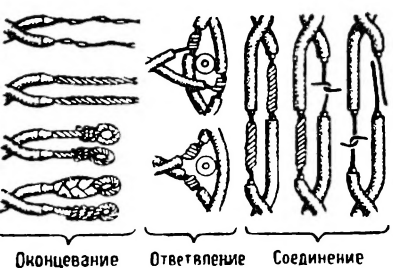
Проводка на роликах



Проводка на изоляторах



Монтаж выключателя



Соединение шнуром

Оконцевание Ответвление Соединение